# Zur Herstellung der Erdalkalimetallchlorate und zu den Lösungsgleichgewichten in den reziproken Salzpaaren $MCl_2 + 2 NaClO_3 = M(ClO_3)_2 + 2 NaCl/H_2O$ $(M = Mg^{2+}, Ca^{2+}, Sr^{2+}, Ba^{2+})$

Von der Fakultät für Chemie und Physik der Technischen Universität Bergakademie Freiberg

genehmigte

# DISSERTATION

zur Erlangung des akademischen Grades

Doctor rerum naturalium

(Dr. rer. nat.)

vorgelegt

von M.Si. Asep Supriatna

geboren am 02. Mai 1966 in Ciamis-Indonesien

Gutachter: Prof. Dr. rer. nat. habil. Horst Holldorf, Freiberg
Prof. Dr. Ing. habil. Wolfgang Kohler, Freiberg
Prof. Dr. rer. nat. habil. Axel König, Erlangen

Tag der Verleihung: 11. Oktober 2002

# Inhaltsverzeichnis

1.	Einleitung und Problemstellung	Seite 4
2.	Literaturübersicht	6
2.1	Graphische Behandlung und Erscheinungsformen von reziproken Salzpaaren	6
2.2	Herstellung anorganischer Salze durch reziproke Umsetzung	10
2.3	Produktion und Anwendung von Erdalkalimetallchloraten	17
2.4	Lösungsgleichgewichte in den reziproken Salzpaaren $MCl_2 + 2 NaClO_3 = M(ClO_3)_2 + 2 NaCl/H_2O (M = Mg^{2+}, Ca^{2+}, Sr^{2+}, Ba^{2+})$	25
2.4.1	Die gemeinsamen Randsysteme NaCl-H <sub>2</sub> O, NaClO <sub>3</sub> -H <sub>2</sub> O und NaCl-NaClO <sub>3</sub> -H <sub>2</sub> O	25
2.4.2	Die binären Randsysteme $MCl_2$ - $H_2O$ und $M(ClO_3)_2$ - $H_2O$ ( $M = Mg^{2+}$ , $Ca^{2+}$ , $Sr^{2+}$ , $Ba^{2+}$ )	28
2.4.3	Ternäre Randsysteme mit Erdalkalimetallsalzen	37
2.4.3.1	Die ternären Randsysteme $MCl_2$ - $M(ClO_3)_2$ - $H_2O~(M = Mg^{2+}, Ca^{2+}, Sr^{2+}, Ba^{2+})$	37
2.4.3.2	Die ternären Randsysteme NaClO <sub>3</sub> -M(ClO <sub>3</sub> ) <sub>2</sub> -H <sub>2</sub> O $(M = Mg^{2+}, Ca^{2+}, Sr^{2+}, Ba^{2+})$	39
2.4.3.3	Die ternären Randsysteme NaCl-MCl <sub>2</sub> -H <sub>2</sub> O $(M = Mg^{2+}, Ca^{2+}, Sr^{2+}, Ba^{2+})$	40
2.4.4	Literaturübersichten zu den Lösungsgleichgewichten in den reziproken Salzpaare $MCl_2 + 2 \ NaClO_3 = M(ClO_3)_2 + 2 \ NaCl/H_2O \ (M = Mg^{2+}, \ Ca^{2+}, \ Sr^{2+}, \ Ba^{2+})$	n 47
2.4.5	Kenntnis der Bodenkörper in den reziproken Salzpaaren $MCl_2 + 2 NaClO_3 = M(ClO_3)_2 + 2 NaCl/H_2O (M = Mg^{2+}, Ca^{2+}, Sr^{2+}, Ba^{2+})$	47
3.	Ableitung einer präzisierten Aufgabenstellung	49
4.	Experimenteller Teil	50
4.1	Vorgehensweise	50
4.2	Versuchsdurchführung	50
4.3	Chemikalien	51
4.4	Analytische Bestimmungsmethoden	51
4.5	Dichte-Bestimmung	56
4.6	Viskositäts-Bestimmung	57
4.7	Röntgenpulverdiffraktometrie	57
4.8	Spektroskopiche Untersuchungen	57
4.9	TG/DCS Untersuchungen	58

5.	Zusammenstellung und Diskussion der Ergebnisse	59		
5.1	Zusammenstellung und Diskussion der experimentellen Ergebnisse zum System $MgCl_2 + 2 \ NaClO_3 = Mg(ClO_3)_2 + 2 \ NaCl/H_2O$	59		
5.1.1	Randsysteme	59		
5.1.2	Das reziproke Salzpaar $MgCl_2 + 2 NaClO_3 = Mg(ClO_3)_2 + 2 NaCl/H_2O$			
5.2	Zusammenstellung und Diskussion der experimentellen Ergebnisse zum System $CaCl_2 + 2 \ NaClO_3 = Ca(ClO_3)_2 + 2 \ NaCl/H_2O$	71		
5.2.1	Randsysteme	71		
5.2.2	Das reziproke Salzpaar $CaCl_2 + 2 NaClO_3 = Ca(ClO_3)_2 + 2 NaCl/H_2O$	76		
5.3	Zusammenstellung und Diskussion der experimentellen Ergebnisse zum System $SrCl_2 + 2 NaClO_3 = Sr(ClO_3)_2 + 2 NaCl/H_2O$	84		
5.3.1	Randsysteme	84		
5.3.2	Das reziproke Salzpaar $SrCl_2 + 2 NaClO_3 = Sr(ClO_3)_2 + 2 NaCl/H_2O$	88		
5.4	Zusammenstellung und Diskussion der experimentellen Ergebnisse zum System $BaCl_2 + 2 \ NaClO_3 = Ba(ClO_3)_2 + 2 \ NaCl/H_2O$	95		
5.4.1	Randsysteme	95		
5.4.2	Das reziproke Salzpaar $BaCl_2 + 2 NaClO_3 = Ba(ClO_3)_2 + 2 NaCl/H_2O$	98		
5.5	IR- und Ramanspektroskopische-Untersuchungen an Erdalkalimetallchlorat(hydrat)en	106		
5.6	Thermoanalytische Untersuchungen (TG/DSC-Untersuchungen) an Erdalkalimetallchlorat(hydrat)en	110		
6.	Ableitung von Herstellungsverfahren für die Erdalkalimetallchlorate aus Natriumchlorat und den entsprechenden Erdalkalimetallchloriden	120		
6.1	Herstellung von Magnesiumchlorat	120		
6.2	Herstellung von Calciumchlorat	125		
6.3	Herstellung von Strontiumchlorat	129		
6.4	Herstellung von Bariumchlorat	133		
6.5	Vergleich der Verfahren zur Herstellung von Erdalkalimetallchloraten durch reziproke Umsetzung der entsprechenden Chloride mit Nariumchlorat	138		
7.	Zusammenfassung	140		
8.	Literaturverzeichnis	145		

#### 1. Einleitung und Problemstellung

Systeme des Typs AX + BY = AY + BX mit A und B als Kationen bzw. X und Y als Anionen bezeichnet man als reziproke Salzpaare, wobei vorausgesetzt wird, dass die Zahl der Kationenäquivalente gleich der der Anionenäquivalente und A + Y = X + B ist [1]. Da drei Komponenten ausreichen, um die Gleichgewichtsmischungen zu beschreiben, handelt es sich bei den reziproken Salzpaaren um Dreistoffsysteme. Bei den technisch wichtigen Systemen dieser Art kommt meist Wasser als vierte Komponente hinzu. Bei den wässerigen reziproken Salzpaaren handelt es sich folglich um Vierstoffsysteme.

Technisch wichtige reziproke Umsetzungen sind u. a. die Herstellung von Kaliumnitrat durch Umsetzung von Natriumnitrat mit Kaliumchlorid in wässeriger Lösung, die Herstellung von Kaliumsulfat durch Umsetzung von Kaliumchlorid mit MgSO<sub>4</sub>-haltigen Komponenten in wässeriger Lösung und die angenommene Stufe der Umsetzung von NH<sub>4</sub>HCO<sub>3</sub> mit NaCl zu NaHCO<sub>3</sub> und NH<sub>4</sub>Cl innerhalb des Ammoniak - Soda - Verfahrens.

Die Umsetzung von NaNO<sub>3</sub> mit KCl zu KNO<sub>3</sub> und NaCl kann man theoretisch mit 100 %iger Ausbeute realisieren. Dies ist auch deshalb so bemerkenswert, weil es außerdem schwierig ist, einen alternativen Weg für die Umwandlung des Natriumnitrates in das nichthygroskopische Kaliumnitrat aufzuzeigen. Mit der Möglichkeit der reziproken Umwandlung steht in diesem Fall aus ökonomischer und ökologischer Sicht ein konkurrenzloses Verfahren zur Verfügung.

Von den Alkalimetallchloraten werden im technischen Maßstab praktisch nur Natriumchlorat und Kaliumchlorat benötigt. Hier hat man die Möglichkeit, beide Salze in separaten Anlagen auf elektrochemischem Wege durch Elektrolyse der wässerigen Alkalimetallchloridlösungen herzustellen oder die Möglichkeit, mit dem billigeren Rohstoff Natriumchlorid zunächst das gesamte Chlorat auf elektrochemischem Wege herzustellen und von dem erhaltenen Natriumchlorat einen Teil mit Kaliumchlorid reziprok zum nichthygroskopischen Kaliumchlorat umzusetzen. Auch in diesem Fall kann die reziproke Umsetzung theoretisch mit 100 %iger Ausbeute realisiert werden. Allgemein wird heute der zweite Weg der primären Herstellung des Natriumchlorats und dessen teilweise Umsetzung zu Kaliumchlorat gegangen. Die Elektrolyseanlagen werden so größer und damit kostengünstiger. Außerdem erhält man eine größere Flexibilität.

Allgemein werden die aufgeführten reziproken Umsetzungen als spezifische Lösung für den Anwendungsfall angesehen. Es ist darum durchaus von Interesse, die Anwendungsmöglichkeiten dieses Verfahrensprinzips in größerer Breite zu untersuchen. Mit dieser Zielstellung sollen in der vorliegenden Arbeit die Möglichkeit zur Herstellung der Erdalkalimetallchlorate durch reziproke Umsetzung von Natriumchlorat mit den entsprechenden Erdalkalimetallchloriden in wässeriger Lösung untersucht werden. Da sich die technischen Prozesse der reziproken Umsetzungen mit Einschränkung exakt aus den Lösungsgleichgewichten der entsprechenden reziproken Salzpaare ableiten lassen, sind in diesem Fall Untersuchungen zu den reziproken Salzpaaren MCl<sub>2</sub> + 2 NaClO<sub>3</sub> = M(ClO<sub>3</sub>)<sub>2</sub> + 2 NaCl/ $H_2O$  (M =  $Mg^{2+}$ ,  $Ca^{2+}$ ,  $Sr^{2+}$ ,  $Ba^{2+}$ ) bei verschiedenen Temperaturen erforderlich. Da eine Temperaturspanne von 50K für die Durchführung eines polythermen reziproken Prozesses ausreichend ist, und für 25°C besonders viele Literaturdaten zumindest für die binären und ternären Randsysteme vorliegen, sollen die Untersuchungen bei 25°C, 50°C und 75°C durchgeführt werden. Neben den Löslichkeiten und Bodenkörperparagenesen sollen die Dichten und Viskositäten der wässerigen Lösungen bestimmt werden, weil diese Daten für die Auslegung technischer Prozesse unverzichtbar sind. Aus der Literatur wenig bekannte Bodenkörper sind näher zu charakterisieren. Auf der Basis der so erarbeiteten Daten sollen Aussagen über die Möglichkeiten und Grenzen der Anwendung des Prinzips der reziproken Umsetzung bei der Herstellung der Erdalkalimetallchlorate aus Natriumchlorat und den entsprechenden Erdalkalimetallchloriden abgeleitet werden.

#### 2. Literaturübersicht

#### 2.1 Graphische Behandlung und Erscheinungsformen von reziproken Salzpaaren

Recht ausführliche Übersichten zur graphischen Behandlung wässriger reziproker Salzpaare findet man bei Vogel [1], Findlay [2] und Matthes/Wehner [3]. In diesem Kapitel wird auf die graphische Behandlung und die Erscheinungsformen in wässrigen reziproken Salzpaaren nur in dem Umfang eingegangen, wie er zum Verständnis der nachfolgenden Kapitel notwendig ist.

Bereits in der Einleitung wurde festgestellt, dass es sich bei den wässrigen-reziproken Salzpaaren um 4-Stoffsysteme handelt. Im Sinne des Phasengesetzes (Gleichung 2.1)

$$P + F = K + 2$$
 (2.1)

P: Anzahl der Phasen

F: Anzahl der Freiheitsgrade

K: Anzahl der Komponenten

sind darum drei Konzentrationsfreiheitsgrade zu berücksichtigen. Die Zusammensetzung der Lösung in einem wässrigen reziproken Salzpaar ist mit drei Konzentrationsangaben eindeutig bestimmt, z.B. durch drei Ionenkonzentrationen in mol/1000 mol H<sub>2</sub>O. Für die graphische Darstellung der Phasengleichgewichte in einem wässrigen reziproken Salzpaar sind einschränkende Bedingungen bezüglich der fünf maximal möglichen Freiheitsgrade (Druck, Temperatur und drei Konzentrationen) notwendig.

Zunächst geht man davon aus, das bei den kondensierten Systemen allgemein der äußere Druck größer als der Dampfdruck des Systems ist. Der Druck ist darum kein Freiheitsgrad mehr. Außerdem fällt der Dampf als Phase weg. In diesem Fall gilt das sogenannte reduzierte Phasengesetz entsprechend Gleichung 2.2:

$$P + F = K + 1 \tag{2.2}$$

Setzt man weiterhin isotherme Bedingungen voraus, so verbleiben nur die drei Konzentrationsfreiheitsgrade. Dieser Fall entspricht der Existenz einer Phase (ungesättigte Lösung) bei drei veränderbaren Konzentrationen. Für die graphische Darstellung einer Isotherme eines wässrigen reziproken Salzpaares braucht man in diesem Fall ein dreidimensionales Modell zur Darstellung der drei Konzentrationsfreiheitsgrade.

In einem solchen Modell würde ein Volumen einem zweiphasigen Zustand (Lösung und ein Bodenkörper), eine Fläche einem zweiphasigen Zustand (Lösung und zwei Bodenkörper) und ein Punkt einem vierphasigen Zustand (Lösung und drei Bodenkörper) entsprechen.

Da dreidimensionale Modelle für die tägliche Arbeit kaum praktikabel sind, ist eine weitere Reduzierung der Freiheitsgrade erforderlich. Allgemein wird auf die Wasserangabe der Lösung bzw. auf die Angabe der Salzmenge in einer bestimmten Wassermenge verzichtet. Man stellt dann in einem zweidimensionalen Diagramm nur die Verhältnisse der Ionen untereinander dar. Dieser Verzicht auf einen Freiheitsgrad muss natürlich der Zunahme der Anzahl der Phasen um eine entsprechen. Für ein einphasiges System gibt es darum kein Existenzfeld. Eine Fläche entspricht einem zweiphasigen Zustand. Linien einem dreiphasigen Zustand und Punkte der Existenz von vier Phasen nebeneinander. Für die Darstellung der lonen- oder Äquivalentverhältnisse verwendet man allgemein ein Quadrat entsprechend Bild 2.1. Dabei sollen A und B die Kationen und X und Y die Anionen sein. Treten im System zweiwertige Ionen auf, so verwendet man für die einwertigen Ionen Doppelmole. Man spricht in diesem Fall von Äquivalenten. Die Angabe der Äquivalentverhältnisse erfolgt in Übereinstimmung mit der Gleichung 2.3 und 2.4.

$$\ddot{A}quivalent-\% A = \frac{A}{A+B}.100$$
 (2.3)

Äquivalent-% 
$$Y = \frac{Y}{Y+X}.100$$
 (2.4)

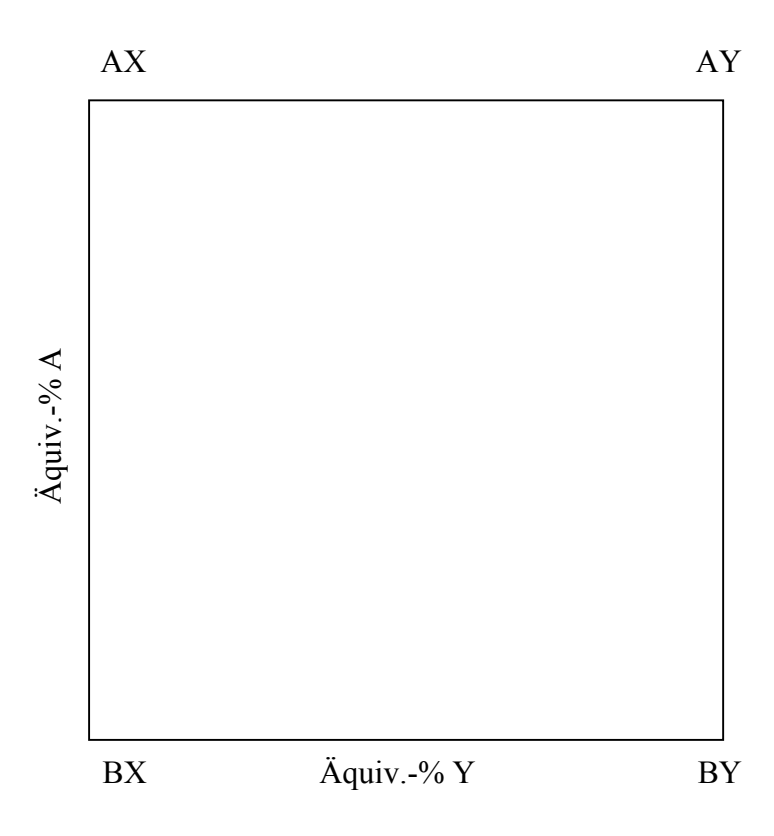
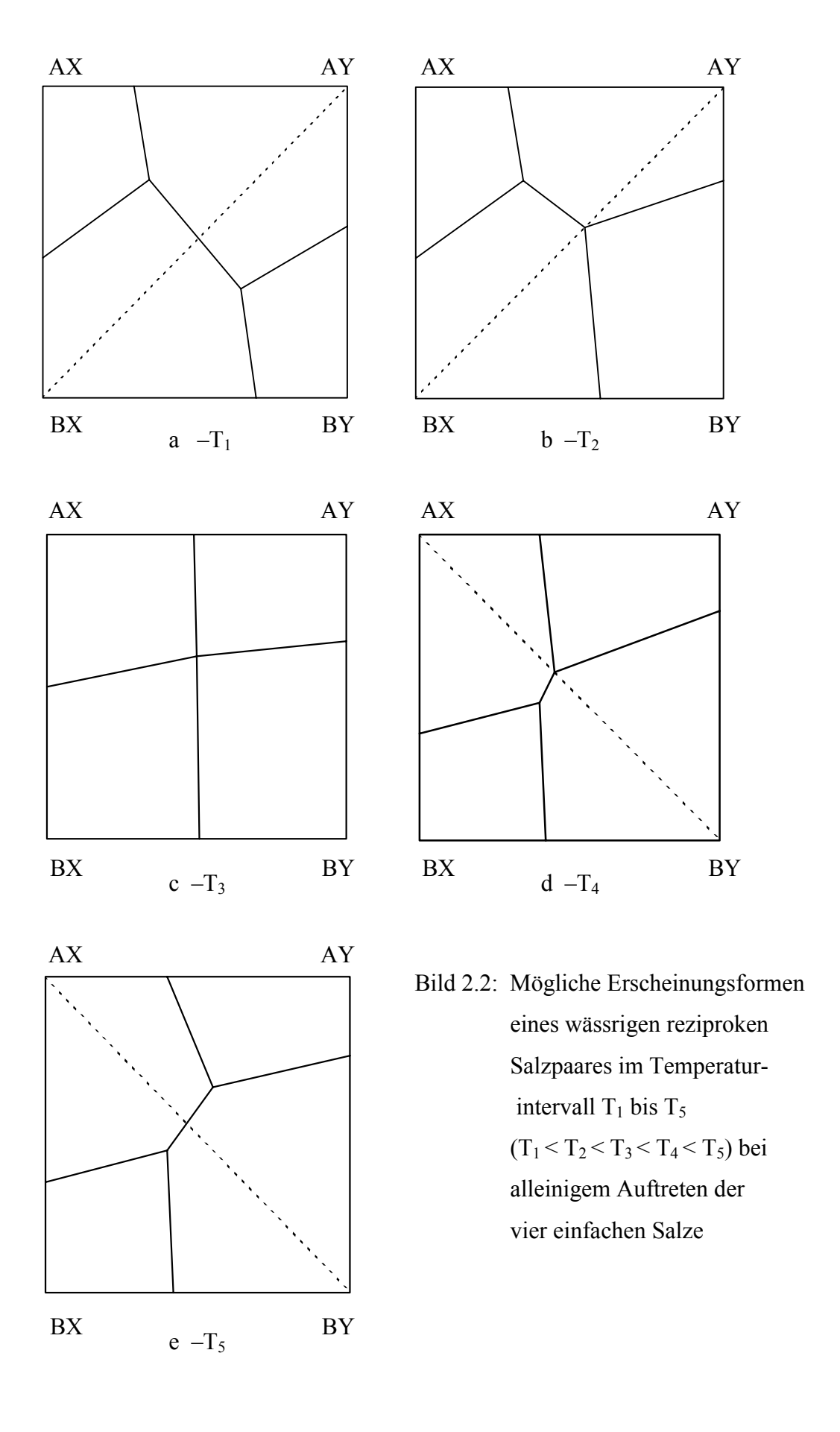


Bild 2.1: Graphische Darstellung von isothermen wässriger reziproker Salzpaare

Im einfachsten Fall treten in einem wässrigen reziproken Salzpaar nur die vier einfachen Salze als wasserfreie Salze oder als Hydrate auf, jedoch keine Doppelsalze und keine verschiedenen Hydratstufen eines einfachen Salzes nebeneinander. In einem solchen Fall Phasendiagramm des Systems in der Temperaturspanne T<sub>1</sub> bis kann das Erscheinungsformen entsprechend Bild 2.2 durchlaufen. Bei der Temperatur T<sub>1</sub> ist AY-BX das stabile Salzpaar, weil beide Salze eine gemeinsame Existenzlinie haben und diese von der Diagonale AY-BX geschnitten wird (Bild 2.2a). Bei der Temperatur T2 tritt das stabile Salzpaar BX-AY in das Übergangsintervall ein. Die Diagonale BX-AY schneidet in diesem Fall den Dreisalzpunkt BX-BY-AY, der ab dieser Temperatur inkongruent wird (Bild 2.2b). Das Übergangsintervall für das stabile Salzpaar BX-AY reicht von der Temperatur T<sub>2</sub> bis zur Temperatur T<sub>3</sub>. Bei der Temperatur T<sub>3</sub> wird das System polytherm invariant. Es treten alle vier einfachen Salze nebeneinander auf. Dieser Punkt ist gleichzeitig die Eintrittstemperatur in das Übergangsintervall für das stabile Salzpaar AX-BY (Bild 2.2c). Das Übergangsintervall für das stabile Salzpaar AX-BY reicht bis zur Temperatur T<sub>4</sub>. Bei dieser Temperatur schneidet die Diagonale AX-BY den Dreisalzpunkt AX-BY-AY, der ab dieser Temperatur kongruent wird (Bild 2.2d).



Bei der Temperatur T<sub>5</sub> (Bild 2.2e) ist das Salzpaar AX-BY das stabile Salzpaar, weil es eine gemeinsame Existenzlinie hat, die von der Diagonale AX-BY geschnitten wird. Man kann die beiden Salze AX und BY in Wasser bis zur Sättigung an beiden Salzen eintragen.

Die graphische Behandlung von Kristallisationsvorgängen in wässrigen reziproken den allgemeinen Grundsätzen für die Salzpaaren folgt Behandlung von Ausscheidungsvorgängen in Mehrstoffsystemen. Für diese Arbeit ist praktisch nur der Grundsatz, dass zunächst immer das Salz auskristallisiert, in dessen Existenzgebiet sich der Darstellende Punkt der Ausgangslösung befindet, von Interesse. Die Kristallisationsbahn folgt dabei der geradlinigen Verlängerung der Verbindungslinie Darstellender Punkt der Lösung -Darstellender Punkt des auskristallisierenden Salzes. Werden Lösungen eines wässrigen reziproken Salzpaares isotherm eingedampft, so muss die Verdampfung des letzten Tropfens Wasser natürlich an einem isotherm invarianten Dreisalzpunkt erfolgen. Abweichungen von dieser Regel ergeben sich nur, wenn die Ausgangslösungen genau auf der Diagonale liegen, die ein stabiles Salzpaar schneidet. Welcher Dreisalzpunkt bei der isothermen Eindampfung Kristallisations-endpunkt ist, läßt sich aus der Lage der Ausgangslösung im Phasendiagramm ableiten, ebenso die Kristallisationsbahn.

## 2.2 Herstellung anorganischer Salze durch reziproke Umsetzung

Reziproke Umsetzungen können sowohl isotherm als auch polytherm durchgeführt werden. Optimale Verfahrensgestaltungen für die Herstellung anorganischer Salze nach diesem Prinzip lassen sich exakt aus den entsprechenden Phasengleichgewichten ableiten.

Hat das Phasendiagramm eines wässrigen reziproken Salzpaares bei zwei verschiedenen Temperaturen  $T_1$  und  $T_2$  ( $T_1 < T_2$ ) ein Aussehen entsprechend Bild 2.3, so ist die Herstellung der Salze AX und BY aus den Salzen BX und AY durch eine polytherme reziproke Umsetzung möglich.

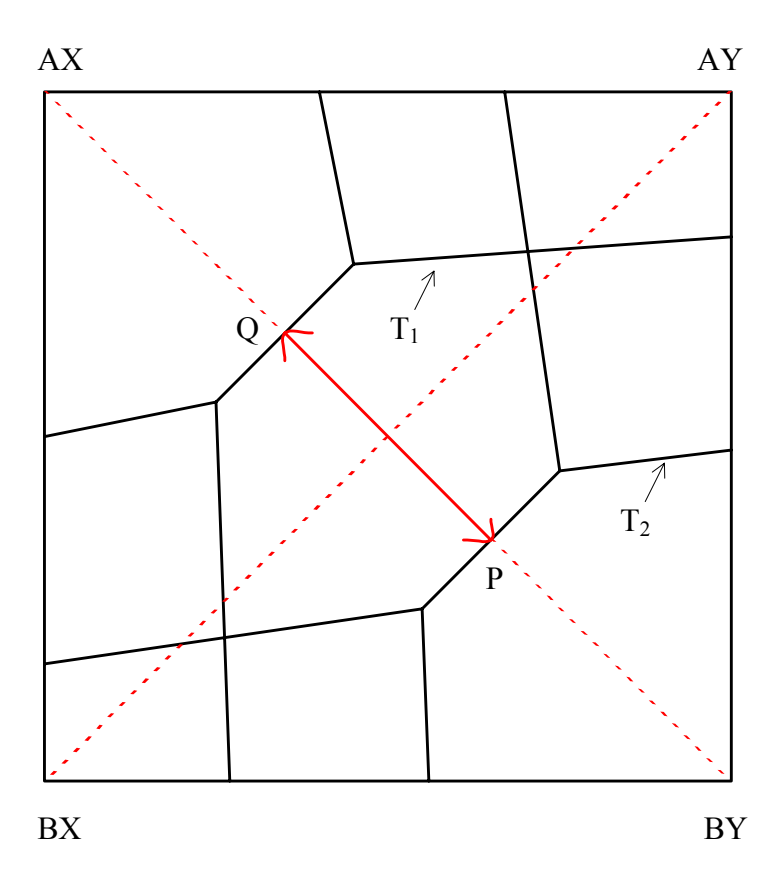


Bild 2.3: Gleichgewichtsdiagramm eines wässrigen reziproken Salzpaares bei zwei verschiedenen Temperaturen ( $T_1 < T_2$ ) zur Ableitung einer polythermen reziproken Umsetzung.

Bei der Temperatur T<sub>2</sub> durchläuft die Diagonale AY-BX in einem weiten Bereich das Existenzgebiet des Salzes AX. Trägt man die beiden Salze AY und BX bei der Temperatur T<sub>2</sub> im Überschuss in Wasser ein, so scheidet sich das Salz AX aus und es entsteht bei geeigneter Dosierung der Ausgangssalze die Lösung P. Das ausgeschiedene Salz AX wird abfiltriert. Da die Lösung P bei der Temperatur T<sub>1</sub> im Existenzgebiet des Salzes BY liegt, muss dieses Salz auskristallisieren. Die Kristallisationsbahn folgt dabei der Verlängerung der Verbindungslinie Darstellender Punkt des Salzes BY-P bis zum Erreichen des Punktes Q. Jetzt wird das Salz BY abfiltriert und die Lösung Q aufgeheizt und wieder mit den Salzen BX und AY versetzt. Es ist leicht zu sehen, dass ein solcher Prozess mit 100%iger Ausbeute abläuft. Praktische Beispiele für eine derartige Verfahrensgestaltung sind die Herstellung von Kaliumnitrat aus Natriumnitrat und Kaliumchlorid und die Herstellung von Kaliumchlorat aus Natriumchlorat und Kaliumchlorid.

Insbesondere in den Fällen, bei denen als eines der Endprodukte ein schwerlösliches Salz mit der damit verbundenen hohen Ausbeute anfällt (Umsetzung von Ammoniumcarbonatlösungen und Anhydrit zu Ammoniumsulfatlösungen und Calciumcarbonat) oder bei denen die wertstoffhaltigen Endlösungen wegen des unvollständigen Umsatzes günstig in begleitenden Prozessen untergebracht werden können (Umsetzung von Ammoniumhydrogencarbonat mit Natriumchlorid zu Natriumhydrogencarbonat und Ammoniumchloridlösungen innerhalb des Ammonia-Soda Verfahrens und die Umsetzung von Magnesiumsulfat mit Kaliumchlorid zu werden Magnesiumchloridlösungen) Kaliumsulfat und auch isotherme Umsetzungen technisch angewandt. Ein besonders instruktives Beispiel ist die Umsetzung von Magnesiumsulfat mit Kaliumchlorid zu dem wichtigsten chloridfreien Kalidüngemittel Kaliumsulfat.

Bild 2.4 enthält das Gleichgewichtsdiagramm des Systems  $2KCl + MgSO_4 = K_2SO_4 + MgCl_2/H_2O$  bei  $25^{\circ}C$  mit einer Ausschnittsvergrößerung der  $MgCl_2$ -reichen Ecke und eingezeichneten Konjugationslinien für die Ableitung von Prozessen zur Herstellung von Kaliumsulfat aus Magnesiumsulfat und Kaliumchlorid [4]. Aus dem Gleichgewichtsdiagramm ist zu erkennen, dass sowohl ein einstufiger als auch ein zweistufiger Prozess möglich ist.

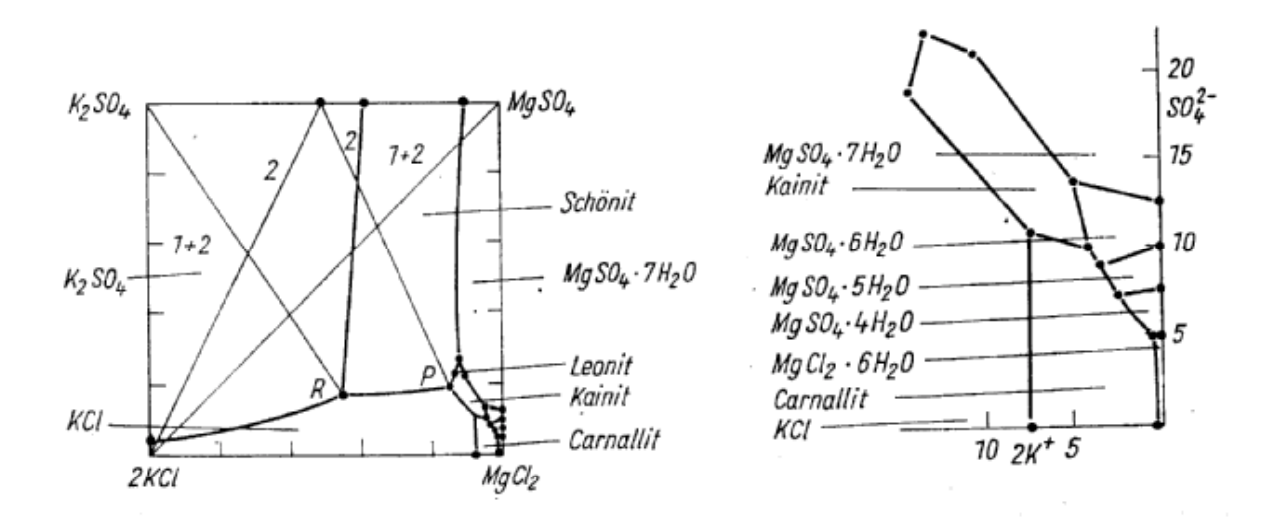


Bild 2.4: Gleichgewichtsdiagramm des Systems 2 KCl + MgSO<sub>4</sub> = K<sub>2</sub>SO<sub>4</sub> + MgCl<sub>2</sub>/H<sub>2</sub>O bei 25°C mit Ausschnittsvergrößerung der MgCl<sub>2</sub>-reichen Ecke

- 1: Konjugationslinien zur Ableitung des einstufigen K<sub>2</sub>SO<sub>4</sub>-Prozesses
- 2: Konjugationslinien zur Ableitung des zweistufigen K<sub>2</sub>SO<sub>4</sub>-Prozesses

Beim einstufigen Verfahren wird KCl mit MgSO<sub>4</sub> entsprechend den Konjugationslinien 1 in solchen Verhältnissen umgesetzt, dass K<sub>2</sub>SO<sub>4</sub> und die Lösung R entsteht. Beim Zweistufenverfahren werden entsprechend den Konjugationslinien 2 zunächst Schönit und eine Endlösung P hergestellt. Als Umsetzungsmedium wird dabei die Endlösung der zweiten Stufe eingesetzt (Lösung R).

Aus Schönit wird in der zweiten Stufe durch Umsetzung mit weiterem Kaliumchlorid Kaliumsulfat hergestellt. Die Lösungen R und P haben bei 25°C folgende Zusammensetzung in mol Salz/1000 mol H<sub>2</sub>O:

Lösung R: 
$$15,15 (2KCl) + 10,00 (K_2SO_4) + 31,15 (MgCl_2) + 1000 (H_2O)$$

Lösung P: 
$$10,45 (K_2SO_4) + 60,45 (MgCl_2) + 3.70 (MgSO_4) + 1000 (H_2O)$$

Die theoretischen Ausbeuten einer ein- oder zweistufigen reziproken Umsetzung sind aus den Gleichgewichtsdaten exakt zu berechnen.

Einstufiger Prozess

$$x (2KCl) + y (MgSO_4) + z (H_2O) = u (K_2SO_4) + [15,15 (2KCl) + 10,00 (K_2SO_4) + 31,15 (MgCl_2) + 1000 (H_2O)]$$
 (2.5)

x, y, z, u Anzahl der Mole

Lösung R in Mole Salz/1000 Mole Lösungsmittel (H<sub>2</sub>O)

$$(2K^{+})$$
:  $x = u + 15,15 + 10,00$   $x = 46,30$   $y = 31,15$   $y = u + 10,00$   $y = 21,15$ 

Ausbeute 
$$(2K^{+}) = \frac{u}{x} = 45,7\%$$
 Ausbeute  $(SO_4^{2-}) = \frac{y}{x} = 67,3\%$ 

#### **Zweistufiger Prozess**

Herstellung des Endproduktes K<sub>2</sub>SO<sub>4</sub> aus dem Doppelsalz Schönit (2. Stufe)

$$x_{2} (2KCl) + y_{2} (K_{2}SO_{4}.MgSO_{4}.6H_{2}O) + z_{2} (H_{2}O) = u_{2} (K_{2}SO_{4}) + [15,15 (2KCl) + 10,00 (K_{2}SO_{4}) + 31,15 (MgCl_{2}) + 1000 (H_{2}O)]$$

$$(2.6)$$

$$(2K^{+})$$
:  $x_2 + y_2 = u_2 + 15,15 + 10,00$   $x_2 = 46,30$ 

(Mg<sup>2+</sup>): 
$$y_2 = 31,15$$
  $y_2 = 31,15$ 

$$(SO_4^{2-})$$
:  $2y_2 = u_2 + 10,00$   $u_2 = 52,30$ 

Ausbeute 
$$(2K^+) = \frac{u_2}{x_2 + y_2} = 67,5\%$$

Ausbeute 
$$(SO_4^{2-}) = \frac{u_2}{2y_2} = 84,0\%$$

Die Stufe der Doppelsalzherstellung ist nun so zu führen, dass die notwendigen 31,15 Mole Schönit entstehen. Dazu ist ein Molteil der Lösung R zu verwenden, eventuell sind weitere erforderlichen Lösungsmittelmengen durch Wasser zu ergänzen.

Doppelsalzherstellung (1. Stufe)

$$\begin{aligned} x_1\left(2KCl\right) + y_1\left(MgSO_4\right) + & \left[15,15\left(2KCl\right) + 10,0\left(K_2SO_4\right) + 31,15\left(MgCl_2\right) + 1000\left(H_2O\right)\right] + \\ z_1\left(H_2O\right) & = 31,15\left(K_2SO_4\right) + MgSO_4.6H_2O\right) + u_1\left[10,45(K_2SO_4) + 60,45\left(MgCl_2\right) + 3,70(MgSO_4) + 1000\left(H_2O\right)\right] \end{aligned}$$

(2.7)

(2K<sup>+</sup>): 
$$x_1 + 15,15 + 10,00 = 31,15 + 10,45 u_1$$
 (a)

$$(SO_4^{2-})$$
:  $y_1 + 10,00 = 62,30 + 10,45 u_1 + 3,70 u_1$  (b)  
 $(Mg^{2+})$ :  $y_1 + 31,15 = 31,15 + 60,45 u_1 + 3,70 u_1$  (c)

$$(Mg^{2+}): y_1 + 31,15 = 31,15 + 60,45 u_1 + 3,70 u_1 (c)$$

(2Cl<sup>-</sup>): 
$$x_1 + 15,15 + 31,15 = 60,45 u_1$$
 (d)

Daraus folgt:

$$x_1 = 16,732$$

$$y_1 = 66,818$$

$$u_1 = 1,026$$

Ausbeute 
$$(2K^+) = \frac{31,15}{x_1 + 15,15 + 10,00} = 74,4\%$$

Ausbeute (SO<sub>4</sub><sup>2-</sup>) = 
$$\frac{62,30}{66,82 + 10,00}$$
 = 81,1%

Die Ausbeuten über beide Stufen ergeben sich daraus, dass nur die 52,30 Mole  $K_2SO_4$  der zweiten Stufe und die Lösung P den Prozess verlassen und dass nur die Mengen  $x_1$  und  $x_2$  an KCl und  $y_2$  an MgSO<sub>4</sub> eingeführt werden.

Ausbeute 
$$(2K^{+}) = \frac{52,30}{46,30 + 16,73} = 83,0\%$$

Ausbeute 
$$(SO_4^{2-}) = \frac{52,30}{66.82} = 78,3\%$$

Andere zweistufige Prozesse lassen sich völlig analog berechnen.

Aus den Berechnungen ist ersichtlich, dass der zweistufige Prozess dem einstufigen Prozess wegen der höheren Ausbeute eindeutig überlegen ist. Technisch wird darum nur noch der zweistufige Prozess realisiert. Bild 2.5 enthält ein Verfahrensschema für diesen zweistufigen Prozess.

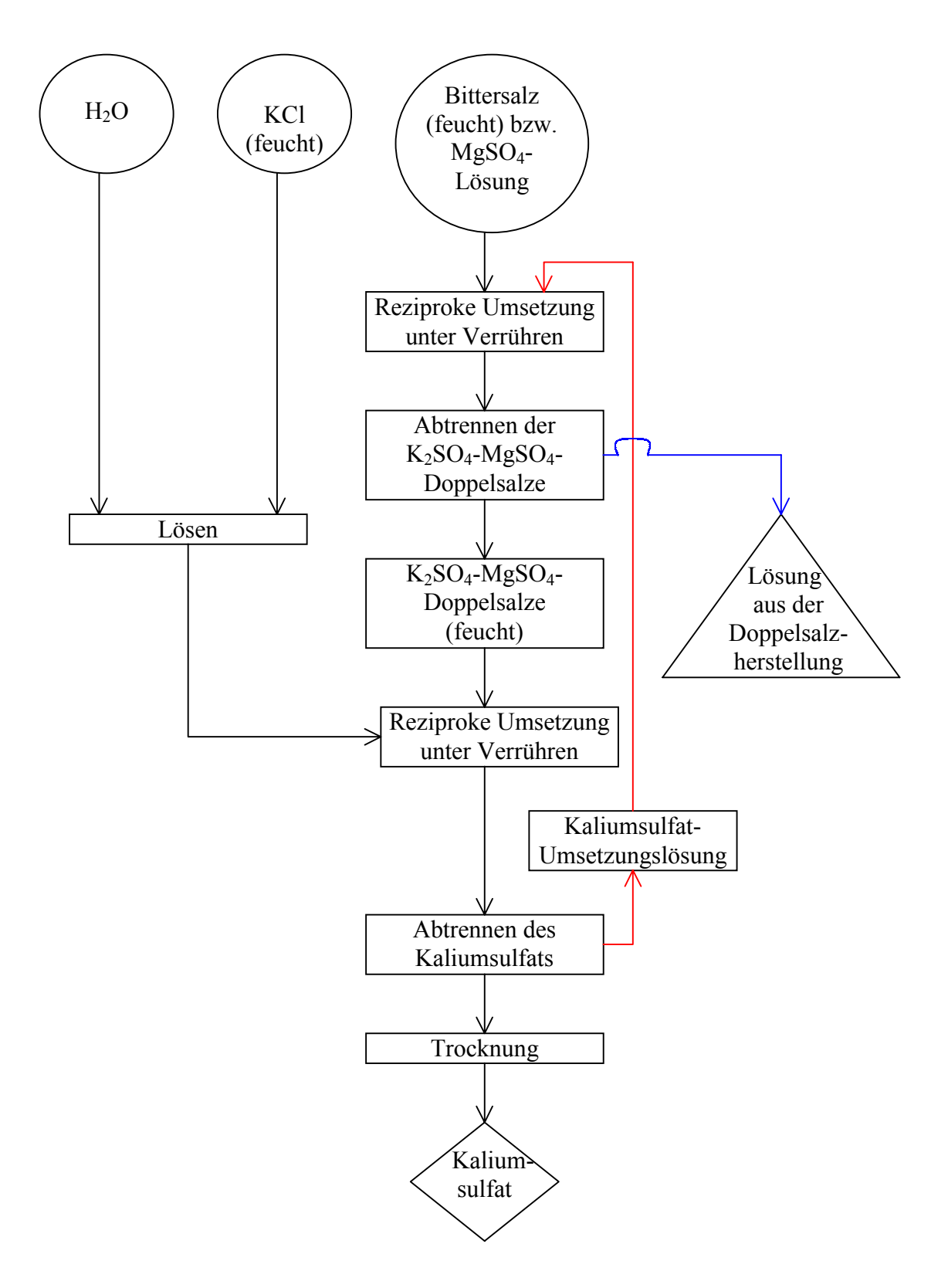


Bild 2.5: Verfahrensschema zur Herstellung von K<sub>2</sub>SO<sub>4</sub> durch reziproke Umsetzung

#### 2.3 Produktion und Anwendung von Erdalkalimetallchloraten

In den folgenden Literaturübersichten wird über die Herstellungsmethode für Magnesiumchlorat, Calciumchlorat, Strontiumchlorat, Bariumchlorat und die Anwendungsgebiete dieser Salze berichtet.

#### **Magnesiumchlorat**

#### Durch Elektrolyse von Magnesiumchloridlösungen

Die elektrochemische Herstellung von Magnesiumchlorat aus Magnesiumchlorid wird in der Literatur [5,6,7] beschrieben. Durch Elektrolyse einer Magnesiumchloridlösung (80-450 g/l) bei einem pH-Wert von 4,5-6,8 mit oder ohne Natrium-/Magnesium- oder Lithiumdichromat (0,5-4,0 g/l) unter Verwendung von einer Anode aus Bleidioxid, Titanbleidioxid oder ein Edelmetalloxid auf Graphitträgermaterial erhält man Magnesiumchlorat. Die Form der Anode ist zylindrisch. Die Kathode ist konzentrisch um die Anode in einem Abstand von 0,5 – 1,5 cm angeordnet. Die Kathode ist drehbar. Eine Folge der Drehbewegung ist die Selbstreinigung der Kathode vom gebildeten Magnesiumhydroxid.

Die Verfahren zur Herstellung von Erdalkalimetallchloraten und Natriumchlorat auf elektrolytischem Wege unterscheiden sich grundsätzlich nicht. Bei der Elektrolyse von Alkali- oder Erdalkalimetallchloridlösungen scheidet sich an der Anode Chlor und an der Kathode Wasserstoff ab.

$$2 \text{ Cl}^{2} \longrightarrow \text{Cl}_{2} + 2 \text{ e}$$
 (Anode)

$$2 \text{ H}_2\text{O} + 2 \text{ e} \longrightarrow 2 \text{ OH}^- + \text{H}_2$$
 (Kathode) (2.9)

Das abgeschiedene Chlor reagiert mit der Lösung

$$Cl_2 + H_2O \longrightarrow HClO + H^+ + Cl^-$$
 (2.10)

In Anodennähe kann sich entsprechend der Reaktion

$$2 \text{ HClO} + \text{ClO}^{2} \longrightarrow \text{ClO}_{3}^{2} + 2 \text{ Cl}^{2} + 2 \text{H}^{+}$$
 (2.11)

Chlorat bilden. Dabei wird das Hypochlorit durch die eigene undissoziierte Säure oxydiert.

Die Chloratbildung ist in diesem Falle eine chemische Oxydation. Dieser Vorgang läuft jedoch in hypochloritsaurer Lösung hinreichend schnell ab. In neutraler Lösung wird vorwiegend ClO anodisch oxydiert. Im Resultat dieser Reaktion bildet sich ebenfalls Chlorat und außerdem Sauerstoff.

$$6 \text{ ClO}^{-} + 9 \text{ H}_2\text{O} \longrightarrow 2 \text{ ClO}_3^{-} + 4 \text{ Cl}^{-} + 6 \text{ H}_3\text{O}^{+} + 1,5 \text{ O}_2 + 6 \text{ e}$$
 (2.12)

Aus der Gleichung (2.12) ist ersichtlich, dass die elektrochemische Chloratbildung nur mit Stromausbeute von 66,7% erarbeitet werden kann, da 33,3% der Strommenge für die Sauerstoffbildung verbraucht werden. Daher wird bevorzugt die chemische Chloratbildung nach Gleichung 2.11 angestrebt, die mit Stromausbeute von nahezu 100% arbeitet. Deshalb werden in einer modernen Chloratelectrolyseanlage der elektrochemische Reaktor und der chemische Reaktor getrennt, damit die electrochemische Chloratbildung (2.12) minimiert und die chemische Chloratbildung (2.11) vergrößert werden kann.

Neben der anodischen Chloratbildung kann die Stromausbeute durch die kathodische Reduktion von Hypochlorit (2.13) bzw. Chlorat (2.14) und durch die katalytische Zersetzung von Hypochlorit (2.15) verringert werden [4,8].

$$ClO^{-} + H_2O + 2e \longrightarrow Cl^{-} + 2OH^{-}$$
 (2.13)

$$ClO_3^- + 3 H_2O + 6 e \longrightarrow Cl^- + 6 OH^-$$
 (2.14)

$$2 \text{ ClO}^{-} \longrightarrow 2 \text{ Cl}^{-} + \text{ O}_{2} \tag{2.15}$$

#### Durch Chlorierung von Magnesiumhydroxid

Auf frisch gefälltes, in Wasser suspendiertes Mg(OH)<sub>2</sub> wirkt Cl<sub>2</sub> rascher ein als auf ein vorher bei 212°C getrocknetes und dann in H<sub>2</sub>O suspendiertes MgO. Die Umwandlung von primär gebildetem Hypochlorit in Chlorat erfolgt rasch und das Verhältnis Cl<sup>-</sup> zu ClO<sub>3</sub><sup>-</sup> nähert sich auch in konzentrierterer Lösung stark dem der Reaktionsgleichung

$$6 \text{ Mg(OH)}_2 + 6 \text{ Cl}_2 \longrightarrow 5 \text{ MgCl}_2 + \text{Mg(ClO}_3)_2 + 6 \text{ H}_2\text{O}$$
 (2.16)

entsprechenden Wert von 5 : 1, so dass der O<sub>2</sub>-Verlust beim Zerfall von Hypochlorit sehr klein sein muss. Gelegentlich wird die Lösung während der Reaktion, wahrscheinlich infolge von Oxychloridbildung, halbfest oder teigig [9]. Bei 0°C soll nach Lunge und Landolt [10] mehr als die Hälfte des Cl<sub>2</sub> mit MgO zu MgCl<sub>2</sub> reagieren, während der Rest des Chlors Mg(ClO)<sub>2</sub> bildet, das sich langsam in Chlorat umwandelt. Nach Cunningham [11] läßt man

Chlor bei 40 bis 50 °C einwirken, am besten in Gegenwart eines inerten, mit Wasser nicht mischbaren Lösungsmittels für Chlor, wie CCl<sub>4</sub>, in dem Mg(OH)<sub>2</sub> suspendiert wird. Die Abtrennung des Chlorats von Chlorid erfolgt entweder durch fraktionierte Kristallisation oder durch Extraktion mit Aceton aus einer Lösung, in der das Verhältnis H<sub>2</sub>O:(MgCl<sub>2</sub>+Mg(ClO<sub>3</sub>)<sub>2</sub>) nicht größer als 6 : 1 sein soll. Man erhält so ein Mg(ClO<sub>3</sub>)<sub>2</sub> mit nicht mehr als 10% MgCl<sub>2</sub> [12].

Nach dem Verfahren von Wilderman [13] lässt sich die Konzentration an Chlorat beträchtlich erhöhen, wenn man durch Zusatz von Füllkörpern für eine Vergrößerung der Reaktionsoberfläche sorgt und Mg(OH)<sub>2</sub> immer nur portionsweise zusetzt, um eine Abscheidung von festen Stoffen in der Absorptionsapparatur zu vermeiden.

#### Durch reziproke Umsetzung von Ba(ClO<sub>3</sub>)<sub>2</sub>-Lösung mit MgSO<sub>4</sub>-Lösung

Zur Darstellung von Mg(ClO<sub>3</sub>)<sub>2</sub> durch reziproke Umsetzung von Ba(ClO<sub>3</sub>)<sub>2</sub>-Lösung mit MgSO<sub>4</sub>-Lösung lässt man die erhaltene Lösung über H<sub>2</sub>SO<sub>4</sub> verdunsten oder engt sie in Gegenwart von P<sub>2</sub>O<sub>5</sub> bei 10°C zunächst im Vakuum bei 60°C ein [14,15]. Das Eindampfen bei höherer Temperatur darf nicht weiter als bis zur Dichte 1,56 g/ml bei 120°C erfolgen, denn sonst erhält man nach dem Abkühlen eine harte, spröde Masse, die beim Zerkleinern ein trockenes Pulver mit 5 bis 6 Mol H<sub>2</sub>O ergibt [16].

#### **Calciumchlorat**

Calciumchlorat wird im technischen Maßstab seit etwa 1930 hergestellt. Bis dahin hat es ausschließlich als Zwischenprodukt bei der Gewinnung von KClO<sub>3</sub> nach dem LIEBIG-Verfahren gedient. Das bei der Kalkchlorierung anfallende Calciumchlorat und Calciumchlorid wird in Lösungen zur Unkrautvernichtung verwendet. Es ermöglicht eine, wenn auch beschränkte, wirtschaftliche Verarbeitung von Elektrolyt-Restchlor und gibt die Möglichkeit zur Herstellung entsprechender technischer Produkte. Demgegenüber haben die sonstigen Verfahren zur Herstellung von Ca(ClO<sub>3</sub>)<sub>2</sub> keine größere technische Bedeutung erlangt.

#### Durch Elektrolyse von Calciumchloridlösungen

Die elektrochemische Herstellung hat sich nicht durchsetzen können, weil der sich an der Kathode bildende Niederschlag von Ca(OH)<sub>2</sub> die Zellenspannung in unerwünschter Weise erhöht [17]. Es scheint jedoch gelungen zu sein, die Krustenbildung durch Verwendung von

alkalifreiem CaCl<sub>2</sub> und durch Zusatz von verdünnter Säure und CrO<sub>3</sub> oder CaCrO<sub>4</sub> auf ein erträgliches Maß zurückführen [18].

## Durch Chlorierung von Kalkmilch oder von CaCO<sub>3</sub>-Aufschlämmungen

Gasförmiges Cl<sub>2</sub> wird in erhitzte Kalkmilch oder CaCO<sub>3</sub>-Aufschlämmung eingeleitet [19]. Zur Erhöhung des Umsatzes wurde die Verdichtung des Cl<sub>2</sub> unter Verwendung von Mammutpumpen vorgeschlagen [20]. Das Abwasserproblem im Zusammenhang mit der Chloratherstellung nach diesem Verfahren entstand durch Nichtverarbeitung des Abwassers [21].

Die Weiterbehandlung der Chlorat-Chloridlösungen, die auf 1 Mol Ca(ClO<sub>3</sub>)<sub>2</sub> theoretisch 5 Mol CaCl<sub>2</sub> enthalten sollen, praktisch aber reicher an CaCl<sub>2</sub> sind, hat verschiedene Ziele: Entweder die Gewinnung von Chlorat-Chloridgemischen oder die Herstellung von mehr oder weniger reinem Ca(ClO<sub>3</sub>)<sub>2</sub>. Begnügt man sich mit der Verarbeitung der Lösung auf ein Salzgemisch, so wird sie -eventuell nach einer Filtration- ohne weitere Umsetzung eingedampft, dabei wird das CaCl<sub>2</sub> wenigstens teilweise entfernt. Dies geschieht durch Konzentrierung der Lösung und darauf folgende Abkühlung [22]. Durch stufenweises Eindampfen und Abkühlen enthält das Endprodukt Ca(ClO<sub>3</sub>)<sub>2</sub> und CaCl<sub>2</sub> im Verhältnis 70:43 [23]. Aus Lösungen, die in dieser Weise mit Chlorat angereichert sind, wird Ca(ClO<sub>3</sub>)<sub>2</sub> oder Ca(ClO<sub>3</sub>)<sub>2</sub>.2H<sub>2</sub>O bei Temperaturen von 60°C bzw. 30°C zur Kristallisation gebracht [24]. Eine andere Methode zur Abscheidung des CaCl<sub>2</sub> besteht im Zusatz Ca(OH)<sub>2</sub> zur Lösung der beiden Salze bei Temperaturen um 60°C. Dabei fällt schwer lösliches CaCl<sub>2</sub>.Ca(OH)<sub>2</sub>.H<sub>2</sub>O aus, nach dessen Abschleudern das Filtrat 48% Ca(ClO<sub>3</sub>)<sub>2</sub> und 6% CaCl<sub>2</sub> enthält [25]. Die Lösung ist durch teilweise Entfernung von CaCl<sub>2</sub> und Nachsättigung mit Ca(ClO<sub>3</sub>)<sub>2</sub> an diesem auf über 50% angereichert. Durch Umsetzung mit Ca(OH)2 bei 50°C bis 100°C und Abkühlung auf 5°C bis 10°C ergibt sich Ca(ClO<sub>3</sub>)<sub>2</sub>.Ca(OH)<sub>2</sub>, das unmittelbar zur Unkrautvernichtung dient [26]. Zur Gewinnung von reinem Ca(ClO<sub>3</sub>)<sub>2</sub> soll ein Verfahren geeignet sein, bei dem Ca(ClO<sub>3</sub>)<sub>2</sub> aus einem Gemisch mit Chlorit und Chlorid bei 30°C mit Aceton extrahiert wird [27].

#### Aus Bariumchlorat und Aufschlämmung von CaO

Eine Lösung von 850 g reinem Bariumchlorat in 2 Liter destilliertem Wasser wird unter Rühren mit 2 Litern siedender (NH<sub>4</sub>)<sub>2</sub>SO<sub>4</sub>-Lösung solcher Konzentration versetzt, dass Ba<sup>2+</sup> fast vollständig auskristallisiert wird. Das restliche Ba<sup>2+</sup> wird durch verdünnte (NH<sub>4</sub>)<sub>2</sub>CO<sub>3</sub>-Lösung abgeschieden. Nach dem Absetzen des Sulfat- und Carbonatniederschlages wird die

NH<sub>4</sub>ClO<sub>3</sub>-Lösung filtriert, dann unter Rühren mit einer dicken Aufschlämmung von CaO versetzt, die soviel CaO enthält, dass nach Entfernung des gesamten NH<sub>3</sub> noch ein geringer CaO-Überschuss verbleibt. Dann wird die Mischung gekocht, bis kein NH<sub>3</sub> mehr entweicht und nach Abkühlen und Filtrieren des geringen CaO-Überschusses mit HCl-Lösung neutralisiert. Die erhaltene Ca(ClO<sub>3</sub>)<sub>2</sub>-Lösung wird bis zur beginnenden Kristallisation eingedampft. Die Kristalle enthalten nach dem Umkristallisieren außer Spuren von Cl<sup>-</sup> keine Verunreinigungen [28].

#### Durch reziproke Umsetzung von CaCl<sub>2</sub> mit siedender Lösung NaClO<sub>3</sub>

Von technischer Bedeutung ist die reziproke Umsetzung von CaCl<sub>2</sub> mit siedender NaClO<sub>3</sub>-Lösung, bei der das entstehende NaCl bei geeigneter Konzentration fast völlig aus der Lösung verdrängt werden kann, so dass das feste Endprodukt nach dem Verdampfen neben 97,5% Ca(ClO<sub>3</sub>)<sub>2</sub> nur 1,3% CaCl<sub>2</sub> und 1% NaCl enthält [29]. Ein ebenfalls zur Unkrautvernichtung geeignetes Gemisch von NaClO<sub>3</sub>, Ca(ClO<sub>3</sub>)<sub>2</sub>.2H<sub>2</sub>O und NaCl erhält man durch die gleiche Umsetzung bei Verwendung von CaCl<sub>2</sub> in einer geringeren als der theoretischen Menge [30].

## **Strontiumchlorat**

#### Durch Elektrolyse von Strontiumchloridlösungen

Die Bildung des Sr(ClO<sub>3</sub>)<sub>2</sub> durch Elektrolyse von SrCl<sub>2</sub> wird in neutraler Lösung durch einen Zusatz von Chromat begünstigt, wodurch die Bildung von Hydroxyd vermieden wird [31]. Nach Ratig [32] lassen sich die, infolge elektrolytischer Zersetzung des gebildeten Hypochlorits enstehenden, sogenannten "Wasserzersetzungsverluste" (Bildung von O<sub>2</sub> und H<sub>2</sub>) durch Gegenwart geringer freier Chlormengen im Elektrolyten auf ein Minimum herabdrücken. Es wird demnach vor oder während der Elektrolyse periodisch oder kontinuierlich gasförmiges Chlor eingeleitet, wobei der Elektrolyt auch noch den Zusatz eines reduktionsverhindernden Mittels erhalten kann.

Eine andere Herstellung auf elektrolytischem Wege ist in der Literatur [33] ebenfalls bekannt. Durch Elektrolyse einer Strontiumchloridlösung (1,5 M) bei einem pH-Wert von 6,0 und 333K unter Verwendung von einer Anode aus Edelmetalloxid oder Platinum mit einer drehbaren Kathode aus Edelstahl erhält man Strontiumchlorat. Das gebildete Strontiumhydroxid wird durch die Drehbewegung der Kathode selbständig gereinigt. Die Stromausbeute kann bis 64% erreicht werden.

#### Aus wasserfreiem Sr(ClO)<sub>2</sub> und Cl<sub>2</sub>O

Eine Suspension von wasserfreiem  $Sr(ClO)_2$  in  $CCl_4$  mit  $Cl_2O$  wird für 48 Stunden geschüttelt. Es bildet sich  $Sr(ClO_3)_2$  nach Reaktionsgleichung:

$$Sr(ClO)_2 + 4 Cl_2O = Sr(ClO_3)_2 + 4 Cl_2$$
 (2.17)

Während der Bildung ist aller 4 bis 5 Stunden das Erneuern der Cl<sub>2</sub>O-haltigen Lösung zweckmäßig [34].

#### Durch Chlorierung einer Suspension von SrCO<sub>3</sub>

Gasförmiges Cl<sub>2</sub> wird in eine Suspension von SrCO<sub>3</sub> bei 70°C bis 90°C eingeleitet [35]. Die Abtrennung von Sr(ClO<sub>3</sub>)<sub>2</sub> aus Mischungen mit SrCl<sub>2</sub> und Sr(ClO<sub>2</sub>)<sub>2</sub> erfolgt durch selektive Extraktion mit Aceton bei 30°C [36].

# Durch Umsetzung SrCO3 mit HClO3-Lösung

Eine wässrige HClO<sub>3</sub>-Lösung wird aus einer äquivalenten Menge von Ba(ClO<sub>3</sub>)<sub>2</sub> mit H<sub>2</sub>SO<sub>4</sub> hergestellt. Eine heiße Suspension SrCO<sub>3</sub> wird hinzugefügt. Die Mischung wird filtriert, verdünnt und Sr(ClO<sub>3</sub>)<sub>2</sub> auskristallisiert [37].

#### **Bariumchlorat**

#### Durch Elektrolyse von Bariumchloridlösungen

Man elektrolysiert eine 30% bis 40%-ige BaCl<sub>2</sub>-Lösung bei 70°C bis 80°C ohne Diaphragma unter Verwendung einer Platinanode und einer Graphitkathode. Durch Zusatz von etwas BaCO<sub>3</sub> oder Ba(OH)<sub>2</sub> zum Elektrolyten wird die Entwicklung von freiem Chlor verhindert und dadurch die Bildung von Hypochlorit sehr erheblich vermindert [38].

# Durch Chlorierung einer wässrigen Lösung oder Suspension von Ba(OH)2 oder BaCO3

Gasförmiges Chlor wird in eine siedende Lösung oder Suspension von Ba(OH)<sub>2</sub> oder BaCO<sub>3</sub> eingeleitet. Beim Abkühlen kristallisiert ein Gemisch von Bariumchlorat und Bariumchlorid aus [39]. Die Trennung der Salze gelingt, wenn man zunächst nur die Hauptmenge des BaCl<sub>2</sub> auskristallisieren lässt und den Rest Chlorid durch Umsetzung mit der berechneten Menge Ag-Phosphat in etwas Essigsäure beseitigt [40].

#### Aus wässriger Chlorsäure und Bariumverbindungen

Man setzt eine heiße wässrige KClO<sub>3</sub>- oder NaClO<sub>3</sub>-Lösung mit H<sub>2</sub>SiF<sub>6</sub> in einen kleinen Überschuss um, filtriert, neutralisiert mit BaCO<sub>3</sub> und lässt das Filtrat kristallisieren [41,42].

Man vermischt eine Lösung von NaClO<sub>3</sub> mit einer Lösung von Di-oxy-bernsteinsäure, versetzt mit doppeltem Volumen Alkohol, filtriert dieses nach 24 Stunden von dem gebildeten Na-Hydrotartrat ab und neutralisiert das Filtrat mit einer Suspension von BaCO<sub>3</sub> [43].

Eine siedende Lösung von NH<sub>4</sub>-Hydrotartrat wird mit einer siedenden Lösung KClO<sub>3</sub> vermischt, ein gleiches Volumen Alkohol hinzugefügt, das auskristallisierte K-Hydrotartrat abfiltriert, das Filtrat mit BaCO<sub>3</sub> zum Vertreiben des NH<sub>3</sub> gekocht und der Kristallisation überlassen [44].

Die Lösung von NaClO<sub>3</sub> wird mit einer höchstens auf 55°C erwärmten gesättigten Lösung von Oxalsäure vermischt, abgekühlt, das ausgeschiedene Na-Oxalat abfiltriert und das Filtrat mit BaCO<sub>3</sub> neutralisiert [45].

Eine mit Wasser zu einem dünnen Brei angerührte Mischung von 1 Mol Al<sub>2</sub>(SO<sub>4</sub>)<sub>3</sub>.18H<sub>2</sub>O, 1 Mol H<sub>2</sub>SO<sub>4</sub> und 2 Mol KClO<sub>3</sub> (Al-sulfat und H<sub>2</sub>SO<sub>4</sub> in einem kleinen Überschuss) wird eine halbe Stunde lang auf dem Wasserbad erwärmt, nach völligem Erkalten mit dem mehrfachen Volumen Alkohol vermischt, filtriert und der ausgeschiedene Alaun mit 50 %-igem Alkohol ausgewaschen. Das Filtrat wird mit Ba(OH)<sub>2</sub> neutralisiert, zur Vertreibung der Hauptmenge des Alkohols erwärmt, darauf das ausgefallene BaSO<sub>4</sub> und Al(OH)<sub>3</sub> abfiltriert und das Filtrat eingedampft, wobei Ba(ClO<sub>3</sub>)<sub>2</sub>.H<sub>2</sub>O auskristallisiert [46].

#### Durch Umsetzung von Chloratverbindungen mit Bariumchlorid

Gasförmiges Cl<sub>2</sub> wird in Kalkmilch eingeleitet. Die dargestellte Ca(ClO<sub>3</sub>)<sub>2</sub> enthaltende Rohlauge wird eingeengt, bis der größte Teil des CaCl<sub>2</sub> auskristallisiert ist. Danach wird in berechneter Menge eine siedende gesättigte Lösung von BaCl<sub>2</sub> zugesetzt. Beim Abkühlen scheiden sich Kristalle von Bariumchlorat mit etwa 10% BaCl<sub>2</sub> aus, die durch Umkristallisation gereinigt werden [47].

Aus einem Lösungsgemisch von NaClO<sub>3</sub> und BaCl<sub>2</sub> scheidet sich beim Eindampfen zunächst NaCl aus. Die Mutterlauge enthält Kristalle mit einem Gehalt von 72% Bariumchlorat, die durch Umkristallisation gereinigt werden [48].

## **Anwendung von Erdalkalimetallchloraten**

Chlorate sind sehr starke Oxydationsmittel. Auf dieser Eigenschaft beruhen praktische Anwendungsgebiete, auch die der Pyrotechnik und Feuerwerkerei. Tabelle 2.1 enthält die Anwendungen von Erdalkalimetallchloraten.

Tabelle 2.1: Anwendung von Magnesium-, Calcium-, Strontium- und Bariumchlorat

Erdalkalimetallchlorat	Einsatzgebiet		
Magnesiumchlorat	Entlaubungsmittel [49-53]		
Calciumchlorat	Unkrautvertilgungsmittel, Erzeugung von		
	Ammoniumchlorat, Chromchlorat und Kobaltchlorat [54]		
	als Insektizid und zur Saatgutbeize [55]		
	als Zusatz zu Viehfutter [56]		
	als Lösungsmittel für organische NH <sub>3</sub> -Verbindungen, die als		
	Flotationsmittel dienen [57]		
	Bleichung von Pflanzenfasern [58]		
	Bekämpfung von Pflanzen- und Tierschädlingen [59]		
	Herstellung fungizider und bakterizider Mittel [60]		
Strontiumchlorat	Feuerwerkerei [54]		
Bariumchlorat	Unkrautvertilgungsmittel, Feuerwerkerei, Erzeugung von		
	Ammoniumchlorat, Chromchlorat, Kobaltchlorat,		
	Lithiumchlorat und Magnesiumchlorat [54]		
	Erzeugung von Teluriumchlorat und Feuerwerkerei [61]		

Auf Grund dieser Anwendungsgebiete werden ihre Produktionen zu steigern bzw. neue Verfahren zu ihren Produktionen aus Natriumchlorat und Erdalkalimetallchlorid zu entwickeln sein. Optimale reziproke Umsetzungen sind dafür eine gute Möglichkeit.

#### 2.4 Lösungsgleichgewichte in den reziproken Salzpaaren

$$MCl_2 + 2 NaClO_3 = M(ClO_3)_2 + 2 NaCl/H_2O$$
  $(M = Mg^{2+}, Ca^{2+}, Sr^{2+}, Ba^{2+})$ 

Die Lösungsgleichgewichte in den reziproken Salzpaaren  $MCl_2 + 2 NaClO_3 = M(ClO_3)_2 + 2 NaCl/H_2O$  ( $M = Mg^{2+}$ ,  $Ca^{2+}$ ,  $Sr^{2+}$ ,  $Ba^{2+}$ ) beinhalten 23 Randsysteme. Diese Randsysteme unterteilen sich in 10 binäre Systeme: NaCl-H<sub>2</sub>O, NaClO<sub>3</sub>-H<sub>2</sub>O,  $MCl_2$ -H<sub>2</sub>O ( $M = Mg^{2+}$ ,  $Ca^{2+}$ ,  $Sr^{2+}$ ,  $Ba^{2+}$ ),  $M(ClO_3)_2$ -H<sub>2</sub>O ( $M = Mg^{2+}$ ,  $Ca^{2+}$ ,  $Sr^{2+}$ ,  $Ba^{2+}$ ), und in 13 ternäre Systeme: NaCl-NaClO<sub>3</sub>-H<sub>2</sub>O, NaCl-MCl<sub>2</sub>-H<sub>2</sub>O ( $M = Mg^{2+}$ ,  $Ca^{2+}$ ,  $Sr^{2+}$ ,  $Ba^{2+}$ ),  $MCl_2$ -M(ClO<sub>3</sub>)<sub>2</sub>-H<sub>2</sub>O ( $M = Mg^{2+}$ ,  $Ca^{2+}$ ,  $Sr^{2+}$ ,  $Sr^{$ 

Auf die einzelnen Systeme wird in der nachfolgenden Literaturübersicht eingegangen. Alle Konzentrationsangaben beruhen auf Literaturhinweisen, die zur Vergleichbarkeit einheitlich auf Masse-% Salz umgerechnet sind.

#### 2.4.1 Die gemeinsamen Randsysteme NaCl-H<sub>2</sub>O, NaClO<sub>3</sub>-H<sub>2</sub>O und NaCl-NaClO<sub>3</sub>-H<sub>2</sub>O

#### NaCl-H<sub>2</sub>O

Zum System NaCl-H<sub>2</sub>O liegt in der Literatur außerordentlich umfangreiches und zuverlässiges Material vor [62-68]. Das System ist durch das Auftreten der drei festen Phasen Eis, NaCl und NaCl.2H<sub>2</sub>O gekennzeichnet (Bild 2.6). Die Tabelle 2.2 enthält ausgewählte Punkte des Systems NaCl-H<sub>2</sub>O mit den NaCl-Sättigungskonzentrationen und den zugehörigen Bodenkörpern. Eine gesättigte NaCl-Lösung siedet unter Normaldruck bei 108,8 °C und weist einen Gehalt von 28,90 Masse-% NaCl auf [63]. Die Temperaturabhängigkeit der Löslichkeit des wasserfreien NaCl ist sehr gering.

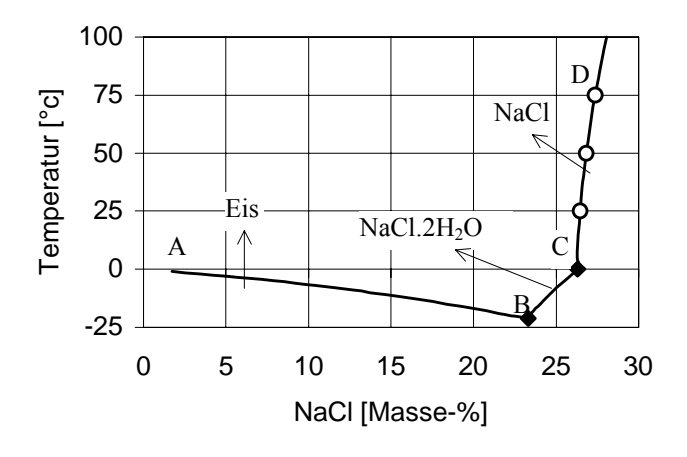


Bild 2.6: System NaCl-H<sub>2</sub>O [65]

Temperatur [°C]	Konzentration [Masse-%]	Bodenkörper	Punkte im Bild 2.6	Literatur
-21,2	23,30	Eis + NaCl.2H <sub>2</sub> O	В	[62]
0,15	26,30	NaCl.2H <sub>2</sub> O + NaCl	С	[62]
25	26,46	NaCl		[65]
50	26,83	NaCl		[65]
75	27,37	NaCl		[65]

Tabelle 2.2: Sättigungskonzentrationen von NaCl im System NaCl-H<sub>2</sub>O

# NaClO<sub>3</sub>-H<sub>2</sub>O

Das System NaClO<sub>3</sub>-H<sub>2</sub>O ist in der Literatur beschrieben [69-73]. Es ist durch das Auftreten der festen Phasen Eis und NaClO<sub>3</sub> gekennzeichnet (Bild 2.7). Die Tabelle 2.3 enthält ausgewählte Punkte des Systems NaClO<sub>3</sub>-H<sub>2</sub>O mit den NaClO<sub>3</sub>-Sättigungskonzentrationen und den zugehörigen Bodenkörpern.

Der kryohydratische Punkt des Systems liegt bei -17,8 °C und besitzt eine Sättigungskonzentration von 39,74 Masse-% NaClO<sub>3</sub> [69]. Die Temperaturabhängigkeit der Löslichkeit des NaClO<sub>3</sub> ist groß.

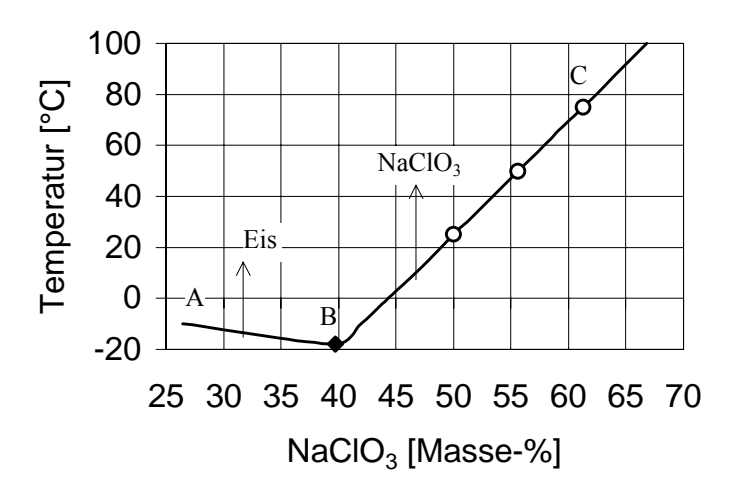


Bild 2.7: System NaClO<sub>3</sub>-H<sub>2</sub>O [69]

Temperatur [°C]	Konzentration [Masse-%]	Bodenkörper	Punkte im Bild 2.7
-17,8	39,74	Eis + NaClO <sub>3</sub>	В
25	50,0	NaClO <sub>3</sub>	
50	55,6	NaClO <sub>3</sub>	
75	61,3	NaClO <sub>3</sub>	

Tabelle 2.3: Gleichgewichte im System NaClO<sub>3</sub>-H<sub>2</sub>O [69]

# NaCl-NaClO<sub>3</sub>-H<sub>2</sub>O

Das System NaCl-NaClO<sub>3</sub>-H<sub>2</sub>O ist ebenfalls in der Literatur [74-77] beschrieben. In diesem System treten keine Doppelsalze auf. NaCl wird mit steigendem NaClO<sub>3</sub>-Gehalt ausgesalzen und umgekehrt. Bild 2.8 zeigt das ternäre Randsystem NaCl-NaClO<sub>3</sub>-H<sub>2</sub>O bei verschiedenen Temperaturen. Die Tabelle 2.4 enthält ausgewählte Punkte des Randsystems NaCl-NaClO<sub>3</sub>-H<sub>2</sub>O. An den isothermen invarianten Zweisalzpunkten NaCl-NaClO<sub>3</sub> sinken mit steigender Temperatur die NaCl-Löslichkeiten bei Erhöhung der NaClO<sub>3</sub>-Löslichkeiten.

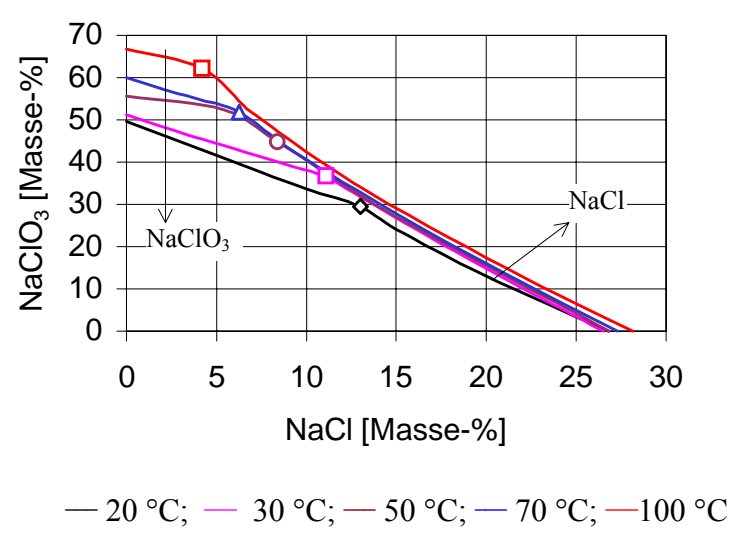


Bild 2.8: System NaCl-NaClO<sub>3</sub>-H<sub>2</sub>O [75]

Temperatur [°C]	NaCl [Masse-%]	NaClO <sub>3</sub> [Masse-%]	Bodenkörper
-26,25	15,38	20,16	Eis + NaCl.2H <sub>2</sub> O + NaClO <sub>3</sub>
-19,2	15,91	34,99	NaCl.2H <sub>2</sub> O + NaClO <sub>3</sub>
-9,8	16,57	22,08	NaCl.2H <sub>2</sub> O + NaClO <sub>3</sub>
-5,7	16,80	22,59	NaCl + NaCl.2H <sub>2</sub> O + NaClO <sub>3</sub>
10	14,27	28,52	NaCl + NaClO <sub>3</sub>
20	13,0	29,5	NaCl + NaClO <sub>3</sub>
30	11,08	36,79	NaCl + NaClO <sub>3</sub>
50	8,36	44,83	NaCl + NaClO <sub>3</sub>
70	6,26	51,86	NaCl + NaClO <sub>3</sub>
100	4,19	62,19	NaCl + NaClO <sub>3</sub>

Tabelle 2.4: Gleichgewichte im System NaCl-NaClO<sub>3</sub>-H<sub>2</sub>O [75]

Zusammenfassend kann festgestellt werden, dass für die drei gemeinsamen Randsysteme NaCl-H<sub>2</sub>O, NaClO<sub>3</sub>-H<sub>2</sub>O und NaCl-NaClO<sub>3</sub>-H<sub>2</sub>O ein hinreichendes Material in der Literatur vorliegt. Die Zuverlässigkeit des Materials ist ebenfalls gegeben.

2.4.2 Die binären Randsysteme 
$$MCl_2$$
- $H_2O$  und  $M(ClO_3)_2$ - $H_2O$  
$$(M=Mg^{2+},\,Ca^{2+},\,Sr^{2+},\,Ba^{2+})$$

#### MgCl<sub>2</sub>-H<sub>2</sub>O

Das System MgCl<sub>2</sub>-H<sub>2</sub>O ist aus der Literatur ausgezeichnet bekannt [78-80]. Eine Darstellung des Systems ist mit dem Bild 2.9 gegeben.

In dem System sind insgesamt fünf verschiedene Hydrate bekannt. Kurve A-B gibt die Zusammensetzung der Lösung im Gleichgewicht mit Eis an. Der Punkt B ist der kryohydratische Punkt (Gleichgewicht Lösung-Eis-MgCl<sub>2</sub>.12H<sub>2</sub>O). Längs B-C ist MgCl<sub>2</sub>.12H<sub>2</sub>O der stabile Bodenkörper, längs C-D MgCl<sub>2</sub>.8H<sub>2</sub>O, längs D-E MgCl<sub>2</sub>.6H<sub>2</sub>O, längs E-F MgCl<sub>2</sub>.4H<sub>2</sub>O und oberhalb F MgCl<sub>2</sub>.2H<sub>2</sub>O.

Die Tabelle 2.5 enthält ausgewählte Punkte des Systems MgCl<sub>2</sub>-H<sub>2</sub>O mit Konzentrations- und Bodenkörperangaben.

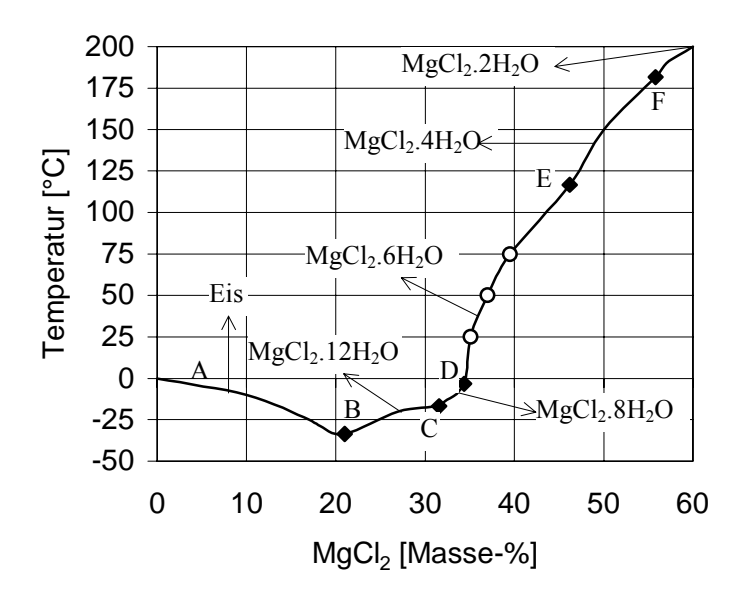


Bild 2.9: System MgCl<sub>2</sub>-H<sub>2</sub>O [78]

Tabelle 2.5: Gleichgewichte im System MgCl<sub>2</sub>-H<sub>2</sub>O

Temperatur [°C]	Konzentration [Masse-%]	Bodenkörper	Punkte im Bild 2.9	Literatur
-33,6	21,0	Eis + MgCl2.12H2O	В	[78]
-16,8	31,6	$MgCl_2.12H_2O + MgCl_2.8H_2O$	С	[78]
-3,4	34,4	$MgCl_2.8H_2O + MgCl_2.6H_2O$	D	[78]
25	35,5	MgCl <sub>2</sub> .6H <sub>2</sub> O		[78]
50	37,2	MgCl <sub>2</sub> .6H <sub>2</sub> O		[78]
75	39,15	MgCl <sub>2</sub> .6H <sub>2</sub> O		[80]
116,67	46,2	$MgCl_2.6H_2O + MgCl_2.4H_2O$	Е	[78]
181,5	55,8	$MgCl_2.4H_2O + MgCl_2.2H_2O$	F	[78]

# CaCl<sub>2</sub>-H<sub>2</sub>O

Das System CaCl<sub>2</sub>-H<sub>2</sub>O gilt ebenfalls als ausgezeichnet bekannt [81-87]. Es ist im Bild 2.10 dargestellt. Die grundlegenden Untersuchungen stammen von Roozeboom [81].

In diesem System sind insgesamt fünf verschiedene Hydrate bekannt. Kurve A-B gibt die Zusammensetzung der mit Eis im Gleichgewicht stehenden Lösungen an. B ist der kryohydratische Punkt Eis-CaCl<sub>2</sub>.6H<sub>2</sub>O. Die Abschnitte B-C, C-D, D-E und oberhalb E entsprechen den Bodenkörpern CaCl<sub>2</sub>.6H<sub>2</sub>O, CaCl<sub>2</sub>.4H<sub>2</sub>O, CaCl<sub>2</sub>.2H<sub>2</sub>O und CaCl<sub>2</sub>.H<sub>2</sub>O. Die

Tabelle 2.6 enthält eine Zusammenstellung ausgewählter Punkte des Systems mit Konzentrations- und Bodenkörperangaben.

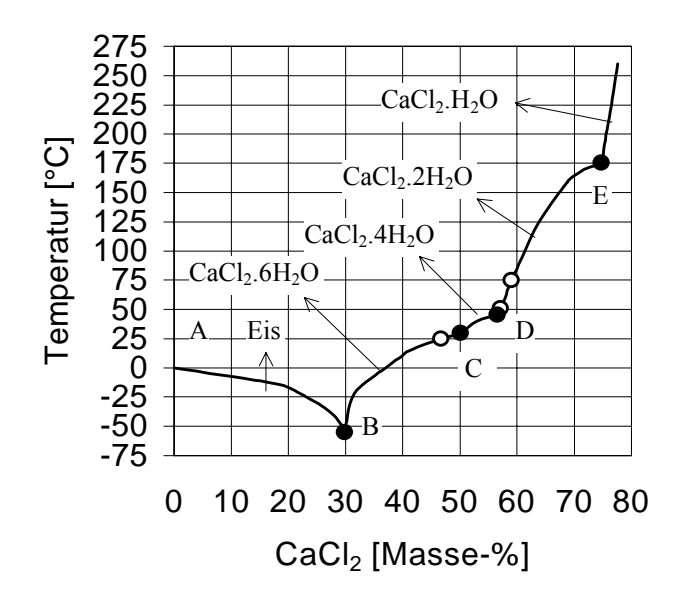


Bild 2.10: System CaCl<sub>2</sub>-H<sub>2</sub>O [81-87]

Tabelle 2.6: Gleichgewichte im System CaCl<sub>2</sub>-H<sub>2</sub>O

Temperatur [°C]	Konzentration [Masse-%]	Bodenkörper	Punkt im Bild 2.10	Literatur
-55	29,9	Eis + CaCl <sub>2</sub> . $6H_2O$	В	[81]
25	46,1	CaCl <sub>2</sub> . 6H <sub>2</sub> O		[82]
29,8	50,1	$CaCl_2$ . $6H_2O + CaCl_2$ . $4H_2O$	С	[81]
45,3	56,6	$CaCl_2.4H_2O + CaCl_2.2H_2O$	D	[81]
50	56,95	CaCl <sub>2</sub> .2H <sub>2</sub> O		[81]
75	59,0	CaCl <sub>2</sub> .2H <sub>2</sub> O		[81]
175,5	74,8	$CaCl_2.2H_2O + CaCl_2.H_2O$	Е	[81]

CaCl<sub>2</sub> besitzt eine sehr starke positive Temperaturabhängigkeit der Sättigungskonzentration. Der Siedepunkt einer gesättigten CaCl<sub>2</sub>-Lösung unter Normaldruck liegt bei 178 °C und hat eine Sättigungskonzentration von 75,30 Masse-% CaCl<sub>2</sub> [63].

# SrCl<sub>2</sub>-H<sub>2</sub>O

Für das System SrCl<sub>2</sub>-H<sub>2</sub>O liegt in der Literatur hinreichendes Material vor [88-98]. In diesem System treten als feste Phasen Eis, SrCl<sub>2</sub>.6H<sub>2</sub>O, SrCl<sub>2</sub>.2H<sub>2</sub>O, SrCl<sub>2</sub>.H<sub>2</sub>O, SrCl<sub>2</sub>.0,5H<sub>2</sub>O und wasserfreies SrCl<sub>2</sub> auf. Für die Untersuchungen im Rahmen dieser Arbeit sind jedoch nur die Hydratstufen SrCl<sub>2</sub>.6H<sub>2</sub>O und SrCl<sub>2</sub>.2H<sub>2</sub>O von Interesse. Alle wichtigen Informationen zu dem System SrCl<sub>2</sub>-H<sub>2</sub>O sind dem Bild 2.11 und der Tabelle 2.7 zu entnehmen.

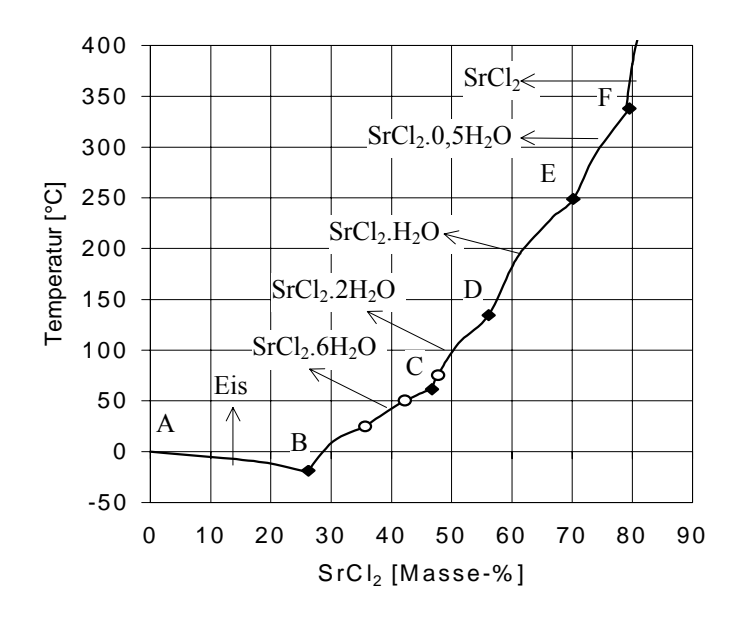


Bild 2.11: System SrCl<sub>2</sub>-H<sub>2</sub>O [97]

Tabelle 2.7: Gleichgewichte im System SrCl<sub>2</sub>-H<sub>2</sub>O

Temperatur [°C]	Konzentration [Masse-%]	Bodenkörper	Punkte im Bild 2.11	Literatur
-18,7	26,20	Eis + SrCl <sub>2</sub> .6H <sub>2</sub> O	В	[97]
25	35,68	SrCl <sub>2</sub> .6H <sub>2</sub> O		[98]
50	42,27	SrCl <sub>2</sub> .6H <sub>2</sub> O		[98]
61,3	46,70	$SrCl_2$ . $6H_2O + SrCl_2$ . $2H_2O$	С	[97]
75	47,80	SrCl <sub>2</sub> .2H <sub>2</sub> O		Interpoliert
134,4	56,10	$SrCl_2.2H_2O + SrCl_2.H_2O$	D	[97]
249	70,20	$SrCl_2.H_2O + SrCl_2.0,5H_2O$	Е	[97]
338	79,50	$SrCl_2.0,5H_2O + SrCl_2$	F	[97]

Die Temperaturabhängigkeit der Löslichkeit von SrCl<sub>2</sub> ist positiv. Eine gesättigte SrCl<sub>2</sub>-Lösung siedet unter Normaldruck bei 117 °C und hat eine Sättigungskonzentration von 52,90 Masse-% SrCl<sub>2</sub> [63].

## BaCl<sub>2</sub>-H<sub>2</sub>O

Das System BaCl<sub>2</sub>-H<sub>2</sub>O ist in der Literatur [99-103] beschrieben. Es ist durch das Auftreten von vier festen Phasen: Eis, BaCl<sub>2</sub>.2H<sub>2</sub>O, BaCl<sub>2</sub>.H<sub>2</sub>O und BaCl<sub>2</sub> gekennzeichnet. Bild 2.12 zeigt das System BaCl<sub>2</sub>-H<sub>2</sub>O. Kurve A-B gibt die Zusammensetzung der mit Eis im Gleichgewicht befindlichen Lösung an, in B scheidet sich Eis + BaCl<sub>2</sub>.2H<sub>2</sub>O ab, längs B-C ist BaCl<sub>2</sub>.2H<sub>2</sub>O, längs C-D BaCl<sub>2</sub>.H<sub>2</sub>O der stabile Bodenkörper. Die Tabelle 2.8 enthält ausgewählte Punkte des Systems BaCl<sub>2</sub>-H<sub>2</sub>O. Die Temperaturabhängigkeit der Löslichkeit des BaCl<sub>2</sub> ist gering.

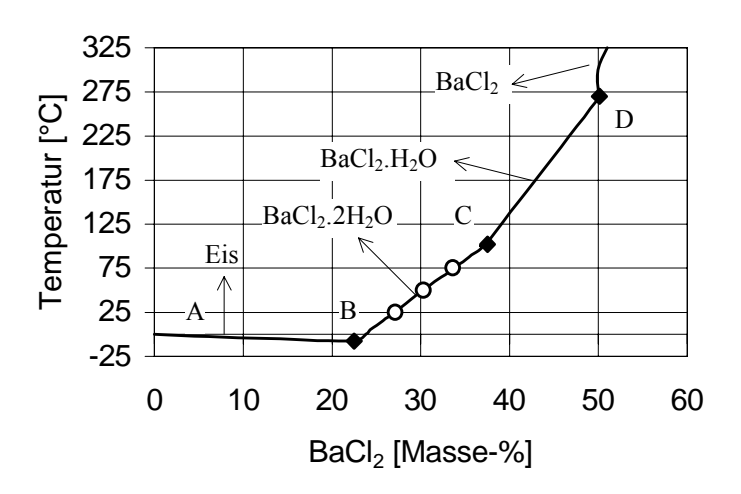


Bild 2.12: System BaCl<sub>2</sub>-H<sub>2</sub>O [99-102]

Tabelle 2.8: Gleichgewichte im System BaCl<sub>2</sub>-H<sub>2</sub>O

Temperatur [°C]	Konzentration [Masse-%]	Bodenkörper	Punkte im Bild 2.12	Literatur
-7,8	22,5	Eis + BaCl <sub>2</sub> .2H <sub>2</sub> O	В	[99]
25	27,1	BaCl <sub>2</sub> .2H <sub>2</sub> O		[101]
50	30,3	BaCl <sub>2</sub> .2H <sub>2</sub> O		[101]
75	33,6	BaCl <sub>2</sub> .2H <sub>2</sub> O		[101]
102,1	37,5	$BaCl_2.2H_2O + BaCl_2.H_2O$	С	[102]
270	50,1	$BaCl_2.H_2O + BaCl_2$	D	[101]

# $Mg(ClO_3)_2-H_2O$

Zum System Mg(ClO<sub>3</sub>)<sub>2</sub>-H<sub>2</sub>O liegen in der Literatur nur zwei Veröffentlichungen vor, die außerdem widersprüchlich sind [104,105]. Die Daten sind im Bild 2.13 dargestellt. Nach [104] existiert von 18°C bis 35°C Mg(ClO<sub>3</sub>)<sub>2</sub>.6H<sub>2</sub>O als Bodenkörper und von 42°C bis 65,5°C Mg(ClO<sub>3</sub>)<sub>2</sub>.4H<sub>2</sub>O, während nach [105] zwischen 39,5°C und 93°C Mg(ClO<sub>3</sub>)<sub>2</sub>.2H<sub>2</sub>O als stabiler Bodenkörper existieren soll. Die Tabelle 2.9 enthält die Literaturwerte zum System Mg(ClO<sub>3</sub>)<sub>2</sub>-H<sub>2</sub>O. Mit den freien Zeilen für 25°C, 50°C und 75°C soll deutlich gemacht werden, dass für die in dieser Arbeit interessierenden Temperaturen keine zuverlässigen Daten vorliegen. Mg(ClO<sub>3</sub>)<sub>2</sub> ist sehr leicht löslich in Alkohol [106] und löslich in Aceton [107].

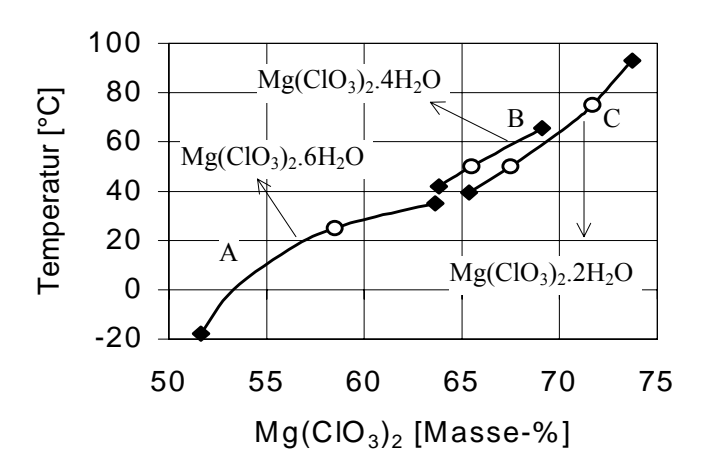


Bild 2.13: Darstellung der Literaturdaten zum System Mg(ClO<sub>3</sub>)<sub>2</sub>-H<sub>2</sub>O [104,105]

Tabelle 2.9: Literaturwerte zum System Mg(ClO<sub>3</sub>)<sub>2</sub>-H<sub>2</sub>O

Temperatur [°C]	Konzentration [Masse-%]	Bodenkörper	Kurve	Literatur
-18	51,64	Mg(ClO <sub>3</sub> ) <sub>2</sub> .6H <sub>2</sub> O	A	[104]
25				
35	63,65	Mg(ClO <sub>3</sub> ) <sub>2</sub> .6H <sub>2</sub> O	A	[104]
42	63,83	Mg(ClO <sub>3</sub> ) <sub>2</sub> .4H <sub>2</sub> O	В	[104]
50				
65,5	69,12	Mg(ClO <sub>3</sub> ) <sub>2</sub> .4H <sub>2</sub> O	В	[104]
39,5	65,37	Mg(ClO <sub>3</sub> ) <sub>2</sub> .2H <sub>2</sub> O	С	[105]
50				
75				
93	73,71	Mg(ClO <sub>3</sub> ) <sub>2</sub> .2H <sub>2</sub> O	С	[105]

# Ca(ClO<sub>3</sub>)<sub>2</sub>-H<sub>2</sub>O

Zum System Ca(ClO<sub>3</sub>)<sub>2</sub>-H<sub>2</sub>O liegt in der Literatur wieder sicheres Material vor [28, 105, 108-112]. Ausgewählte Daten zum System Ca(ClO<sub>3</sub>)<sub>2</sub>-H<sub>2</sub>O sind in der Tabelle 2.10 zusammengestellt. Mit dem Bild 2.14 ist eine graphische Darstellung dieser Daten gegeben.

Tabelle 2.10: A	Ausgewählte Daten	zum System Ca	$(ClO_3)_2-H_2O$

Temperatur [°C]	Konzentration [Masse-%]	Bodenkörper	Punkt im Bild 2.14	Literatur
-41	45,5	$Eis + Ca(ClO_3)_2.6H_2O$	В	[108]
-26,8	55	Ca(ClO3)2.6H2O + Ca(ClO3)2.4H2O	С	[108]
-7,8	62,7	Ca(ClO3)2.4H2O + Ca(ClO3)2.2H2O	D	[108]
25	66,3	Ca(ClO <sub>3</sub> ) <sub>2</sub> .2H <sub>2</sub> O		[28]
50	71,73	Ca(ClO <sub>3</sub> ) <sub>2</sub> .2H <sub>2</sub> O		[112]
75	76,4	Ca(ClO <sub>3</sub> ) <sub>2</sub> .2H <sub>2</sub> O		Interpoliert
76	77	Ca(ClO3)2.2H2O + Ca(ClO3)2	Е	[108]

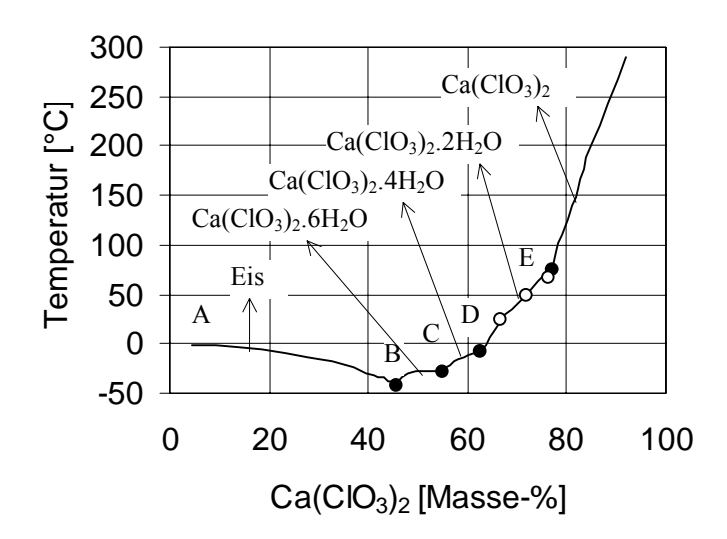


Bild 2.14: System Ca(ClO<sub>3</sub>)<sub>2</sub>-H<sub>2</sub>O [108]

Die Lösung des Systems Ca(ClO<sub>3</sub>)<sub>2</sub>-H<sub>2</sub>O ist sehr viskos und neigt zur Unterkühlung [108].

#### $Sr(ClO_3)_2-H_2O$

Zum System Sr(ClO<sub>3</sub>)<sub>2</sub>-H<sub>2</sub>O liegen in der Literatur ebenfalls nur zwei Arbeiten vor [37,105] wovon nur die Arbeit von Linke [37] Bedeutung hat. Linke untersucht das System vom kryohydratischen Punkt bis zur Siedetemperatur bei Normaldruck und Sättigung an einem Bodenkörper. Die Daten können als gesichert angesehen werden. Die Tabelle 2.11 enthält Daten zum System Sr(ClO<sub>3</sub>)<sub>2</sub>-H<sub>2</sub>O.

Temperatur [°C]	Konzentration [Masse-%]	Bodenkörper	Punkte im Bild 2.15
-37,0	54,5	Eis + Sr(ClO3)2.3H2O	В
10	63,4	$Sr(ClO_3)_2.3H_2O + Sr(ClO_3)_2$	С
25	63,78	Sr(ClO <sub>3</sub> ) <sub>2</sub>	
50	64,65	Sr(ClO <sub>3</sub> ) <sub>2</sub>	
75	66	Sr(ClO <sub>3</sub> ) <sub>2</sub>	

Tabelle 2.11: Ausgewählte Daten zum System Sr(ClO<sub>3</sub>)<sub>2</sub>-H<sub>2</sub>O [37]

Mit dem Bild 2.15 ist die graphische Darstellung dieser Daten gegeben. Im System Sr(ClO<sub>3</sub>)<sub>2</sub>-H<sub>2</sub>O treten als feste Phasen Eis, Sr(ClO<sub>3</sub>)<sub>2</sub>.3H<sub>2</sub>O und Sr(ClO<sub>3</sub>)<sub>2</sub> auf. Für die vorliegende Arbeit ist wichtig, dass im Temperaturbereich von 25°C bis 75°C nur mit dem Auftreten von wasserfreiem Strontiumchlorat gerechnet werden muss.

Die Dichte der gesättigten Sr(ClO<sub>3</sub>)<sub>2</sub>-Lösung bei 10 °C ist 1,829 g/cm<sup>3</sup>. Eine an Sr(ClO<sub>3</sub>)<sub>2</sub> gesättigte Lösung siedet unter Normaldruck bei 121°C und hat eine Dichte von 1,867 g/cm<sup>3</sup> [37].

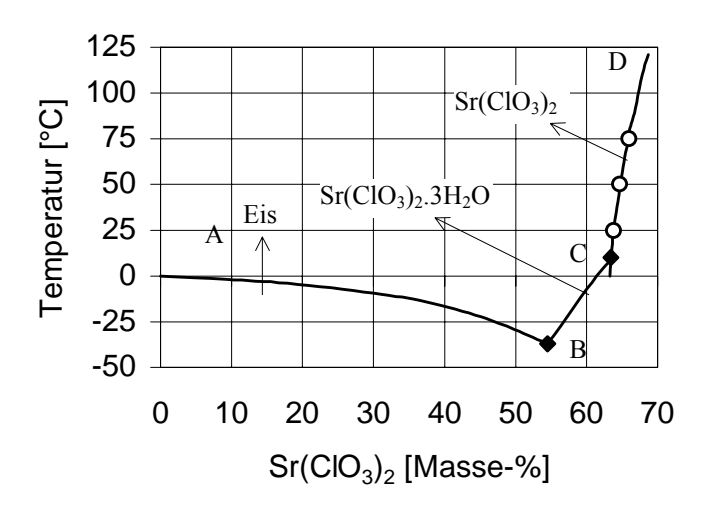


Bild 2.15: System Sr(ClO<sub>3</sub>)<sub>2</sub>-H<sub>2</sub>O [37]

# $Ba(ClO_3)_2-H_2O$

Für das System Ba(ClO<sub>3</sub>)<sub>2</sub>-H<sub>2</sub>O liegt in der Literatur hinreichendes Material vor [113,114]. Als feste Phasen treten nur Eis und Ba(ClO<sub>3</sub>)<sub>2</sub>.H<sub>2</sub>O auf. Tabelle 2.12 enthält eine Zusammenstellung ausgewählter Punkte des Systems.

Temperatur [°C]	Konzentration [Masse-%]	Bodenkörper	Punkte im Bild 2.11
$2,749 \pm 0,004$	15,28	Kryohydrat Eis + Ba(ClO <sub>3</sub> ) <sub>2</sub> .H <sub>2</sub> O	В
25	27,57	Ba(ClO <sub>3</sub> ) <sub>2</sub> .H <sub>2</sub> O	
50	36,69	Ba(ClO <sub>3</sub> ) <sub>2</sub> .H <sub>2</sub> O	
75	44,50	Ba(ClO <sub>3</sub> ) <sub>2</sub> .H <sub>2</sub> O	Interpoliert

Die graphische Darstellung der Werte aus Tabelle 2.12 ist mit dem Bild 2.16 gegeben.

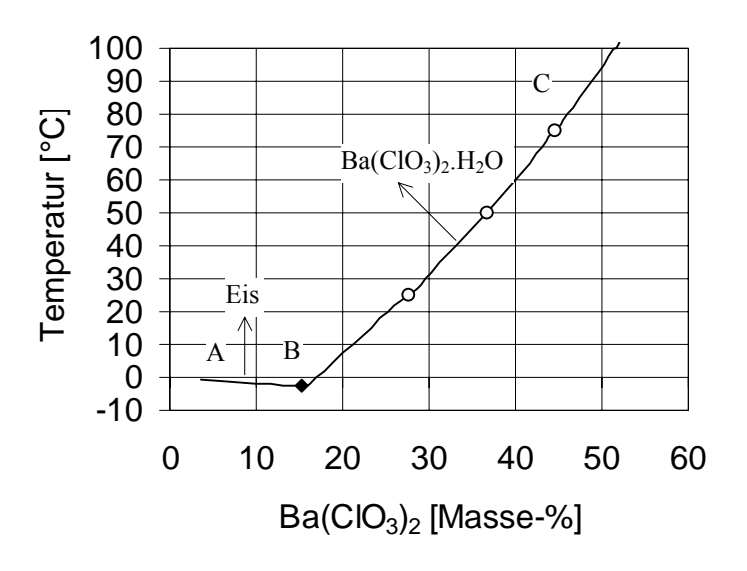


Bild 2.16: System Ba(ClO<sub>3</sub>)<sub>2</sub>-H<sub>2</sub>O [113]

Eine gesättigte Ba(ClO<sub>3</sub>)<sub>2</sub>-Lösung siedet unter Normaldruck bei 105,6 °C und weist einen Gehalt von 52,62 Masse-% Ba(ClO<sub>3</sub>)<sub>2</sub> auf [113]. Die Temperaturabhängigkeit der Löslichkeit des Ba(ClO<sub>3</sub>)<sub>2</sub> ist stark.

## 2.4.3 Ternäre Randsysteme mit Erdalkalimetallsalzen

# 2.4.3.1 Die ternären Randsysteme $MCl_2$ - $M(ClO_3)_2$ - $H_2O$ $(M = Mg^{2^+}, Ca^{2^+}, Sr^{2^+}, Ba^{2^+})$

Die ternären Randsysteme  $MgCl_2-Mg(ClO_3)_2-H_2O$  und  $SrCl_2-Sr(ClO_3)_2-H_2O$  sind in der Literatur nicht belegt.

### CaCl<sub>2</sub>-Ca(ClO<sub>3</sub>)<sub>2</sub>-H<sub>2</sub>O

Das System CaCl<sub>2</sub>-Ca(ClO<sub>3</sub>)<sub>2</sub>-H<sub>2</sub>O kann als recht gut untersucht angesehen werden [28, 110, 115-120]. Tabelle 2.13 enthält ausgewählte Literaturwerte zum System CaCl<sub>2</sub>-Ca(ClO<sub>3</sub>)<sub>2</sub>-H<sub>2</sub>O, vorzugsweise für die Zweisalzpunkte des Temperaturbereiches dieser Arbeit.

Tabelle 2.13: Ausgewählte Daten zum System CaCl<sub>2</sub>-Ca(ClO<sub>3</sub>)<sub>2</sub>-H<sub>2</sub>O

Temperatur [°C]	CaCl <sub>2</sub> [Masse-%]	Ca(ClO <sub>3</sub> ) <sub>2</sub> [Masse-%]	Bodenkörper	Literatur
-56	20,5	17,5	Eis + CaCl2.6H2O + Ca(ClO3)2.2H2O	[115]
0	16,90	42,42	CaCl2.6H2O + Ca(ClO3)2.2H2O	[116]
15	28,2	33,4	CaCl2.6H2O + Ca(ClO3)2.2H2O	[117]
20	33,84	22,88	CaCl2.6H2O + CaCl2.4H2O	[110]
20	28,29	33,47	CaCl2.4H2O + Ca(ClO3)2.2H2O	[110]
25	30,65	33,36	CaCl2.4H2O + Ca(ClO3)2.2H2O	[28]
25	42,60	8,85	CaCl2.6H2O + CaCl2.4H2O	[28]
25	31,20	34,20	CaCl2.4H2O + Ca(ClO3)2.2H2O	[115]
25	42,00	11,5	CaCl2.6H2O + CaCl2.4H2O	[115]
45	28,8	44,42	CaCl2.2H2O + Ca(ClO3)2.2H2O	[117]
45	55,5	1,5	$CaCl_2.4H_2O + CaCl_2.2H_2O$	[117]
55	29,69	41,74	$CaCl_2.2H_2O + Ca(ClO_3)_2$	[120]
55	51,78	21,04	$Ca(ClO_3)_2 + Ca(ClO_3)_2.2H_2O$	[120]
75	34,03	41,94	$CaCl_2.2H_2O + Ca(ClO_3)_2$	[120]

Mit dem Bild 2.17 ist eine graphische Darstellung der Literaturdaten für 20°C, 25°C, 55°C und 75°C gegeben.

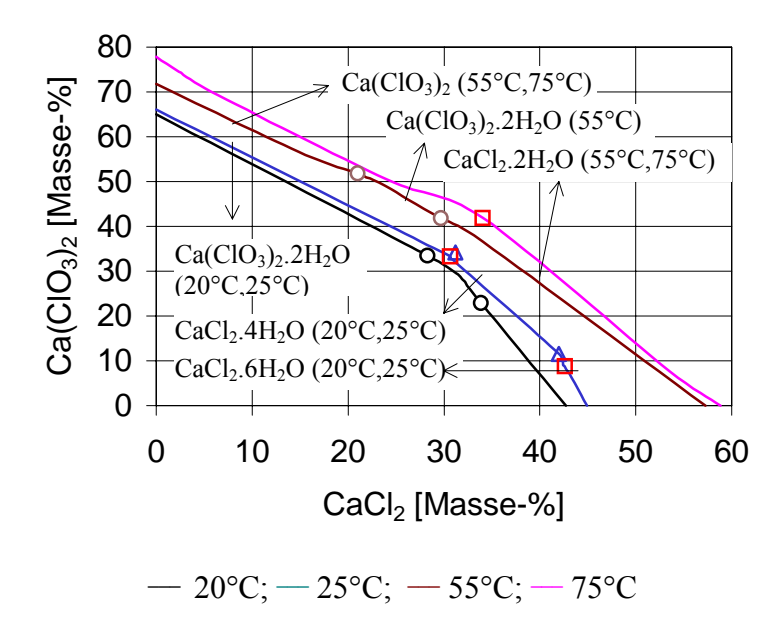


Bild 2.17: Isothermen des Systems CaCl<sub>2</sub>-Ca(ClO<sub>3</sub>)<sub>2</sub>-H<sub>2</sub>O [28, 110, 115, 120]

Für die vorliegende Arbeit ist wichtig, dass aus der Sicht des Randsystems CaCl<sub>2</sub>-Ca(ClO<sub>3</sub>)<sub>2</sub>-H<sub>2</sub>O im reziproken Salzpaar mit dem Auftreten der Bodenkörper CaCl<sub>2</sub>.6H<sub>2</sub>O, CaCl<sub>2</sub>.4H<sub>2</sub>O, CaCl<sub>2</sub>.2H<sub>2</sub>O, Ca(ClO<sub>3</sub>)<sub>2</sub>.2H<sub>2</sub>O und Ca(ClO<sub>3</sub>)<sub>2</sub> gerechnet werden muss.

#### BaCl<sub>2</sub>-Ba(ClO<sub>3</sub>)<sub>2</sub>-H<sub>2</sub>O

Für das System BaCl<sub>2</sub>-Ba(ClO<sub>3</sub>)<sub>2</sub>-H<sub>2</sub>O liegen nur Daten für 20 °C [121] und für 25°C [122] in der Literatur vor.

Die Tabelle 2.14 enthält die in der Literatur gefundenen Daten für die Zweisalzpunkte des Systems BaCl<sub>2</sub>-Ba(ClO<sub>3</sub>)<sub>2</sub>-H<sub>2</sub>O bei 20°C und 25°C.

Tabelle: 2.14: Zweisalzpunkte des Systems BaCl<sub>2</sub>-Ba(ClO<sub>3</sub>)<sub>2</sub>-H<sub>2</sub>O

Temperatur [°C]	BaCl <sub>2</sub> [Masse-%]	Ba(ClO <sub>3</sub> ) <sub>2</sub> [Masse-%]	Dichte	Bodenkörper	Literatur
20	17,00	22,84	-	BaCl2.2H2O + Ba(ClO3)2.H2O	[121]
25	21,06	14,73	1,398	BaCl2.2H2O + Ba(ClO3)2.H2O	[122]

Mit dem Bild 2.18 liegt eine graphische Darstellung der Isothermen für 20°C und 25°C des Systems vor. Als Bodenkörper treten im untersuchten Temperaturbereich nur BaCl<sub>2</sub>.2H<sub>2</sub>O und Ba(ClO<sub>3</sub>)<sub>2</sub>.H<sub>2</sub>O auf.

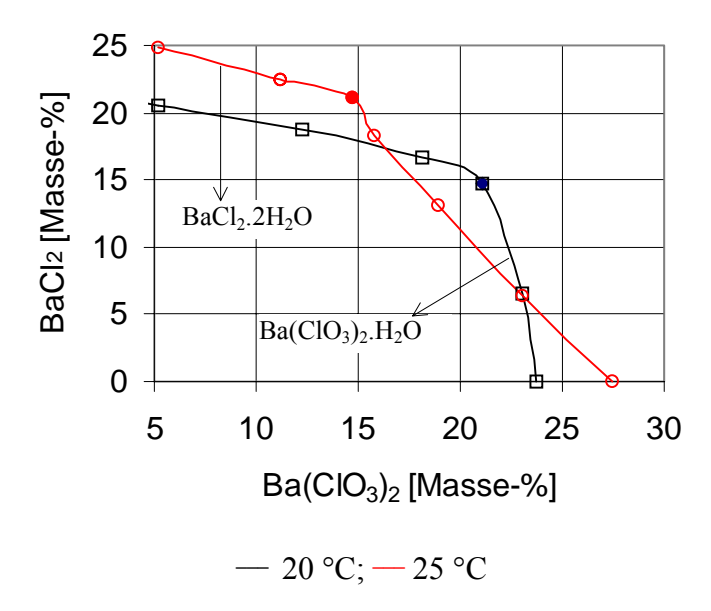


Bild 2.18: Isothermen des Systems BaCl<sub>2</sub>-Ba(ClO<sub>3</sub>)<sub>2</sub>-H<sub>2</sub>O [121, 122]

## 2.4.3.2 Die ternären Randsysteme NaClO<sub>3</sub>-M(ClO<sub>3</sub>)<sub>2</sub>-H<sub>2</sub>O ( $M = Mg^{2+}, Ca^{2+}, Sr^{2+}, Ba^{2+}$ )

Die ternären Randsysteme NaClO<sub>3</sub>-Mg(ClO<sub>3</sub>)<sub>2</sub>-H<sub>2</sub>O, NaClO<sub>3</sub>-Ca(ClO<sub>3</sub>)<sub>2</sub>-H<sub>2</sub>O und NaClO<sub>3</sub>-Sr(ClO<sub>3</sub>)<sub>2</sub>-H<sub>2</sub>O sind in der Literatur nicht belegt.

#### NaClO<sub>3</sub>-Ba(ClO<sub>3</sub>)<sub>2</sub> -H<sub>2</sub>O

Zum System NaClO<sub>3</sub>-Ba(ClO<sub>3</sub>)<sub>2</sub>-H<sub>2</sub>O liegt in der Literatur nur eine Arbeit älteren Datums zur 20°C-Isotherme vor [121]. Bei 20 °C sind NaClO<sub>3</sub> und Ba(ClO<sub>3</sub>)<sub>2</sub>.H<sub>2</sub>O die stabilen Bodenkörper. Bild 2.19 enthält die Darstellung der Literaturdaten zum System NaClO<sub>3</sub>-Ba(ClO<sub>3</sub>)<sub>2</sub>-H<sub>2</sub>O. Am Zweisalzpunkt NaClO<sub>3</sub> - Ba(ClO<sub>3</sub>)<sub>2</sub>.H<sub>2</sub>O hat die Lösung folgende Gehalte: 43,2 Masse% NaClO<sub>3</sub> und 2,89 Masse-% Ba(ClO<sub>3</sub>)<sub>2</sub>. Der auffällige Verlauf der Löslichkeitskurve im Bereich der Ba(ClO<sub>3</sub>)<sub>2</sub>.H<sub>2</sub>O-Sättigung lässt Zweifel an der Richtigkeit der Werte berechtigt erscheinen.

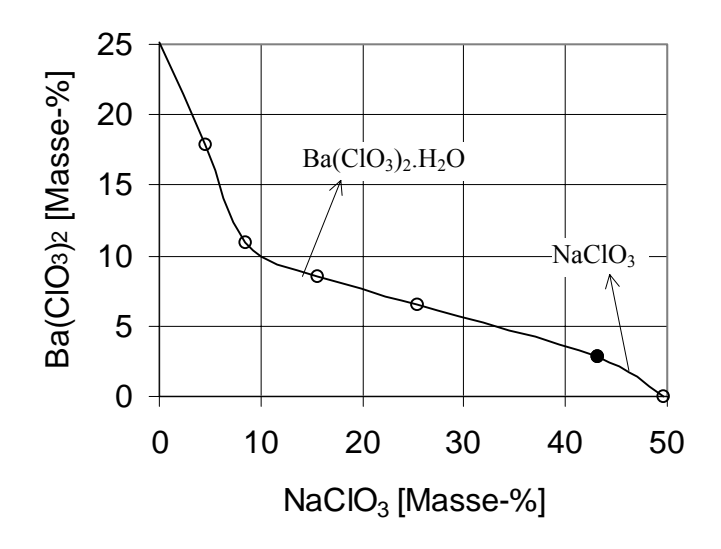


Bild 2.19: 20°C-Isotherme des Systems NaClO<sub>3</sub>-Ba(ClO<sub>3</sub>)<sub>2</sub>-H<sub>2</sub>O [121]

## 2.4.3.3 Die ternären Randsysteme NaCl-MCl<sub>2</sub>-H<sub>2</sub>O

$$(M = Mg^{2+}, Ca^{2+}, Sr^{2+}, Ba^{2+})$$

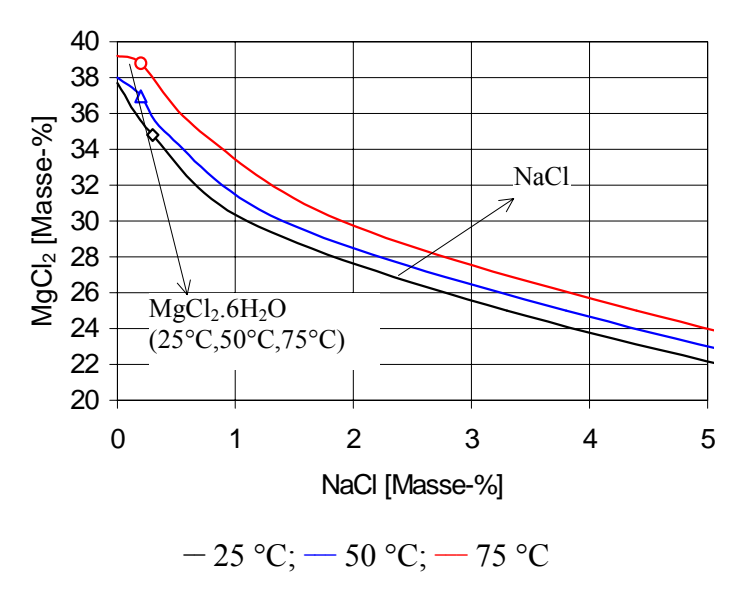
#### NaCl-MgCl<sub>2</sub>-H<sub>2</sub>O

Das ternäre System NaCl-MgCl<sub>2</sub>-H<sub>2</sub>O gehört zur Familie der Randsysteme des quinären Systems der ozeanischen Salze Na<sup>+</sup>, K<sup>+</sup>, Mg<sup>2+</sup>/Cl<sup>-</sup>, SO<sub>4</sub><sup>2-</sup>//H<sub>2</sub>O. So ist es nur folgerichtig, dass das System ausgezeichnet bekannt ist [80, 123-139]. Im hier interessierenden Temperaturbereich zwischen 25°C und 75°C treten im System NaCl-MgCl<sub>2</sub>-H<sub>2</sub>O nur NaCl und MgCl<sub>2</sub>.6H<sub>2</sub>O als feste Phasen auf. Mit diesen Bodenkörpern muss damit auch im reziproken Salzpaar MgCl<sub>2</sub> + 2NaClO<sub>3</sub> = Mg(ClO<sub>3</sub>)<sub>2</sub> + 2NaCl/H<sub>2</sub>O gerechnet werden. Die Tabelle 2.15 enthält Literaturdaten zu den Zweisalzpunkten NaCl - MgCl<sub>2</sub>.6H<sub>2</sub>O des Systems NaCl-MgCl<sub>2</sub>-H<sub>2</sub>O bei 25°C, 50°C und 75°C.

Tabelle 2.15: Literaturdaten zu den Zweisalzpunkten NaCl - MgCl<sub>2</sub>.6H<sub>2</sub>O des Systems NaCl-MgCl<sub>2</sub>-H<sub>2</sub>O bei 25°C, 50°C und 75°C

Temperatur [°C]	NaCl [Masse-%]	MgCl <sub>2</sub> [Masse-%]	Bodenkörper	Literatur
25	1,00	34,8	NaCl + MgCl <sub>2</sub> .6H <sub>2</sub> O	[125]
25	0,48	35,68	NaCl + MgCl <sub>2</sub> .6H <sub>2</sub> O	[126]
25	0,97	35,0	NaCl + MgCl <sub>2</sub> .6H <sub>2</sub> O	[127]
25	0,3	35,2	NaCl + MgCl <sub>2</sub> .6H <sub>2</sub> O	[128]
25	0,34	35,44	NaCl + MgCl <sub>2</sub> .6H <sub>2</sub> O	[129]
25	0,33	35,44	NaCl + MgCl <sub>2</sub> .6H <sub>2</sub> O	[130]
25	0,71	34,70	NaCl + MgCl <sub>2</sub> .6H <sub>2</sub> O	[131]
25	0,23	35,67	NaCl + MgCl <sub>2</sub> .6H <sub>2</sub> O	[132]
25	0,41	35,76	NaCl + MgCl <sub>2</sub> .6H <sub>2</sub> O	[133]
25	0,56	35,04	NaCl + MgCl <sub>2</sub> .6H <sub>2</sub> O	[134]
25	0,41	35,87	NaCl + MgCl <sub>2</sub> .6H <sub>2</sub> O	[135]
25	0,36	35,48	NaCl + MgCl <sub>2</sub> .6H <sub>2</sub> O	[136]
25	0,3	35,55	NaCl + MgCl <sub>2</sub> .6H <sub>2</sub> O	[137]
50	0,3	36,9	NaCl + MgCl <sub>2</sub> .6H <sub>2</sub> O	[128]
50	0,41	36,94	NaCl + MgCl <sub>2</sub> .6H <sub>2</sub> O	[129]
50	0,33	37,35	NaCl + MgCl <sub>2</sub> .6H <sub>2</sub> O	[138]
50	0,18	37,24	NaCl + MgCl <sub>2</sub> .6H <sub>2</sub> O	[136]
50	0,2	36,95	NaCl + MgCl <sub>2</sub> .6H <sub>2</sub> O	[137]
75	0,69	38,5	NaCl + MgCl <sub>2</sub> .6H <sub>2</sub> O	[80]
75	0,4	38,9	NaCl + MgCl <sub>2</sub> .6H <sub>2</sub> O	[128]
75	0,2	39,05	NaCl + MgCl <sub>2</sub> .6H <sub>2</sub> O	[137]

Das Bild 2.20 enthält eine Darstellung des Systems NaCl-MgCl $_2$ -H $_2$ O mit den Isothermen bei 25°C, 50°C und 75°C.



Das Bild 2.20: Isothermen des Systems NaCl-MgCl<sub>2</sub>-H<sub>2</sub>O [137]

Charakteristisch für das System NaCl-MgCl<sub>2</sub>-H<sub>2</sub>O ist, dass NaCl durch MgCl<sub>2</sub> nahezu vollständig ausgesalzen wird.

#### NaCl-CaCl<sub>2</sub>-H<sub>2</sub>O

Zum System NaCl-CaCl<sub>2</sub>-H<sub>2</sub>O liegt in der Literatur umfangreiches und zuverlässiges Datenmaterial vor [137,140-156]. Ausgewählte Daten zum System NaCl-CaCl<sub>2</sub>-H<sub>2</sub>O enthält die Tabelle 2.16.

Tabelle 2.16: Ausgewählte Daten zum System NaCl-CaCl<sub>2</sub>-H<sub>2</sub>O

Temperatur [°C]	NaCl [Masse-%]	CaCl <sub>2</sub> [Masse-%]	Bodenkörper	Literatur
0	0,6	36,9	$NaCl + CaCl_2.6H_2O$	[137]
0	1,10	37,60	NaCl + CaCl <sub>2</sub> .6H <sub>2</sub> O	[140]
0	0,31	37,50	NaCl + CaCl <sub>2</sub> .6H <sub>2</sub> O	[141]
0	0,49	37,10	NaCl + CaCl <sub>2</sub> .6H <sub>2</sub> O	[142]
0	0,68	36,62	NaCl + CaCl <sub>2</sub> .6H <sub>2</sub> O	[143]
25	0,5	44,65	NaCl + CaCl <sub>2</sub> .6H <sub>2</sub> O	[137]
25	1,00	43,50	NaCl + CaCl <sub>2</sub> .6H <sub>2</sub> O	[140]
25	1,02	43,52	NaCl + CaCl <sub>2</sub> .6H <sub>2</sub> O	[144]

Fortsetzung Tabelle 2.16
--------------------------

Temperatur [°C]	NaCl [Masse-%]	CaCl <sub>2</sub> [Masse-%]	Bodenkörper	Literatur
25	0,43	44,52	$NaCl + CaCl_2.6H_2O$	[143]
25	1,03	43,52	NaCl + CaCl <sub>2</sub> .6H <sub>2</sub> O	[145]
25	0,36	44,88	NaCl + CaCl <sub>2</sub> .6H <sub>2</sub> O	[146]
25	0,13	59,48	NaCl + CaCl <sub>2</sub> .6H <sub>2</sub> O	[147]
50	0,6	56,6	NaCl + CaCl <sub>2</sub> .2H <sub>2</sub> O	[137]
50	0,9	56,3	NaCl + CaCl <sub>2</sub> .2H <sub>2</sub> O	[148]
50	0,44	56,65	NaCl + CaCl <sub>2</sub> .2H <sub>2</sub> O	[143]
50	0,62	56,43	NaCl + CaCl <sub>2</sub> .2H <sub>2</sub> O	[149]
75	0,8	58,4	NaCl + CaCl <sub>2</sub> .2H <sub>2</sub> O	[137]
100	1,1	60,2	NaCl + CaCl <sub>2</sub> .2H <sub>2</sub> O	[137]
100	1,08	60,28	NaCl + CaCl <sub>2</sub> .2H <sub>2</sub> O	[143]

Mit dem Bild 2.21 ist eine Darstellung von Isothermen des Systems im interessierenden Temperaturbereich gegeben.

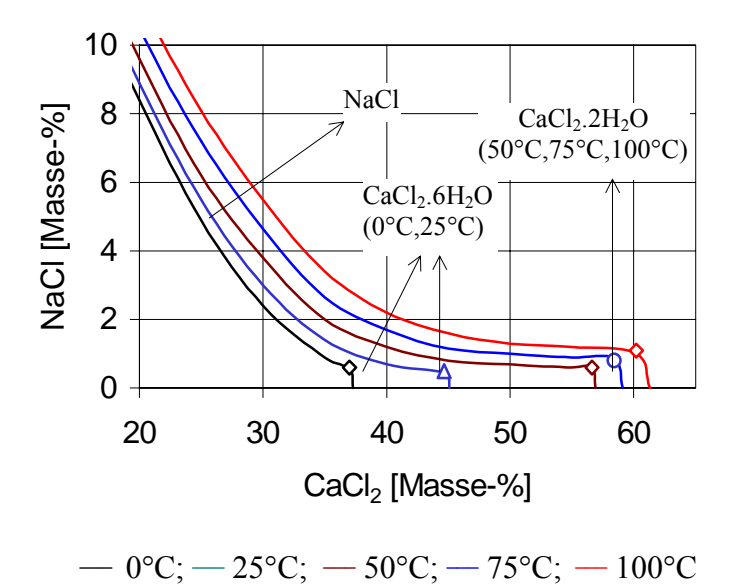


Bild 2.21: Isothermen des Systems NaCl-CaCl<sub>2</sub>-H<sub>2</sub>O [137]

In dem System NaCl-CaCl<sub>2</sub>-H<sub>2</sub>O treten nur die aus den beiden binären Randsystemen bereits bekannten Bodenkörper auf. NaCl wird durch CaCl<sub>2</sub> nahezu vollständig ausgesalzen. Die schwache positive Temperaturabhängigkeit der Löslichkeit des NaCl bleibt auch bei hohen CaCl<sub>2</sub>-Konzentrationen erhalten.

#### NaCl-SrCl<sub>2</sub>-H<sub>2</sub>O

Deutlich weniger Datenmaterial liegt zum System NaCl-SrCl<sub>2</sub>-H<sub>2</sub>O in der Literatur vor [157-159]. Die Tabelle 2.17 enthält die in der Literatur gefundenen Daten zu den isothermen Zweisalzpunkten des Systems.

Tabelle 2.17: Ausgewählte Daten zum System NaCl-SrCl<sub>2</sub>-H<sub>2</sub>O

Temperatur [°C]	NaCl [Masse-%]	SrCl <sub>2</sub> [Masse-%]	Bodenkörper	Literatur
18	8,6	27,1	NaCl + SrCl <sub>2</sub> .6H2O	[157]
25	8,18	29,03	NaCl + SrCl <sub>2</sub> .6H2O	[158]
35	10,10	32,84	NaCl + SrCl <sub>2</sub> .6H2O	[159]
40	5,1	35,2	NaCl + SrCl <sub>2</sub> .6H2O	[157]
50	3,9	39,3	NaCl + SrCl <sub>2</sub> .6H2O	[157]
55	3,4	41,5	NaCl + SrCl <sub>2</sub> .6H2O	[157]
58,7	3,1	43,6	NaCl + SrCl <sub>2</sub> .6H2O	[157]
59,6	2,9	44,2	NaCl + SrCl <sub>2</sub> .6H2O	[157]
60	2,9	44,3	NaCl + SrCl <sub>2</sub> .2H2O	[157]
70	3,1	44,9	NaCl + SrCl <sub>2</sub> .2H2O	[157]
80	3,3	45,9	NaCl + SrCl <sub>2</sub> .2H2O	[157]
90	3,4	46,6	NaCl + SrCl <sub>2</sub> .2H2O	[157]
100	3,6	48,2	NaCl + SrCl <sub>2</sub> .2H2O	[157]
110	3,7	49,8	NaCl + SrCl <sub>2</sub> .2H2O	[157]
114	3,8	50,1	NaCl + SrCl <sub>2</sub> .2H2O	[157]

Das Bild 2.22 enthält eine Darstellung der Isothermen des Systems NaCl-SrCl<sub>2</sub>-H<sub>2</sub>O bei 18°C, 60°C und 100°C.

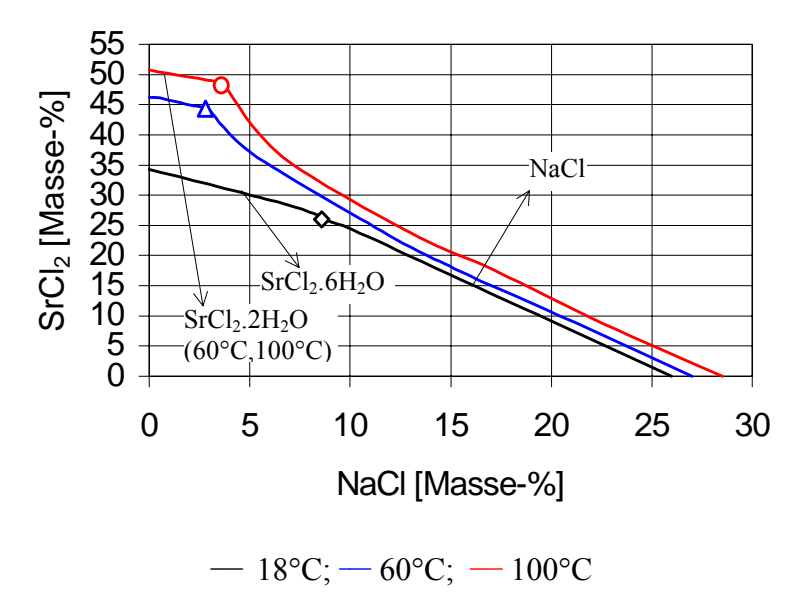


Bild 2.22. Isothermen des Systems NaCl-SrCl<sub>2</sub>-H<sub>2</sub>O [157]

In dem System NaCl-SrCl<sub>2</sub>-H<sub>2</sub>O treten auch nur die aus den beiden binären Randsystemen bereits bekannten Bodenkörper auf. Die aussalzende Wirkung des SrCl<sub>2</sub> auf NaCl ist nicht so stark ausgeprägt wie beim MgCl<sub>2</sub> und beim CaCl<sub>2</sub>. Die schwach positive Temperaturabhängigkeit der Löslichkeit bleibt auch hier bis zur hohen SrCl<sub>2</sub>-Konzentration erhalten.

#### NaCl-BaCl<sub>2</sub>-H<sub>2</sub>O

Auch zum System NaCl-BaCl<sub>2</sub>-H<sub>2</sub>O liegt in der Literatur hinreichendes Material vor [121, 160-164].

Die Tabelle 2.18 enthält eine Zusammenstellung von isothermen Zweisalzpunkten im hier interessierenden Temperaturbereich.

Tabelle 2.18: Zweisalzpunkte des Systems NaCl-BaCl<sub>2</sub>-H<sub>2</sub>O im Temperaturbereich von 10°C bis 100°C

Temperatur [°C]	NaCl [Masse-%]	BaCl <sub>2</sub> [Masse-%]	Bodenkörper	Literatur
10	24,8	2,5	NaCl + BaCl <sub>2</sub> .2H <sub>2</sub> O	[160]
20	24,5	3,0	NaCl + BaCl <sub>2</sub> .2H <sub>2</sub> O	[160]
20	24,59	3,07	NaCl + BaCl <sub>2</sub> .2H <sub>2</sub> O	[161]
30	24,3	3,6	NaCl + BaCl <sub>2</sub> .2H <sub>2</sub> O	[160]
30	23,77	3,80	NaCl + BaCl <sub>2</sub> .2H <sub>2</sub> O	[162]
40	24,0	4,5	NaCl + BaCl <sub>2</sub> .2H <sub>2</sub> O	[160]
50	23,7	5,5	NaCl + BaCl <sub>2</sub> .2H <sub>2</sub> O	[160]
60	23,4	6,7	NaCl + BaCl <sub>2</sub> .2H <sub>2</sub> O	[160]
70	23,1	8,1	NaCl + BaCl <sub>2</sub> .2H <sub>2</sub> O	[160]
80	22,8	9,4	NaCl + BaCl <sub>2</sub> .2H <sub>2</sub> O	[160]
90	22,5	10,6	NaCl + BaCl <sub>2</sub> .2H <sub>2</sub> O	[160]
100	22,2	11,8	NaCl + BaCl <sub>2</sub> .2H <sub>2</sub> O	[160]

Mit dem Bild 2.23 ist eine Darstellung der Isothermen bei 20°C und 30°C des Systems NaCl-BaCl<sub>2</sub>-H<sub>2</sub>O gegeben.

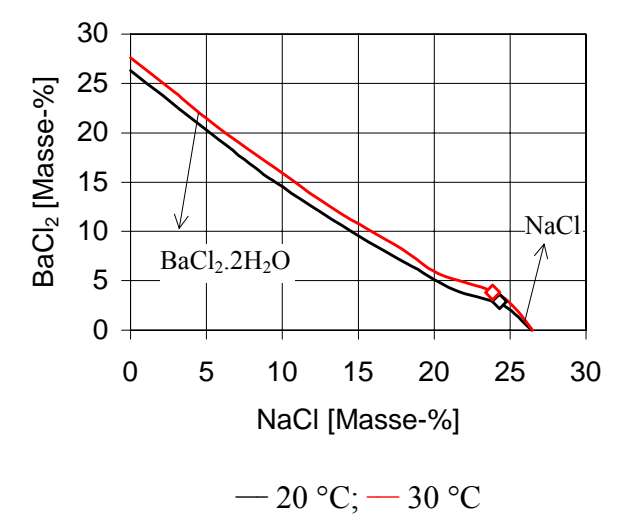


Bild 2.23: 20°C- und 30°C-Isothermen des Systems NaCl-BaCl<sub>2</sub>-H<sub>2</sub>O [161,162]

Auch in diesem System treten nur die aus den beiden Randsystemen bereits bekannten Bodenkörper auf. In diesem Fall salzt nicht das Erdalkalimetallchlorid das NaCl aus, sondern umgekehrt, das NaCl salzt das BaCl<sub>2</sub> aus.

#### 2.4.4 Literaturübersichten zu den Lösungsgleichgewichten in den reziproken

Salzpaaren 
$$MCl_2 + 2NaClO_3 = M(ClO_3)_2 + 2NaCl/H_2O$$
  
 $(M = Mg^{2+}, Ca^{2+}, Sr^{2+}, Ba^{2+})$ 

An Literaturdaten zu den Lösungsgleichgewichten der Systeme  $MCl_2 + 2NaClO_3 = M(ClO_3)_2 + 2NaCl/H_2O$  ( $M = Mg^{2+}$ ,  $Ca^{2+}$ ,  $Sr^{2+}$ ,  $Ba^{2+}$ ) ist nur eine Arbeit von Di Capua und Bertoni [121] zum System NaCl-BaCl<sub>2</sub>-NaClO<sub>3</sub>-Ba(ClO<sub>3</sub>)<sub>2</sub>-H<sub>2</sub>O bei 20°C bekannt. Danach ist in diesem System Bariumchloratmonohydrat und Natriumchlorid das stabile Salzpaar. Weitere Daten liegen in der Literatur zu den Lösungsgleichgewichten in den reziproken Salzpaaren nicht vor. Damit ist eine völlige Neubestimmung der Lösungsgleichgewichte in den reziproken Salzpaaren  $MCl_2 + 2NaClO_3 = M(ClO_3)_2 + 2NaCl/H_2O$  ( $M = Mg^{2+}$ ,  $Ca^{2+}$ ,  $Sr^{2+}$ ,  $Ba^{2+}$ ) erforderlich.

#### 2.4.5 Kenntnis der Bodenkörper in den reziproken Salzpaaren

$$MCl_2 + 2NaClO_3 = M(ClO_3)_2 + 2NaCl/H_2O (M = Mg^{2+}, Ca^{2+}, Sr^{2+}, Ba^{2+})$$

Bei der Untersuchung der Lösungsgleichgewichte in den reziproken Salzpaaren ist eine Zuordnung der Gleichgewichtsbodenkörper unabdingbar. Mit jeder Bestimmung der Zusammensetzung einer Gleichgewichtslösung müssen darum auch die zugehörigen Bodenkörper identifiziert werden. Diese Identifizierung muss auch in Bodenkörpergemischen mit unterschiedlichen Anteilen an den einzelnen Bodenkörpern zu aussagekräftigen Ergebnissen führen. Eingeführt sind mit einer solchen Zielstellung praktisch nur zwei Methoden: Phasenkontrastmikroskopie und Röntgendiffraktrometrie. In beiden Fällen müssen die entsprechenden Eigenschaften der auftretenden Bodenkörper bekannt sein, um sie in Gemischen identifizieren zu können. Im Fall der Phasenkontrastmikroskopie sind dies die optischen Eigenschaften und im Fall Röntgendiffraktrometrie die röntgengraphischen Eigenschaften.

Für die experimentellen Untersuchungen im Rahmen der vorliegenden Arbeit ist die Röntgendiffraktrometrie die Methode der Wahl für die Bodenkörperidentifizierung.

Aus der Literaturübersicht zu den Lösungsgleichgewichten ist zu entnehmen, dass in den vier reziproken Salzpaaren im zu untersuchenden Temperaturbereich mit dem Auftreten folgender Bodenkörper gerechnet werden muss:

- NaCl, NaClO<sub>3</sub>
- MgCl<sub>2</sub>.6H<sub>2</sub>O, Mg(ClO<sub>3</sub>)<sub>2</sub>.6H<sub>2</sub>O, Mg(ClO<sub>3</sub>)<sub>2</sub>.4H<sub>2</sub>O, Mg(ClO<sub>3</sub>)<sub>2</sub>.2H<sub>2</sub>O

- CaCl<sub>2</sub>.6H<sub>2</sub>O, CaCl<sub>2</sub>.4H<sub>2</sub>O, CaCl<sub>2</sub>.2H<sub>2</sub>O, Ca(ClO<sub>3</sub>)<sub>2</sub>.2H<sub>2</sub>O, Ca(ClO<sub>3</sub>)<sub>2</sub>
- SrCl<sub>2</sub>.6H<sub>2</sub>O, SrCl<sub>2</sub>.2H<sub>2</sub>O, Sr(ClO<sub>3</sub>)<sub>2</sub>
- BaCl<sub>2</sub>.2H<sub>2</sub>O, Ba(ClO<sub>3</sub>)<sub>2</sub>.H<sub>2</sub>O

In der Datenbank JCPDS-ICDD Database © 1994 liegt für die große Mehrzahl dieser Bodenkörper entsprechendes Material (d-Werte) für ihre problemlose Identifizierung vor. Nur beim Mg(ClO<sub>3</sub>)<sub>2</sub>.4H<sub>2</sub>O und Mg(ClO<sub>3</sub>)<sub>2</sub>.2H<sub>2</sub>O fehlen entsprechende Daten. Bei diesen Bodenkörpern muss zunächst ihre Reindarstellung versucht werden, um entsprechendes Material für ihre Identifizierung in Gemischen zu erhalten.

#### 3. Ableitung einer präzisierten Aufgabenstellung

Für die vier reziproken Salzpaare liegen in der Literatur praktisch keine Daten vor. Lückenhaft ist in der Literatur das Datenmaterial zu den ternären Randsystemen, insbesondere zu den Randsystemen mit Erdalkalimetallchloraten. Die binären Randsysteme sind aus der Literatur in der Regel bekannt. Offensichtliche Unklarheiten gibt es nur im System Mg(ClO<sub>3</sub>)<sub>2</sub>-H<sub>2</sub>O. Zur Charakterisierung der Erdalkalimetallchlorate bzw. Erdalkalimetallchlorat-Hydrate sind die Informationen ebenfalls lückenhaft.

In der Einleitung und Problemstellung wurde bereits ausgeführt, dass auf der Basis der durchzuführenden Gleichgewichtsuntersuchungen die Konzipierung und Bilanzierung von Prozessen zur Herstellung der Erdalkalimetallchlorate durch reziproke Umsetzung von Natriumchlorat mit den entsprechenden Erdalkalimetallchloriden möglich sein soll. Dabei soll ein Temperaturbereich von 50 K für eine polytherme reziproke Umsetzung ausreichend sein. Unter Berücksichtigung der Gemeinsamkeit aller Randbedingungen ergibt sich für die vorliegende Arbeit die nachfolgende präzisierte Aufgabenstellung:

- Bestimmung der Lösungsgleichgewichte in den reziproken Salzpaaren MCl<sub>2</sub> + 2NaClO<sub>3</sub> = M(ClO<sub>3</sub>)<sub>2</sub> + 2NaCl/H<sub>2</sub>O (M = Mg<sup>2+</sup>, Ca<sup>2+</sup>, Sr<sup>2+</sup>, Ba<sup>2+</sup>) bei 25°C, 50°C und 75°C. Da im Resultat der zu konzipierenden polythermen reziproken Umsetzungen jeweils Natriumchlorid und das entsprechende Erdalkalimetallchlorat vorliegen sollen, sind die Eingrenzung der NaCl- und Erdalkalimetallchlorat(hydrat)-Sättigungspflächen und die Festlegung der gemeinsamen NaCl-Erdalkalimetallchlorat(hydrat)-Existenzlinien die Schwerpunkte der Arbeit. Von untergeordnetem Interesse ist z. B. die Aufteilung der Erdalkalimetallchlorid-Sättigungsflächen in die Sättigungsflächen verschiedener Erdalkalimetallchloridhydrate.
- Bestimmung der Dichten und Viskositäten der untersuchten Gleichgewichtslösungen.
- Weiterführende Charakterisierung der Erdalkalimetallchlorate bzw. Erdalkalimetallchlorathydrate.
- Ableitung von Prozessen zur Herstellung der Erdalkalimetallchlorate bzw. Erdalkalimetallchlorathydrate durch polytherme reziproke Umsetzung von Natriumchlorat und den entsprechenden Erdalkalimetallchloriden.

#### 4. Experimenteller Teil

#### 4.1 Vorgehensweise

Unter 2.2 wurde gezeigt, dass für die Bilanzierung der Herstellungsprozesse für anorganische Salze durch reziproke Umsetzung die Lösungsgleichgewichte in den entsprechenden reziproken Salzpaaren bekannt sein müssen.

Im Ergebnis der Literaturauswertung zu den Lösungsgleichgewichten in den Systemen  $MCl_2 + 2NaClO_3 = M(ClO_3)_2 + 2NaCl/H_2O$  ( $M = Mg^{2+}$ ,  $Ca^{2+}$ ,  $Sr^{2+}$ ,  $Ba^{2+}$ ) unter 2.4 werden im Kapitel 3 "Ableitung einer präzisen Aufgabenstellung" die notwendigen Arbeiten zur Schaffung einer Datenbasis zur Bilanzierung der Herstellungsprozesse der Erdalkalimetallchlorate durch reziproke Umsetzung der Erdalkalimetallchloride mit Natriumchlorat aufgezeigt.

Die Untersuchungen zu den reziproken Salzpaaren und ihren Randsystemen werden streng diesem Ziel untergeordnet. Es geht in diesem Sinne nicht um eine grundsätzliche Aufklärung der Gleichgewichtsverhältnisse in den Systemen. So sind bei den Untersuchungen Viersalzpunkte (in diesem Fall Punkte der gemeinsamen Existenz von zwei Hydratstufen eines Salzes neben zwei anderen Salzen) nicht von Interesse. Es werden konsequent übersichtsmäßig nur die Isothermen bei 25°C, 50°C und 75°C untersucht. Das trifft auch auf die Randsysteme zu. Aus technischer Sicht sind weiterhin die Dichten und Viskositäten der Lösungen von Interesse. Darum erfolgt begleitend die Bestimmung dieser Daten.

An ausgewählten Bodenkörpern werden weiterführende Untersuchungen durchgeführt.

#### 4.2 Versuchsdurchführung

Zur Ermittlung der heterogenen Gleichgewichte der Salzsysteme kam die isotherme statische Methode (auch isotherme Rührmethode genannt) zur Anwendung. Die Proben wurden 24 Stunden im Kolben bei gegebener Temperatur in einem Rührbecken mit variabler Heizleistung gerührt. Entsprechende Voruntersuchungen führten zu dem Ergebnis, dass eine Gleichgewichtseinstellung bereits nach weniger als drei Stunden erreicht wird. Die genannten 24 Stunden wurden aus praktischen Gründen gewählt. Als Badflüssigkeit diente Wasser. Die Regelung der Heizung führte zu einer Temperaturtoleranz von ± 0,5 K. Nach dem Rühren blieb jede Probe noch 24 Stunden zur Sedimentation im Rührbecken. Anschließend wurde mit

einer Fortunapipette (etwa 10-15 K oberhalb der Untersuchungstemperatur) durch eine vorgeheizte Fritte Proben gezogen. Den erhaltenen Bodenkörper saugt man auf einer ebenfalls 10 K heißeren Nutsche ab und überschichtet ihn sofort in einem Proberöhrchen mit Aceton. Die Identifizierung der Bodenkörper wurde an einem Pulverdiffraktometer mit Vertikalgoniometer (PW 1050/70) der Firma Philips durchgeführt.

Die Geräte zur Probeaufnahme und -verarbeitung mussten vorgeheizt werden, damit eine Abkühlung der Proben unter die vorgegebene Temperatur ausgeschlossen war. Durch Abkühlung der Proben kann es bei positiver Temperaturabhängigkeit der Löslichkeit sonst zu falschen Gleichgewichtsdaten kommen.

#### 4.3 Chemikalien

Für die Untersuchungen kamen folgende kommerziell erhältliche Chemikalien zum Einsatz.

NaCl (J. T. Baker) Reinheit 99,8 %

NaClO<sub>3</sub> (Riedel-de Haen®) Reinheit 99 %

MgCl<sub>2</sub>.6H<sub>2</sub>O (Fluka) Reinheit 98 %

CaCl<sub>2</sub>.6H<sub>2</sub>O (Fluka) Reinheit 99 %

SrCl<sub>2</sub>.6H<sub>2</sub>O (Merck) Reinheit 99-103 %

BaCl<sub>2</sub>.H<sub>2</sub>O (Fluka) Reinheit 99 %

Ba(ClO<sub>3</sub>)<sub>2</sub>.H<sub>2</sub>O (Fluka) Reinheit 99 %

Mg(ClO<sub>3</sub>)<sub>2</sub>.6H<sub>2</sub>O wurde nach folgender Vorschrift synthetisiert: Eine Lösung von 213 g NaClO<sub>3</sub> in 135 ml H<sub>2</sub>O bei 75°C wird in eine Lösung von 203 g MgCl<sub>2</sub>.6H<sub>2</sub>O in 150 ml H<sub>2</sub>O bei 75°C gegeben. Nach einem dreistündigen Rührprozess bei 75°C wird das feste NaCl heiß abfiltriert. Die Lösung wird bei 50°C unter Vakuum eingeengt. Die eingeengte Lösung wird abgekühlt. Das kristallisierende Mg(ClO<sub>3</sub>)<sub>2</sub>.6H<sub>2</sub>O wird abfiltriert und mit Äther gewaschen. Danach wird es unter Vakuum und CaCl<sub>2</sub> getrocknet. Um ein reines Magnesiumchlorat zu bekommen wird es aus getrocknetem Magnesiumchlorat mit Aceton bei 30°C extrahiert, filtriert und die Lösung auf –15°C abgekühlt. Das kristallisierende Magnesiumchlorat wird filtriert, mit Äther gewaschen und wieder unter Vakuum und CaCl<sub>2</sub> getrocknet.

Ca(ClO<sub>3</sub>)<sub>2</sub>.2H<sub>2</sub>O wurde nach folgender Vorschrift synthetisiert: Eine Lösung von 213 g NaClO<sub>3</sub> in 135 ml H<sub>2</sub>O bei 75°C wird mit einer Lösung von 219 g CaCl<sub>2</sub>.6H<sub>2</sub>O in 80 ml H<sub>2</sub>O bei 75°C gemischt und drei Stunden gerührt. Das feste NaCl wird heiß abfiltriert und die

Lösung bei 50°C unter Vakuum eingeengt. Die eingeengte Lösung wird abgekühlt. Das kristallisierende Calciumchlorat wird filtriert, mit Äther gewaschen, danach unter Vakuum und CaCl₂ getrocknet. Die Reinigung von Calciumchlorat erfolgt durch Extrahieren mit Aceton bei 30°C. Die Lösung wird filtriert und auf −15°C abgekühlt. Das auskristallisierte Calciumchlorat wird abfiltriert, mit Äther gewaschen und ebenfalls unter Vakuum und CaCl₂ getrocknet.

Sr(ClO<sub>3</sub>)<sub>2</sub> wurde nach folgender Vorschrift synthetisiert: Eine Lösung von 213 g NaClO<sub>3</sub> in 135 ml H<sub>2</sub>O bei 75°C wird mit einer Lösung von 266 g SrCl<sub>2</sub>.6H<sub>2</sub>O in 175 ml H<sub>2</sub>O bei 75°C gemischt und drei Stunden gerührt. Das feste NaCl wird heiß abfiltriert und die Lösung bei 50°C unter Vakuum eingeengt. Die eingeengte Lösung wird abgekühlt. Das kristallisierende Strontiumchlorat wird abfiltriert, mit Aceton sowie Äther gewaschen, danach bei Raumtemperatur getrocknet. Die Reinigung von Strontiumchlorat erfolgt durch Extrahieren mit Aceton bei 30°C. Die Lösung wird filtriert und bei –15°C abgekühlt. Das kristallisierende Strontiumchlorat wird filtriert, mit Aceton sowie Äther gewaschen, ebenfalls bei Raumtemperatur getrocknet.

#### 4.4 Analytische Bestimmungsmethoden

Nach entsprechender Verdünnung der Proben wurden die Ionen  $Mg^{2+}$ ,  $Ca^{2+}$ ,  $Sr^{2+}$  und  $Ba^{2+}$  durch komplexometrische Titration bestimmt. Die Chloridbestimmung erfolgt durch argentometrische Titration mit  $AgNO_3$ . Das Chlorat wurde über eine Redox-Titration mit  $Fe^{2+}$  und  $Cr_2O_7^{2-}$  sowie Natriumdiphenylaminsulfonat als Indikator bestimmt. Na $^+$  wurde aus der Differenz der bestimmten Kationen- und Anionenäquivalenten berechnet. Es wurden von jeder Probe Doppelbestimmungen durchgeführt.

Bei der quantitativen Untersuchung der Gleichgewichtslösungen sind alle im System enthaltenen Ionen außer Na<sup>+</sup> direkt bestimmt worden. Auf Grund der recht unterschiedlichen Gehalte der einzelnen Salze in den untersuchten Bereichen der Systeme ist die genaue Angabe der Analysenfehler schwierig. Der Fehler einer analytischen Bestimmung ist, abgesehen von systematischen Fehlern, von der Analysenmethode und der absoluten Konzentration des entsprechenden Ions abhängig. Zur Beurteilung der angewandten Analysenverfahren wurde eine Fehlerbetrachtung durchgeführt. Diese basiert auf der Mehrfachbestimmung der Konzentration jeder analytisch bestimmten Ionenart in den Lösungsproben. Dadurch ist eine

Beurteilung des relativen Fehlers bei der Bestimmung der jeweiligen Lösungszusammensetzung möglich.

Wenn insgesamt *m* Proben vorliegen und bei jeder Probe *nj* Parallelbestimmungen durchgeführt werden, erhält man die Standardabweichung nach folgender Gleichung (4.1)

$$s = \sqrt{\frac{\sum_{1}^{m} \sum_{1}^{n_{j}} (x_{ji} - \overline{x}_{j})^{2}}{n - m}}$$
(4.1)

mit f = n - m Freiheitsgraden

n = Gesamtzahl aller Analysen

m =Zahl der Proben

j = Probenummer

 $i = Me \beta wert-Nummer$ 

x = Meßwert

 $\bar{x}$  = Mittelwert der Probe j

s = Standardabweichung

Der relative Fehler hat folgenden mathematischen Zusammenhang mit der Standardabweichung (4.2) [165].

$$V = \frac{s}{\overline{x}} \times 100\% \tag{4.2}$$

V = relativer Fehler in %

Die Ergebnisse der Berechnung der relativen Fehler für die analytisch bestimmten Ionenkonzentrationen an den isotherm invarianten Dreisalzpunkten Erdalkalimetall-chlorat(hydrat) - Natriumchlorat - Natriumchlorid bei 25 °C sind in den Tabellen 3.1 bis 3.4 zusammengestellt.

Tabelle 4.1: Relative Fehler der Analysenergebnisse für Mg<sup>2+</sup>, Cl<sup>-</sup> und ClO<sub>3</sub><sup>-</sup> am isotherm invarianten Dreisalzpunkt Mg(ClO<sub>3</sub>)<sub>2</sub>.6H<sub>2</sub>O - NaClO<sub>3</sub> - NaCl bei 25°C

Element	V (%)	Analysenmethoden	Indikator
Mg <sup>2+</sup>	1,20	Komplexometrische Titration	Erio T
Cl	1,07	Argentrometrische Titration	Chromation
ClO <sub>3</sub>	1,35	Redox-Titration	Natriumdiphenylaminsulfonat

Tabelle 4.2: Relative Fehler der Analysenergebnisse für Ca<sup>2+</sup>, Cl<sup>-</sup> und ClO<sub>3</sub><sup>-</sup> am isotherm invarianten Dreisalzpunkt Ca(ClO<sub>3</sub>)<sub>2</sub>.2H<sub>2</sub>O - NaClO<sub>3</sub> - NaCl bei 25°C

Element	V (%)	Analysenmethoden	Indikator
Ca <sup>2+</sup>	1,24	Komplexometrische Titration	Calconcarbonsäure
Cl	1,02	Argentrometrische Titration	Chromation
ClO <sub>3</sub>	1,37	Redox-Titration	Natriumdiphenylaminsulfonat

Tabelle 4.3: Relative Fehler der Analysenergebnisse für Sr<sup>2+</sup>, Cl<sup>-</sup> und ClO<sub>3</sub><sup>-</sup> am isotherm invarianten Dreisalzpunkt Sr(ClO<sub>3</sub>)<sub>2</sub> - NaClO<sub>3</sub> - NaCl bei 25°C

Element	V (%)	Analysenmethoden	Indikator
Sr <sup>2+</sup>	1,29	Komplexometrische Titration	Methylthymolblau
Cl	1,10	Argentrometrische Titration	Chromation
ClO <sub>3</sub>	1,34	Redox-Titration	Natriumdiphenylaminsulfonat

Tabelle 4.4: Relative Fehler der Analysenergebnisse für Ba<sup>2+</sup>, Cl<sup>-</sup> und ClO<sub>3</sub><sup>-</sup> am isotherm invarianten Dreisalzpunkt Ba(ClO<sub>3</sub>)<sub>2</sub>.H<sub>2</sub>O - NaClO<sub>3</sub> - NaCl bei 25°C

Element	V (%)	Analysenmethoden	Indikator
Ba <sup>2+</sup>	1,22	Komplexometrische Titration	Methylthymolblau
C1 <sup>-</sup>	1,09	Argentrometrische Titration	Chromation
ClO <sub>3</sub>	1,32	Redox-Titration	Natriumdiphenylaminsulfonat

Für die Bewertung der aus der Differenz der Kationen- und Anionenäquivalente berechneten Natriumkonzentrationen ist die Angabe der Unsicherheiten sinnvoll [166].

Der Wert von 2Na $^{\!+}$  (  $y_{_{2Na^{^+}}}$  ) ist eine Funktion der Meßgrößen  $x_{_{M^{^{2+}}}}$ ,  $x_{_{2Cl^{^-}}}$  und  $x_{_{2Clo_3^-}}$ :

$$y_{2Na^{+}} = f(x_{M^{2+}}, x_{2Cl^{-}}, x_{2ClO_{3}^{-}})$$

$$(M^{2+} = Mg^{2+}, Ca^{2+}, Sr^{2+}, Ba^{2+})$$
(4.3)

Die Unsicherheit des Gesamtergebnisses in Form der Abweichung vom Mittelwert läßt sich in Abhängigkeit von den Unsicherheiten der Einflußgrößen wie folgt beschreiben:

$$dy_{2Na^{+}} = f\left(dx_{M^{2+}}, dx_{2Cl^{-}}, dx_{2ClO_{3}^{-}}\right)$$
(4.4)

Häufig gibt man die Unsicherheiten als Standardabweichung s von y an.

$$s^{2}y_{2Na^{+}} = s^{2}x_{M^{2+}} + s^{2}x_{2Cl^{-}} + s^{2}x_{2ClO_{3}^{-}}$$

$$(4.5)$$

Die Ergebnisse der Berechnung der Unsicherheit für Na $^+$ -Bestimmung als Standardabweichung  $s_{2Na^+}$  sind für die Dreisalzpunkte Erdalkalimetallchorat(hydrat) – Natriumchlorat – Natriumchlorid bei 25°C in der Tabelle 3.5 enthalten.

Tabelle 4.5: Berechnung der Unsicherheit von Na $^+$ als Standardabweichung ( $s_{_{2Na^+}}$ ) an den Dreisalzpunkten Erdalkalimetallchorat(hydrat)-Natriumchlorat-Natriumchlorid bei 25°C

Dreisalzpunkte bei 25 °C	Berechnung der Unsicherheit von 2Na <sup>+</sup> [mol 2Na <sup>+</sup> /1000 mol H <sub>2</sub> O]
Mg(ClO <sub>3</sub> ) <sub>2</sub> .6H <sub>2</sub> O – NaClO <sub>3</sub> - NaCl	2,24 ± 1,72
Ca(ClO <sub>3</sub> ) <sub>2</sub> .2H <sub>2</sub> O – NaClO <sub>3</sub> - NaCl	$6,39 \pm 3,36$
Sr(ClO <sub>3</sub> ) <sub>2</sub> - NaClO <sub>3</sub> - NaCl	19,30±1,16
Ba(ClO <sub>3</sub> ) <sub>2</sub> .H <sub>2</sub> O – NaClO <sub>3</sub> - NaCl	$76,71 \pm 1,25$

Bei kleinen Na<sup>+</sup>-Gehalten sind die Unsicherheiten zwar beträchtlich, für die Ableitung von Verfahrensvarianten zur Chloratherstellung jedoch unerheblich.

#### 4.5 Dichte-Bestimmung

Für die Umrechnung von volumenbezogenen auf massebezogene Einheiten ist die Dichte unerlässlich. Die Dichte wurde mit einem digitalen Dichtemeßgeräte (Präzisions-Dichtemeßeinrichtung DMA-10) der Firma Paar KG bestimmt. Mit Hilfe einer Injektionsspritze wird die Probe (etwa 0,5 ml) durch die Teflonhülle in die Meßzelle eingebracht.

Die Ermittlung der Dichte einer unbekannten Probe entsteht durch Vergleich mit der bekannten Dichte einer Bezugssubstanz (H<sub>2</sub>O) nach der Gleichung (4.6).

$$d_P = \frac{(T_P)^2 - (T_{H_2O})^2}{A} + d_{H_2O}$$
 (4.6)

 $d_P$  = Dichte der Probe

 $d_{H,O}$  = bekannte Dichte (H<sub>2</sub>O)

 $T_P$  = Meßwert der Probe

 $T_{H_2O}$  = Meßwert des H<sub>2</sub>O

A = Apparatekonstante

Die Apparatekonstante wird bei gewünschter Temperatur durch die Messung von Luft  $(T_{Luft})$  und  $H_2O(T_{H_2O})$  bestimmt. Sie hat folgende mathematische Beziehung (4.7)

$$A = \frac{(T_{H_2O})^2 - (T_{Luft})^2}{d_{H_2O} - d_{Luft}}$$
(4.7)

 $d_{Luft}$  = Dichte der Luft

 $T_{Luft}$  = Meßwert der Luft

Die Standardabweichung der Dichtebestimmung betrug laut Gerät rund  $\pm 2,5.10^{-4}$  g.cm<sup>-3</sup> [167].

#### 4.6 Viskositäts-Bestimmung

Für die Bestimmung der Viskosität von Salzlösungen hat sich das Ubbelohde Viskosimeter mit hängendem Niveau bewährt [168]. Die auf Versuchstemperatur temperierten Viskosimeter wurden mit Lösungen gefüllt, nach dem Temperaturausgleich (etwa 10 Minuten) erfolgte die Messung der Durchlaufzeit. Aus dem Mittelwert von fünf Messungen konnte nach folgender Beziehung (4.8) die kinematische Viskosität berechnet werden (in c.St.).

$$v = (t - t_k)k \tag{4.8}$$

v = kinematiche Viskosität (in Centistokes)

t = Durchlaufzeit (Sekunden)

 $t_k$  = Korrekturzeit

k = Viskosimeterkonstante

Im Ergebnis der Untersuchung von fünf Probelösungen zur Reproduzierbarkeit des Meßverfahrens ist der relative Fehler der Viskositätsbestimmung 0,98 %.

#### 4.7 Röntgenpulverdiffraktometrie

Zur Identifizierung der kristallinen Phasen wurden röntgendiffraktometrische Untersuchungen durchgeführt. Dabei kam das Pulverdiffraktometer mit Vertikalgoniometer (PW 1050/70) der Firma Philips zum Einsatz. Die Indentifizierung der Kristalle erfolgte durch Vergleich gemessener mit tabellarischen d-Werten.

#### 4.8 Spektroskopische Untersuchungen

Zur Aufnahme der IR-Spektren der Proben wurde ein Spektrometer (Specord M82) der Firma Carl-Zeiss Jena eingesetzt. Die Messungen erfolgten in den Bereichen von 4000 bis 400 cm<sup>-1</sup> (Übersichtsspektren) bzw. von 2000 bis 400 cm<sup>-1</sup>. Die Präparation der Proben erfolgte durch Vermischen von 2 mg der Probe mit 900 mg wasserfreiem KBr. Das Feststoffgemisch wurde zunächst in einem Ardenne-Vibrator homogenisiert und anschließend zu Tabletten gepreßt. Zur Aufnahme der Raman-Spektren der Proben wurde ein FT-IR/Raman der Firma Bruker eingesetzt. Die Messungen erfolgten in den Bereichen von 4000 bis 400 cm<sup>-1</sup>

(Übersichtsspektren) bzw. von 1200 bis 400 cm<sup>-1</sup>. Die Probe wurde in eine Kapillare eingefüllt und in die Meßzelle eingebracht.

## 4.9 TG/DSC-Untersuchungen

Die TG/DSC-Untersuchungen der Proben wurden mit dem Gerätesystem TG-DSC 111 der Firma Setaram (Frankreich) durchgeführt. Die Einwaage der Probe betrug etwa 2 bis 5 mg. Die Proben wurden in offenen Korundtiegeln ( $\alpha$ -Al<sub>2</sub>O<sub>3</sub>) mit einer Heizrate von 10 K/min gleichmäßig unter einer strömenden Argonatmosphäre aufgeheizt.

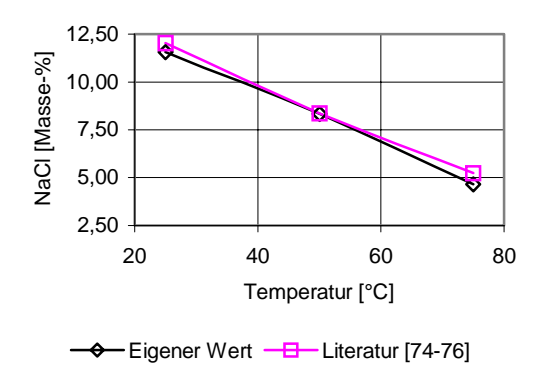
## 5. Zusammenstellung und Diskussion der Ergebnisse

# 5.1 Zusammenstellung und Diskussion der experimentellen Ergebnisse zum System MgCl<sub>2</sub> + 2NaClO<sub>3</sub> = Mg(ClO<sub>3</sub>)<sub>2</sub> + 2NaCl/H<sub>2</sub>O bei 25°C, 50°C und 75 °C

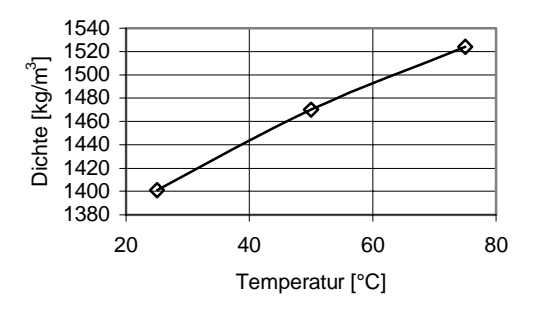
#### 5.1.1 Randsysteme

Die Gleichgewichtskonzentrationen sowie die Dichten und Viskositäten an den isotherm invarianten Zweisalzparagenesen der ternären Systeme NaCl-NaClO<sub>3</sub>-H<sub>2</sub>O, NaCl-MgCl<sub>2</sub>-H<sub>2</sub>O, MgCl<sub>2</sub>-Mg(ClO<sub>3</sub>)<sub>2</sub>-H<sub>2</sub>O und NaClO<sub>3</sub>-Mg(ClO<sub>3</sub>)<sub>2</sub>-H<sub>2</sub>O sind in den Bildern 5.1 bis 5.4 dargestellt. Die Bilder enthalten neben den eigenen Werten gegebenenfalls auch die Literaturwerte.

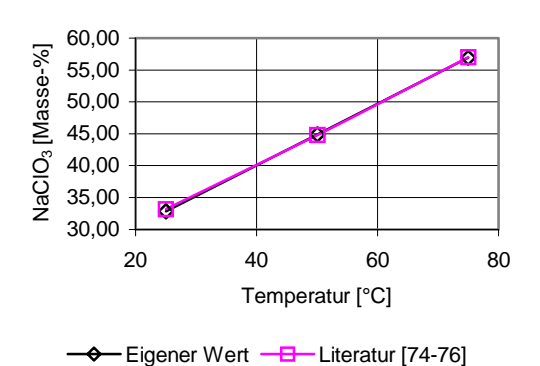
#### Das ternäre System NaCl-NaClO<sub>3</sub>-H<sub>2</sub>O



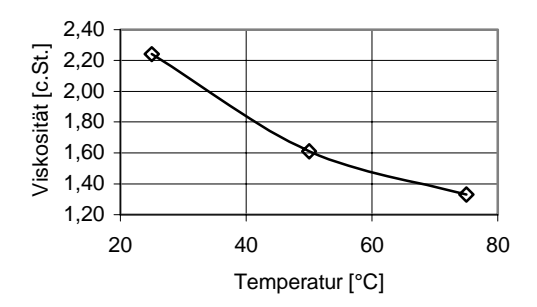
Verlauf der NaCl-Konzentrationen am Zweisalzpunkt NaCl - NaClO<sub>3</sub>



Dichteverlauf am Zweisalzpunkt NaCl - NaClO<sub>3</sub>



Verlauf der NaClO<sub>3</sub>-Konzentrationen am Zweisalzpunkt NaCl - NaClO<sub>3</sub>



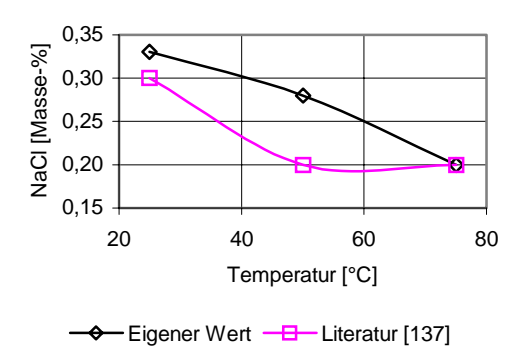
Viskositätsverlauf am Zweisalzpunkt NaCl - NaClO<sub>3</sub>

Bild 5.1: NaCl- und NaClO<sub>3</sub>-Konzentrationen sowie Dichten und Viskositäten an den Zweisalzparagenesen NaCl-NaClO<sub>3</sub> des Systems NaCl-NaClO<sub>3</sub>-H<sub>2</sub>O bei 25°C, 50°C und 75°C

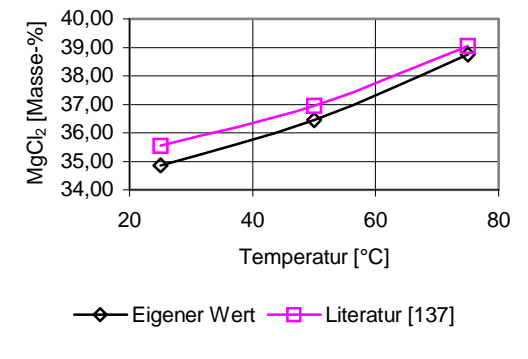
Für das ternäre System NaCl-NaClO<sub>3</sub>-H<sub>2</sub>O liegen in der Literatur zahlreiche Daten vor. Eigene Daten zu den Zweisalzparagenesen des Systems korrelieren mit den Literaturdaten gut. An den Zweisalzparagenesen treten erwartungsgemäß nur NaCl und NaClO<sub>3</sub> als feste Phasen auf, wobei die NaCl-Konzentrationen mit zunehmender Temperatur sinken und die NaClO<sub>3</sub>-Konzentrationen steigen.

Die Dichte steigt mit zunehmender Temperatur. Das Ansteigen der Salzkonzentration in der Lösung ist die Ursache für das Ansteigen der Dichte. Die Viskosität sinkt mit zunehmender Temperatur. Hier dominiert der Temperatureinfluss gegenüber dem Einfluss der höheren Salzkonzentration.

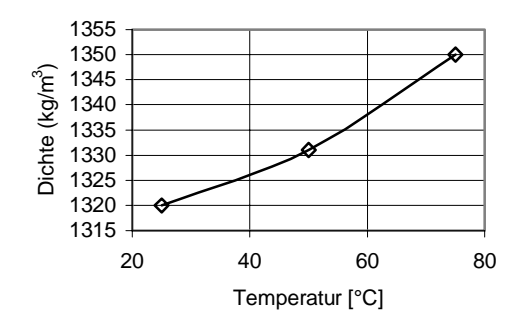
#### Das ternäre System NaCl-MgCl<sub>2</sub>-H<sub>2</sub>O



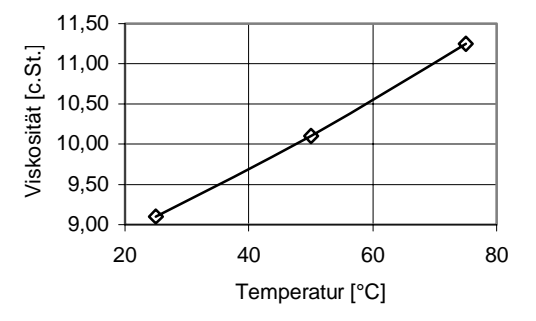
Verlauf der NaCl-Konzentrationen am Zweisalzpunkt NaCl - MgCl<sub>2</sub>.6H<sub>2</sub>O



Verlauf der MgCl<sub>2</sub>-Konzentrationen am Zweisalzpunkt NaCl - MgCl<sub>2</sub>.6H<sub>2</sub>O



Dichteverlauf am Zweisalzpunkt NaCl - MgCl<sub>2</sub>.6H<sub>2</sub>O

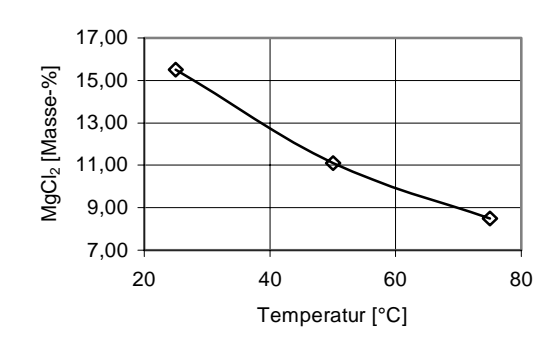


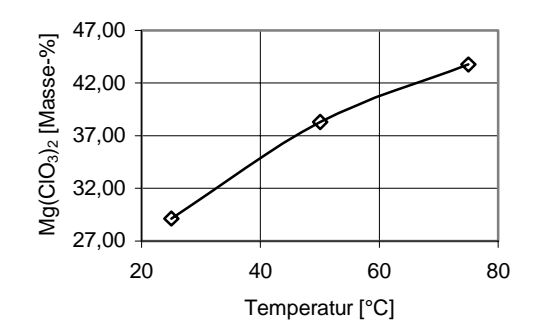
Viskositätsverlauf am Zweisalzpunkt NaCl - MgCl<sub>2</sub>.6H<sub>2</sub>O

Bild 5.2: NaCl- und MgCl<sub>2</sub>-Konzentrationen sowie Dichten und Viskositäten an den Zweisalzparagenesen NaCl-MgCl<sub>2</sub>.6H<sub>2</sub>O des Systems NaCl-MgCl<sub>2</sub>-H<sub>2</sub>O bei 25°C, 50°C und 75°C

Für das ternäre System NaCl-MgCl<sub>2</sub>-H<sub>2</sub>O liegt in der Literatur ebenfalls umfangreiches Datenmaterial vor. Im Vergleich mit den Literaturwerten liegen die eigenen Werte recht gut. Bezüglich der Unsicherheiten bei den NaCl-Werten bei absolut geringen NaCl-Konzentrationen wird auf das Kapitel 4 verwiesen. Als Bodenkörper treten in diesem Randsystem erwartungsgemäß nur NaCl und MgCl<sub>2</sub>.6H<sub>2</sub>O auf. Die Dichten und die Viskositäten steigen mit zunehmender Temperatur.

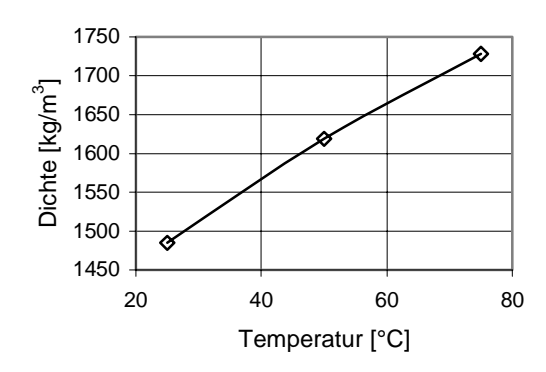
#### Das ternäre System MgCl<sub>2</sub>-Mg(ClO<sub>3</sub>)<sub>2</sub>-H<sub>2</sub>O

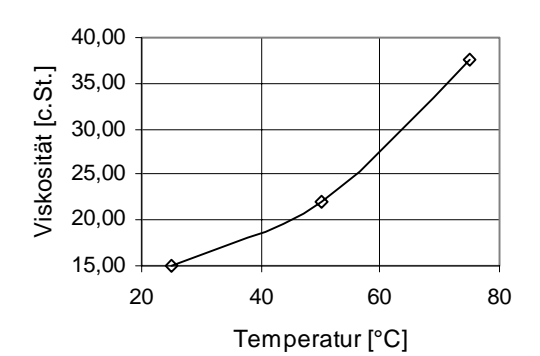




Verlauf der MgCl<sub>2</sub>-Konzentrationen am Zweisalzpunkt MgCl<sub>2</sub>.6H<sub>2</sub>O-Mg(ClO<sub>3</sub>)<sub>2</sub>.xH<sub>2</sub>O

Verlauf der Mg(ClO<sub>3</sub>)<sub>2</sub>-Konzentrationen am Zweisalzpunkt MgCl<sub>2</sub>.6H<sub>2</sub>O-Mg(ClO<sub>3</sub>)<sub>2</sub>.xH<sub>2</sub>O





Dichteverlauf am Zweisalzpunkt MgCl<sub>2</sub>.6H<sub>2</sub>O-Mg(ClO<sub>3</sub>)<sub>2</sub>.xH<sub>2</sub>O

Viskositätsverlauf am Zweisalzpunkt MgCl<sub>2</sub>.6H<sub>2</sub>O-Mg(ClO<sub>3</sub>)<sub>2</sub>.xH<sub>2</sub>O

Bild 5.3: MgCl<sub>2</sub>- und Mg(ClO<sub>3</sub>)<sub>2</sub>-Konzentrationen sowie Dichten und Viskositäten an den Zweisalzparagenesen MgCl<sub>2</sub>.6H<sub>2</sub>O-Mg(ClO<sub>3</sub>)<sub>2</sub>.xH<sub>2</sub>O des Systems MgCl<sub>2</sub>-Mg(ClO<sub>3</sub>)<sub>2</sub>-H<sub>2</sub>O bei 25°C, 50°C und 75°C

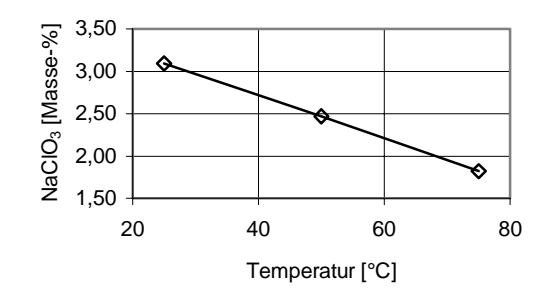
Die Bodenkörper an den Zweisalzparagenesen MgCl<sub>2</sub>.6H<sub>2</sub>O-Mg(ClO<sub>3</sub>)<sub>2</sub>.xH<sub>2</sub>O enthält Tabelle 5.1.

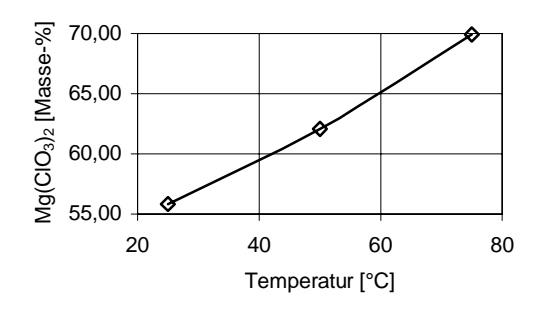
Tabelle 5.1: Bodenkörper an den Zweisalzparagenesen MgCl<sub>2</sub>.6H<sub>2</sub>O-Mg(ClO<sub>3</sub>)<sub>2</sub>.xH<sub>2</sub>O des Systems MgCl<sub>2</sub>-Mg(ClO<sub>3</sub>)<sub>2</sub>-H<sub>2</sub>O bei 25°C, 50°C und 75°C

Temperatur [°C]	Bodenkörper
25	MgCl2.6H2O + Mg(ClO3)2.6H2O
50	MgCl2.6H2O + Mg(ClO3)2.4H2O
75	MgCl2.6H2O + Mg(ClO3)2.2H2O

Die dazwischenliegenden Dreisalzparagenesen  $MgCl_2.6H_2O-Mg(ClO_3)_2.6H_2O-Mg(ClO_3)_2.4H_2O$  und  $MgCl_2.6H_2O-Mg(ClO_3)_2.4H_2O-Mg(ClO_3)_2.2H_2O$  wurden nicht bestimmt. Mit zunehmender Temperatur sinken die  $MgCl_2$ -Konzentrationen und steigen die  $Mg(ClO_3)_2$ -Konzentrationen. Die Dichten und Viskositäten steigen mit zunehmenden Temperaturen.

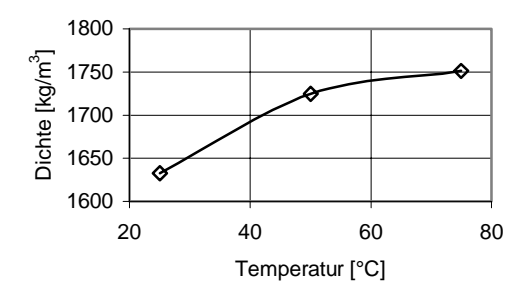
#### Das ternäre System NaClO<sub>3</sub>-Mg(ClO<sub>3</sub>)<sub>2</sub>-H<sub>2</sub>O

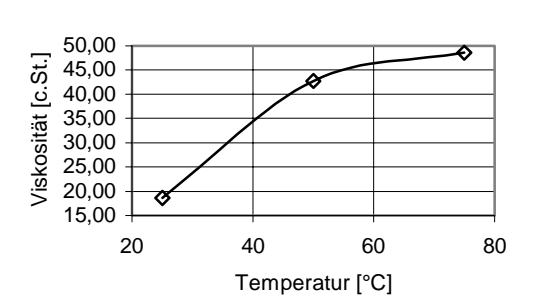




Verlauf der NaClO<sub>3</sub>-Konzentrationen am Zweisalzpunkt NaClO<sub>3</sub>-Mg(ClO<sub>3</sub>)<sub>2</sub>.xH<sub>2</sub>O

Verlauf der Mg(ClO<sub>3</sub>)<sub>2</sub>-Konzentrationen am Zweisalzpunkt NaClO<sub>3</sub>-Mg(ClO<sub>3</sub>)<sub>2</sub>.xH<sub>2</sub>O





Dichteverlauf am Zweisalzpunkt NaClO<sub>3</sub>-Mg(ClO<sub>3</sub>)<sub>2</sub>.xH<sub>2</sub>O

Viskositätsverlauf am Zweisalzpunkt NaClO<sub>3</sub>-Mg(ClO<sub>3</sub>)<sub>2</sub>.xH<sub>2</sub>O

Bild 5.4: NaClO<sub>3</sub>- und Mg(ClO<sub>3</sub>)<sub>2</sub>-Konzentrationen sowie Dichten und Viskositäten an den Zweisalzparagenesen NaClO<sub>3</sub>-Mg(ClO<sub>3</sub>)<sub>2</sub>.xH<sub>2</sub>O des Systems NaClO<sub>3</sub>-Mg(ClO<sub>3</sub>)<sub>2</sub>-H<sub>2</sub>O bei 25°C, 50°C und 75°C

Die Bodenkörper an den Zweisalzparagenesen NaClO<sub>3</sub>-Mg(ClO<sub>3</sub>)<sub>2</sub>.xH<sub>2</sub>O des Systems NaClO<sub>3</sub>-Mg(ClO<sub>3</sub>)<sub>2</sub>-H<sub>2</sub>O bei 25°C, 50°C und 75°C sind in der Tabelle 5.2 enthalten.

Tabelle 5.2: Bodenkörper an den Zweisalzparagenesen NaClO<sub>3</sub> - Mg(ClO<sub>3</sub>)<sub>2</sub>.xH<sub>2</sub>O des Systems NaClO<sub>3</sub>-Mg(ClO<sub>3</sub>)<sub>2</sub>-H<sub>2</sub>O bei 25°C, 50°C und 75°C

Temperatur [°C]	Bodenkörper
25	$NaClO_3 + Mg(ClO_3)_2.6H_2O$
50	$NaClO_3 + Mg(ClO_3)_2.4H_2O$
75	$NaClO_3 + Mg(ClO_3)_2.2H_2O$

Die gefundenen Mg(ClO<sub>3</sub>)<sub>2</sub>-Bodenkörper befinden sich in Übereinstimmung mit den Befunden zum System NaCl-Mg(ClO<sub>3</sub>)<sub>2</sub>-H<sub>2</sub>O. Alle anderen Tendenzen lassen sich leicht aus dem Bild 5.4 entnehmen.

### 5.1.2 Das reziproke Salzpaar $MgCl_2 + 2NaClO_3 = Mg(ClO_3)_2 + 2NaCl/H_2O$

Die im Rahmen dieser Arbeit ermittelten Löslichkeitswerte, Dichten, Viskositäten und Bodenkörperparagenesen sind in den Tabellen 5.3 bis 5.5 zusammengestellt. Die Angabe der Konzentration erfolgt in Masse-%. Bei Werten in Klammern handelt es sich um Literaturdaten.

Tabelle 5.3: Löslichkeiten, Dichten, Viskositäten und Bodenkörperparagenesen im reziproken Salzpaar MgCl<sub>2</sub> + 2NaClO<sub>3</sub> = Mg(ClO<sub>3</sub>)<sub>2</sub> + 2NaCl/H<sub>2</sub>O bei 25 °C

Nr.	Dichte	Viskosität	NaCl	NaClO <sub>3</sub>	MgCl <sub>2</sub>	Mg(ClO <sub>3</sub> ) <sub>2</sub>	Bodenkörper
111.	[kg/m <sup>3</sup> ]	[c.St.]	[Masse-%]	[Masse-%]	[Masse-%]	[Masse-%]	[Literatur]
1	1401	2,24	11,56	32,83			NaClO <sub>3</sub> + NaCl
			(12,04)	(33,15)			[74 -76] Interpoliert
2	1409	5,70	8,87		2,30	21,04	NaClO <sub>3</sub> + NaCl
3	1633	18,59		3,09		55,83	$NaClO_3 + Mg(ClO_3)_2.6H_2O$
4	1444	15,59	1,15		12,74	29,86	$NaClO_3 + Mg(ClO_3)_2.6H_2O$
5	1420	15,00	0,93		13,49	28,39	$NaClO_3 + Mg(ClO_3)_2.6H_2O$
6	1320	9,10	0,33		34,86		MgCl <sub>2</sub> .6H <sub>2</sub> O + NaCl
			(0,30)		(35,55)		[137]

## Fortsetzung der Tabelle 5.3

Nr.	Dichte [kg/m³]	Viskosität [c.St.]	NaCl [Masse-%]	NaClO <sub>3</sub> [Masse-%]	MgCl <sub>2</sub> [Masse-%]	Mg(ClO <sub>3</sub> ) <sub>2</sub> [Masse-%]	Bodenkörper [Literatur]
7	1337	9,34	0,24		29,30	4,79	MgCl <sub>2</sub> .6H <sub>2</sub> O + NaCl
8	1387	10,45	0,29		24,68	13,89	MgCl <sub>2</sub> .6H <sub>2</sub> O + NaCl
9	1442	12,55	0,27		18,95	22,27	MgCl <sub>2</sub> .6H <sub>2</sub> O + NaCl
10	1459	13,75	0,23		17,74	24,77	MgCl <sub>2</sub> .6H <sub>2</sub> O + NaCl
11	1476	14,72	0,23		16,43	25,67	MgCl <sub>2</sub> .6H <sub>2</sub> O + NaCl
12	1485	15,10			15,51	29,12	MgCl2.6H2O + Mg(ClO3)2.6H2O
13	1421	13,43	0,82		16,11	26,58	$NaClO_3 + Mg(ClO_3)_2.6H_2O + NaCl$
14	1447	14,70	0,22		16,42	27,00	MgCl <sub>2</sub> .6H <sub>2</sub> O + Mg(ClO <sub>3</sub> ) <sub>2</sub> .6H <sub>2</sub> O + NaCl

Tabelle 5.4: Löslichkeiten, Dichten, Viskositäten und Bodenkörperparagenesen im reziproken  $Salzpaar\ MgCl_2 + 2NaClO_3 = Mg(ClO_3)_2 + 2NaCl/H_2O\ bei\ 50\ ^{\circ}C$ 

Nr.	Dichte	Viskosität	NaCl	NaClO <sub>3</sub>	MgCl <sub>2</sub>	Mg(ClO <sub>3</sub> ) <sub>2</sub>	Bodenkörper
INI.	[kg/m <sup>3</sup> ]	[c.St.]	[Masse-%]	[Masse-%]	[Masse-%]	[Masse-%]	[Literatur]
1	1470	1,61	8,31	44,90			NaClO <sub>3</sub> + NaCl
			(8,36)	(44,83)			[75]
2	1528	18,05	2,08		8,15	30,24	NaClO <sub>3</sub> + NaCl
3	1725	42,71		2,47		62,09	Mg(ClO <sub>3</sub> ) <sub>2</sub> .4H <sub>2</sub> O + NaClO <sub>3</sub>
4	1610	25,47	1,03		10,44	45,19	Mg(ClO <sub>3</sub> ) <sub>2</sub> .4H <sub>2</sub> O + NaClO <sub>3</sub>
5	1619	22,12			11,11	38,28	Mg(ClO3)2.4H2O + MgCl2.6H2O
6	1331	10,10	0,28		36,45		MgCl <sub>2</sub> .6H <sub>2</sub> O + NaCl
			(0,20)		(36,95)		[137]
7	1392	11,59	0,20		26,57	10,64	MgCl <sub>2</sub> .6H <sub>2</sub> O + NaCl
8	1455	15,76	0,20		21,27	19,44	MgCl <sub>2</sub> .6H <sub>2</sub> O + NaCl
9	1563	22,04	0,67		12,57	36,75	Mg(ClO <sub>3</sub> ) <sub>2</sub> .4H <sub>2</sub> O + NaClO <sub>3</sub> + NaCl
10	1568	22,57	0,21		12,67	36,71	MgCl <sub>2</sub> .6H <sub>2</sub> O + Mg(ClO <sub>3</sub> ) <sub>2</sub> .4H <sub>2</sub> O + NaCl

Tabelle 5.5: Löslichkeiten, Dichten, Viskositäten und Bodenkörperparagenesen im reziproken  $Salzpaar\ MgCl_2 + 2NaClO_3 = Mg(ClO_3)_2 + 2NaCl/H_2O\ bei\ 75\ ^{\circ}C$ 

Nr.	Dichte	Viskosität	NaCl	NaClO <sub>3</sub>	MgCl <sub>2</sub>	Mg(ClO <sub>3</sub> ) <sub>2</sub>	Bodenkörper
Nr.	[kg/m <sup>3</sup> ]	[c.St.]	[Masse-%]	[Masse-%]	[Masse-%]	[Masse-%]	[Literatur]
1	1524	1,33	4,64	56,89			NaClO <sub>3</sub> + NaCl
			(5,23)	(57,03)			[74-76] Interpoliert
2	1694	27,63	1,80		6,41	42,45	NaClO <sub>3</sub> + NaCl
3	1751	48,56		1,82		69,89	$NaClO_3 + Mg(ClO_3)_2.2H_2O$
4	1728	37,56			8,51	43,74	MgCl2.6H2O + Mg(ClO3)2.2H2O
5	1350	11,25	0,2		38,75		$MgCl_2.6H_2O + NaCl$
			(0,20)		(39,05)		[137]
6	1493	23,03	0,07		20,97	24,37	MgCl <sub>2</sub> .6H <sub>2</sub> O + NaCl
7	1542	27,16	0,07		18,40	29,27	MgCl <sub>2</sub> .6H <sub>2</sub> O + NaCl
8	1584	28,03	0,13		17,85	32,29	MgCl <sub>2</sub> .6H <sub>2</sub> O + NaCl
9	1746	35,13	0,54		7,82	43,31	NaClO <sub>3</sub> + Mg(ClO <sub>3</sub> ) <sub>2</sub> .2H <sub>2</sub> O + NaCl
10	1749	35,48	0,18		8,17	43,64	MgCl <sub>2</sub> .6H <sub>2</sub> O + Mg(ClO <sub>3</sub> ) <sub>2</sub> .2H <sub>2</sub> O + NaCl

Die Bilder 5.5 und 5.6 enthalten eine Darstellung der Lösungsgleichgewichte im System  $MgCl_2 + 2NaClO_3 = Mg(ClO_3)_2 + 2NaCl/H_2O$  bei 25°C, 50°C und 75°C.

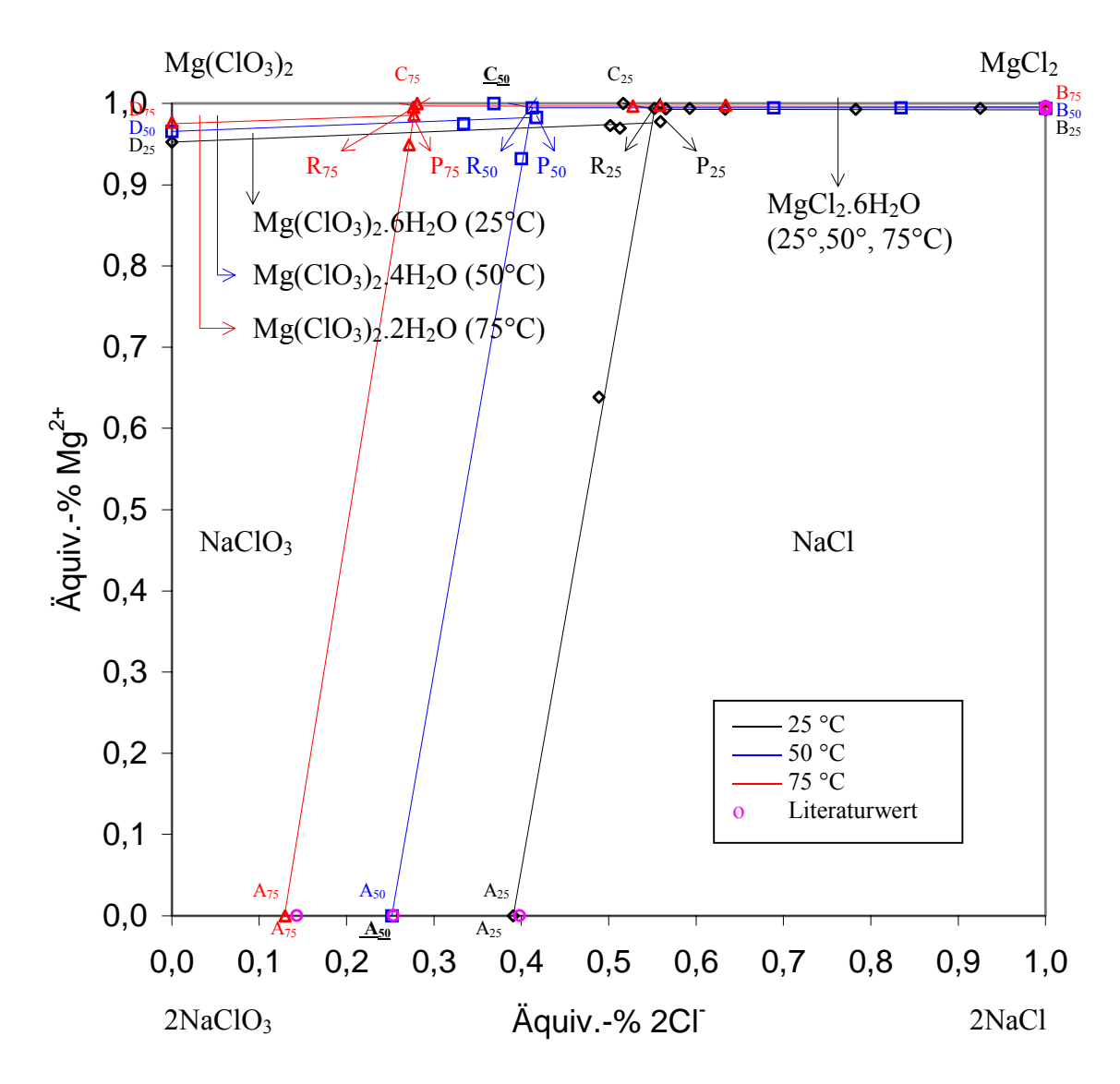


Bild 5.5: Gleichgewichte im System MgCl<sub>2</sub> + 2NaClO<sub>3</sub> = Mg(ClO<sub>3</sub>)<sub>2</sub> + 2NaCl/H<sub>2</sub>O bei 25°C, 50°C und 75°C

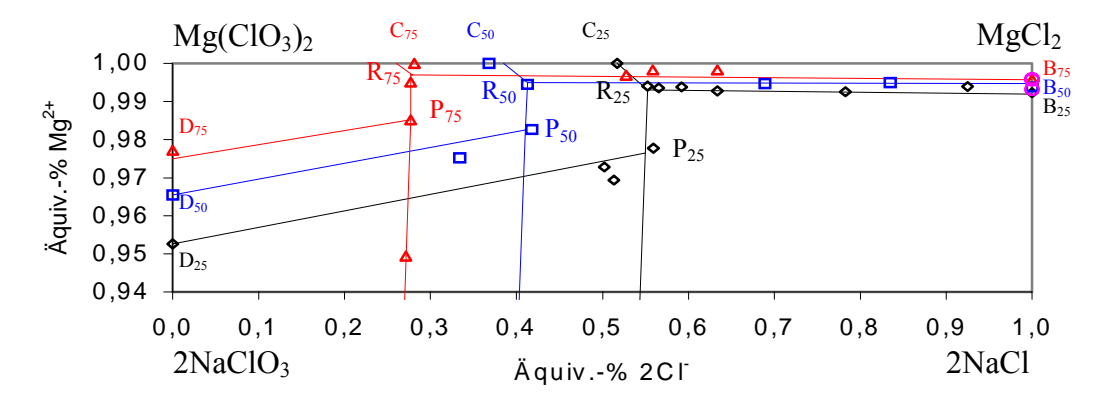


Bild 5.6: Vergrößerte Darstellung der Mg-reichen Seite des Phasendiagramms zum System  $MgCl_2 + 2NaClO_3 = Mg(ClO_3)_2 + 2NaCl/H_2O$  bei 25°C, 50°C und 75 °C

Da bei dieser Art der graphischen Darstellung kleine Felder großen relativen Löslichkeiten entsprechen, ist aus dem Bild 5.5 ersichtlich, dass in dem reziproken Salzpaar MgCl<sub>2</sub> + 2NaClO<sub>3</sub> = Mg(ClO<sub>3</sub>)<sub>2</sub> + 2NaCl/H<sub>2</sub>O die Magnesiumsalze das System dominieren. Wegen der positiven Temperaturabhängigkeit der Löslichkeit des Natriumchlorates kommt es in Abhängigkeit von der Temperatur außerdem zu einer Verschiebung bei der Größe der NaClO<sub>3</sub>- und NaCl-Felder.

Aus dem Bild 5.5 ist ersichtlich, dass es sich in diesem System um ein sehr einfaches System handelt. Es treten bei jeder Temperatur nur vier Bodenkörper auf. Lediglich hinsichtlich der Magnesiumchlorathydrate unterscheiden sich die 3 Isothermen bei den Bodenkörpern. Insbesondere aus dem Bild 5.6 ist zu erkennen, dass das Salzpaar Mg(ClO<sub>3</sub>)<sub>2</sub>.xH<sub>2</sub>O-NaCl bei allen drei Temperaturen das stabile Salzpaar ist, das sich jedoch im Übergangsintervall befindet, weil die Dreisalzpunkte NaCl-NaClO<sub>3</sub>-Mg(ClO<sub>3</sub>)<sub>2</sub>.xH<sub>2</sub>O inkongruent gesättigt sind. Die Tabelle 5.6 enthält eine Aufstellung der Bodenkörper an den isotherm invarianten Punkten bei 25°C, 50°C und 75°C.

Tabelle 5.6: Aufstellung der Bodenkörper an den isotherm invarianten Dreisalzpunkten des Systems  $MgCl_2 + 2NaClO_3 = Mg(ClO_3)_2 + 2NaCl/H_2O$  bei 25°C, 50°C und 75 °C

<b>Invariante Punkte</b>	Temperatur [°C]	Bodenkörper
P <sub>25</sub>	25	$NaCl + NaClO_3 + Mg(ClO_3)_2.6H_2O$
P <sub>50</sub>	50	$NaCl + NaClO_3 + Mg(ClO_3)_2.4H_2O$
P <sub>75</sub>	75	$NaCl + NaClO_3 + Mg(ClO_3)_2.2H_2O$
R <sub>25</sub>	25	NaCl + MgCl2.6H2O + Mg(ClO3)2.6H2O
R <sub>50</sub>	50	NaCl + MgCl2.6H2O + Mg(ClO3)2.4H2O
R <sub>75</sub>	75	NaCl + MgCl2.6H2O + Mg(ClO3)2.2H2O

Mit der Tabelle 5.7 ist eine Aufstellung der Bodenkörper an den Zweisalzlinien gegeben.

Tabelle 5.7: Aufstellung der Bodenkörper an den Zweisalzlinien des Systems  $MgCl_2 + 2NaClO_3 = Mg(ClO_3)_2 + 2NaCl/H_2O bei 25°C, 50°C und 75 °C$ 

Zweisalzlinien	Temperatur [°C]	Bodenkörper
$A_{25}-P_{25}$	25	NaCl + NaClO <sub>3</sub>
$A_{50} - P_{50}$	50	NaCl + NaClO <sub>3</sub>
A <sub>75</sub> - P <sub>75</sub>	75	NaCl + NaClO <sub>3</sub>
B <sub>25</sub> - R <sub>25</sub>	25	NaCl + MgCl <sub>2</sub> .6H <sub>2</sub> O
B <sub>50</sub> - R <sub>50</sub>	50	NaCl + MgCl <sub>2</sub> .6H <sub>2</sub> O
B <sub>75</sub> - R <sub>75</sub>	75	NaCl + MgCl <sub>2</sub> .6H <sub>2</sub> O
C <sub>25</sub> - R <sub>25</sub>	25	MgCl2.6H2O + Mg(ClO3)2.6H2O
C <sub>50</sub> - R <sub>50</sub>	50	MgCl2.6H2O + Mg(ClO3)2.4H2O
C <sub>75</sub> - R <sub>75</sub>	75	MgCl2.6H2O + Mg(ClO3)2.2H2O
D <sub>25</sub> - P <sub>25</sub>	25	$NaClO_3 + Mg(ClO_3)_2.6H_2O$
D <sub>50</sub> - P <sub>50</sub>	50	$NaClO_3 + Mg(ClO_3)_2.4H_2O$
D <sub>75</sub> - P <sub>75</sub>	75	$NaClO_3 + Mg(ClO_3)_2.2H_2O$
P <sub>25</sub> - R <sub>25</sub>	25	$NaCl + Mg(ClO_3)_2.6H_2O$
P <sub>50</sub> - R <sub>50</sub>	50	$NaCl + Mg(ClO_3)_2.4H_2O$
P <sub>75</sub> - R <sub>75</sub>	75	$NaCl + Mg(ClO_3)_2.2H_2O$

Von besonderem Interesse sind natürlich die Verhältnisse an den Dreisalzpunkten des Systems. Die Dreisalzpunkte NaCl-NaClO<sub>3</sub>-Mg(ClO<sub>3</sub>)<sub>2</sub>.xH<sub>2</sub>O werden hier mit P und die Dreisalzpunkte NaCl-MgCl<sub>2</sub>.6H<sub>2</sub>O-Mg(ClO<sub>3</sub>)<sub>2</sub>.xH<sub>2</sub>O mit R bezeichnet.

Die Bilder 5.7 und 5.8 zeigen die Konzentrationsverläufe an den Dreisalzpunkten P und R in Abhängigkeit von der Temperatur.

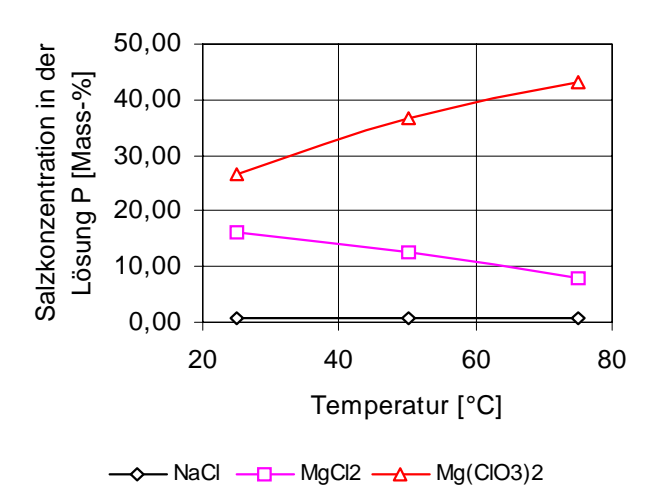


Bild 5.7: Konzentrationsverläufe an den Dreisalzpunkten NaCl-NaClO $_3$ -Mg(ClO $_3$ ) $_2$ .xH $_2$ O des Systems MgCl $_2$  + 2NaClO $_3$  = Mg(ClO $_3$ ) $_2$  + 2NaCl/H $_2$ O in Abhängigkeit von der Temperatur

An den Dreisalzpunkten P steigen die Mg(ClO<sub>3</sub>)<sub>2</sub>-Konzentrationen, während die MgCl<sub>2</sub>-Konzentrationen fallen. Nur die NaCl-Gehalte bleiben nahezu unverändert.

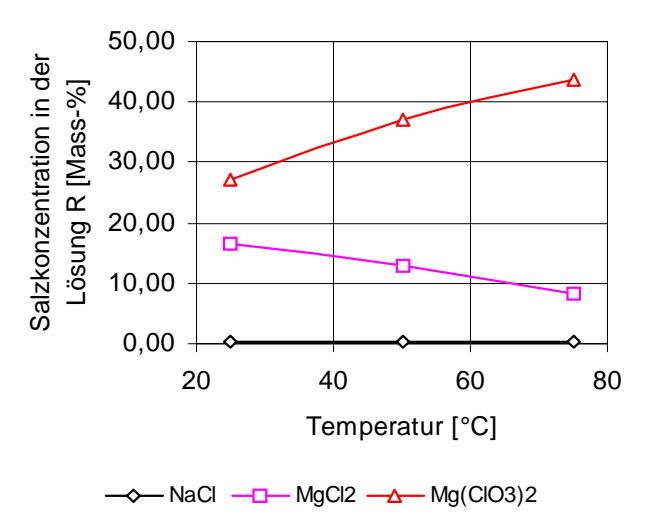


Bild 5.8: Konzentrationsverläufe an den Dreisalzpunkten NaCl-MgCl $_2$ .6H $_2$ O-Mg(ClO $_3$ ) $_2$ .xH $_2$ O des System MgCl $_2$  + 2NaClO $_3$  = Mg(ClO $_3$ ) $_2$  + 2NaCl/H $_2$ O in Abhängigkeit von der Temperatur

An dem Dreisalzpunkt R liegen die Verhältnisse grundsätzlich ähnlich: Anstieg bei den Mg(ClO<sub>3</sub>)<sub>2</sub>-Konzentrationen und Abfall bei den MgCl<sub>2</sub>-Konzentrationen bei gleichbleibenden NaCl-Gehalten.

Schließlich sind mit den Bildern 5.9 und 5.10 Darstellungen der Dichte- und Viskositätsverläufe an den Dreisalzpunkten P und R in Abhängigkeit von der Temperatur gegeben.

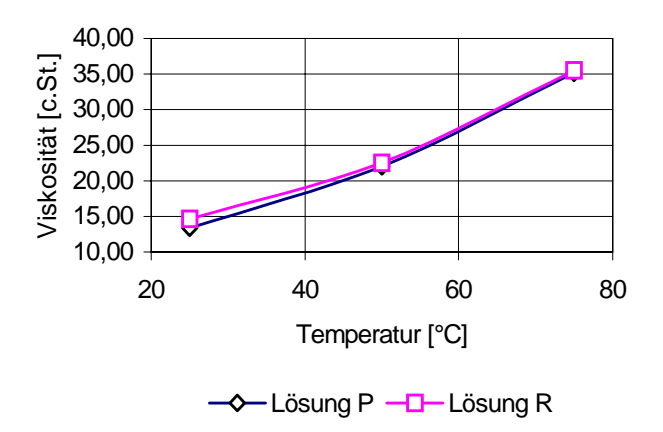


Bild 5.9: Verlauf der Viskositätswerte an den Dreisalzpunkten P und R des System  $MgCl_2 + 2NaClO_3 = Mg(ClO_3)_2 + 2NaCl/H_2O$  in Abhängigkeit von der Temperatur

In Abhängigkeit von der Temperatur nehmen an den Dreisalzpunkten P und R die Viskositäten zu. Hier dominieren die größeren Salzgehalte mit steigender Temperatur.

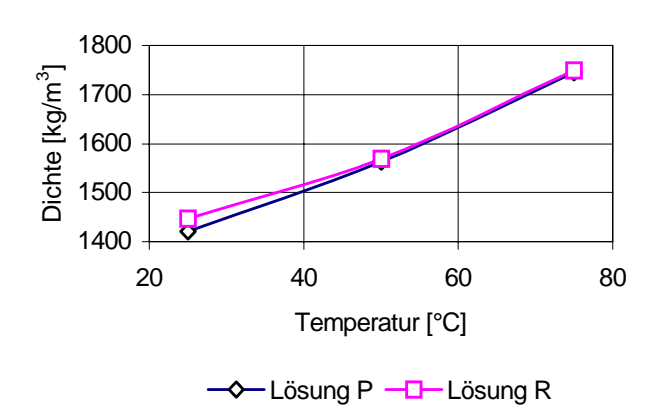


Bild 5.10: Verlauf der Dichtewerte an den Dreisalzpunkten P und R des System  $MgCl_2 + 2NaClO_3 = Mg(ClO_3)_2 + 2NaCl/H_2O$  in Abhängigkeit von der Temperatur

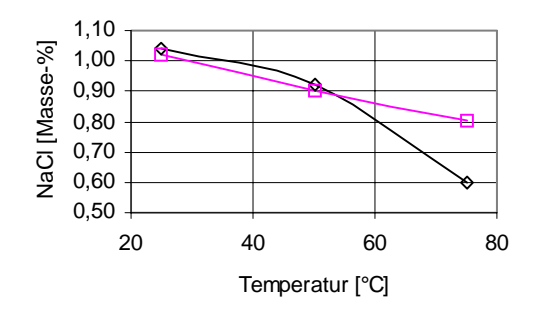
Auch die Dichtewerte steigen mit der Temperatur. Die höheren Salzgehalte mit steigender Temperatur führen auch zu höheren Dichtewerten.

# 5.2 Zusammenstellung und Diskussion der experimentellen Ergebnisse zum System CaCl<sub>2</sub> + 2NaClO<sub>3</sub> = Ca(ClO<sub>3</sub>)<sub>2</sub> + 2NaCl/H<sub>2</sub>O bei 25°C, 50°C und 75 °C

#### 5.2.1 Randsysteme

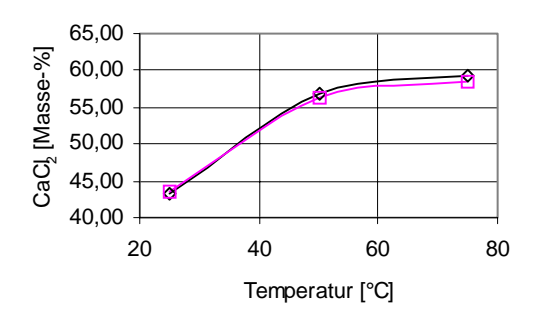
Die Gleichgewichtskonzentrationen sowie die Dichten und Viskositäten an den isotherm invarianten Zweisalzparagenesen der ternären Systeme NaCl-CaCl<sub>2</sub>-H<sub>2</sub>O, CaCl<sub>2</sub>-Ca(ClO<sub>3</sub>)<sub>2</sub>-H<sub>2</sub>O und Ca(ClO<sub>3</sub>)<sub>2</sub>-NaClO<sub>3</sub>-H<sub>2</sub>O sind in den Bildern 5.11 bis 5.13 dargestellt. Die Bilder enthalten neben den eigenen Werten gegebenenfalls auch die Literaturwerte.

### Das ternäre System NaCl-CaCl<sub>2</sub>-H<sub>2</sub>O



Verlauf der NaCl-Konzentrationen am Zweisalzpunkt NaCl-CaCl<sub>2</sub>.xH<sub>2</sub>O

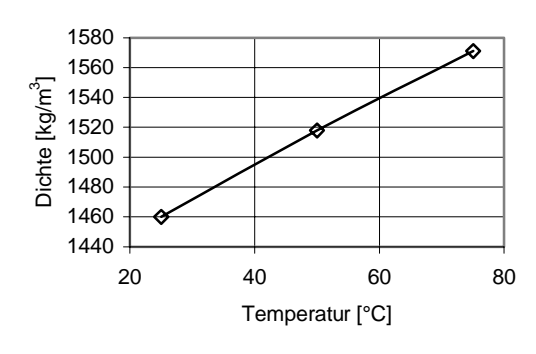
eigener Wert — Literatur [137, 144, 148]



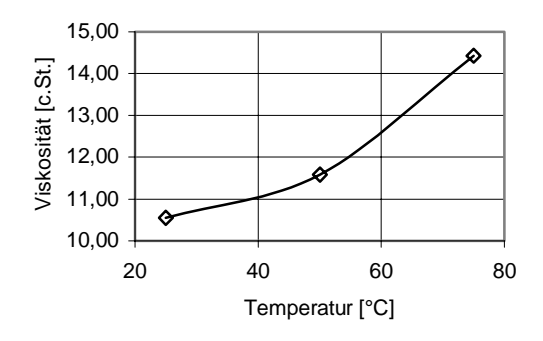
→ eigener Wert — Literatur [137, 144, 148]

Verlauf der CaCl<sub>2</sub>-Konzentrationen

am Zweisalzpunkt NaCl-CaCl<sub>2</sub>.xH<sub>2</sub>O



Dichteverlauf am Zweisalzpunkt NaCl-CaCl<sub>2</sub>.xH<sub>2</sub>O



 $\label{eq:Viskositätsverlauf} Viskositätsverlauf$  am Zweisalzpunkt NaCl-CaCl2.xH2O

Bild 5.11: NaCl- und CaCl<sub>2</sub>-Konzentrationen sowie Dichten und Viskositäten an den Zweisalzparagenesen NaCl - CaCl<sub>2</sub>.xH<sub>2</sub>O des Systems NaCl-CaCl<sub>2</sub>-H<sub>2</sub>O bei 25°C, 50°C und 75°C

Für das System NaCl-CaCl<sub>2</sub>-H<sub>2</sub>O liegt in der Literatur umfangreiches Material vor. Die eigenen Daten zu den Löslichkeiten an den Zweisalzparagenesen können darum mit Literaturwerten verglichen werden. Dabei kann eine gute Übereinstimmung festgestellt werden. Bei den Bodenkörperphasen an den Zweisalzparagenesen werden ebenfalls die in der Literatur bereits diskutierten Bodenkörper gefunden (Tabelle 5.8).

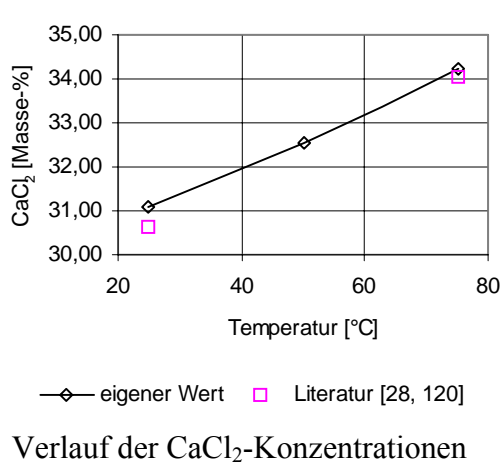
Tabelle 5.8: Bodenkörper an den Zweisalzparagenesen NaCl - CaCl<sub>2</sub>.xH<sub>2</sub>O des Systems NaCl-CaCl<sub>2</sub>.xH<sub>2</sub>O bei 25°C, 50°C und 75°C

Temperatur [°C]	Bodenkörper
25	NaCl + CaCl <sub>2</sub> .6H <sub>2</sub> O
50	NaCl + CaCl <sub>2</sub> .2H <sub>2</sub> O
75	NaCl + CaCl <sub>2</sub> .2H <sub>2</sub> O

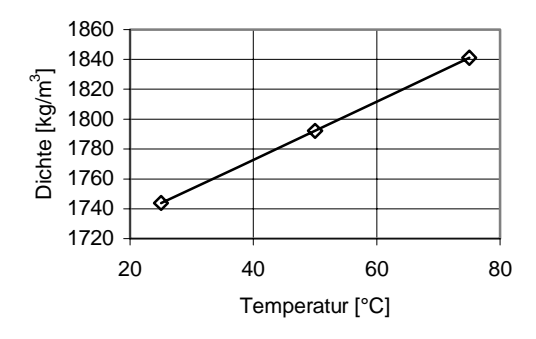
Die NaCl-Konzentrationen fallen an den Zweisalzparagenesen mit steigender Temperatur, bedingt durch die zunehmenden CaCl<sub>2</sub>-Gehalte. Die mit der Temperatur steigenden Salzgehalte führen auch zu einem Anstieg bei den Dichten und Viskositäten.

Auf die Bestimmung des Dreisalzpunktes NaCl-CaCl<sub>2</sub>.4H<sub>2</sub>O-CaCl<sub>2</sub>.2H<sub>2</sub>O wurde verzichtet.

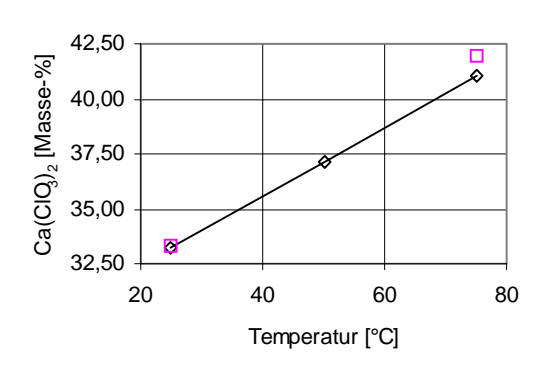
## Das ternäre System CaCl<sub>2</sub>-Ca(ClO<sub>3</sub>)<sub>2</sub>-H<sub>2</sub>O



Verlauf der CaCl<sub>2</sub>-Konzentrationer am Zweisalzpunkt CaCl<sub>2</sub>.xH<sub>2</sub>O - Ca(ClO<sub>3</sub>)<sub>2</sub>.xH<sub>2</sub>O

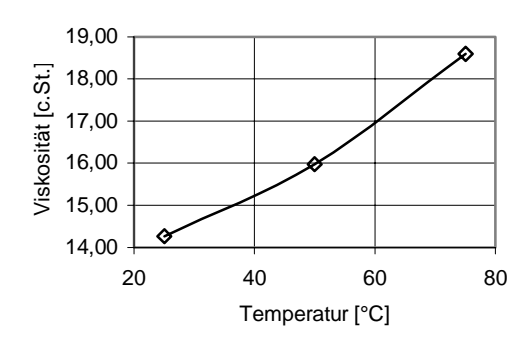


Dichteverlauf am Zweisalzpunkt CaCl<sub>2</sub>.xH<sub>2</sub>O - Ca(ClO<sub>3</sub>)<sub>2</sub>.xH<sub>2</sub>O



Verlauf der Ca(ClO<sub>3</sub>)<sub>2</sub>-Konzentrationen am Zweisalzpunkt CaCl<sub>2</sub>.xH<sub>2</sub>O - Ca(ClO<sub>3</sub>)<sub>2</sub>.xH<sub>2</sub>O

– eigener Wert 🔲 Literatur [28, 120]



Viskositätsverlauf am Zweisalzpunkt CaCl<sub>2</sub>.xH<sub>2</sub>O - Ca(ClO<sub>3</sub>)<sub>2</sub>.xH<sub>2</sub>O

Bild 5.12: CaCl<sub>2</sub>- und Ca(ClO<sub>3</sub>)<sub>2</sub>-Konzentrationen sowie Dichten und Viskositäten an den Zweisalzparagenesen CaCl<sub>2</sub>.xH<sub>2</sub>O - Ca(ClO<sub>3</sub>)<sub>2</sub>.xH<sub>2</sub>O des Systems CaCl<sub>2</sub>-Ca(ClO<sub>3</sub>)<sub>2</sub>-H<sub>2</sub>O bei 25°C, 50°C und 75°C

Unter 2.4.3.1 wurde das System CaCl<sub>2</sub>-Ca(ClO<sub>3</sub>)<sub>2</sub>-H<sub>2</sub>O als recht gut untersucht eingestuft. Verfügbare Literaturwerte sind darum bei der Darstellung der Zweisalzparagenesen CaCl<sub>2</sub>.xH<sub>2</sub>O-Ca(ClO<sub>3</sub>)<sub>2</sub>.xH<sub>2</sub>O des Systems CaCl<sub>2</sub>-Ca(ClO<sub>3</sub>)<sub>2</sub>-H<sub>2</sub>O berücksichtigt. Die Daten stimmen sowohl bei den Bodenkörpern als auch bei den Löslichkeiten gut überein. Die Tabelle 5.9 enthält eine Aufstellung der Bodenkörper an den Zweisalzparagenesen CaCl<sub>2</sub>.xH<sub>2</sub>O-Ca(ClO<sub>3</sub>)<sub>2</sub>.xH<sub>2</sub>O.

Die Polythermen Dreisalzparagenesen CaCl<sub>2</sub>.4H<sub>2</sub>O-CaCl<sub>2</sub>.2H<sub>2</sub>O-Ca(ClO<sub>3</sub>)<sub>2</sub>.2H<sub>2</sub>O und CaCl<sub>2</sub>.2H<sub>2</sub>O-Ca(ClO<sub>3</sub>)<sub>2</sub>.2H<sub>2</sub>O-Ca(ClO<sub>3</sub>)<sub>2</sub> wurden nicht bestimmt. Bei 25°C tritt außerdem eine Zweisalzparagenese CaCl<sub>2</sub>.6H<sub>2</sub>O-CaCl<sub>2</sub>.4H<sub>2</sub>O auf. Die Werte für diese Zweisalzparagenese sind zusammen mit den Werten für die andere Zweisalzparagenese in der Tabelle 5.10 enthalten. Die Dichten und Viskositäten zeigen den erwarteten Verlauf.

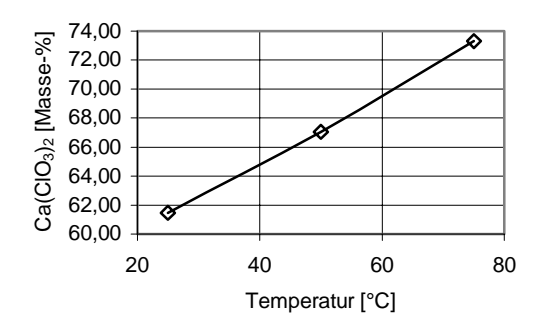
Tabelle 5.9: Bodenkörper an den Zweisalzparagenesen CaCl<sub>2</sub>.xH<sub>2</sub>O - Ca(ClO<sub>3</sub>)<sub>2</sub>.xH<sub>2</sub>O des Systems CaCl<sub>2</sub>-Ca(ClO<sub>3</sub>)<sub>2</sub>-H<sub>2</sub>O bei 25°C, 50°C und 75°C

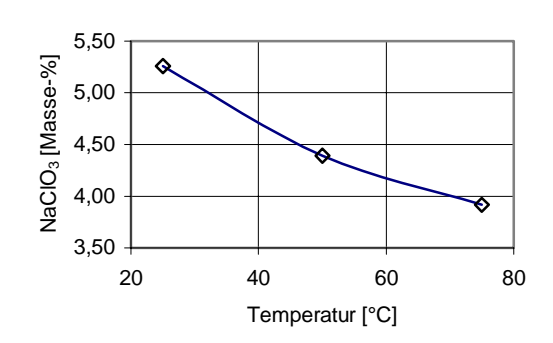
Temperatur [°C]	Bodenkörper
25	CaCl2.4H2O + Ca(ClO3)2.2H2O
50	CaCl2.2H2O + Ca(ClO3)2.2H2O
75	$CaCl_2.2H_2O + Ca(ClO_3)_2$

Tabelle 5.10: Zweisalzparagenese des Systems CaCl<sub>2</sub>-Ca(ClO<sub>3</sub>)<sub>2</sub>-H<sub>2</sub>O bei 25 °C

Zweisalzpunkt	CaCl <sub>2</sub> [Masse-%]	Ca(ClO <sub>3</sub> ) <sub>2</sub> [Masse-%]	Bodenkörper	Literatur
1	42,48	8,99	CaCl2.6H2O + CaCl2.4H2O	
	42,60	8,85	$CaCl_2.6H_2O + CaCl_2.4H_2O$	[28]
2	31,08	33,23	CaCl2.4H2O + Ca(ClO3)2.2H2O	
L	30,65	33,36	CaCl2.4H2O + Ca(ClO3)2.2H2O	[28]

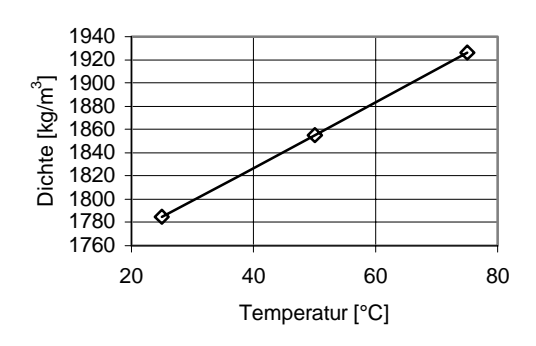
## Das System Ca(ClO<sub>3</sub>)<sub>2</sub>-NaClO<sub>3</sub>-H<sub>2</sub>O

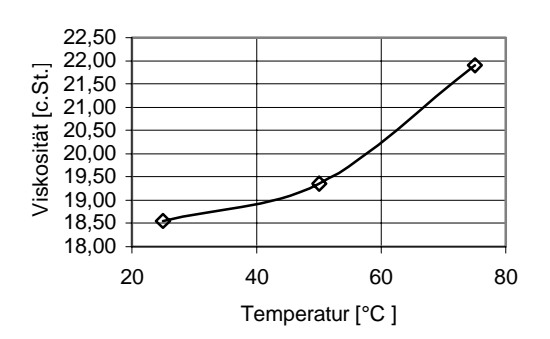




Verlauf der Ca(ClO<sub>3</sub>)<sub>2</sub>-Konzentrationen am Zweisalzpunkt Ca(ClO<sub>3</sub>)<sub>2</sub>.xH<sub>2</sub>O-NaClO<sub>3</sub>

Verlauf der NaClO<sub>3</sub>-Konzentrationen am Zweisalzpunkt Ca(ClO<sub>3</sub>)<sub>2</sub>.xH<sub>2</sub>O-NaClO<sub>3</sub>





Dichteverlauf am Zweisalzpunkt
Ca(ClO<sub>3</sub>)<sub>2</sub>.xH<sub>2</sub>O - NaClO<sub>3</sub>

Viskositätsverlauf am Zweisalzpunkt Ca(ClO<sub>3</sub>)<sub>2</sub>.xH<sub>2</sub>O - NaClO<sub>3</sub>

Bild 5.13: Ca(ClO<sub>3</sub>)<sub>2</sub>- und NaClO<sub>3</sub>-Konzentrationen sowie Dichten und Viskositäten an den Zweisalzparagenesen Ca(ClO<sub>3</sub>)<sub>2</sub>.xH<sub>2</sub>O - NaClO<sub>3</sub> des Systems Ca(ClO<sub>3</sub>)<sub>2</sub>-NaClO<sub>3</sub>-H<sub>2</sub>O bei 25°C, 50°C und 75°C

Die Bodenkörper an den Zweisalzparagenesen Ca(ClO<sub>3</sub>)<sub>2</sub>.xH<sub>2</sub>O-NaClO<sub>3</sub> des Systems Ca(ClO<sub>3</sub>)<sub>2</sub>-NaClO<sub>3</sub>-H<sub>2</sub>O bei 25°C, 50°C und 75°C sind in der Tabelle 5.11 enthalten.

Tabelle 5.11: Bodenkörper an den Zweisalzparagenesen Ca(ClO<sub>3</sub>)<sub>2</sub>.xH<sub>2</sub>O - NaClO<sub>3</sub> des Systems Ca(ClO<sub>3</sub>)<sub>2</sub>-NaClO<sub>3</sub>-H<sub>2</sub>O bei 25°C, 50°C und 75°C

Temperatur [°C]	Bodenkörper
25	Ca(ClO <sub>3</sub> ) <sub>2</sub> .2H <sub>2</sub> O + NaClO <sub>3</sub>
50	$Ca(ClO_3)_2.2H_2O + NaClO_3$
75	$Ca(ClO_3)_2 + NaClO_3$

Die gefundenen Werte zum Randsystem Ca(ClO<sub>3</sub>)<sub>2</sub>-NaClO<sub>3</sub>-H<sub>2</sub>O entsprechen den erwarteten Tendenzen: Positive Temperaturabhängigkeit der Löslichkeit von Ca(ClO<sub>3</sub>)<sub>2</sub> und negative Temperaturabhängigkeit der Löslichkeit von NaClO<sub>3</sub> am Zweisalzpunkt Ca(ClO<sub>3</sub>)<sub>2</sub>.xH<sub>2</sub>O-NaClO<sub>3</sub>, Anstieg der Dichten und Viskositäten mit der Temperatur als Folge der höheren Salzlöslichkeit. Der polytherm invariante Punkt Ca(ClO<sub>3</sub>)<sub>2</sub>.2H<sub>2</sub>O-Ca(ClO<sub>3</sub>)<sub>2</sub>-NaClO<sub>3</sub> wurde nicht bestimmt.

## 5.2.2 Das reziproke Salzpaar $CaCl_2 + 2NaClO_3 = Ca(ClO_3)_2 + 2NaCl/H_2O$

Die im Rahmen dieser Arbeit ermittelten Löslichkeitswerte, Dichten, Viskositäten und Bodenkörperparagenesen sind in den Tabellen 5.12 bis 5.14 zusammengestellt. Die Angabe der Konzentrationen erfolgt in Masse-%. Bei Werten in Klammern handelt es sich um Literaturdaten.

Tabelle 5.12: Löslichkeiten, Dichten, Viskositäten und Bodenkörperparagenesen im reziproken Salzpaar CaCl<sub>2</sub> + 2NaClO<sub>3</sub> = Ca(ClO<sub>3</sub>)<sub>2</sub> + 2NaCl/H<sub>2</sub>O bei 25 °C

Nr.	Dichte	Viskosität	NaCl	NaClO <sub>3</sub>	CaCl <sub>2</sub>	Ca(ClO <sub>3</sub> ) <sub>2</sub>	Bodenkörper
INI.	[kg/m <sup>3</sup> ]	[c.St.]	[Masse-%]	[Masse-%]	[Masse-%]	[Masse-%]	[Literatur]
1	1401	2,24	11,56	32,83			NaClO <sub>3</sub> + NaCl
			(12,04)	(33,15)			[74 -76] Interpoliert
2	1412	4,32	11,48	22,10		12,02	NaClO <sub>3</sub> + NaCl
3	1454	6,34	12,77	9,94		23,34	NaClO <sub>3</sub> + NaCl
4	1568	10,73	8,82		7,08	39,60	NaClO <sub>3</sub> + NaCl
5	1682	13,68	3,47		16,19	39,99	NaClO <sub>3</sub> + NaCl
6	1460	10,55	1,04		43,37		CaCl <sub>2</sub> .6H <sub>2</sub> O + NaCl
			(1,02)		(43,53)		[144]
7	1499	10,95	0,96		36,45	6,65	CaCl <sub>2</sub> .6H <sub>2</sub> O + NaCl
8	1516	11,28	0,85		38,05	6,89	CaCl <sub>2</sub> .6H <sub>2</sub> O + NaCl
9	1544	11,42			42,48	8,99	$CaCl_2.6H_2O + CaCl_2.4H_2O$
	(1544)				(42,60)	(8,85)	[28]
10	1545	11,87	1,29		38,27	10,66	CaCl2.6H2O + CaCl2.4H2O +
							NaCl
11	1609	12,11	1,43		36,61	15,40	CaCl <sub>2</sub> .4H <sub>2</sub> O + NaCl
12	1744	14,27			31,08	33,23	$CaCl_2.4H_2O + Ca(ClO_3)_2.2H_2O$
	(1744)				(30,65)	(33,36)	[28]
13	1748	14,00	1,14		22,11	35,52	Ca(ClO <sub>3</sub> ) <sub>2</sub> .2H <sub>2</sub> O + NaCl
14	1747	14,82	0,99		15,63	40,37	Ca(ClO <sub>3</sub> ) <sub>2</sub> .2H <sub>2</sub> O + NaClO <sub>3</sub>

# Fortsetzung Tabelle 5.12

Nr.	Dichte	Viskosität	NaCl	NaClO <sub>3</sub>	CaCl <sub>2</sub>	Ca(ClO <sub>3</sub> ) <sub>2</sub>	Bodenkörper
141.	[kg/m <sup>3</sup> ]	[c.St.]	[Masse-%]	[Masse-%]	[Masse-%]	[Masse-%]	[Literatur]
15	1752	15,00	1,50		13,95	44,89	$Ca(ClO_3)_2.2H_2O + NaClO_3$
16	1758	16,20	1,86		6,95	48,27	$Ca(ClO_3)_2.2H_2O + NaClO_3$
17	1765	17,03	1,83		4,22	50,31	$Ca(ClO_3)_2.2H_2O + NaClO_3$
18	1785	18,55		5,26		61,46	$Ca(ClO_3)_2.2H_2O + NaClO_3$
19	1749	14,97	1,29		20,86	39,09	Ca(ClO <sub>3</sub> ) <sub>2</sub> .2H <sub>2</sub> O + NaClO <sub>3</sub> + NaCl
20	1745	13,25	1,27		28,71	33,21	$\begin{array}{l} Ca(ClO_3)_2.2H_2O + CaCl_2.4H_2O \\ + NaCl \end{array}$

Tabelle 5.13: Löslichkeiten, Dichten, Viskositäten und Bodenkörperparagenesen im reziproken Salzpaar CaCl<sub>2</sub> + 2NaClO<sub>3</sub> = Ca(ClO<sub>3</sub>)<sub>2</sub> + 2NaCl/H<sub>2</sub>O bei 50°C

Nr.	Dichte	Viskosität	NaCl	NaClO <sub>3</sub>	CaCl <sub>2</sub>	Ca(ClO <sub>3</sub> ) <sub>2</sub>	Bodenkörper
Nr.	[kg/m <sup>3</sup> ]	[c.St.]	[Masse-%]	[Masse-%]	[Masse-%]	[Masse-%]	[Literatur]
1	1470	1,61	8,31	44,90			NaClO <sub>3</sub> + NaCl
			(8,36)	(44,83)			[75]
2	1666	13,31	6,41		3,47	36,76	NaClO <sub>3</sub> + NaCl
3	1708	14,23	3,98		4,90	31,59	NaClO <sub>3</sub> + NaCl
4	1518	11,58	0,92		56,78		CaCl <sub>2</sub> .2H <sub>2</sub> O + NaCl
			(0,9)		(56,3)		[148]
5	1609	12,27	0,71		44,79	9,40	CaCl <sub>2</sub> .2H <sub>2</sub> O + NaCl
6	1660	12,89	0,60		38,80	14,71	CaCl <sub>2</sub> .2H <sub>2</sub> O + NaCl
7	1709	13,54	0,73		34,4	21,98	CaCl <sub>2</sub> .2H <sub>2</sub> O + NaCl
8	1792	15,98			31,33	36,29	CaCl2.2H2O + Ca(ClO3)2.2H2O
9	1801	16,98	0,80		13,10	53,34	$Ca(ClO_3)_2.2H_2O + NaClO_3$
10	1836	17,85	1,49		7,29	57,78	$Ca(ClO_3)_2.2H_2O + NaClO_3$
11	1855	19,36		4,39		67,06	$Ca(ClO_3)_2.2H_2O + NaClO_3$
12	1801	17,14	0,88		14,74	50,87	Ca(ClO <sub>3</sub> ) <sub>2</sub> .2H <sub>2</sub> O + NaClO <sub>3</sub> + NaCl
13	1793	15,01	0,70		26,96	39,73	Ca(ClO <sub>3</sub> ) <sub>2</sub> .2H <sub>2</sub> O + CaCl <sub>2</sub> .2H <sub>2</sub> O + NaCl

Tabelle 5.14: Löslichkeiten, Dichten, Viskositäten und Bodenkörperparagenesen im reziproken Salzpaar CaCl<sub>2</sub> + 2NaClO<sub>3</sub> = Ca(ClO<sub>3</sub>)<sub>2</sub> + 2NaCl/H<sub>2</sub>O bei 75°C

Nr.	Dichte	Viskosität	NaCl	NaClO <sub>3</sub>	CaCl <sub>2</sub>	Ca(ClO <sub>3</sub> ) <sub>2</sub>	Bodenkörper
Nr.	$[Kg/m^3]$	[c.St.]	[Masse-%]	[Masse-%]	[Masse-%]	[Masse-%]	[Literatur]
1	1524	1,33	4,64	53,89			NaClO <sub>3</sub> + NaCl
			(5,23)	(57,03)			[75 - 76] Interpoliert
2	1550	5,52	6,02	26,00		19,63	NaClO <sub>3</sub> + NaCl
3	1697	13,47	7,28	0,03		43,62	NaClO <sub>3</sub> + NaCl
4	1698	14,44	6,32	0,65		43,15	NaClO <sub>3</sub> + NaCl
5	1780	18,25	2,81		7,66	58,98	NaClO <sub>3</sub> + NaCl
6	1571	14,42	0,60		59,20		CaCl <sub>2</sub> .2H <sub>2</sub> O + NaCl
			(0,8)		(58,4)		[137]
7	1694	15,74	0,13		41,20	13,99	CaCl <sub>2</sub> .2H <sub>2</sub> O + NaCl
8	1841	18,59			34,23	41,04	$CaCl_2.2H_2O + Ca(ClO_3)_2$
					(34,03)	(41,94)	[120]
9	1857	20,96	0,62		8,41	61,79	$Ca(ClO_3)_2 + NaClO_3$
10	1926	21,90		3,92		73,29	$Ca(ClO_3)_2 + NaClO_3$
11	1853	20,46	0,64		10,20	55,94	$Ca(ClO_3)_2 + NaClO_3 + NaCl$
12	1843	18,32	0,36		21,05	44,66	Ca(ClO <sub>3</sub> ) <sub>2</sub> + CaCl <sub>2</sub> .2H <sub>2</sub> O + NaCl

Die Bilder 5.14 und 5.15 enthalten eine Darstellung der Lösungsgleichgewichte im System  $CaCl_2 + 2NaClO_3 = Ca(ClO_3)_2 + 2NaCl/H_2O$  bei 25°C, 50°C und 75°C.

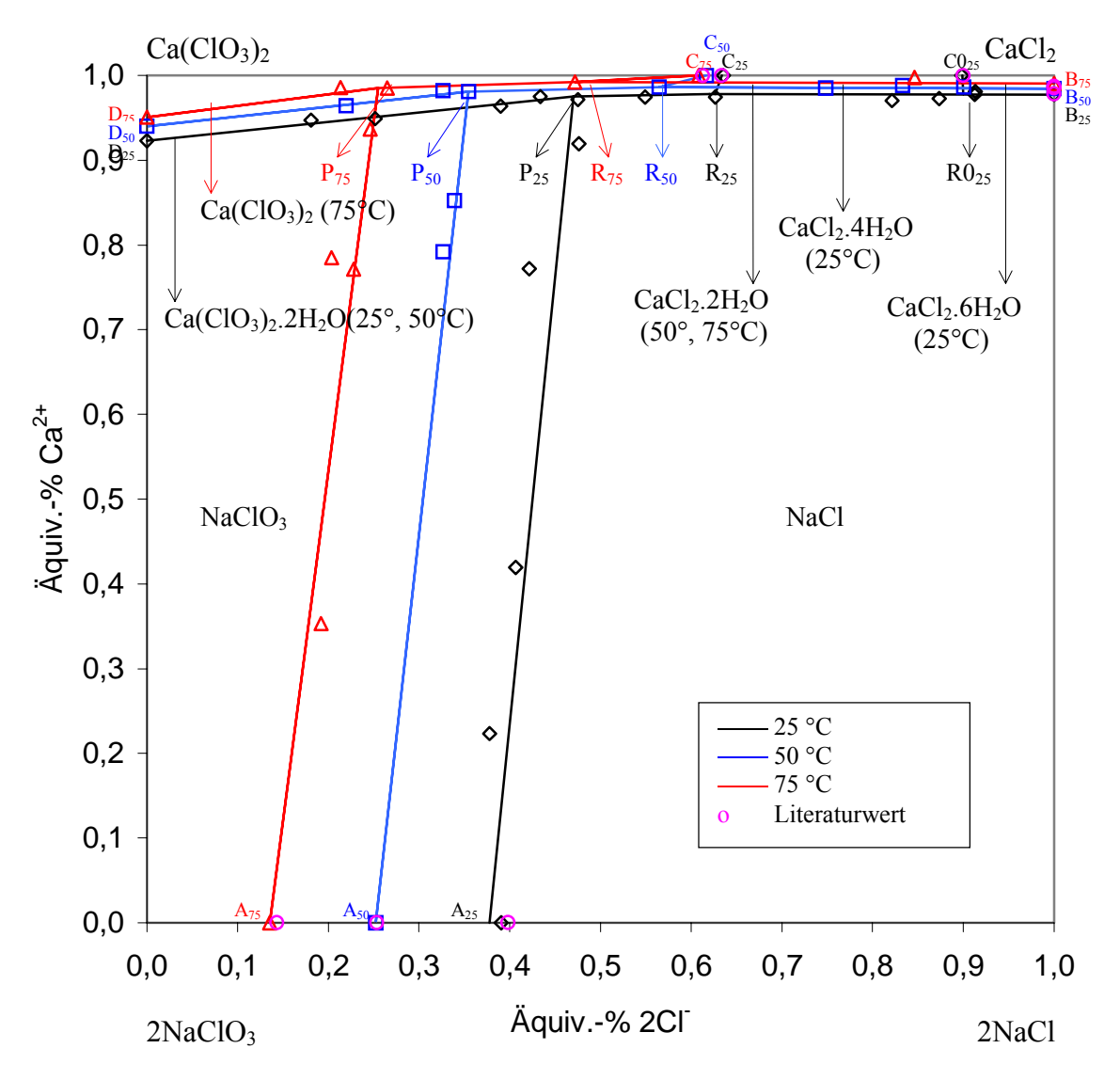


Bild 5.14: Gleichgewichte im System  $CaCl_2 + 2NaClO_3 = Ca(ClO_3)_2 + 2NaCl/H_2O$  bei 25°C, 50°C und 75 °C

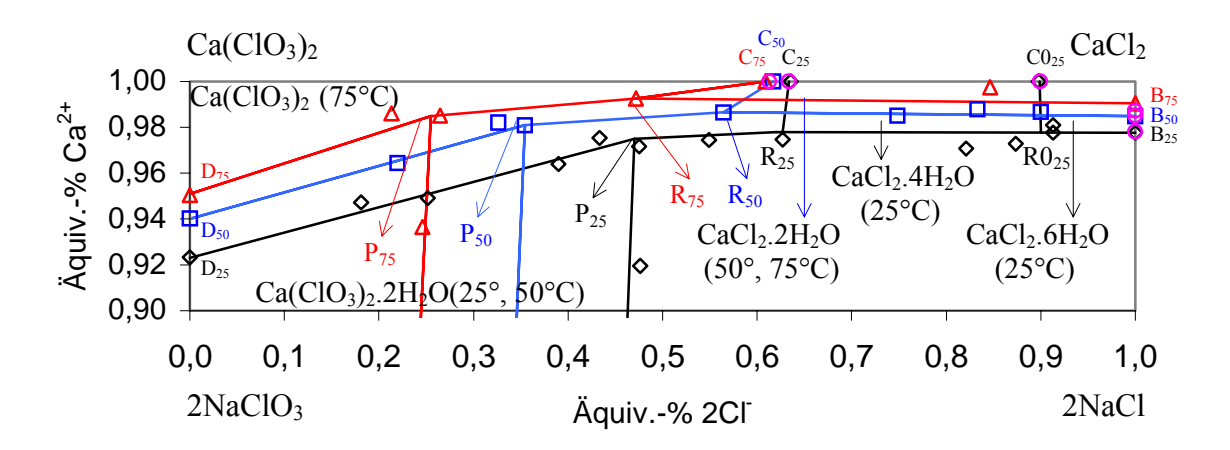


Bild 5.15: Vergrößerte Darstellung der Ca-reichen Seite des Phasendiagramms zum System  $CaCl_2 + 2NaClO_3 = Ca(ClO_3)_2 + 2NaCl/H_2O$  bei 25°C, 50°C und 75 °C

Das System CaCl<sub>2</sub> + 2NaClO<sub>3</sub> = Ca(ClO<sub>3</sub>)<sub>2</sub> + 2NaCl/H<sub>2</sub>O ähnelt sehr dem System MgCl<sub>2</sub> + 2NaClO<sub>3</sub> = Mg(ClO<sub>3</sub>)<sub>2</sub> + 2NaCl/H<sub>2</sub>O. Kleine Existenzfelder sprechen für die großen relativen Löslichkeiten der Calciumsalze gegenüber denen der Natriumsalze. Auch in diesem System existieren nur die einfachen Salze bzw. Salzhydrate. Das Salzpaar Ca(ClO<sub>3</sub>)<sub>2</sub>-NaCl ist bei allen drei Temperaturen das stabile Salzpaar, dass sich jedoch im Übergangsintervall befindet. Die Dreisalzpunkte NaCl-NaClO<sub>3</sub>-Ca(ClO<sub>3</sub>)<sub>2</sub>.xH<sub>2</sub>O sind inkongruent gesättigt.

Die Tabelle 5.15 enthält eine Aufstellung der Bodenkörper an den isotherm invarianten Dreisalzpunkten des Systems  $CaCl_2 + 2NaClO_3 = Ca(ClO_3)_2 + 2NaCl/H_2O$  bei 25°C, 50°C und 75°C.

Tabelle 5.15: Aufstellung der Bodenkörper an den Dreisalzpunkten des Systems  $CaCl_2 + 2NaClO_3 = Ca(ClO_3)_2 + 2NaCl/H_2O$  bei 25°C, 50°C und 75°C

Invariante Punkte	Temperatur [°C]	Bodenkörper
	25	$NaCl + NaClO_3 + Ca(ClO_3)_2.2H_2O$
P	50	$NaCl + NaClO_3 + Ca(ClO_3)_2.2H_2O$
	75	$NaCl + NaClO_3 + Ca(ClO_3)_2$
	25	NaCl + CaCl2.4H2O + Ca(ClO3)2.2H2O
R	50	NaCl + CaCl2.2H2O + Ca(ClO3)2.2H2O
	75	$NaCl + CaCl_2.2H_2O + Ca(ClO_3)_2$
RO	25	NaCl + CaCl2.4H2O + CaCl2.6H2O

Die Tabelle 5.16 enthält weiterhin eine Aufstellung der Bodenkörper an den isothermen Zweisalzlinien des Systems  $CaCl_2 + 2NaClO_3 = Ca(ClO_3)_2 + 2NaCl/H_2O$  bei 25°C, 50°C und 75 °C.

Tabelle 5.16: Aufstellung der Bodenkörper an den Zweisalzlinien des Systems  $CaCl_2 + 2NaClO_3 = Ca(ClO_3)_2 + 2NaCl/H_2O \text{ bei } 25^{\circ}\text{C}, 50^{\circ}\text{C und } 75^{\circ}\text{C}.$ 

Linien	Temperatur [°C]	Bodenkörper			
A <sub>25</sub> - P <sub>25</sub>	25	NaCl + NaClO <sub>3</sub>			
A <sub>50</sub> - P <sub>50</sub>	50	NaCl + NaClO <sub>3</sub>			
A <sub>75</sub> - P <sub>75</sub>	75	NaCl + NaClO <sub>3</sub>			
$B_{25} - R0_{25}$	25	NaCl + CaCl <sub>2</sub> .6H <sub>2</sub> O			
R0 <sub>25</sub> - R <sub>25</sub>	25	NaCl + CaCl <sub>2</sub> .4H <sub>2</sub> O			
B <sub>50</sub> - R <sub>50</sub>	50	NaCl + CaCl <sub>2</sub> .2H <sub>2</sub> O			
B <sub>75</sub> - R <sub>75</sub>	75	NaCl + CaCl <sub>2</sub> .2H <sub>2</sub> O			
C0 <sub>25</sub> - R0 <sub>25</sub>	25	$CaCl_2.6H_2O + CaCl_2.4H_2O$			
C <sub>25</sub> - R <sub>25</sub>	25	CaCl2.4H2O + Ca(ClO3)2.2H2O			
C <sub>50</sub> - R <sub>50</sub>	50	CaCl2.2H2O + Ca(ClO3)2.2H2O			
C <sub>75</sub> - R <sub>75</sub>	75	$CaCl_2.2H_2O + Ca(ClO_3)_2$			
D <sub>25</sub> - P <sub>25</sub>	25	$NaClO_3 + Ca(ClO_3)_2.2H_2O$			
D <sub>50</sub> - P <sub>50</sub>	50	$NaClO_3 + Ca(ClO_3)_2.2H_2O$			
D <sub>75</sub> - P <sub>75</sub>	75	$NaClO_3 + Ca(ClO_3)_2$			
P <sub>25</sub> - R <sub>25</sub>	25	$NaCl + Ca(ClO_3)_2.2H_2O$			
P <sub>50</sub> - R <sub>50</sub>	50	$NaCl + Ca(ClO_3)_2.2H_2O$			
P <sub>75</sub> - R <sub>75</sub>	75	$NaCl + Ca(ClO_3)_2$			

Nachfolgend sollen die Verhältnisse an den isotherm invarianten Dreisalzpunkten P und R näher diskutiert werden.

Das Bild 5.16 enthält zunächst eine Darstellung der Konzentrationsverläufe an den Dreisalzpunkten NaCl-NaClO<sub>3</sub>-Ca(ClO<sub>3</sub>)<sub>2</sub>.xH<sub>2</sub>O in Abhängigkeit von der Temperatur

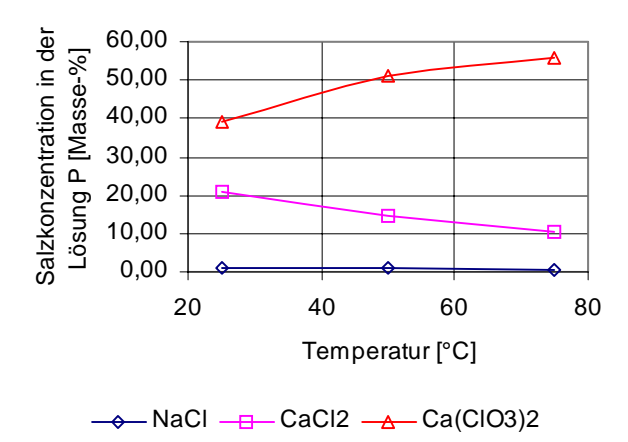


Bild5.16: Löslichkeiten an den Dreisalzparagenesen NaCl-NaClO<sub>3</sub>-Ca(ClO<sub>3</sub>)<sub>2</sub>.xH<sub>2</sub>O des Systems  $CaCl_2 + 2NaClO_3 = Ca(ClO_3)_2 + 2NaCl/H_2O$  bei 25°C, 50°C und 75 °C

An den Dreisalzparagenesen ist eine doch deutliche Zunahme der Ca(ClO<sub>3</sub>)<sub>2</sub>-Konzentrationen bei einer äquivalenten Abnahme der CaCl<sub>2</sub>-Konzentrationen zu beobachten. Bei den hohen CaCl<sub>2</sub>- und Ca(ClO<sub>3</sub>)<sub>2</sub>-Konzentrationen sind die NaCl-Gehalte natürlich unbedeutend. Grundsätzlich sind die Verhältnisse an den Dreisalzparagenesen NaCl-CaCl<sub>2</sub>.xH<sub>2</sub>O-Ca(ClO<sub>3</sub>)<sub>2</sub>.xH<sub>2</sub>O ähnlich (Bild 5.17).

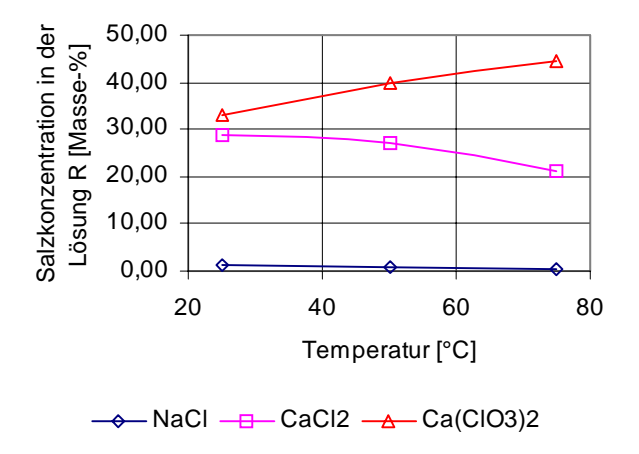


Bild 5.17: Löslichkeiten an den Dreisalzparagenesen NaCl-CaCl<sub>2</sub>.xH<sub>2</sub>O-Ca(ClO<sub>3</sub>)<sub>2</sub>.xH<sub>2</sub>O des Systems CaCl<sub>2</sub> + 2NaClO<sub>3</sub> = Ca(ClO<sub>3</sub>)<sub>2</sub> + 2NaCl/H<sub>2</sub>O bei 25°C, 50°C und 75 °C

Die Dichte- und Viskositätsverläufe an den Dreisalzparagenesen P und R in Abhängigkeit von der Temperatur sind in den Bildern 5.18 und 5.19 dargestellt.

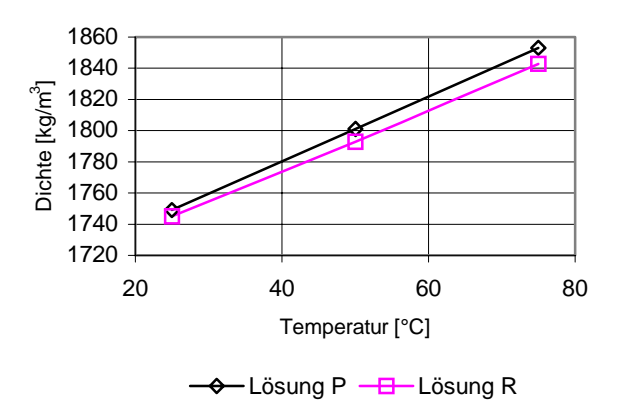


Bild 5.18: Verlauf der Dichtewerte an den Dreisalzpunkten P und R des Systems  $CaCl_2 + 2NaClO_3 = Ca(ClO_3)_2 + 2NaCl/H_2O \text{ in Abhängigkeit von der Temperatur}$ 

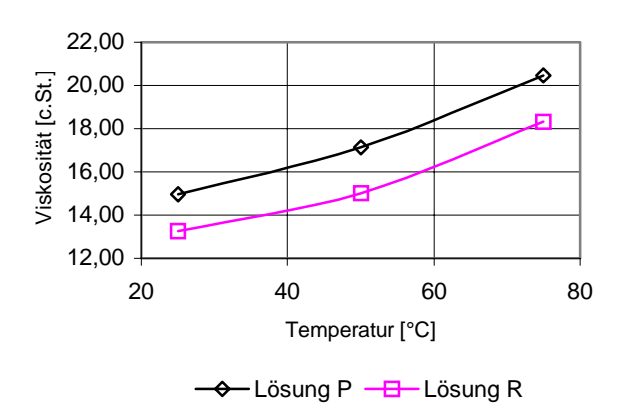


Bild 5.19: Verlauf der Viskositätswerte an den Dreisalzpunkten P und R des Systems  $CaCl_2 + 2NaClO_3 = Ca(ClO_3)_2 + 2NaCl/H_2O \text{ in Abhängigkeit von der Temperatur}$ 

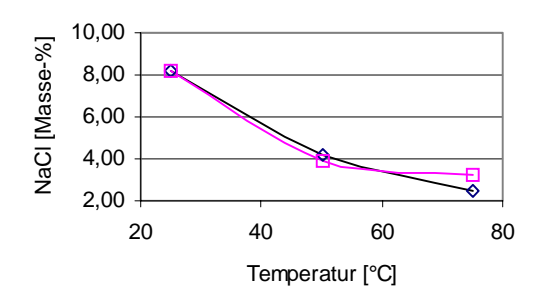
Sowohl die Dichten als auch die Viskositäten steigen an den Dreisalzparagenesen P und R mit der Temperatur. Bei der schwachen Zunahme der Gesamtsalzgehalte war dies zumindest bei der Viskosität nicht unbedingt zu erwarten.

# 5.3 Zusammenstellung und Diskussion der experimentellen Ergebnisse zum System $SrCl_2 + 2NaClO_3 = Sr(ClO_3)_2 + 2NaCl/H_2O$ bei 25°C, 50°C und 75 °C

### 5.3.1 Randsysteme

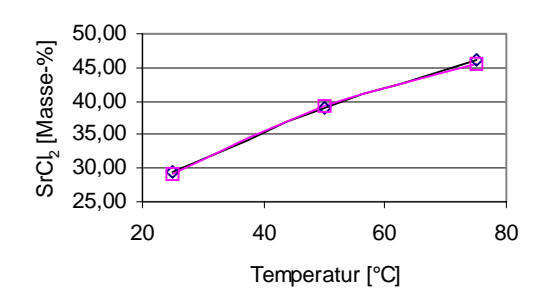
Die Gleichgewichtskonzentrationen sowie die Dichten und die Viskositäten an den invarianten Zweisalzparagenesen der ternären Systeme NaCl-SrCl<sub>2</sub>-H<sub>2</sub>O, SrCl<sub>2</sub>-Sr(ClO<sub>3</sub>)<sub>2</sub>-H<sub>2</sub>O und NaClO<sub>3</sub>-Sr(ClO<sub>3</sub>)<sub>2</sub>-H<sub>2</sub>O sind in den Bildern 5.20 bis 5.22 dargestellt. Die Bilder enthalten neben den eigenen Werten gegenfalls auch die Literaturwerte.

## Das ternäre System NaCl-SrCl<sub>2</sub>-H<sub>2</sub>O



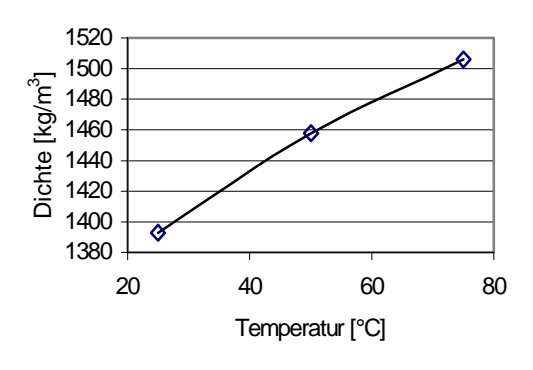
— Eigener Wert — Literatur [157, 158]

Verlauf der NaCl-Konzentrationen am Zweisalzpunkt NaCl - SrCl<sub>2</sub>.xH<sub>2</sub>O

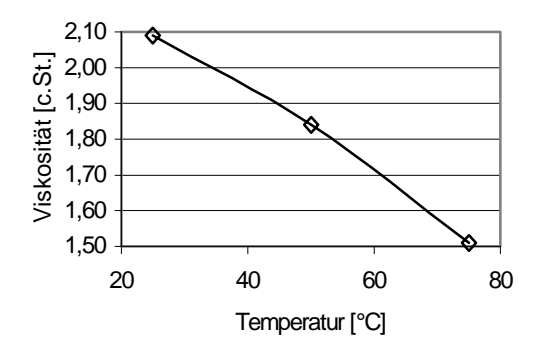


— Eigener Wert — Literatur [157, 158]

Verlauf der SrCl<sub>2</sub>-Konzentrationen am Zweisalzpunkt NaCl - SrCl<sub>2</sub>.xH<sub>2</sub>O



 $\label{eq:Dichteverlauf} Dichteverlauf$  am Zweisalzpunkt NaCl - SrCl2.xH2O



 $\label{eq:Viskositätsverlauf} Viskositätsverlauf$  am Zweisalzpunkt NaCl - SrCl2.xH2O

Bild 5.20: NaCl- und SrCl<sub>2</sub>-Konzentrationen sowie Dichten und Viskositäten an den Zweisalzparagenesen NaCl - SrCl<sub>2</sub>.xH<sub>2</sub>O des Systems NaCl-SrCl<sub>2</sub>-H<sub>2</sub>O bei 25°C, 50°C und 75°C

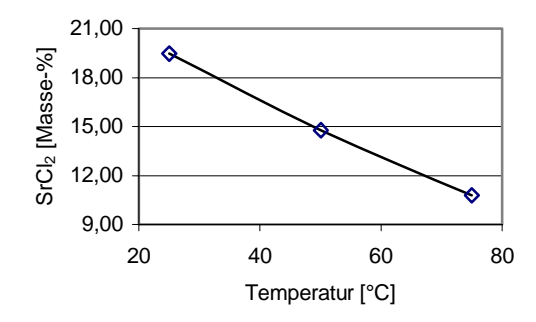
Die Literaturdaten und die eigenen Daten stimmen sowohl bei den Löslichkeiten als auch bei den gefundenen Bodenkörpern gut überein. Die Tabelle 5.17 enthält eine Aufstellung der Bodenkörper an den Zweisalzparagenesen NaCl-SrCl<sub>2</sub>.xH<sub>2</sub>O des Systems NaCl-SrCl<sub>2</sub>-H<sub>2</sub>O bei 25°C, 50°C und 75°C.

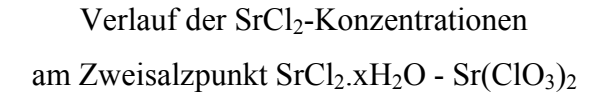
Tabelle 5.17: Aufstellung der Bodenkörper an den Zweisalzparagenesen NaCl - SrCl<sub>2</sub>.xH<sub>2</sub>O des Systems NaCl-SrCl<sub>2</sub>-H<sub>2</sub>O bei 25°C, 50°C und 75°C

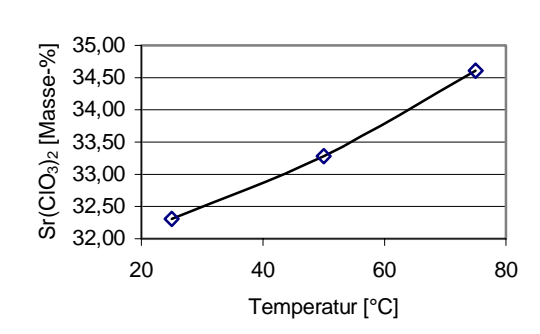
Temperatur [°C]	Bodenkörper
25	NaCl + SrCl <sub>2</sub> .6H <sub>2</sub> O
50	NaCl + SrCl <sub>2</sub> .6H <sub>2</sub> O
75	NaCl + SrCl <sub>2</sub> .2H <sub>2</sub> O

Im Temperaturbereich zwischen 50°C und 75°C muss es noch eine Dreisalzparagenese NaCl-SrCl<sub>2</sub>.6H<sub>2</sub>O-SrCl<sub>2</sub>.2H<sub>2</sub>O geben. Auf die Bestimmung dieses Punktes wurde allerdings verzichtet. Die Dichten steigen an den Zweisalzpunkten wegen der Erhöhung der Gesamtsalzgehalte mit der Temperatur. Bei den Viskositäten überwiegt der Temperatureinfluss – die Viskositäten fallen mit steigender Temperatur.

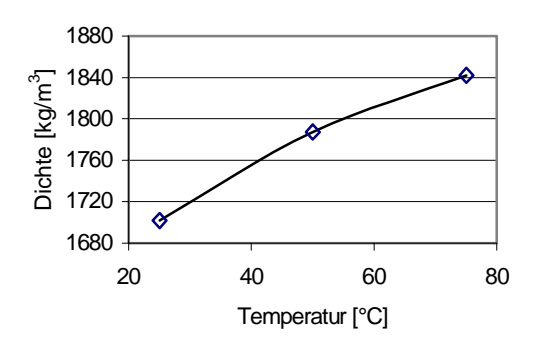
### Das ternäre System SrCl<sub>2</sub>-Sr(ClO<sub>3</sub>)<sub>2</sub>-H<sub>2</sub>O



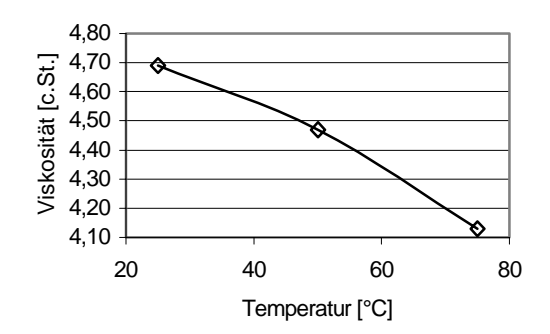




Verlauf der Sr(ClO<sub>3</sub>)<sub>2</sub>-Konzentrationen am Zweisalzpunkt SrCl<sub>2</sub>.xH<sub>2</sub>O - Sr(ClO<sub>3</sub>)<sub>2</sub>



Dichteverlauf am Zweisalzpunkt SrCl<sub>2</sub>.xH<sub>2</sub>O - Sr(ClO<sub>3</sub>)<sub>2</sub>



Viskositätsverlauf am Zweisalzpunkt SrCl<sub>2</sub>.xH<sub>2</sub>O - Sr(ClO<sub>3</sub>)<sub>2</sub>

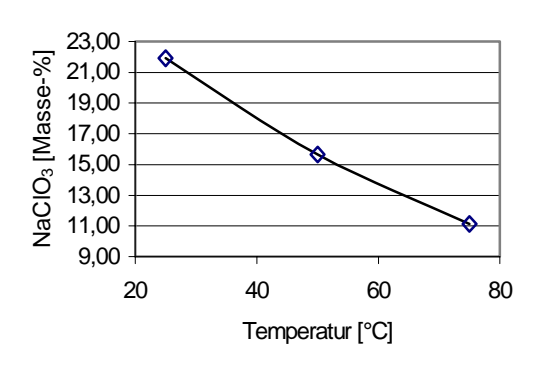
Bild 5.21: SrCl<sub>2</sub>- und Sr(ClO<sub>3</sub>)<sub>2</sub>-Konzentrationen sowie Dichten und Viskositäten an den Zweisalzparagenesen SrCl<sub>2</sub>.xH<sub>2</sub>O-Sr(ClO<sub>3</sub>)<sub>2</sub> des Systems SrCl<sub>2</sub>-Sr(ClO<sub>3</sub>)<sub>2</sub>-H<sub>2</sub>O bei 25°C, 50°C und 75°C.

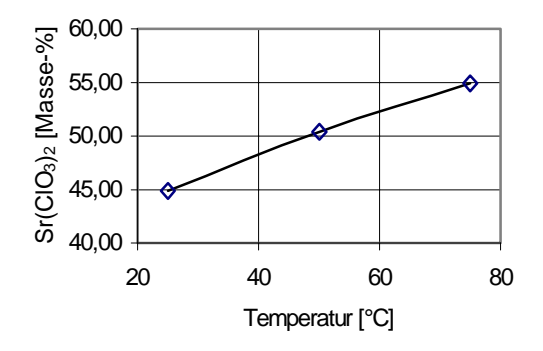
Die Verhältnisse an den Zweisalzparagenesen SrCl<sub>2</sub>.xH<sub>2</sub>O-Sr(ClO<sub>3</sub>)<sub>2</sub> des Systems SrCl<sub>2</sub>-Sr(ClO<sub>3</sub>)<sub>2</sub>-H<sub>2</sub>O entsprechen den erwarteten Tendenzen: Negative Temperaturab-hängigkeit der Löslichkeit des Stontiumchlorids und positive Temperaturabhängigkeit der Löslichkeit des Strontiumchlorates. Auch die gefundenen Bodenkörper, entsprechend Tabelle 5.18, passen gut im Vergleich mit den Literaturwerten und den Untersuchungen zu den anderen Randsystemen. Der offenbar existierende Dreisalzpunkt SrCl<sub>2</sub>.6H<sub>2</sub>O-SrCl<sub>2</sub>.2H<sub>2</sub>O-Sr(ClO<sub>3</sub>)<sub>2</sub> wurde nicht bestimmt. Wie schon bei dem Randsystem NaCl-SrCl<sub>2</sub>-H<sub>2</sub>O steigen die Dichtenwerte und fallen die Viskositätswerte mit steigender Temperatur.

Tabelle 5.18: Bodenkörper an den Zweisalzparagenesen SrCl<sub>2</sub>.xH<sub>2</sub>O-Sr(ClO<sub>3</sub>)<sub>2</sub> des Systems SrCl<sub>2</sub>-Sr(ClO<sub>3</sub>)<sub>2</sub>-H<sub>2</sub>O bei 25°C, 50°C und 75°C

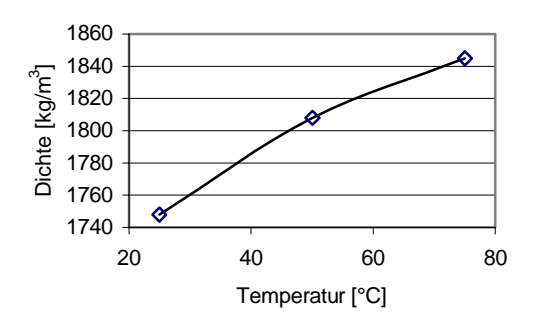
Temperatur [°C]	Bodenkörper
25	$SrCl_2.6H_2O + Sr(ClO_3)_2$
50	$SrCl_2.6H_2O + Sr(ClO_3)_2$
75	$SrCl_2.2H_2O + Sr(ClO_3)_2$

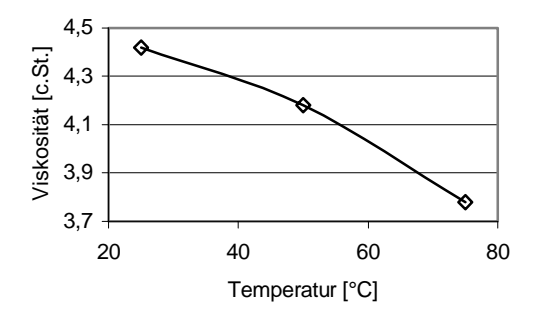
# Das ternäre System NaClO<sub>3</sub>-Sr(ClO<sub>3</sub>)<sub>2</sub>-H<sub>2</sub>O





Verlauf der NaClO<sub>3</sub>-Konzentrationen am Zweisalzpunkt NaClO<sub>3</sub> - Sr(ClO<sub>3</sub>)<sub>2</sub> Verlauf der Sr(ClO<sub>3</sub>)<sub>2</sub>-Konzentrationen am Zweisalzpunkt NaClO<sub>3</sub> - Sr(ClO<sub>3</sub>)<sub>2</sub>





Dichteverlauf am Zweisalzpunkt NaClO<sub>3</sub> - Sr(ClO<sub>3</sub>)<sub>2</sub>  $Viskosit \"{a}ts verlauf$  am Zweisalzpunkt NaClO $_3$  - Sr(ClO $_3$ ) $_2$ 

Bild 5.22: NaClO<sub>3</sub>- und Sr(ClO<sub>3</sub>)<sub>2</sub>-Konzentrationen sowie Dichten und Viskositäten an den Zweisalzparagenesen NaClO<sub>3</sub>-Sr(ClO<sub>3</sub>)<sub>2</sub> des Systems NaClO<sub>3</sub>-Sr(ClO<sub>3</sub>)<sub>2</sub>-H<sub>2</sub>O bei 25°C, 50°C und 75°C.

Im System NaClO<sub>3</sub>-Sr(ClO<sub>3</sub>)<sub>2</sub>-H<sub>2</sub>O treten bei 25°C, 50°C und 75°C nur die zwei einfachen Salze als Bodenkörper auf. Die Temperaturabhängigkeit bei den Löslichkeiten, Dichten und Viskositäten entsprechen den Erwartungen.

# 5.3.2 Das reziproke Salzpaar $SrCl_2 + 2NaClO_3 = Sr(ClO_3)_2 + 2NaCl/H_2O$

Die im Rahmen dieser Arbeit ermittelten Löslichkeiten, Dichten, Viskositäten und Bodenkörperparagenesen sind in den Tabellen 5.19 bis 5.21 zusammengestellt. Die Angabe der Konzentrationen erfolgt in Masse-%. Bei Werten in Klammern handelt es sich um Literaturwerte.

Tabelle 5.19: Löslichkeiten, Dichten, Viskositäten und Bodenkörperparagenesen im reziproken Salzpaar SrCl<sub>2</sub> + 2NaClO<sub>3</sub> = Sr(ClO<sub>3</sub>)<sub>2</sub> + 2NaCl/H<sub>2</sub>O bei 25°C

	Dichte	Viskosität	NaCl	NaClO <sub>3</sub>	SrCl <sub>2</sub>	Sr(ClO <sub>3</sub> ) <sub>2</sub>	Bodenkörper
Nr.	[kg/m³]	[c.St.]	[Masse-%]	[Masse-%]	[Masse-%]	[Masse-%]	[Literatur]
1	1401	2,24	11,56	32,83			NaClO <sub>3</sub> + NaCl
			(12,04)	(33,15)			[74 - 76] Interpoliert
2	1435	2,37	11,11	23,85		10,02	NaClO <sub>3</sub> + NaCl
3	1566	3,79	11,19	10,05		24,05	NaClO <sub>3</sub> + NaCl
4	1711	5,85	10,25	1,06		34,81	NaClO <sub>3</sub> + NaCl
5	1712	5,91	10,24	0,50		36,28	NaClO <sub>3</sub> + NaCl
6	1724	5,98	10,17	0,12		37,50	NaClO <sub>3</sub> + NaCl
7	1393	2,09	8,14		29,13		SrCl <sub>2</sub> .6H <sub>2</sub> O + NaCl
			(8,18)		(29,03)		[158]
8	1403	2,12	8,66		28,11	2,77	$SrCl_2.6H_2O + NaCl$
9	1415	2,30	8,78		27,39	5,49	SrCl <sub>2</sub> .6H <sub>2</sub> O + NaCl
10	1422	2,54	8,35		25,51	8,62	SrCl <sub>2</sub> .6H <sub>2</sub> O + NaCl
11	1475	2,84	7,15		19,35	17,26	SrCl <sub>2</sub> .6H <sub>2</sub> O + NaCl
12	1541	3,12	6,89		15,63	21,13	SrCl <sub>2</sub> .6H <sub>2</sub> O + NaCl
13	1569	3,42	7,16		13,09	26,00	SrCl <sub>2</sub> .6H <sub>2</sub> O + NaCl
14	1748	4,42		21,91		44,84	Sr(ClO <sub>3</sub> ) <sub>2</sub> + NaClO <sub>3</sub>
15	1742	5,81	7,70		0,25	35,21	Sr(ClO <sub>3</sub> ) <sub>2</sub> + NaClO <sub>3</sub>
16	1702	4,70			19,46	32,31	$Sr(ClO_3)_2 + SrCl_2.6H_2O$
17	1701	5,87	7,07		5,17	29,10	Sr(ClO <sub>3</sub> ) <sub>2</sub> + NaCl
18	1740	6,25	7,44		1,48	31,68	Sr(ClO <sub>3</sub> ) <sub>2</sub> + NaClO <sub>3</sub> + NaCl
19	1609	4,42	6,44		13,34	25,69	Sr(ClO <sub>3</sub> ) <sub>2</sub> + SrCl <sub>2</sub> .6H <sub>2</sub> O + NaCl

Tabelle 5.20: Löslichkeiten, Dichten, Viskositäten und Bodenkörperparagenesen im reziproken Salzpaar  $SrCl_2 + 2NaClO_3 = Sr(ClO_3)_2 + 2NaCl/H_2O$  bei 50°C

	Dichte	Viskosität	NaCl	NaClO <sub>3</sub>	SrCl <sub>2</sub>	Sr(ClO <sub>3</sub> ) <sub>2</sub>	Bodenkörper
Nr.	[kg/m <sup>3</sup> ]	[c.St.]	[Masse-%]	[Masse-%]	[Masse-%]	[Masse-%]	[Literatur]
1	1470	1,61	8,31	44,90			NaClO <sub>3</sub> + NaCl
			(8,36)	(44,83)			[75]
2	1597	2,12	8,14	19,05		24,39	NaClO <sub>3</sub> + NaCl
3	1693	3,60	7,85	11,71		36,83	NaClO <sub>3</sub> + NaCl
4	1707	3,65	7,78	11,19		36,42	NaClO <sub>3</sub> + NaCl
5	1736	4,57	7,58	4,50		44,20	NaClO <sub>3</sub> + NaCl
6	1752	4,76	7,46	4,37		46,08	NaClO <sub>3</sub> + NaCl
7	1755	5,31	7,46	4,14		45,95	NaClO <sub>3</sub> + NaCl
8	1759	5,30	7,43	3,65		46,60	NaClO <sub>3</sub> + NaCl
9	1782	5,54	7,37	2,72		46,85	NaClO <sub>3</sub> + NaCl
10	1492	1,84	4,07 (3,9)		39,03 (39,3)		SrCl <sub>2</sub> .6H <sub>2</sub> O + NaCl [157]
11	1510	2,46	3,37		29,30	8,43	SrCl <sub>2</sub> .6H <sub>2</sub> O + NaCl
12	1538	2,53	3,57		27,95	9,75	SrCl <sub>2</sub> .6H <sub>2</sub> O + NaCl
13	1570	2,69	3,76		24,99	14,18	SrCl <sub>2</sub> .6H <sub>2</sub> O + NaCl
14	1643	3,42	2,83		15,63	26,96	SrCl <sub>2</sub> .6H <sub>2</sub> O + NaCl
15	1656	3,55	2,65		13,59	30,58	SrCl <sub>2</sub> .6H <sub>2</sub> O + NaCl
16	1670	3,58	2,55		13,43	30,56	SrCl <sub>2</sub> .6H <sub>2</sub> O + NaCl
17	1679	3,58	3,20		12,33	32,17	SrCl <sub>2</sub> .6H <sub>2</sub> O + NaCl
18	1679	3,63	2,99		12,51	32,22	SrCl <sub>2</sub> .6H <sub>2</sub> O + NaCl
19	1807	4,18		15,66		50,41	Sr(ClO <sub>3</sub> ) <sub>2</sub> + NaClO <sub>3</sub>
20	1787	4,47			14,75	33,28	$Sr(ClO_3)_2 + SrCl_2.6H_2O$
21	1805	5,66	7,09		0,19	49,45	$Sr(ClO_3)_2 + NaClO_3 + NaCl$
22	1687	4,15	2,94		12,45	33,57	Sr(ClO <sub>3</sub> ) <sub>2</sub> +SrCl <sub>2</sub> .6H <sub>2</sub> O+NaCl

Tabelle 5.21: Löslichkeiten, Dichten, Viskositäten und Bodenkörperparagenesen im reziproken Salzpaar  $SrCl_2 + 2NaClO_3 = Sr(ClO_3)_2 + 2NaCl/H_2O$  bei 75°C

	Dichte	Viskosität	NaCl	NaClO <sub>3</sub>	SrCl <sub>2</sub>	Sr(ClO <sub>3</sub> ) <sub>2</sub>	Bodenkörper
Nr.	[kg/m <sup>3</sup> ]	[c.St.]	[Masse-%]	[Masse-%]	[Masse-%]	[Masse-%]	[Literatur]
1	1524	1,33	4,64	56,89			NaClO <sub>3</sub> + NaCl
			(5,23)	(57,03)			[74 – 76] Interpoliert
2	1720	3,04	5,95	21,39		36,56	NaClO <sub>3</sub> + NaCl
3	1741	3,44	5,88	16,57		41,45	NaClO <sub>3</sub> + NaCl
4	1753	3,49	5,83	13,37		44,64	NaClO <sub>3</sub> + NaCl
5	1786	3,51	5,71	10,35		47,04	NaClO <sub>3</sub> + NaCl
6	1506	1,51	2,45		46,16		SrCl <sub>2</sub> .2H <sub>2</sub> O + NaCl
			(3,15)		(45,40)		[157] Interpoliert
7	1705	3,41	1,53		15,59	31,02	SrCl <sub>2</sub> .2H <sub>2</sub> O + NaCl
8	1710	3,50	1,84		15,39	32,73	SrCl <sub>2</sub> .2H <sub>2</sub> O + NaCl
9	1718	3,52	1,42		16,06	31,99	SrCl <sub>2</sub> .2H <sub>2</sub> O + NaCl
10	1845	3,78		11,11		54,90	$Sr(ClO_3)_2 + NaClO_3$
11	1842	4,13			10,76	34,61	$Sr(ClO_3)_2 + SrCl_2.2H_2O$
12	1807	4,93	3,71		3,88	48,39	Sr(ClO <sub>3</sub> ) <sub>2</sub> + NaCl
13	1843	5,42	5,26		0,17	55,92	$Sr(ClO_3)_2 + NaClO_3 + NaCl$
14	1755	3,97	1,18		10,55	38,02	Sr(ClO <sub>3</sub> ) <sub>2</sub> +SrCl <sub>2</sub> .2H <sub>2</sub> O+NaCl

Im Bild 5.23 sind die Daten aus den Tabellen 5.19 bis 5.21 graphisch dargestellt.

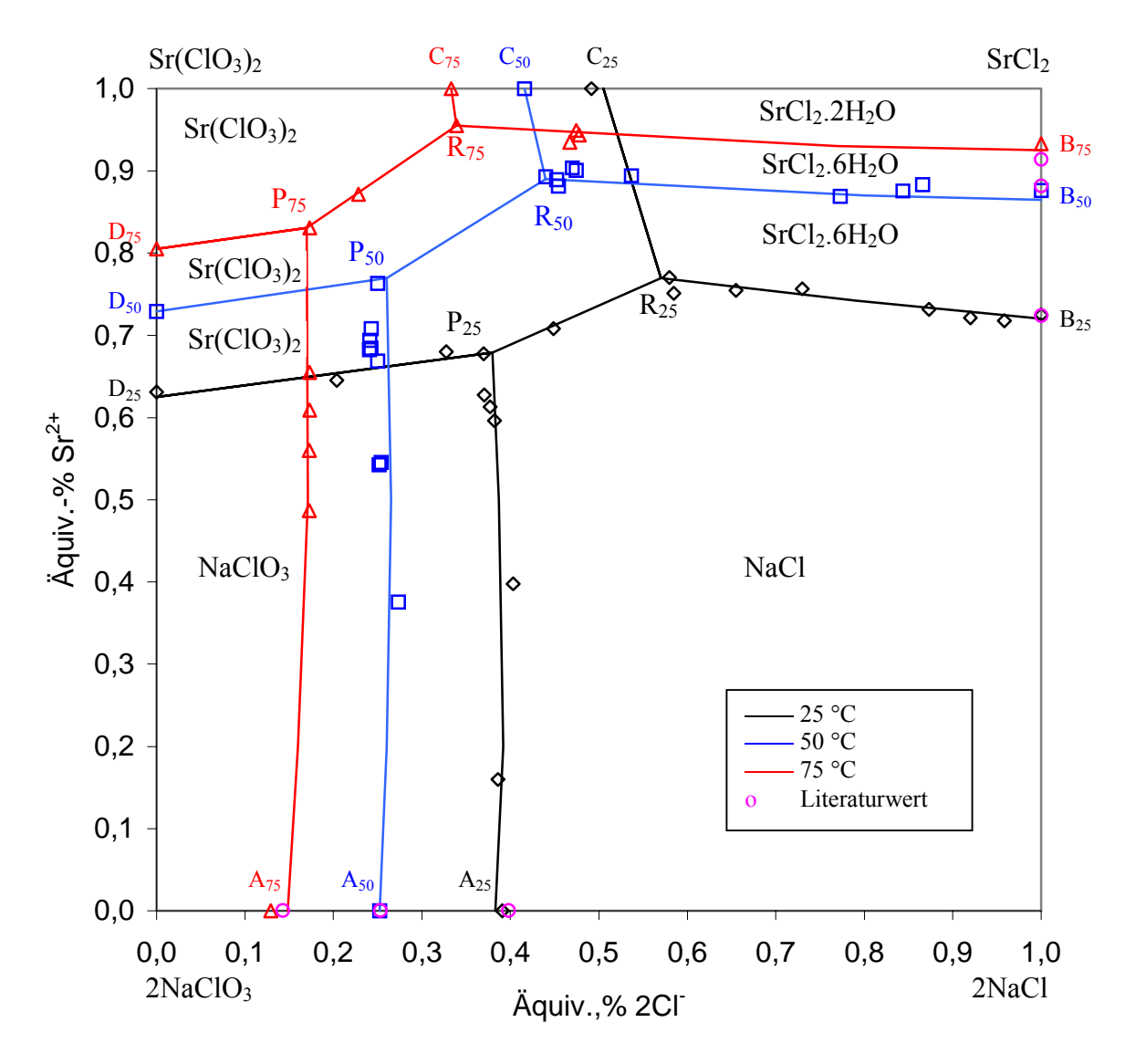


Bild 5.23: Gleichgewichte im System  $SrCl_2 + 2NaClO_3 = Sr(ClO_3)_2 + 2NaCl/H_2O$  bei 25°C, 50°C und 75 °C

Aus der Sicht der Bodenkörper unterscheiden sich die drei Isothermen des Systems SrCl<sub>2</sub> + 2NaClO<sub>3</sub> = Sr(ClO<sub>3</sub>)<sub>2</sub> + 2NaCl/H<sub>2</sub>O bei 25°C, 50°C und 75°C nur bei den Strontiumchloridhydraten: Bei 25°C und 50°C ist SrCl<sub>2</sub>.6H<sub>2</sub>O stabiler Bodenkörper, bei 75°C das SrCl<sub>2</sub>.2H<sub>2</sub>O. Das Salzpaar Sr(ClO<sub>3</sub>)<sub>2</sub>-NaCl ist bei allen drei Temperaturen das stabile Salzpaar. Bei 25°C und 50°C befindet es sich noch deutlich im Übergangsintervall. Erst bei 75°C schneidet die Diagonale NaCl-Ecke - Sr(ClO<sub>3</sub>)<sub>2</sub>-Ecke den Dreisalzpunkt Sr(ClO<sub>3</sub>)<sub>2</sub>-NaClO<sub>3</sub>-NaCl.

Die Tabelle 5.22 enthält eine Aufstellung der Bodenkörper an den Zweisalzlinien des Systems  $SrCl_2 + 2NaClO_3 = Sr(ClO_3)_2 + 2NaCl/H_2O$ 

Tabelle 5.22: Aufstellung der Bodenkörper an den Zweisalzlinien des Systems  $SrCl_2 + 2NaClO_3 = Sr(ClO_3)_2 + 2NaCl/H_2O$  bei 25°C, 50°C und 75°C

Zweisalzlinien	Temperatur [°C]	Bodenkörper
A <sub>25</sub> - P <sub>25</sub>	25	NaCl + NaClO <sub>3</sub>
A <sub>50</sub> - P <sub>50</sub>	50	NaCl + NaClO <sub>3</sub>
A <sub>75</sub> - P <sub>75</sub>	75	NaCl + NaClO <sub>3</sub>
B <sub>25</sub> - R <sub>25</sub>	25	NaCl + SrCl <sub>2</sub> .6H <sub>2</sub> O
B <sub>50</sub> - R <sub>50</sub>	50	NaCl + SrCl <sub>2</sub> .6H <sub>2</sub> O
B <sub>75</sub> - R <sub>75</sub>	75	NaCl + SrCl <sub>2</sub> .2H <sub>2</sub> O
C <sub>25</sub> - R <sub>25</sub>	25	$SrCl_2.6H_2O + Sr(ClO_3)_2$
C <sub>50</sub> - R <sub>50</sub>	50	$SrCl_2.6H_2O + Sr(ClO_3)_2$
C <sub>75</sub> - R <sub>75</sub>	75	$SrCl_2.2H_2O + Sr(ClO_3)_2$
D <sub>25</sub> - P <sub>25</sub>	25	$NaClO_3 + Sr(ClO_3)_2$
D <sub>50</sub> - P <sub>50</sub>	50	$NaClO_3 + Sr(ClO_3)_2$
D <sub>75</sub> - P <sub>75</sub>	75	$NaClO_3 + Sr(ClO_3)_2$
P <sub>25</sub> - R <sub>25</sub>	25	$NaCl + Sr(ClO_3)_2$
P <sub>50</sub> - R <sub>50</sub>	50	$NaCl + Sr(ClO_3)_2$
P <sub>75</sub> - R <sub>75</sub>	75	$NaCl + Sr(ClO_3)_2$

Auf eine Tabelle mit den Bodenkörperparagenesen an den isotherm invarianten Dreisalzpunkten wird in diesem Fall verzichtet, da sie leicht aus dem Bild 5.23 zu entnehmen sind. Die Konzentrationsverläufe an den Dreisalzparagenesen P und R sind in den Bildern 5.24 und 5.25 dargestellt.

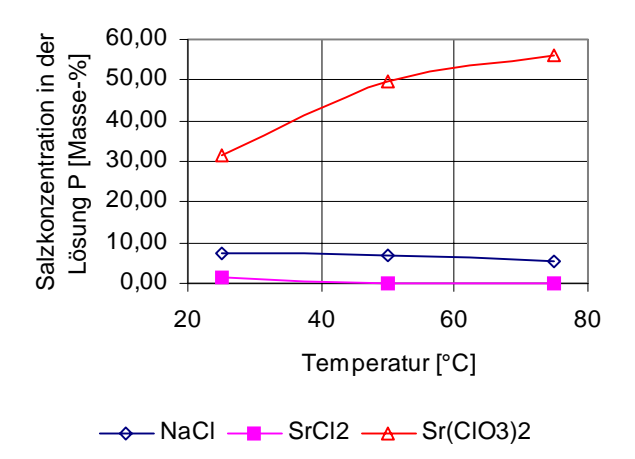


Bild 5.24: Löslichkeiten an den Dreisalzparagenesen NaCl-NaClO<sub>3</sub>-Sr(ClO<sub>3</sub>)<sub>2</sub> (Lösung P) des Systems SrCl<sub>2</sub> + 2NaClO<sub>3</sub> = Sr(ClO<sub>3</sub>)<sub>2</sub> + 2NaCl/H<sub>2</sub>O bei 25°C, 50°C und 75°C

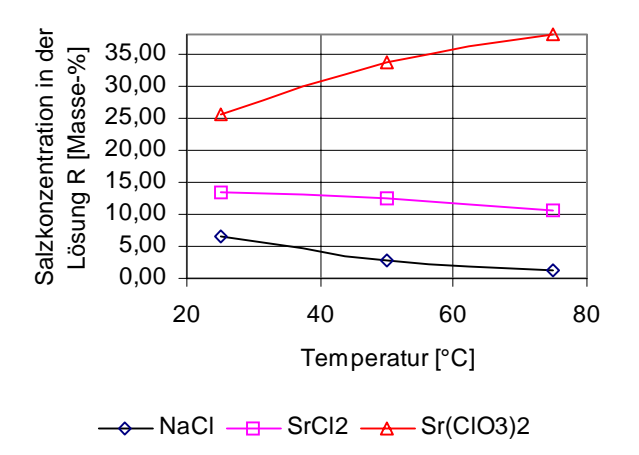


Bild 5.25: Löslichkeiten an den Dreisalzparagenesen NaCl - SrCl<sub>2</sub>.xH<sub>2</sub>O - Sr(ClO<sub>3</sub>)<sub>2</sub> (Lösung R) des Systems SrCl<sub>2</sub> + 2NaClO<sub>3</sub> = Sr(ClO<sub>3</sub>)<sub>2</sub> + 2NaCl/H<sub>2</sub>O bei 25°C, 50°C und 75°C

An den Dreisalzpunkten P und R des Systems  $SrCl_2 + 2NaClO_3 = Sr(ClO_3)_2 + 2NaCl/H_2O$  treten mit steigender Temperatur die erwarteten Effekte auf: Anstieg der Chloratlöslichkeiten und Abfall der Chloridlöslichkeiten.

Auch die Dichten und Viskositäten zeigen in Abhängigkeit von der Temperatur das erwartete Verhalten: Anstieg der Dichtewerte und Abfall der Viskositätswerte (Bilder 5.26 und 5.27).

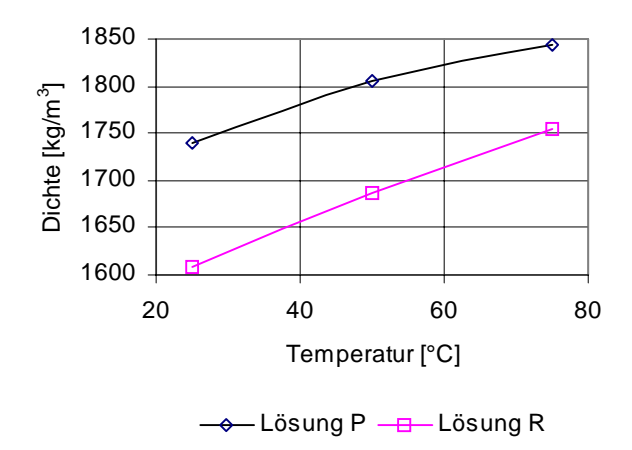


Bild 5.26: Verlauf der Dichtewerte an den Dreisalzparagenesen P und R des Systems  $SrCl_2 + 2NaClO_3 = Sr(ClO_3)_2 + 2NaCl/H_2O \text{ in Abhängigkeit von der Temperatur}$ 

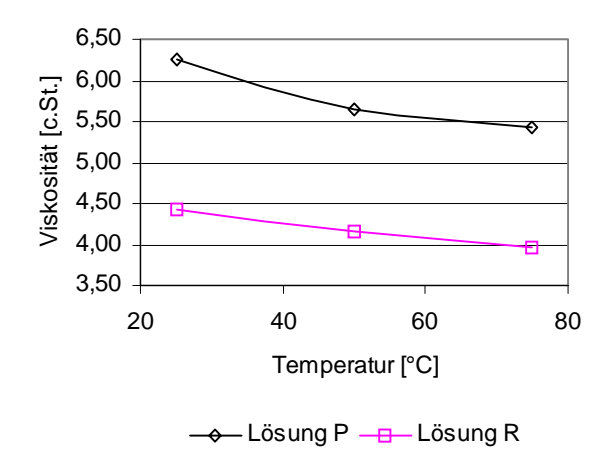


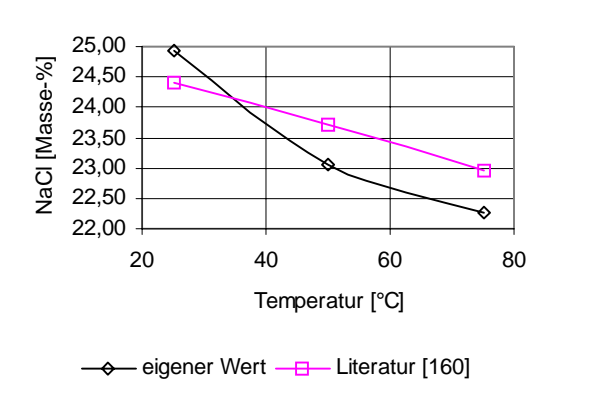
Bild 5.27: Verlauf der Viskositätswerte an den Dreisalzparagenesen P und R des Systems  $SrCl_2 + 2NaClO_3 = Sr(ClO_3)_2 + 2NaCl/H_2O \text{ in Abhängigkeit von der Temperatur}$ 

# 5.4 Zusammenstellung und Diskussion der experimentellen Ergebnisse des Systems BaCl<sub>2</sub> + 2NaClO<sub>3</sub> = Ba(ClO<sub>3</sub>)<sub>2</sub> + 2NaCl/H<sub>2</sub>O bei 25°C, 50°C und 75 °C

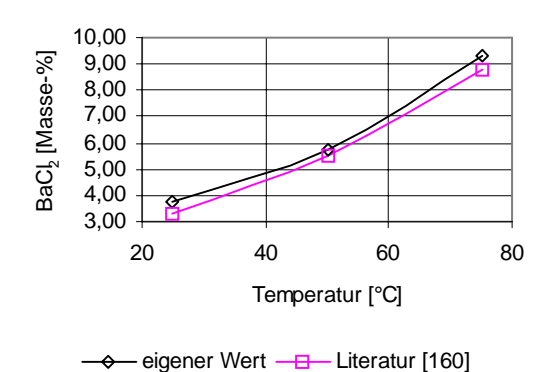
#### 5.4.1 Randsysteme

Die Gleichgewichtskonzentrationen sowie die Dichten und Viskositäten an den isotherm invarianten Zweisalzparagenesen der ternären Systeme NaCl-BaCl<sub>2</sub>-H<sub>2</sub>O, BaCl<sub>2</sub>-Ba(ClO<sub>3</sub>)<sub>2</sub>-H<sub>2</sub>O und NaClO<sub>3</sub>-Ba(ClO<sub>3</sub>)<sub>2</sub>-H<sub>2</sub>O ist in den Bildern 5.28 bis 5.30 dargestellt. Die Bilder enthalten neben den eigenen Werten gegebenenfalls auch die Literaturwerte.

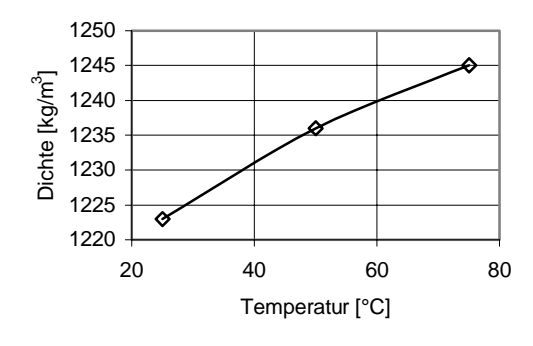
### Das ternäre System NaCl-BaCl<sub>2</sub>-H<sub>2</sub>O



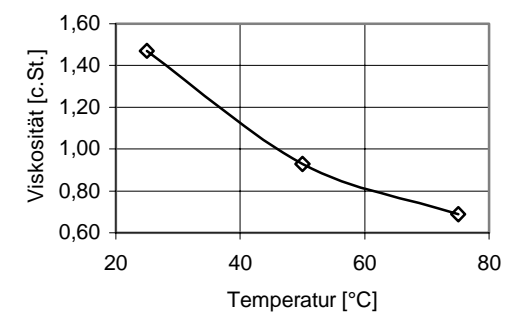
Verlauf der NaCl-Konzentrationen am Zweisalzpunkt NaCl - BaCl<sub>2</sub>.2H<sub>2</sub>O



Verlauf der BaCl<sub>2</sub>-Konzentrationen am Zweisalzpunkt NaCl - BaCl<sub>2</sub>.2H<sub>2</sub>O



 $\label{eq:Dichteverlauf} Dichteverlauf$  am Zweisalzpunkt NaCl - BaCl<sub>2</sub>.2H<sub>2</sub>O

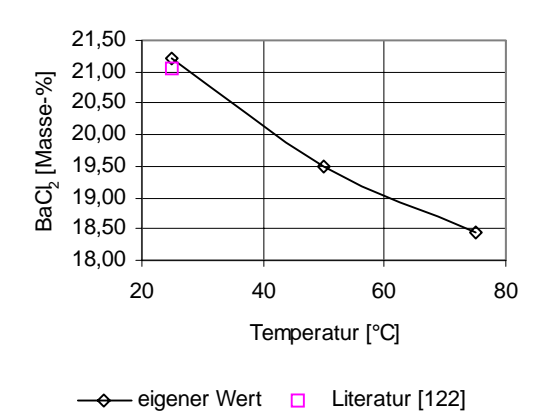


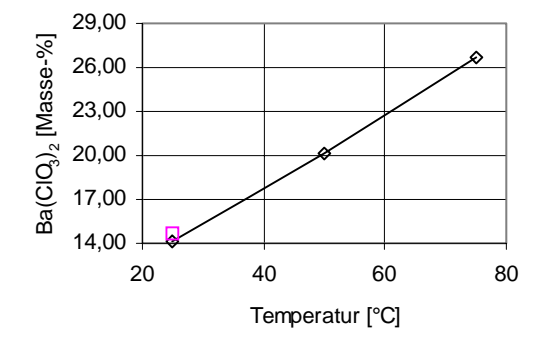
 $Viskosit \"{a}ts verlauf$  am Zweisalzpunkt NaCl - BaCl\_2.2H\_2O

Bild 5.28: NaCl- und BaCl<sub>2</sub>-Konzentrationen sowie Dichten und Viskositäten an den Zweisalzparagenesen NaCl-BaCl<sub>2</sub>.2H<sub>2</sub>O des Systems NaCl-BaCl<sub>2</sub>-H<sub>2</sub>O bei 25°C, 50°C und 75 °C

An den isotherm invarianten Zweisalzparagenesen des Systems NaCl-BaCl<sub>2</sub>-H<sub>2</sub>O treten bei 25°C, 50°C und 75°C nur die Bodenkörper NaCl und BaCl<sub>2</sub>.2H<sub>2</sub>O auf. Die eigenen Daten stimmen mit den Literaturdaten recht gut überein. Einem schwachen Abfall der NaCl-Sättigungskonzentrationen mit steigender Temperatur steht ein deutlicher Anstieg der BaCl<sub>2</sub>-Sättigungskonzentrationen gegenüber. Daraus resultiert eine schwache Zunahme der Gesamtsalzgehalte mit steigender Temperatur. Als Folge davon steigen die Dichten an den Zweisalzparagenesen mit der Temperatur. Bei den Viskositäten überwiegt der Temperatureinfluss, die Viskositäten fallen mit steigender Temperatur.

### Das ternäre System BaCl<sub>2</sub>-Ba(ClO<sub>3</sub>)<sub>2</sub>-H<sub>2</sub>O

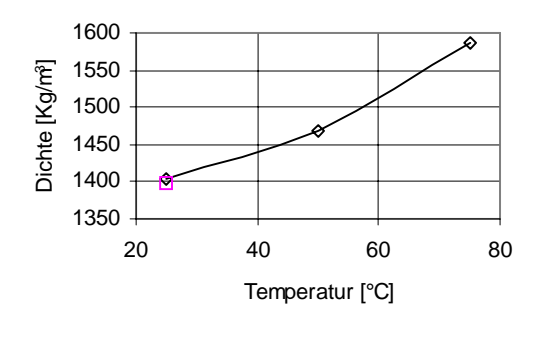


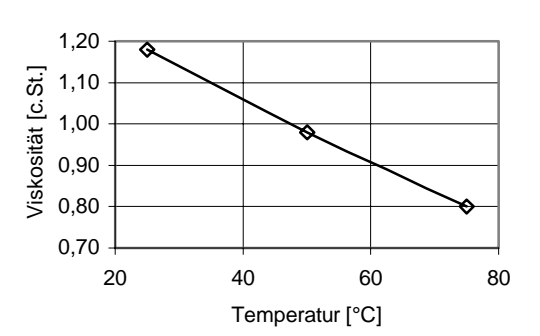


→ eigener Wert □ Literatur [122]

Verlauf der BaCl<sub>2</sub>-Konzentrationen am Zweisalzpunkt BaCl<sub>2</sub>.2H<sub>2</sub>O-Ba(ClO<sub>3</sub>)<sub>2</sub>.H<sub>2</sub>O

Verlauf der Ba(ClO<sub>3</sub>)<sub>2</sub>-Konzentrationen am Zweisalzpunkt BaCl<sub>2</sub>.2H<sub>2</sub>O-Ba(ClO<sub>3</sub>)<sub>2</sub>.H<sub>2</sub>O





Dichteverlauf am Zweisalzpunkt BaCl<sub>2</sub>.2H<sub>2</sub>O - Ba(ClO<sub>3</sub>)<sub>2</sub>.H<sub>2</sub>O

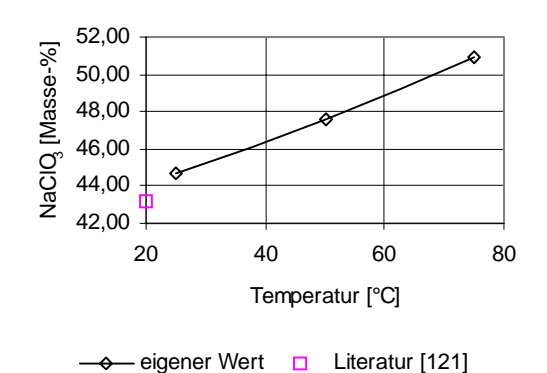
– eigener Wert □ Literatur [124]

Viskositätsverlauf am Zweisalzpunkt BaCl<sub>2</sub>.2H<sub>2</sub>O - Ba(ClO<sub>3</sub>)<sub>2</sub>.H<sub>2</sub>O

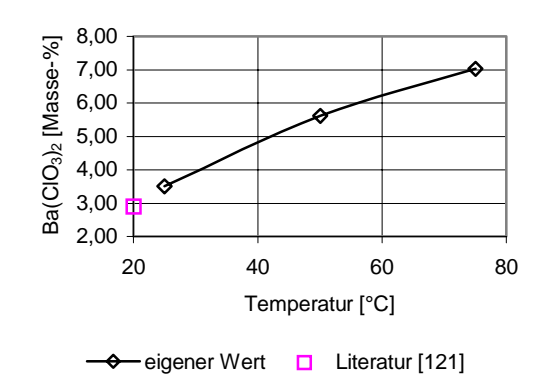
Bild 5.29: BaCl<sub>2</sub>- und Ba(ClO<sub>3</sub>)<sub>2</sub>-Konzentrationen sowie Dichten und Viskositäten an den Zweisalzparagenesen BaCl<sub>2</sub>.2H<sub>2</sub>O - Ba(ClO<sub>3</sub>)<sub>2</sub>.H<sub>2</sub>O des Systems BaCl<sub>2</sub>-Ba(ClO<sub>3</sub>)<sub>2</sub>-H<sub>2</sub>O bei 25°C, 50°C und 75 °C

Auch an den Zweisalzparagenesen des Systems BaCl<sub>2</sub>-Ba(ClO<sub>3</sub>)<sub>2</sub>-H<sub>2</sub>O treten bei 25°C, 50°C und 75°C nur zwei Salze auf: BaCl<sub>2</sub>.2H<sub>2</sub>O und Ba(ClO<sub>3</sub>)<sub>2</sub>.H<sub>2</sub>O. Der Literaturwert bei 25°C befindet sich mit den eigenen Werten in guter Übereinstimmung. An der Zweisalzparagenese stehen mit steigender Temperatur schwache Abfälle bei den BaCl<sub>2</sub>-Konzentrationen deutliche Zunahme bei den Ba(ClO<sub>3</sub>)<sub>2</sub>-Konzentrationen gegenüber. Das führt zu einer doch deutlichen Zunahme bei den Gesamtsalzgehalten an den Zweisalzparagenesen. Bei den Dichten resultiert daraus der erwartete Anstieg mit der Temperatur. Die Viskositätan fallen jedoch trotzdem mit der Temperatur.

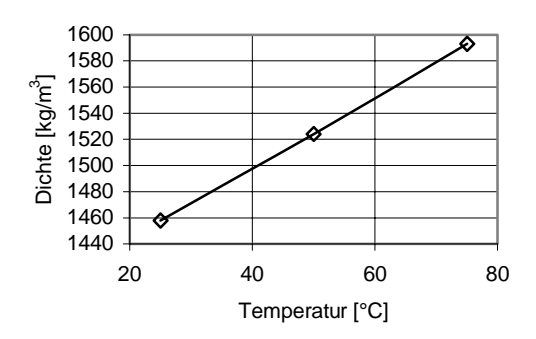
# Das ternäre System NaClO<sub>3</sub>-Ba(ClO<sub>3</sub>)<sub>2</sub>-H<sub>2</sub>O



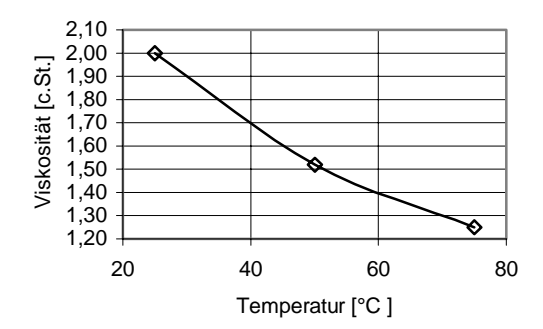
Verlauf der NaClO<sub>3</sub>-Konzentrationen am Zweisalzpunkt NaClO<sub>3</sub>-Ba(ClO<sub>3</sub>)<sub>2</sub>.H<sub>2</sub>O



Verlauf der Ba(ClO<sub>3</sub>)<sub>2</sub>-Konzentrationen am Zweisalzpunkt NaClO<sub>3</sub>-Ba(ClO<sub>3</sub>)<sub>2</sub>.H<sub>2</sub>O



Dichteverlauf am Zweisalzpunkt NaClO<sub>3</sub> - Ba(ClO<sub>3</sub>)<sub>2</sub>.H<sub>2</sub>O



Viskositätsverlauf am Zweisalzpunkt NaClO<sub>3</sub> - Ba(ClO<sub>3</sub>)<sub>2</sub>.H<sub>2</sub>O

Bild 5.30: NaClO<sub>3</sub>- und Ba(ClO<sub>3</sub>)<sub>2</sub>-Konzentrationen sowie Dichten und Viskositäten an den Zweisalzparagenesen NaClO<sub>3</sub> - Ba(ClO<sub>3</sub>)<sub>2</sub>.H<sub>2</sub>O des Systems NaClO<sub>3</sub>-Ba(ClO<sub>3</sub>)<sub>2</sub>-H<sub>2</sub>O bei 25°C, 50°C und 75 °C

Wie schon aus den Verhältnissen in den Systemen NaCl-NaClO<sub>3</sub>-H<sub>2</sub>O und BaCl<sub>2</sub>-Ba(ClO<sub>3</sub>)<sub>2</sub>-H<sub>2</sub>O zu erwarten war, treten an den isotherm invarianten Zweisalzparagenesen des Systems NaClO<sub>3</sub>-Ba(ClO<sub>3</sub>)<sub>2</sub>-H<sub>2</sub>O nur die Bodenkörper NaClO<sub>3</sub> und Ba(ClO<sub>3</sub>)<sub>2</sub>.H<sub>2</sub>O auf. An den Zweisalzparagenesen steigen mit der Temperatur sowohl die NaClO<sub>3</sub>- als auch die Ba(ClO<sub>3</sub>)<sub>2</sub>-Konzentrationen. Das führt zu einem Anstieg bei den Gesamtsalzgehalten um knapp 10 Masse-% im Temperaturbereich von 25°C bis 75°C. Dadurch steigen wie erwartet die Dichten. Trotzdem kommt es durch den Temperatureinfluss zu einem Absinken bei den Viskositäten.

## 5.4.2 Das reziproken Salzpaar $BaCl_2 + 2NaClO_3 = Ba(ClO_3)_2 + 2NaCl/H_2O$

Die im Rahmen dieser Arbeit ermittelten Löslichkeiten, Dichten, Viskositäten und Bodenkörperparagenesen sind in den Tabellen 5.23 bis 5.25 zusammengestellt. Die Angabe der Konzentrationen erfolgt in Masse-%. Bei Werten in Klammern handelt es sich um Literaturwerte.

Tabelle 5.23: Löslichkeiten, Dichten, Viskositäten und Bodenkörperparagenesen im reziproken Salzpaar BaCl<sub>2</sub> + 2NaClO<sub>3</sub> = Ba(ClO<sub>3</sub>)<sub>2</sub> + 2NaCl/H<sub>2</sub>O bei 25°C

NI	Dichte	Viskosität	NaCl	NaClO <sub>3</sub>	BaCl <sub>2</sub>	Ba(ClO <sub>3</sub> ) <sub>2</sub>	Bodenkörper
Nr.	[kg/m <sup>3</sup> ]	[c.St.]	[Masse-%]	[Masse-%]	[Masse-%]	[Masse-%]	[Literatur]
1	1458	2,00		44,73		3,51	NaClO <sub>3</sub> + Ba(ClO <sub>3</sub> ) <sub>2</sub> .H <sub>2</sub> O
2	1438	2,10	5,07	36,34		2,71	NaClO <sub>3</sub> + Ba(ClO <sub>3</sub> ) <sub>2</sub> .H <sub>2</sub> O
3	1429	2,15	7,98	32,42		3,49	NaClO <sub>3</sub> + Ba(ClO <sub>3</sub> ) <sub>2</sub> .H <sub>2</sub> O
4	1401	2,24	11,56	32,83			NaClO <sub>3</sub> + NaCl
		·	(12,04)	(33,15)			[74 - 76] Interpoliert
5	1418	2,31	10,44	31,4		2,75	NaClO <sub>3</sub> + NaCl
6	1421	2,30	10,89	30,66		3,68	NaClO <sub>3</sub> + NaCl
7	1414	2,21	10,94	28,46		4,31	$Ba(ClO_3)_2.H_2O + NaCl$
8	1386	2,04	13,11	22,28		5,80	$Ba(ClO_3)_2.H_2O + NaCl$
9	1368	1,81	15,00	16,06		8,12	$Ba(ClO_3)_2.H_2O + NaCl$
10	1223	1,47	24,92		3,75		BaCl <sub>2</sub> .2H <sub>2</sub> O + NaCl
			(24,40)		(3,30)		[160] Interpoliert
11	1280	1,61	17,66	8,98	4,88		BaCl <sub>2</sub> .2H <sub>2</sub> O + NaCl
12	1336	1,64	13,89	16,83	5,3		BaCl <sub>2</sub> .2H <sub>2</sub> O + NaCl

# Fortsetzung Tabelle 5.23

Nr.	Dichte [kg/m³]	Viskosität [c.St.]	NaCl [Masse-%]	NaClO <sub>3</sub> [Masse-%]	BaCl <sub>2</sub> [Masse-%]	Ba(ClO <sub>3</sub> ) <sub>2</sub> [Masse-%]	Bodenkörper [Literatur]
13	1405 (1398)	1,18			21,20 (21,06)	14,07 (14,73)	Ba(ClO <sub>3</sub> ) <sub>2</sub> .H <sub>2</sub> O + BaCl <sub>2</sub> .2H <sub>2</sub> O [122]
14	1376	1,24		7,23	20,03	5,24	$Ba(ClO_3)_2.H_2O + BaCl_2.2H_2O$
15	1335	1,48		5,00	12,98	15,87	$Ba(ClO_3)_2.H_2O + BaCl_2.2H_2O$
16	1423	2,32	10,79	30,18		4,06	$NaClO_3 + Ba(ClO_3)_2.H_2O + NaCl$
17	1353	1,66	14,46	12,66		9,90	Ba(ClO <sub>3</sub> ) <sub>2</sub> .H <sub>2</sub> O + BaCl <sub>2</sub> .2H <sub>2</sub> O + NaCl

Tabelle 5.24: Löslichkeiten, Dichten, Viskositäten und Bodenkörperparagenesen im reziproken Salzpaar BaCl<sub>2</sub> + 2NaClO<sub>3</sub> = Ba(ClO<sub>3</sub>)<sub>2</sub> + 2NaCl/H<sub>2</sub>O bei 50°C

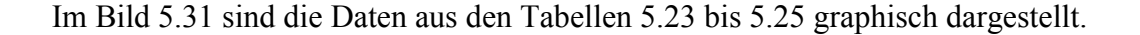
N	Dichte	Viskosität	NaCl	NaClO <sub>3</sub>	BaCl <sub>2</sub>	Ba(ClO <sub>3</sub> ) <sub>2</sub>	Bodenkörper
Nr.	$[kg/m^3]$	[c.St.]	[Masse-%]	[Masse-%]	[Masse-%]	[Masse-%]	[Literatur]
1	1524	1,52		47,54		5,62	NaClO <sub>3</sub> + Ba(ClO <sub>3</sub> ) <sub>2</sub> .H <sub>2</sub> O
2	1517	1,53	1,21	42,54		5,02	NaClO <sub>3</sub> + Ba(ClO <sub>3</sub> ) <sub>2</sub> .H <sub>2</sub> O
3	1510	1,61	5,19	39,66		4,84	NaClO <sub>3</sub> + Ba(ClO <sub>3</sub> ) <sub>2</sub> . H <sub>2</sub> O
4	1470	1,61	8,31	44,90			NaClO <sub>3</sub> + NaCl
			(8,36)	(44,83)			[75]
5	1477	1,62	7,07	41,96	1,29		NaClO <sub>3</sub> + NaCl,
6	1504	1,66	7,80	35,51		5,53	NaClO <sub>3</sub> + NaCl
7	1504	1,68	7,54	36,46		6,07	NaClO <sub>3</sub> + NaCl
8	1236	0,93	23,06		5,71		BaCl <sub>2</sub> .2H <sub>2</sub> O + NaCl
			(23,7)		(5,5)		[160]
9	1241	0,93	21,06	0,97	5,71		BaCl <sub>2</sub> .2H <sub>2</sub> O + NaCl
10	1260	0,95	18,80	5,08	6,29		BaCl <sub>2</sub> .2H <sub>2</sub> O + NaCl
11	1293	1,00	16,77	9,59	6,28		BaCl <sub>2</sub> .2H <sub>2</sub> O + NaCl
12	1349	1,09	13,10	16,61	7,26		BaCl <sub>2</sub> .2H <sub>2</sub> O + NaCl
13	1469	0,98			19,51	20,18	$Ba(ClO_3)_2.H_2O + BaCl_2.2H_2O$
14	1423	1,02	10,96	2,19		22,45	$Ba(ClO_3)_2.H_2O + BaCl_2.2H_2O$
15	1445	0,94		6,35	18,01	10,15	$Ba(ClO_3)_2.H_2O + BaCl_2.2H_2O$
16	1475	1,52	7,18	26,66		7,59	Ba(ClO <sub>3</sub> ) <sub>2</sub> .H <sub>2</sub> O + NaCl
17	1448	1,38	11,20	25,42		9,46	Ba(ClO <sub>3</sub> ) <sub>2</sub> .H <sub>2</sub> O + NaCl

# Fortsetzung Tabelle 5.24

Nr.	Dichte	Viskosität	NaCl	NaClO <sub>3</sub>	BaCl <sub>2</sub>	Ba(ClO <sub>3</sub> ) <sub>2</sub>	Bodenkörper
1,20	[kg/m <sup>3</sup> ]	[c.St.]	[Masse-%]	[Masse-%]	[Masse-%]	[Masse-%]	[Literatur]
18	1436	1,22	10,56	17,76		11,25	$Ba(ClO_3)_2.H_2O + NaCl$
19	1499	1,68	7,08	36,72		6,63	$NaClO_3 + Ba(ClO_3)_2.H_2O + NaCl$
20	1421	1,26	13,10	13,22		15,78	Ba(ClO <sub>3</sub> ) <sub>2</sub> .H <sub>2</sub> O + BaCl <sub>2</sub> .2H <sub>2</sub> O + NaCl

Tabelle 5.25: Löslichkeiten, Dichten, Viskositäten und Bodenkörperparagenesen im reziproken Salzpaar  $BaCl_2 + 2NaClO_3 = Ba(ClO_3)_2 + 2NaCl/H_2O$  bei 75°C

	Dichte	Viskosität	NaCl	NaClO <sub>3</sub>	BaCl <sub>2</sub>	Ba(ClO <sub>3</sub> ) <sub>2</sub>	Bodenkörper
Nr.	[kg/m <sup>3</sup> ]	[c.St.]	[Masse-%]	[Masse-%]	[Masse-%]	[Masse-%]	[Literatur]
1	1593	1,25		50,97		7,02	NaClO <sub>3</sub> + Ba(ClO <sub>3</sub> ) <sub>2</sub> .H <sub>2</sub> O
2	1584	1,25	1,98	45,90		7,93	NaClO <sub>3</sub> + Ba(ClO <sub>3</sub> ) <sub>2</sub> .H <sub>2</sub> O
3	1590	1,26	3,70	44,71		8,04	NaClO <sub>3</sub> + Ba(ClO <sub>3</sub> ) <sub>2</sub> .H <sub>2</sub> O
4	1579	1,28	5,42	46,80		8,33	NaClO <sub>3</sub> + Ba(ClO <sub>3</sub> ) <sub>2</sub> .H <sub>2</sub> O
5	1524	1,33	4,64 (5,23)	56,89 (57,03)			NaClO <sub>3</sub> +NaCl [74 - 76] Interpoliert
6	1544	1,32	5,40	52,25		2,37	NaClO <sub>3</sub> + NaCl
7	1575	1,33	5,61	42,89		8,36	$Ba(ClO_3)_2.H_2O + NaCl$
8	1538	1,13	6,04	13,82		11,35	$Ba(ClO_3)_2.H_2O + NaCl$
9	1245	0,69	22,25 (22,95)		9,29 (8,75)		BaCl <sub>2</sub> .2H <sub>2</sub> O + NaCl [160] Interpoliert
10	1294	0,73	16,76	7,07	9,66		BaCl <sub>2</sub> .2H <sub>2</sub> O + NaCl
11	1334	0,76	14,12	13,32	10,07		BaCl <sub>2</sub> .2H <sub>2</sub> O + NaCl
12	1518	1,05	3,97	30,71	14,40		BaCl <sub>2</sub> .2H <sub>2</sub> O + NaCl
13	1586	0,80			18,43	26,63	$Ba(ClO_3)_2.H_2O + BaCl_2.2H_2O$
14	1555	0,81		8,01	19,58	18,68	$Ba(ClO_3)_2.H_2O + BaCl_2.2H_2O$
15	1514	0,88		23,45	20,11	3,8	$Ba(ClO_3)_2.H_2O + BaCl_2.2H_2O$
16	1574	1,27	5,29	41,95		9,28	$NaClO_3 + Ba(ClO_3)_2.H_2O + NaCl$
17	1517	1,04	11,62	13,45		22,57	Ba(ClO <sub>3</sub> ) <sub>2</sub> .H <sub>2</sub> O + BaCl <sub>2</sub> .2H <sub>2</sub> O + NaCl



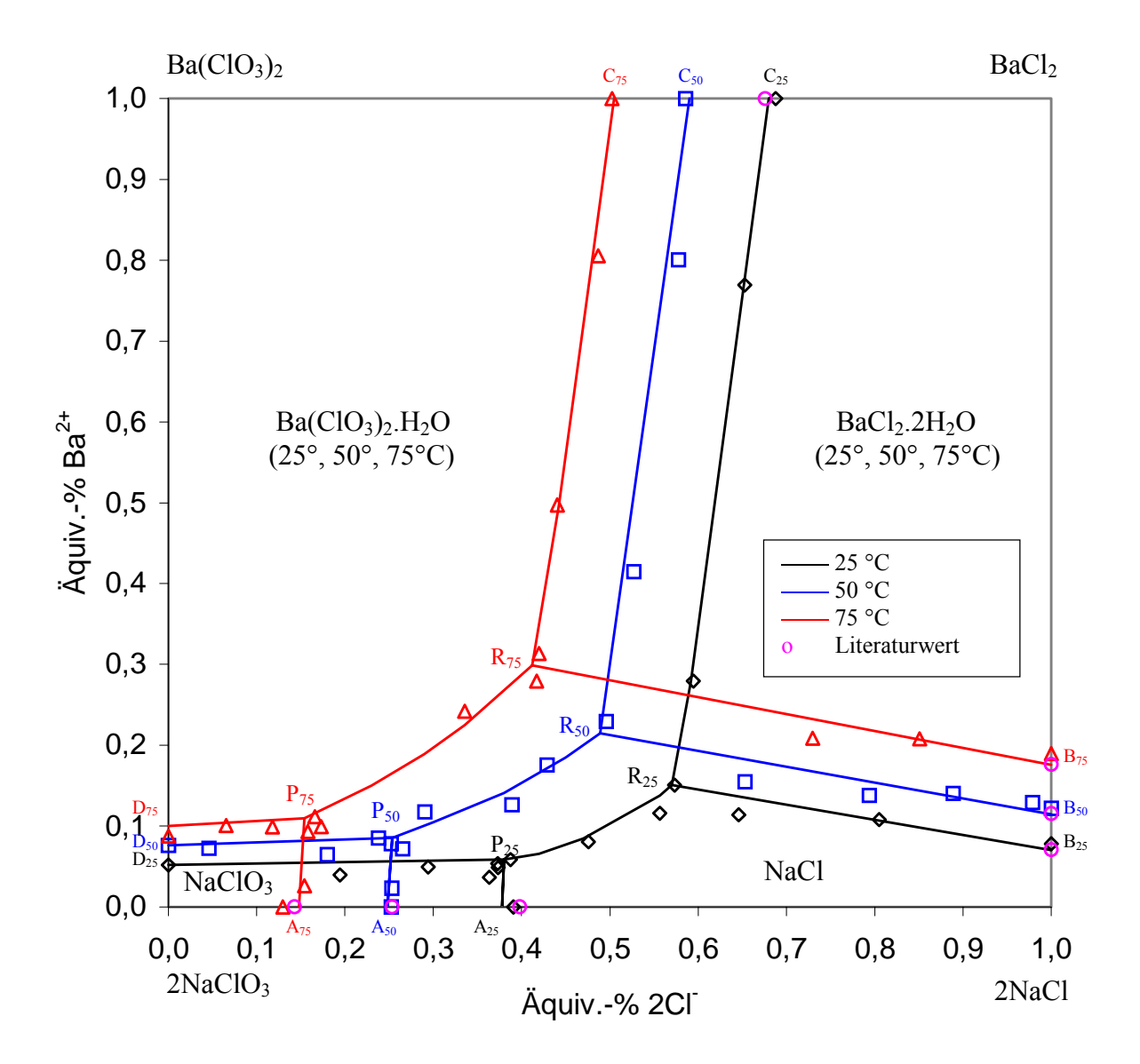


Bild 5.31: Gleichgewichte im System BaCl<sub>2</sub> + 2NaClO<sub>3</sub> = Ba(ClO<sub>3</sub>)<sub>2</sub> + 2NaCl/H<sub>2</sub>O bei 25°C, 50°C und 75°C

Das System  $BaCl_2 + 2NaClO_3 = Ba(ClO_3)_2 + 2NaCl/H_2O$  unterscheidet sich doch erheblich von den anderen drei Systemen  $MgCl_2 + 2NaClO_3 = Mg(ClO_3)_2 + 2NaCl/H_2O$ ,  $CaCl_2 + 2NaClO_3 = Ca(ClO_3)_2 + 2NaCl/H_2O$  und  $SrCl_2 + 2NaClO_3 = Sr(ClO_3)_2 + 2NaCl/H_2O$ . Bei gleicher Anordnung der Erdalkalimetall- und Alkalimetallsalze im Gleichgewichtsdiagramm ist das Phasendiagramm wegen der geringen relativen Löslichkeiten der Bariumsalze in gewisser Weise spiegelbildlich gegenüber den anderen Phasendiagrammen. Auf der anderen Seite gibt es aber den auch deutliche Ähnlichkeiten. Das stabile Salzpaar ist wieder das

Salzpaar Erdalkalimetallchlorat-Natriumchlorid, in diesem Fall das Salzpaar Bariumchlorat-Natriumchlorid (Ba(ClO<sub>3</sub>)<sub>2</sub>.H<sub>2</sub>O-NaCl). Auch in diesem Fall befindet sich das stabile Salzpaar noch im Übergangsintervall. Die Dreisalzparagenesen R mit den Salzen Ba(ClO<sub>3</sub>)<sub>2</sub>.H<sub>2</sub>O, BaCl<sub>2</sub>.2H<sub>2</sub>O und NaCl sind inkongruent gesättigt, weil die R-Punkte außerhalb des Dreiecks Ba(ClO<sub>3</sub>)<sub>2</sub>-2NaCl- BaCl<sub>2</sub> liegen.

Die Tabelle 5.26 enthält eine Aufstellung der Bodenkörper an den isothermen Zweisalzparagenesen des Systems  $BaCl_2 + 2NaClO_3 = Ba(ClO_3)_2 + 2NaCl/H_2O$  bei 25°C, 50°C und 75°C.

Tabelle 5.26: Aufstellung der Bodenkörper an den Zweisalzparagenesen des Systems  $BaCl_2 + 2NaClO_3 = Ba(ClO_3)_2 + 2NaCl/H_2O$  bei 25°C, 50°C und 75°C

Linien	Temperatur [°C]	Bodenkörper
A <sub>25</sub> - P <sub>25</sub>	25	NaCl + NaClO <sub>3</sub>
A <sub>50</sub> - P <sub>50</sub>	50	NaCl + NaClO <sub>3</sub>
A <sub>75</sub> - P <sub>75</sub>	75	NaCl + NaClO <sub>3</sub>
B <sub>25</sub> - R <sub>25</sub>	25	NaCl + BaCl <sub>2</sub> .2H <sub>2</sub> O
B <sub>50</sub> - R <sub>50</sub>	50	NaCl + BaCl <sub>2</sub> .2H <sub>2</sub> O
B <sub>75</sub> - R <sub>75</sub>	75	NaCl + BaCl <sub>2</sub> .2H <sub>2</sub> O
C <sub>25</sub> - R <sub>25</sub>	25	$BaCl_2.2H_2O + Ba(ClO_3)_2.H_2O$
C <sub>50</sub> - R <sub>50</sub>	50	BaCl2.2H2O + Ba(ClO3)2.H2O
C <sub>75</sub> - R <sub>75</sub>	75	$BaCl_2.2H_2O + Ba(ClO_3)_2.H_2O$
D <sub>25</sub> - P <sub>25</sub>	25	$NaClO_3 + Ba(ClO_3)_2.H_2O$
D <sub>50</sub> - P <sub>50</sub>	50	$NaClO_3 + Ba(ClO_3)_2.H_2O$
D <sub>75</sub> - P <sub>75</sub>	75	$NaClO_3 + Ba(ClO_3)_2.H_2O$
P <sub>25</sub> - R <sub>25</sub>	25	NaCl + Ba(ClO <sub>3</sub> ) <sub>2</sub> .H <sub>2</sub> O
P <sub>50</sub> - R <sub>50</sub>	50	$NaCl + Ba(ClO_3)_2.H_2O$
P <sub>75</sub> - R <sub>75</sub>	75	$NaCl + Ba(ClO_3)_2.H_2O$

Auf eine Tabelle mit einer Aufstellung der Bodenkörper an den isotherm invarianten Dreisalzparagenesen wird verzichtet, weil die Verhältnisse aus dem Bild 5.31 leicht zu entnehmen sind.

Die Löslichkeiten, Dichten und Viskositäten an den Dreisalzparagenesen des Systems  $BaCl_2 + 2NaClO_3 = Ba(ClO_3)_2 + 2NaCl/H_2O$  bei 25°C, 50°C und 75°C sind in den Bildern 5.32 bis 5.35 dargestellt.

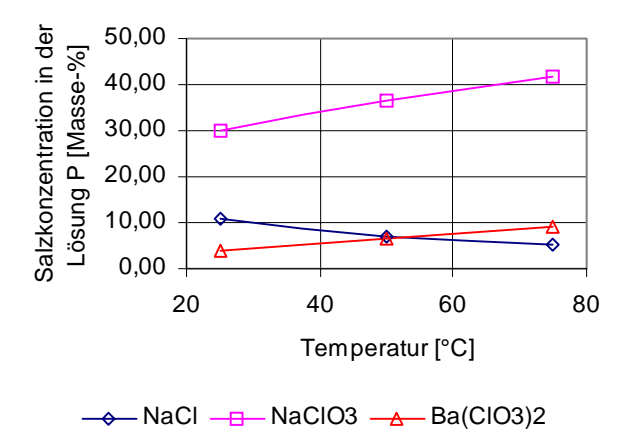


Bild 5.32: Löslichkeiten an den Dreisalzparagenesen NaCl-NaClO<sub>3</sub>-Ba(ClO<sub>3</sub>)<sub>2</sub>. $H_2O$  (Lösung P) des Systems BaCl<sub>2</sub> + 2NaClO<sub>3</sub> = Ba(ClO<sub>3</sub>)<sub>2</sub> + 2NaCl/ $H_2O$  bei 25°C, 50°C und 75°C

An den Dreisalzparagenesen P stehen bei allen drei Temperaturen NaCl, NaClO<sub>3</sub> und Ba(ClO<sub>3</sub>)<sub>2</sub>.H<sub>2</sub>O mit der Lösung im Gleichgewicht. Die NaClO<sub>3</sub>-Konzentrationen steigen an den Dreisalzparagenesen mit der Temperatur um über 10 Masse-%, während die Ba(ClO<sub>3</sub>)<sub>2</sub>-Konzentrationen nur um etwa 6 Masse-% steigen. Das führt zu einem Absinken bei den NaCl-Löslichkeiten.

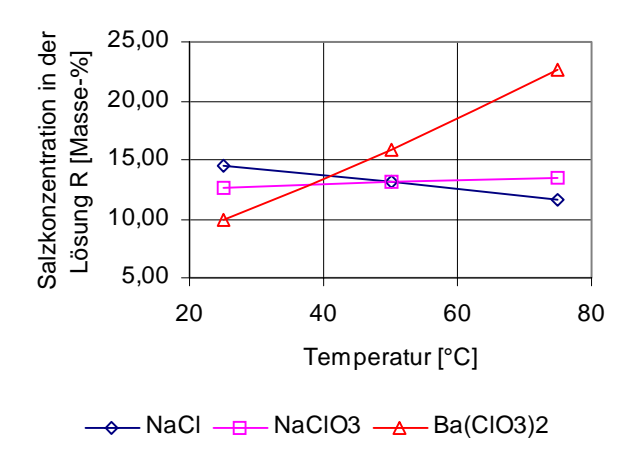


Bild 5.33: Löslichkeiten an den Dreisalzparagenesen NaCl-BaCl<sub>2</sub>.2H<sub>2</sub>O-Ba(ClO<sub>3</sub>)<sub>2</sub>.H<sub>2</sub>O (Lösung R) des Systems BaCl<sub>2</sub> + 2NaClO<sub>3</sub> = Ba(ClO<sub>3</sub>)<sub>2</sub> + 2NaCl/H<sub>2</sub>O bei 25°C, 50°C und 75°C

An den Dreisalzparagenesen R steigen nur die Ba(ClO<sub>3</sub>)<sub>2</sub>-Konzentrationen deutlich. Bei den NaCl- und NaClO<sub>3</sub>-Konzentrationen gibt es kaum Veränderungen.

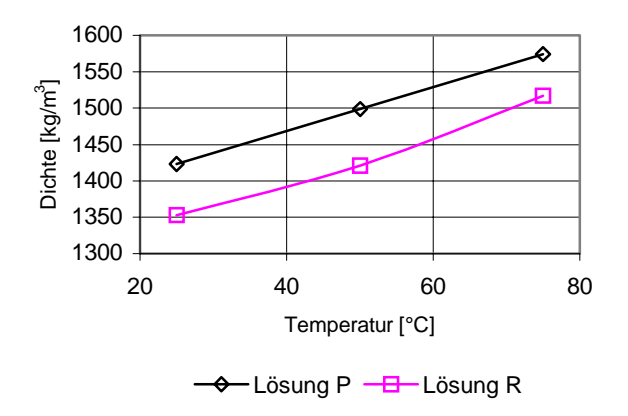


Bild 5.34: Verlauf der Dichtewerte an den Dreisalzparagenesen P und R des Systems  $BaCl_2 + 2NaClO_3 = Ba(ClO_3)_2 + 2NaCl/H_2O \text{ in Abhängigkeit von der Temperatur}$ 

Die Dichtewerte steigen sowohl an den Dreisalzparagenesen P als auch an den Dreisalzparagenesen R infolge der höheren Salzgehalte mit der Temperatur. Umgekehrt fallen die Viskositäten trotz der höheren Salzgehalten mit der Temperatur.

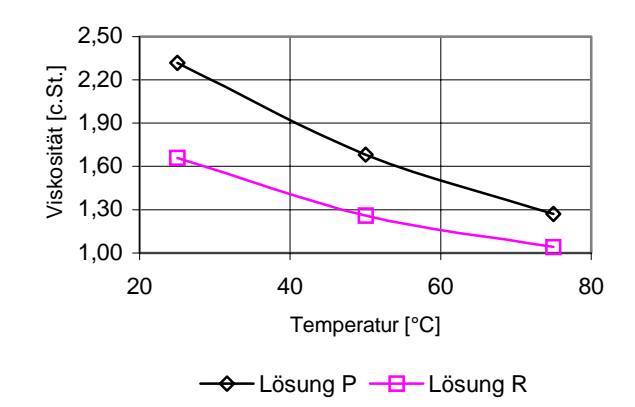


Bild 5.35: Verlauf der Viskositätswerte an den Dreisalzparagenesen P und R des Systems  $BaCl_2 + 2NaClO_3 = Ba(ClO_3)_2 + 2NaCl/H_2O \text{ in Abhängigkeit von der Temperatur}$ 

# 5.5 IR- und Ramanspektroskopische-Untersuchungen an Erdalkalimetalchlorat-(hydrat)en

In der Literatur gibt es wenig IR- und Ramanspektroskopische-Untersuchungen an Erdalkalimetallchlorat(hydrat)en. Die IR- und Ramanspektren geben anhand charakteristischer Schwingungsfrequenzen Aufschluss über die Existenz des Chlorations und von Wasser als Kristallwasser. Die charakteristischen IR-Schwingungsfrequenzen von Kristallwasser in Erdalkalimetallchlorathydraten treten in der Region 1610-1635 cm<sup>-1</sup> (Deformationsschwingung) und 3234-3580 cm<sup>-1</sup> (Streckschwingung) auf. Die charakteristischen Schwingungsfrequenzen des Chlorations sind hier von Interesse. Sie sind in den Bildern 5.36 und 5.37 dargestellt.

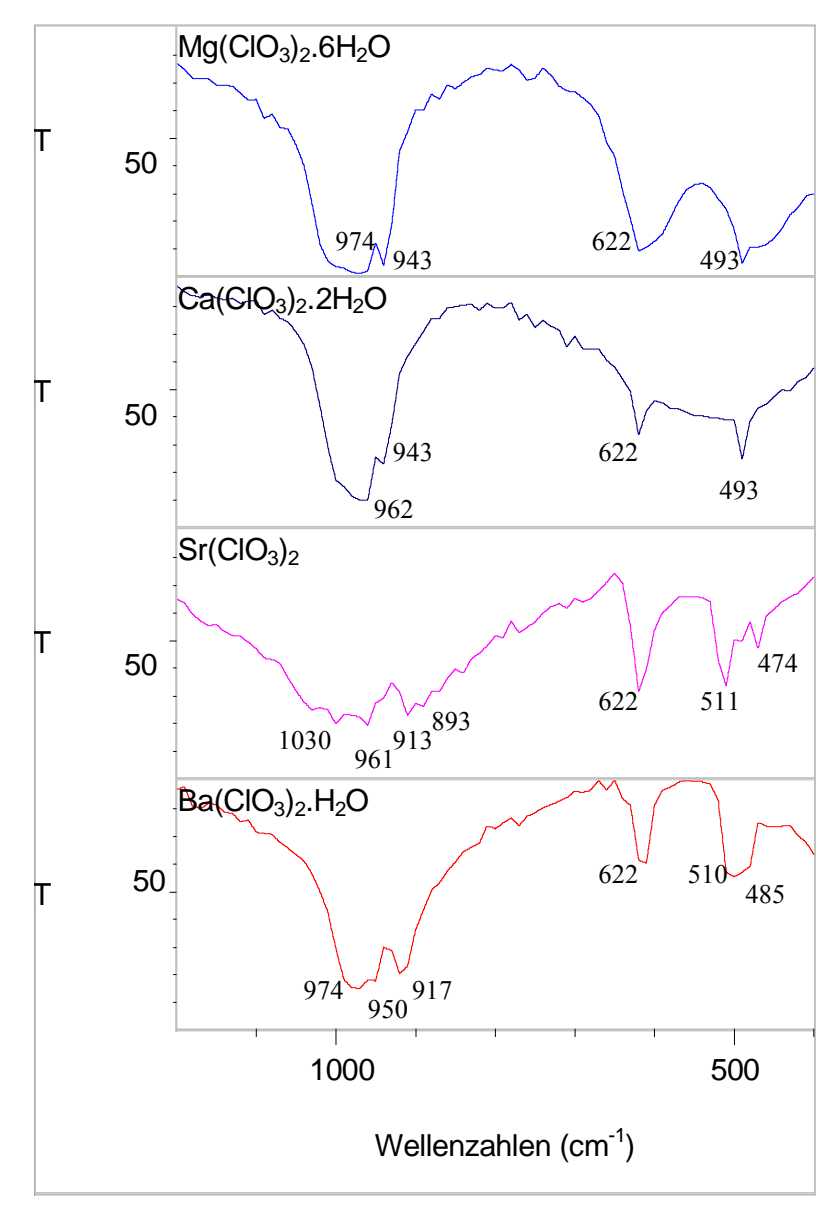
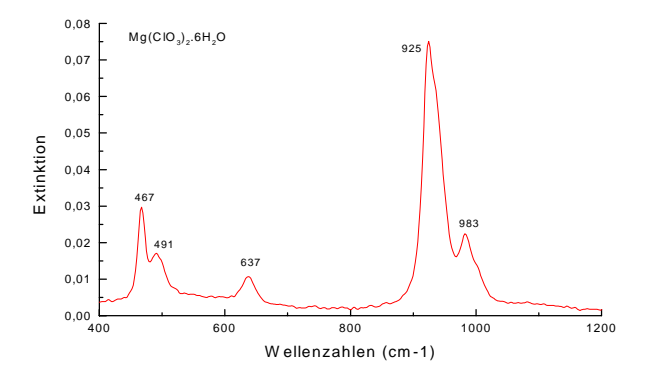
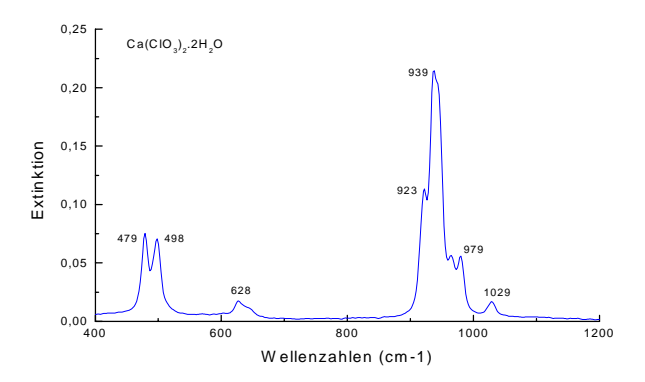
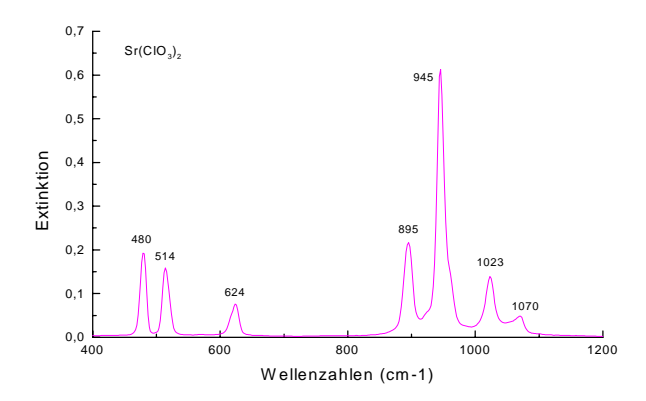


Bild 5.36: IR Spektren von Mg(ClO<sub>3</sub>)<sub>2</sub>.6H<sub>2</sub>O, Ca(ClO<sub>3</sub>)<sub>2</sub>.2H<sub>2</sub>O, Sr(ClO<sub>3</sub>)<sub>2</sub> und Ba(ClO<sub>3</sub>)<sub>2</sub>.H<sub>2</sub>O in fester Phase







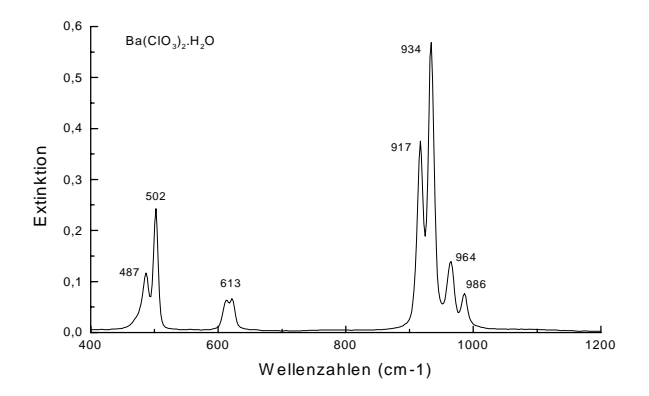


Bild 5.37: Raman Spektren von  $Mg(ClO_3)_2.6H_2O$ ,  $Ca(ClO_3)_2.2H_2O$ ,  $Sr(ClO_3)_2$  und  $Ba(ClO_3)_2.H_2O$  in fester Phase

Die IR- und Ramanschwingungsfrequenzen von Erdakalimetallchloraten in fester Phase sind in der Tabelle 5.27 zusammengestellt. Die Tabelle enthält sowohl eigene Werte als auch Literaturwerte.

Tabelle 5.27: IR- und Ramanschwingungsfrequenzen von Erdalkalimetallchloraten

Spektra	υ <sub>1</sub> (a <sub>1</sub> ) [cm <sup>-1</sup> ]	$v_2(a_1)$ $[cm^{-1}]$	υ <sub>3</sub> (e) [cm <sup>-1</sup> ]	υ <sub>4</sub> (e) [cm <sup>-1</sup> ]	Litera- tur	
IR	943	622	974	493		
Domon	925(100)	637(14,2)	983(29,9)	491(22,7)		
Kaillali				467(39,5)		
IR	943	622	962	493		
Raman	939(100)	628(8,2)	1029(7,9)	498(33,0)		
	923(52,9)		979(26,0)	479(35,1)		
	913	622	1031	511		
	893		961	474		
ID	951	618	1030	512	Γ1 <b>6</b> 01	
IR	909			478	[169]	
	912	624	1030	519	[170]	
			954	476		
	945(100)	624(12,4)	1070(7,9)	514(25,9)		
Paman	895(35,4)		1023(22,6)	480(31,2)		
Kaillall	943(100)	623(12,3)	1070(8,0)	511(24,9)	[169]	
	895(31,8)		1022(22,0)	479(32,5)		
	917	622	974	510		
IR			950	485		
IIX	917	618	975	508	[160]	
			953	485	[169]	
	934(100)	613(11,2)	986(13,5)	502(42,7)		
Raman	917(66,0)		964(24,4)	487(20,6)		
Kaillall	932(100)	611(11,7)	984(14,1)	500(50,4)	[169]	
	915(67,5)		962(25,0)	485(23,3)	[109]	
	IR Raman IR	Raman	Spektra         [cm-1]         [cm-1]           IR         943         622           Raman         925(100)         637(14,2)           IR         943         622           Raman         939(100)         628(8,2)           923(52,9)         913         622           893         951         618           909         912         624           Raman         945(100)         624(12,4)           895(35,4)         943(100)         623(12,3)           895(31,8)         917         622           IR         917         618           Paraman         934(100)         613(11,2)           917(66,0)         932(100)         611(11,7)	Spektra         [cm <sup>-1</sup> ]         974         983 (29,9)         962           Raman         939(100)         628(8,2)         1029(7,9)         979(26,0)         979         979         987         987	Raman         [cm-1]         [cm-1]         [cm-1]         [cm-1]           IR         943         622         974         493           Raman         925(100)         637(14,2)         983(29,9)         491(22,7)           467(39,5)         IR         943         622         962         493           Raman         939(100)         628(8,2)         1029(7,9)         498(33,0)         923(52,9)         979(26,0)         479(35,1)           IR         913         622         1031         511         511         893         961         474           951         618         1030         512         478         512         478         954         476           912         624         1030         519         954         476         476         476         954         476         <	

Anmerkung: Bei Werten in Klammern sind die Raman-Intensitäten relativ

IR- und Ramanschwingungsfrequenzen von Mg(ClO<sub>3</sub>)<sub>2</sub>.6H<sub>2</sub>O und Ca(ClO<sub>3</sub>)<sub>2</sub>.2H<sub>2</sub>O sind in der Literatur nicht belegt. Im Vergleich mit der Literatur korrelieren die eigenen Werte für Sr(ClO<sub>3</sub>)<sub>2</sub> und Ba(ClO<sub>3</sub>)<sub>2</sub>.H<sub>2</sub>O gut.

Das Chloratanion,  $ClO_3^-$  hat  $C_{3v}$  Symmetrie in insgesamt vier Grundschwingungen. Zwei symmetrische Grundschwingungen zur Hauptsymmetrieachse des Moleküls  $(A_1)$  und zwei zweifach entartete (E), die aktiv IR und Raman sind.

Aus der Tabelle 5.27 ergibt sich, dass im IR-Spektrum die symmetrische Streckschwingung  $(v_1)$  von  $ClO_3^-$  bei fester Phase Erdalkalimetallchlorat in der Region 893-951 cm<sup>-1</sup> auftritt, die symmetrische Deformationsschwingung  $(v_2)$  in der Region 618-624 cm<sup>-1</sup>, die asymmetrische Streckschwingung  $(v_3)$  in der Region 950-1031 cm<sup>-1</sup> und die asymmetrische Deformationsschwingung  $(v_4)$  in der Region 474-519 cm<sup>-1</sup>. Es ist zu beobachten, dass die Erdalkalimetallkationen keinen großen Einfluß auf die IR-Schwingungsfrequenz von  $ClO_3^-$  haben.

Im Raman-Spektrum tritt die stärkste Schwingungsfrequenz in der Region 925-945 cm<sup>-1</sup> auf. Diese Schwingungsfrequenz ist die symmetrische Streckschwingung ( $\upsilon_1$ ) von ClO<sub>3</sub><sup>-</sup>. Die schwache Schwingungsfrequenz tritt in der Region 611-637 cm<sup>-1</sup> auf, sie ist eine symmetrische Deformationsschwingung ( $\upsilon_2$ ). Die asymmetrische Streckschwingung ( $\upsilon_3$ ) tritt in der Region 962-1070 cm<sup>-1</sup> auf, die asymmetrische Deformationsschwingung ( $\upsilon_4$ ) in der Region 467-514 cm<sup>-1</sup>.

Die Schwingungsfrequenzen ( $\upsilon_1$  und  $\upsilon_3$ ) bei Mg(ClO<sub>3</sub>)<sub>2</sub>.6H<sub>2</sub>O sind singlet und bei Ca(ClO<sub>3</sub>)<sub>2</sub>.2H<sub>2</sub>O, Sr(ClO<sub>3</sub>)<sub>2</sub> sowie Ba(ClO<sub>3</sub>)<sub>2</sub>.H<sub>2</sub>O doublet. Das ist nur dadurch zu erklären, dass der Einbau von ClO<sub>3</sub><sup>-</sup> in das Kristall die Schwingungsfrequenzen ( $\upsilon_1$  und  $\upsilon_3$ ) stark beeinflusst. Als Vergleich: Raman-Schwingungsfrequenzen von ClO<sub>3</sub><sup>-</sup> in der Lösungphase sind singlet,  $\upsilon_1 = 932$  cm<sup>-1</sup>,  $\upsilon_2 = 613$  cm<sup>-1</sup>,  $\upsilon_3 = 982$  cm<sup>-1</sup> und  $\upsilon_4 = 479$  cm<sup>-1</sup> [171]. Die Erdalkalimetallkationen haben ebenfalls keinen großen Einfluß auf die Raman-Schwingungsfrequenz von ClO<sub>3</sub><sup>-</sup>.

# 5.6 Thermoanalytische Untersuchungen (TG/DSC-Untersuchungen) an Erdalkalimetallchlorat(hydrat)en

In der Literatur sind nur vereinzelte thermoanalytische Untersuchungen an Erdalkalimetall-chlorat(hydrat)en nachweisbar. So nahm Lutz DTA-Untersuchungen an Ba(ClO<sub>3</sub>)<sub>2</sub>.H<sub>2</sub>O vor [172]. Thermoanalytische Aussagen geben Aufschluss über den Wassergehalt im Kristall und über ablaufende thermische Zersetzungen. Die Wasser-, Sauerstoff- und Chlorabgaben werden quantitativ durch den gravimetrischen Masseverlust ( $\Delta$ m) beschrieben. Die Kurvenverläufe aus den TG/DSC-Untersuchungen an Mg(ClO<sub>3</sub>)<sub>2</sub>.6H<sub>2</sub>O, Ca(ClO<sub>3</sub>)<sub>2</sub>.2H<sub>2</sub>O, Sr(ClO<sub>3</sub>)<sub>2</sub> und Ba(ClO<sub>3</sub>)<sub>2</sub>.H<sub>2</sub>O sind in den Bildern 5.38 bis 5.39 dargestellt. Damit sind gleichzeitig die wichtigsten Erdalkalimetallchlorat(hydrat)e aus den Systemen MCl<sub>2</sub> + 2NaClO<sub>3</sub> = M(ClO<sub>3</sub>)<sub>2</sub> + 2NaCl/H<sub>2</sub>O (M = Mg<sup>2+</sup>, Ca<sup>2+</sup>, Sr<sup>2+</sup>, Ba<sup>2+</sup>) bei 25°C, 50°C und 75°C berücksichtigt.

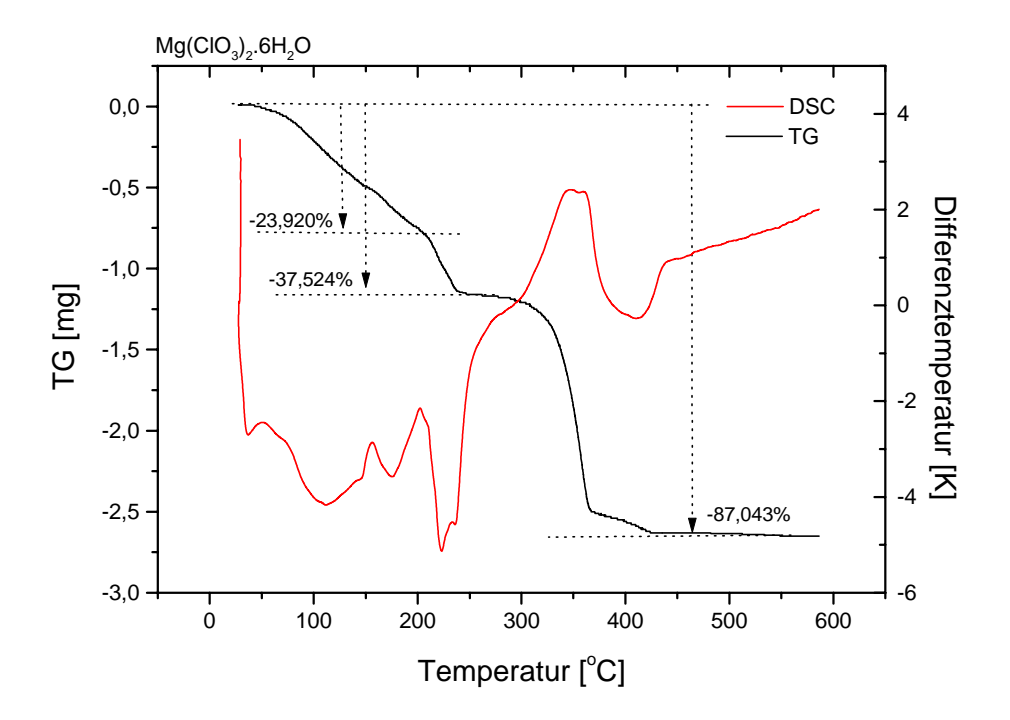


Bild 5.38: TG/DSC Kurvenverläufe von Mg(ClO<sub>3</sub>)<sub>2</sub>.6H<sub>2</sub>O

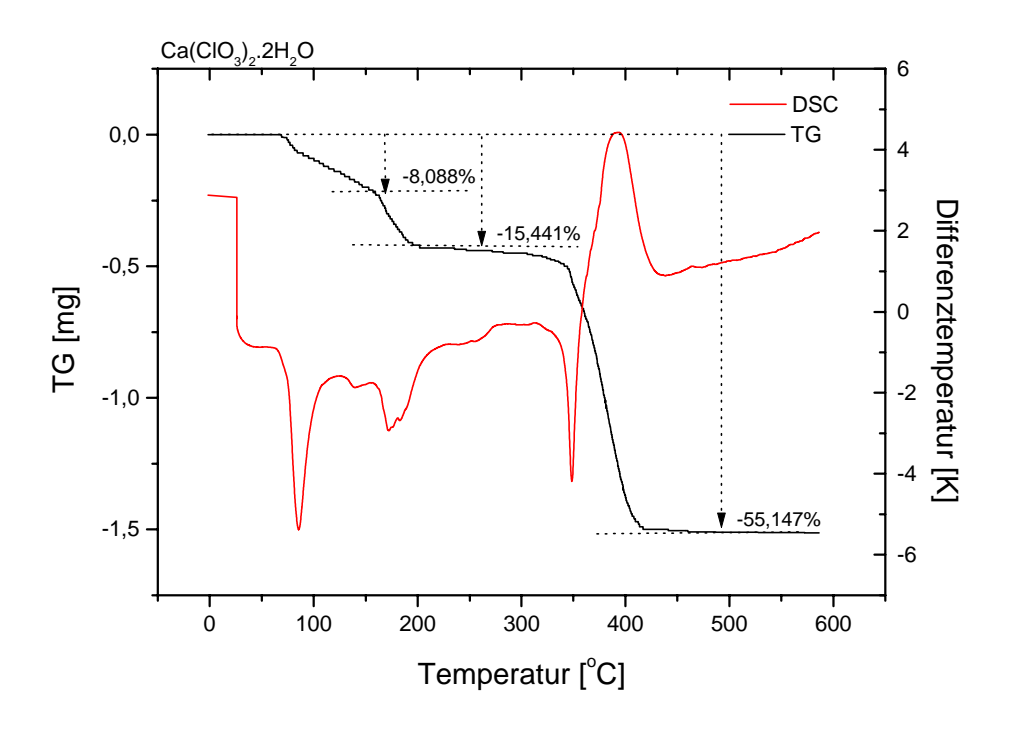


Bild 5.39: TG/DSC Kurvenverläufe von Ca(ClO<sub>3</sub>)<sub>2</sub>.2H<sub>2</sub>O

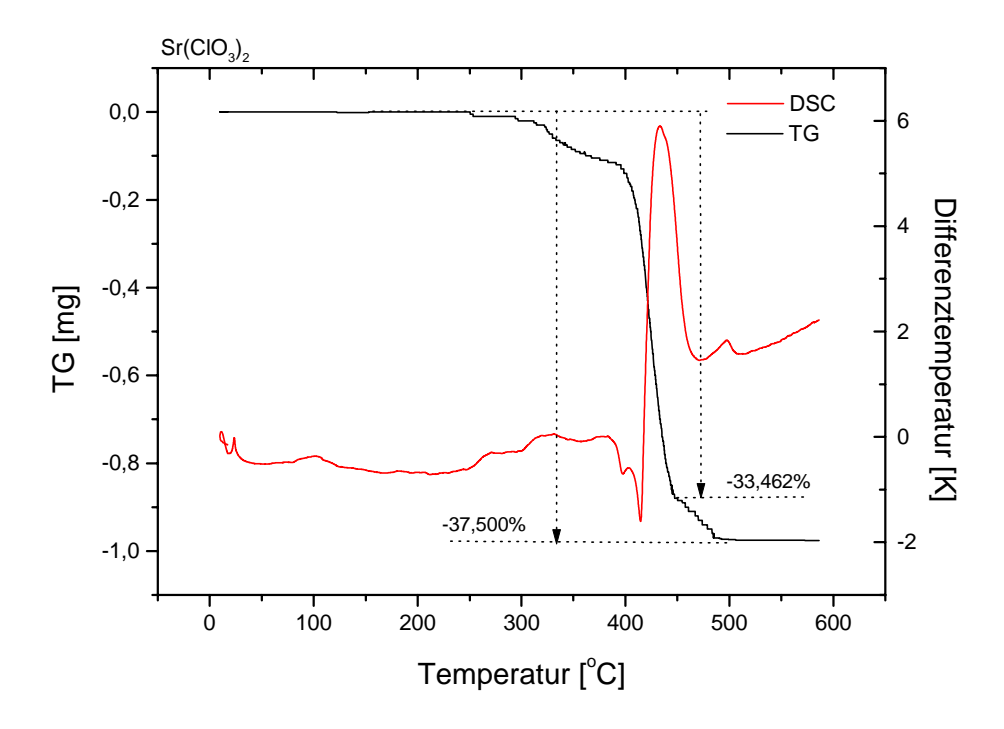


Bild 5.40: TG/DSC Kurvenverläufe von Sr(ClO<sub>3</sub>)<sub>2</sub>

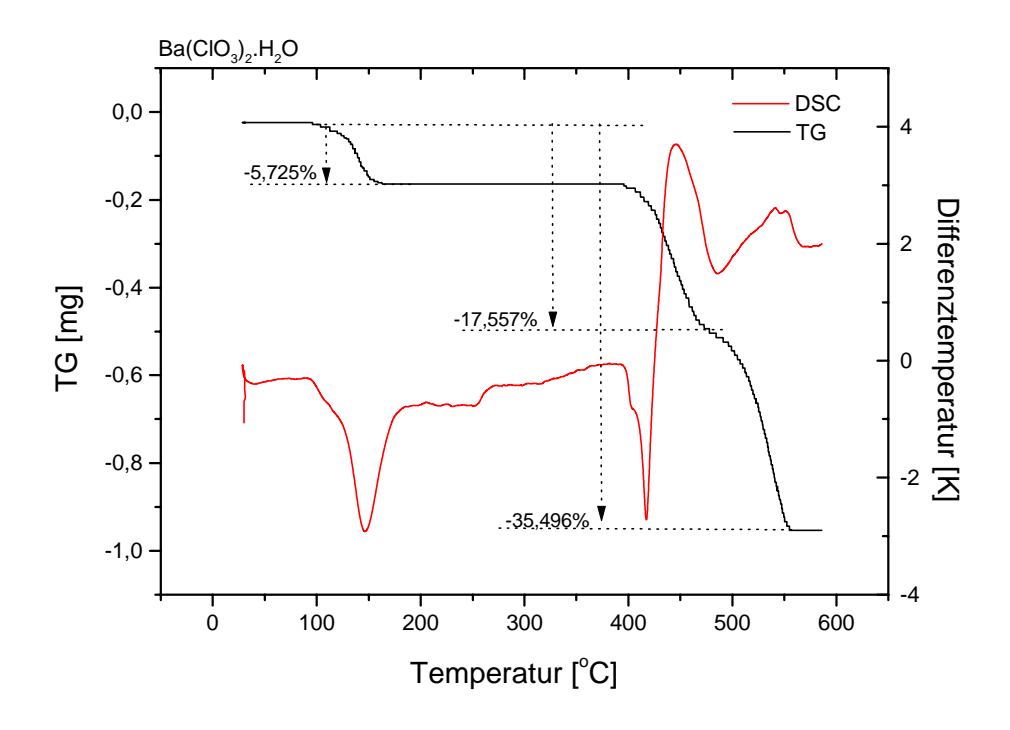


Bild 5.41: TG/DSC Kurvenverläufe von Ba(ClO<sub>3</sub>)<sub>2</sub>.H<sub>2</sub>O

Bei der Bilanzierung der Wasser-, Sauerstoff- und Chlorstoffverluste wird zwischen den experimentell ermittelten Masseverlusten ( $\Delta m_{exp.}$ ) und theoretischen Masseverlusten ( $\Delta m_{theo}$ ) unterschieden. Der Unterschied zwischen beiden Masseverlusten wird als  $\Delta m_{unt}$  in % ausgewiesen. Eine Übersicht zu den thermogravimetrisch ermittelten Masseverlusten im Vergleich mit theoretischen Masseverlusten enthält Tabelle 5.28.

Tabelle 5.28: Vergleiche der theoretischen Masseverluste mit den experimentellen thermogravimetrisch Masseverlusten von Erdalkalimetallchlorat(hydrat)en

lorat		,	Γheoretis	ch		E	xperimente	ell	q
Erdalkalimetallchlorat	ol imetall- orat	Verlust			$\Delta m_{ ext{theo.}}$	eratur °C]	$\Delta m_{ m exp.}$	phi	Δm-Unterschied [Δm <sub>unt.</sub> ] [%]
Erdalkal	Mol Erdalkalimetall- chlorat	H <sub>2</sub> O [mol]	O <sub>2</sub> [mol]	Cl <sub>2</sub> [mol]	[%]	Temperatur bis [°C]	[%]	Entalphi	Λm-[ <sub>2</sub>
6H <sub>2</sub> O	1	4			-24,076	206	-23,920	+	0,156
Mg(ClO <sub>3</sub> ) <sub>2</sub> .6H <sub>2</sub> O	1	6			-36,114	247	-37,542	+	1,428
Mg(C	2	12	5	2	-86,531	424	-87,043	-	0,512
H <sub>2</sub> O	1	1			-7,413	152	-8,088	+	0,675
Ca(ClO <sub>3</sub> ) <sub>2</sub> .2H <sub>2</sub> O	1	2			-14,827	202	-15,441	+	0,614
Ca(C	1	2	3		-54,330	417	-55,147	-	0,817
103)2	11		29		-33,144	450	-33,462	-	0,318
Sr(ClO <sub>3</sub> ) <sub>2</sub>	11		33		-37,716	491	-37,500	-	0,216
H <sub>2</sub> O	1	1			-5,589	163	-5,725	+	0,136
Ba(ClO <sub>3</sub> ) <sub>2</sub> .H <sub>2</sub> O	9	9	11		-17,725	484	-17,557	-	0,168
Ba(	9	9	27		-35,376	555	-35,496	-	0,120

Aus der Tabelle 5.28 ist zu entnehmen, dass die  $\Delta m$ -Unterschiede fast durchweg unter 1% liegen. Damit können die angenommenen Abbaumechanismen für die Ermittlung der Größen  $\Delta m_{theo.}$  als gute Grundlage für die weitere Betrachtung verwendet werden.

Beim Erhitzen der Erdalkalimetallchlorathydrate wird zunächst das Kristallwasser abgegeben, danach schmelzen und zersetzen sich die wasserfreien Erdalkalimetallchlorate.

#### Magnesiumchlorathexahydrat

Magnesiumchlorathexahydrat verliert vier Kristallwasser bei 43°C-206 °C. Die letzten zwei Kristallwasser werden bei 206°C-247°C abgegeben.

$$Mg(ClO_3)_2.6H_2O \xrightarrow{43^{\circ}C-206^{\circ}C} Mg(ClO_3)_2.2H_2O + 4H_2O$$
 endotherm (5.1)

$$Mg(ClO3)2.2H2O \xrightarrow{206°C-247°C} Mg(ClO3)2 + 2H2O endotherm (5.2)$$

Der TG-Kurvenverlauf zeigt erst bei 206°C nach dem Verlust der vier Kristallwasser von Mg(ClO<sub>3</sub>)<sub>2</sub>.6H<sub>2</sub>O einen Knick. Aber der DSC-Kurvenverlauf zeigt zwei endotherme Kurvenverläufe (43°C-155 °C und 155°-206 °C). Das heißt Mg(ClO<sub>3</sub>)<sub>2</sub>.6H<sub>2</sub>O verliert vier Kristallwasser in zwei Etappen. In jeder Etappe werden zwei Kristallwasser abgegeben.

Der Zerfall des Magnesiumchlorats in MgO, O<sub>2</sub> und Cl<sub>2</sub> bei 247°C-424°C ist exotherm nach der Reaktion

$$2 \text{ Mg(ClO}_3)_2 \xrightarrow{247^{\circ}C - 424^{\circ}C} 2 \text{ MgO} + 5 \text{ O}_2 + 2 \text{ Cl}_2$$
 exotherm (5.3)

Bild 5.42 zeigt das Röntgendiffraktrogramm von MgO als Endprodukt der thermischen Zersetzung von Mg(ClO<sub>3</sub>)<sub>2</sub>.6H<sub>2</sub>O.

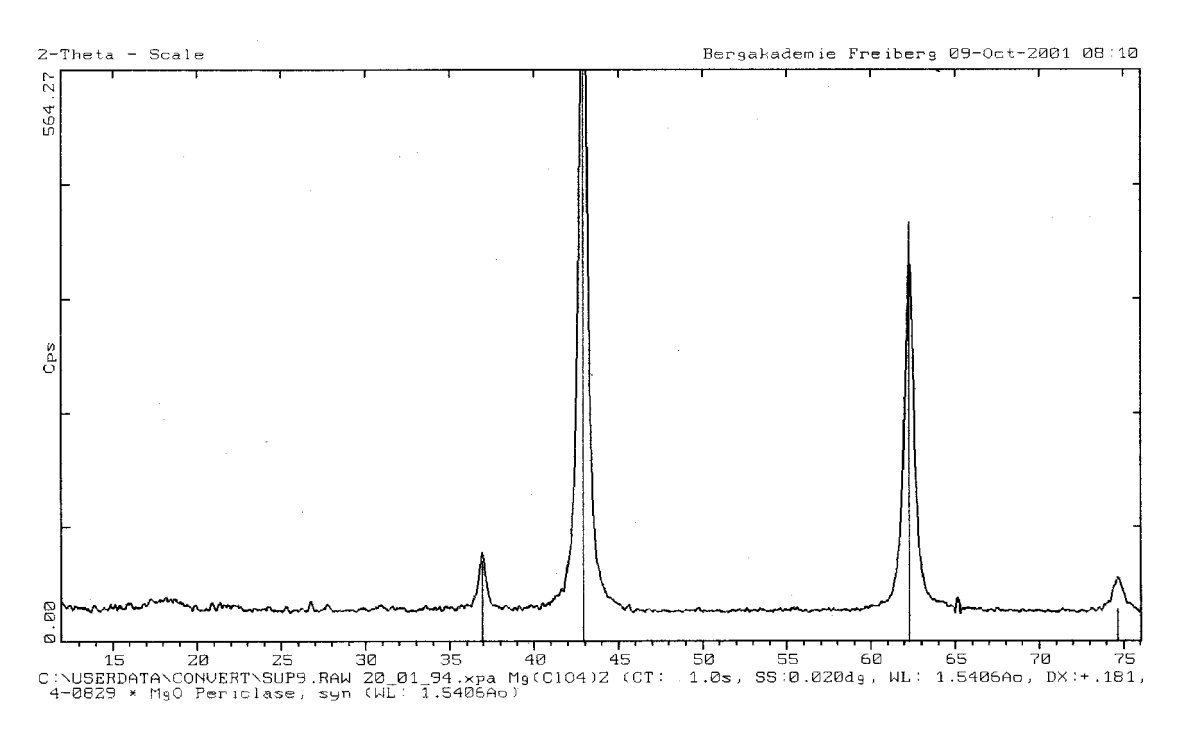


Bild 5.42: Röntgendiffraktrogramm von MgO als Endprodukt der thermischen Zersetzung von Mg(ClO<sub>3</sub>)<sub>2</sub>.6H<sub>2</sub>O

## Calciumchloratdihydrat

Calciumchloratdihydrat verliert das erste Kristallwasser bei 69°C–152 °C und das zweite bei 152°C–202°C (Reaktion 5.4 und 5.5).

$$Ca(ClO3)2.2H2O \xrightarrow{69^{\circ}C-152^{\circ}C} Ca(ClO3)2.H2O + H2O$$
 endotherm (5.4)

$$Ca(ClO3)2.H2O \xrightarrow{152^{\circ}C-202^{\circ}C} Ca(ClO3)2 + H2O$$
 endotherm (5.5)

Der Zerfall des wasserfreien Calciumchlorates in CaCl<sub>2</sub> und O<sub>2</sub> bei 300°C–417°C ist exotherm (Reaktion 5.6)

$$Ca(ClO_3)_2 \xrightarrow{300^{\circ}C-417^{\circ}C} CaCl_2 + 3 O_2$$
 exotherm (5.6)

Das erhaltene CaCl<sub>2</sub> als Endprodukt der thermischen Zersetzung von Ca(ClO<sub>3</sub>)<sub>2</sub> wurde über XRD-Pulver diffraktometrisch identifiziert. Das Diffraktrogramm ist im Bild 5.43 dargestellt.

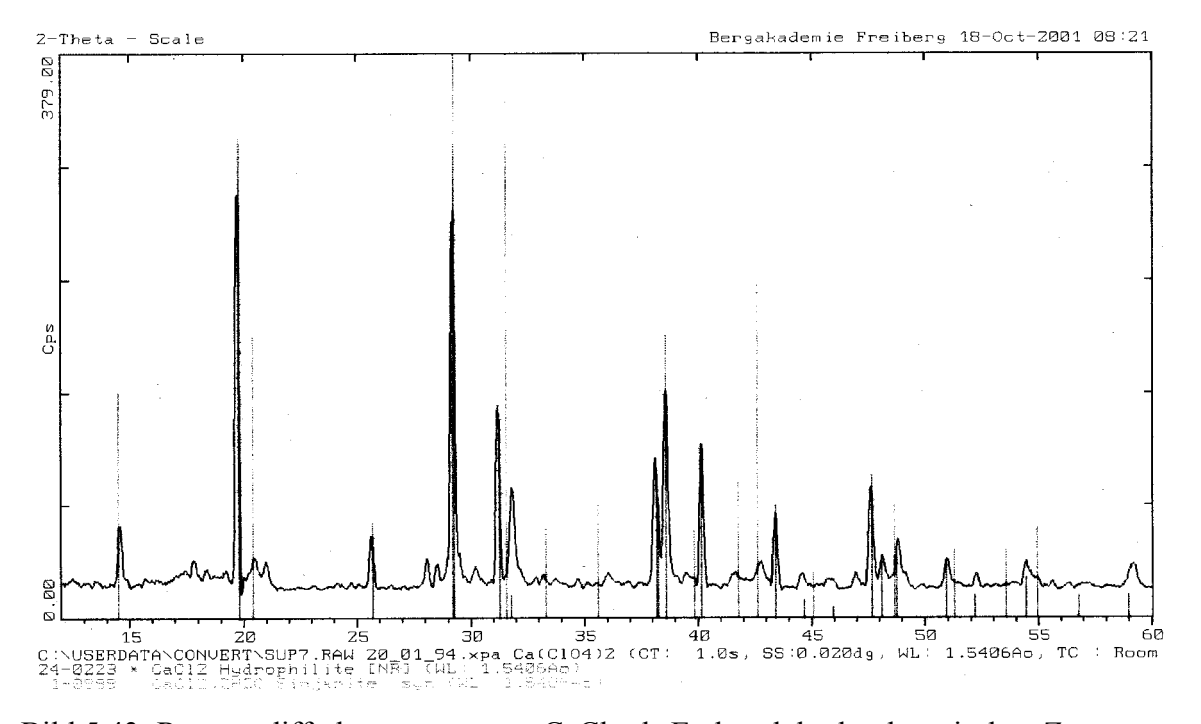


Bild 5.43: Röntgendiffraktrogramm von CaCl<sub>2</sub> als Endprodukt der thermischen Zersetzung von Ca(ClO<sub>3</sub>)<sub>2</sub>.2H<sub>2</sub>O

## **Strontiumchlorat**

Hier wird das wasserfreie Strontiumchlorat betrachtet. Es zersetzt sich erst bei 253°C-450°C in Sr(ClO<sub>4</sub>)<sub>2</sub>, SrCl<sub>2</sub> und O<sub>2</sub> nach der Reaktion 5.7

11 Sr(ClO<sub>3</sub>)<sub>2</sub> 
$$\xrightarrow{253^{\circ}C-450^{\circ}C}$$
 Sr(ClO<sub>4</sub>)<sub>2</sub> + 10 SrCl<sub>2</sub> + 29 O<sub>2</sub> exotherm (5.7)

Die Charakterisierung des erhaltenen Sr(ClO<sub>4</sub>)<sub>2</sub> erfolgt mit IR-Spektroskopie. Bild 5.44 zeigt das Spektrum vor und nach dem Erhitzen.

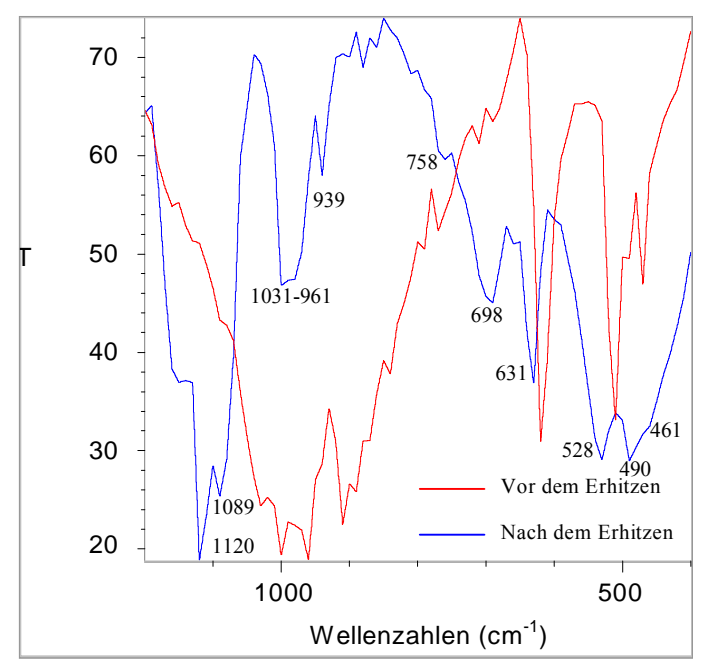


Bild 5.44: IR-Spektrum von Sr(ClO<sub>3</sub>)<sub>2</sub> (vor dem Erhitzen) und IR-Mischspektrum von Sr(ClO<sub>4</sub>)<sub>2</sub>, Sr(ClO<sub>3</sub>)<sub>2</sub> und SrCl<sub>2</sub> (nach dem Erhitzen)

In den Tabellen 5.29 und 5.30 werden Literaturwerte der IR-Schwingungsfrequenzen für Sr(ClO<sub>4</sub>)<sub>2</sub> und SrCl<sub>2</sub> mit eigenen Werten verglichen.

Tabelle 5.29: IR-Schwingungsfrequenzen für Strontiumperchlorat

Perchlorat	$v_1$ (a) [cm <sup>-1</sup> ]	υ <sub>2</sub> (e) [cm <sup>-1</sup> ]	υ <sub>3</sub> (f <sub>2</sub> ) [cm <sup>-1</sup> ]	$v_4$ (f <sub>2</sub> ) [cm <sup>-1</sup> ]	Literatur
Sr(ClO <sub>4</sub> ) <sub>2</sub>	939	461	1089 1120	631	
ClO <sub>4</sub> in der festen Phase	934-951	443-485	1065-1146	611-654	[169]

Chlorid	υ <sub>1</sub> [cm <sup>-1</sup> ]	υ <sub>2</sub> [cm <sup>-1</sup> ]	υ <sub>3</sub> [cm <sup>-1</sup> ]	Literatur
C <sub>rr</sub> C1	490		698	
SrCl <sub>2</sub>	528		758	
	490	560	700	
SrCl <sub>2</sub> .2H <sub>2</sub> O	520	600	720	[169]
			750	

Tabelle 5.30: IR-Schwingungsfrequenzen für Strontiumchlorid

IR-Spektren von  $Sr(ClO_4)_2$  in fester Phase sind nicht bekannt. Im Vergleich mit den Literaturwerten von anderen Perchlorat-Verbindungen in fester Phase korrelieren die eigenen Werte recht gut. Das Perchloration hat insgesamt vier Grundschwingungen  $\upsilon_1(a)$ ,  $\upsilon_2(e)$ ,  $\upsilon_3(f_2)$ , und  $\upsilon_4(f_2)$ . Eine symmetrische Grundschwingung zur Hauptsymmetrieachse des Moleküls  $(A_1)$ , eine zweifach entartete (E) und zwei dreifach entartete  $(F_2)$ .

Die Schwingungsfrequenzen von SrCl<sub>2</sub> liegen bei 490 cm<sup>-1</sup>, 528 cm<sup>-1</sup>, 698 cm<sup>-1</sup> und 758 cm<sup>-1</sup>. Beim SrCl<sub>2</sub> schwingen alle Sr<sup>2+</sup>-Ionen gleichzeitig gegen alle Cl<sup>-</sup>-Ionen. Die Schwingungsfrequenzen im Bereich von 961–1031 cm<sup>-1</sup> (Bild 5.44) sind von Sr(ClO<sub>3</sub>)<sub>2</sub>. Strontiumperchlorat zersetzt sich bei 450°C–491°C weiter (Reaktion 5.8).

$$Sr(ClO_4)_2 \xrightarrow{450^{\circ}C - 491^{\circ}C} SrCl_2 + 4O_2$$
 exotherm (5.8)

Bild 5.45 enthält das XRD-Spektrum SrCl<sub>2</sub> als Endprodukt der thermischen Zersetzung von Sr(ClO<sub>3</sub>)<sub>2</sub>.

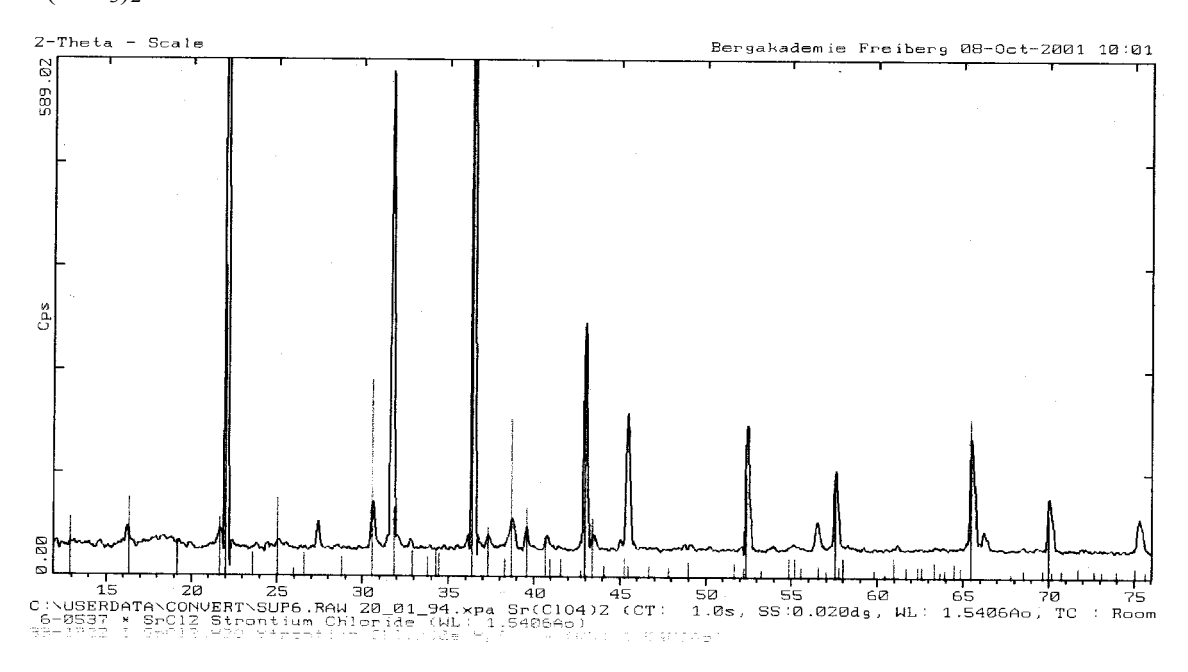


Bild 5.45: Röntgendiffraktrogamm von SrCl<sub>2</sub> als Endprodukt der thermischen Zersetzung von Sr(ClO<sub>3</sub>)<sub>2</sub>

#### **Bariumchloratmonohydrat**

Bariumchloratmonohydrat verliert Kristallwasser bei 96°C-163°C (Reaktion 5.9)

$$Ba(ClO3)2.H2O \xrightarrow{96^{\circ}C-163^{\circ}C} Ba(ClO3)2 + H2O$$
 endotherm (5.9)

Der erste O<sub>2</sub>-Verlust tritt bei 398°C–484°C ein (Reaktion 5.10)

$$9 \text{ Ba}(\text{ClO}_3)_2 \xrightarrow{398^{\circ}C - 484^{\circ}C} 4 \text{ Ba}(\text{ClO}_4)_2 + 5 \text{ BaCl}_2 + 11 \text{ O}_2 \quad \text{exotherm}$$
 (5.10)

Das erhaltene Ba(ClO<sub>4</sub>)<sub>2</sub> wird mittels IR-Spektroskopie identifiziert. Bild 5.46 zeigt das Spektrum vor und nach dem Erhitzen des Salzes.

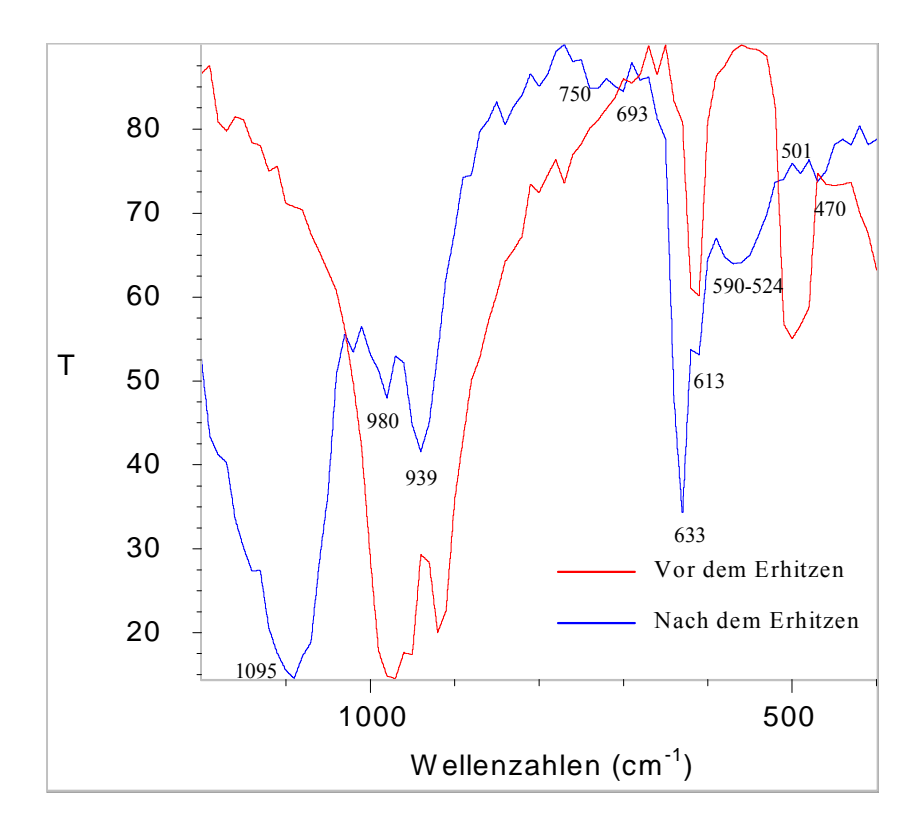


Bild 5.46: IR-Spektrum von Ba(ClO<sub>3</sub>)<sub>2</sub> (vor dem Erhitzen) und vom gemischten Abbauprodukt Ba(ClO<sub>4</sub>)<sub>2</sub>, Ba(ClO<sub>3</sub>)<sub>2</sub> und BaCl<sub>2</sub> (nach dem Erhitzen)

In den Tabellen 5.31 und 5.32 sind IR-Schwingungsfrequenzen von Ba(ClO<sub>4</sub>)<sub>2</sub> und BaCl<sub>2</sub> sowohl aus der Literatur als auch aus eigenen Messungen enthalten.

Tabelle 5.31: IR-Schwingungsfrequenzen für Bariumperchlorat

Perchlorat	υ <sub>1</sub> (a) [cm <sup>-1</sup> ]	υ <sub>2</sub> (e) [cm <sup>-1</sup> ]	$v_3$ (f <sub>2</sub> ) [cm <sup>-1</sup> ]	υ <sub>4</sub> (f <sub>2</sub> ) [cm <sup>-1</sup> ]	Literatur
Ba(ClO <sub>4</sub> ) <sub>2</sub>	939	470	1095	613 633	
Ba(ClO <sub>4</sub> ) <sub>2</sub> .H <sub>2</sub> O	940	470	1105	615 640	[169]

Tabelle 5.32: IR-Schwingungsfrequenzen für Bariumchlorid

Chlorid	υ <sub>1</sub> [cm <sup>-1</sup> ]	υ <sub>2</sub> [cm <sup>-1</sup> ]	Literatur
BaCl <sub>2</sub>	524-590	693-750	
BaCl <sub>2</sub> .2H <sub>2</sub> O	520-590	650-750	[169]

Aus den Tabellen 5.31 und 5.32 ist ersichtlich, dass die eigenen Werte mit den Literaturwerten gut korrelieren. Die Schwingungsfrequenzen des Bariumchlorates liegen im Bild 5.46 bei 501 cm<sup>-1</sup> und 980 cm<sup>-1</sup>.

Entstehendes Bariumperchlorat zersetzt sich bei 484°C-555°C weiter (Reaktion 5.11)

$$Ba(ClO4)2 \xrightarrow{484^{\circ}C-555^{\circ}C} BaCl2 + 4 O2 exotherm (5.11)$$

Das Bild 5.47 enthält das Röntgendiffraktrogamm des Endproduktes BaCl<sub>2</sub>.

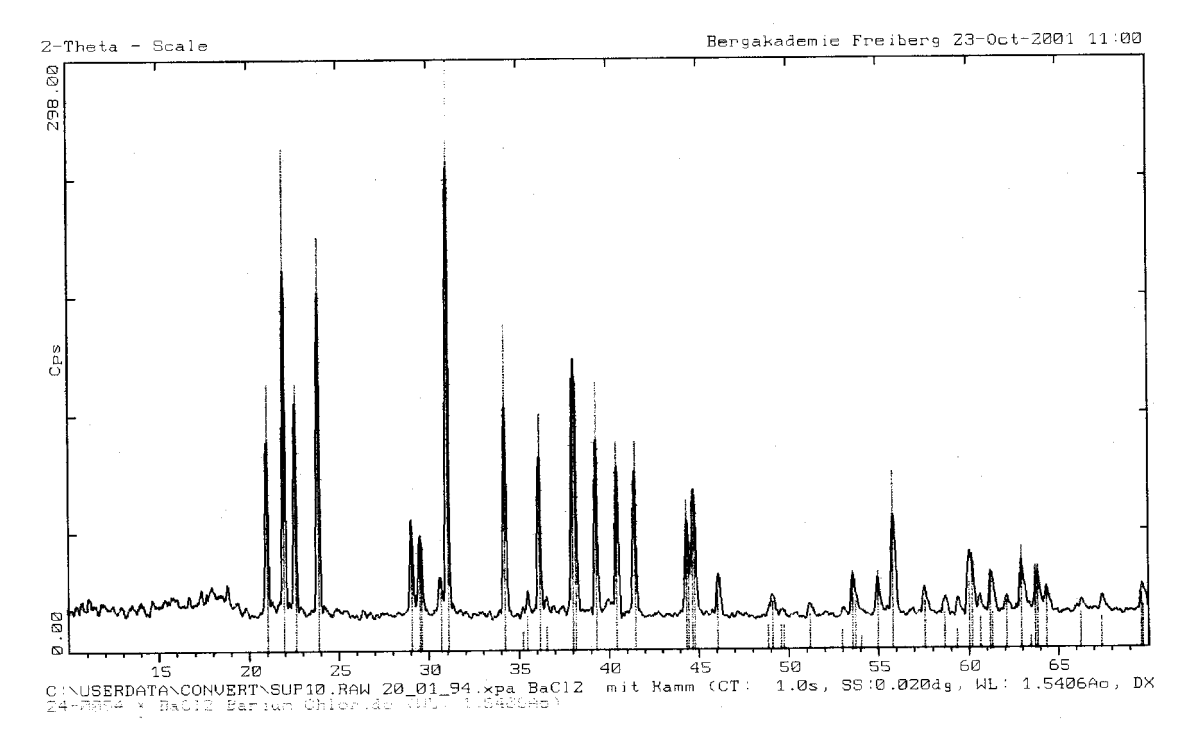


Bild 5.47: Röntgendiffraktrogramm von BaCl<sub>2</sub> als Endprodukt der thermischen Zersetzung von Ba(ClO<sub>3</sub>)<sub>2</sub>.H<sub>2</sub>O

# 6. Ableitung von Herstellungsverfahren für die Erdalkalimetallchlorate aus Natriumchlorat und den entsprechenden Erdalkalimetallchloriden

## 6.1 Herstellung von Magnesiumchlorat

Eine Übersicht zu dem System MgCl<sub>2</sub> + 2NaClO<sub>3</sub> = Mg(ClO<sub>3</sub>)<sub>2</sub> + 2NaCl/H<sub>2</sub>O bei 25°C, 50°C und 75°C mit den entsprechenden Hilfslinien zur Ableitung eines Verfahrens zur Herstellung von Magnesiumchlorat aus Natriumchlorat und Magnesiumchlorid enthält Bild 6.1.

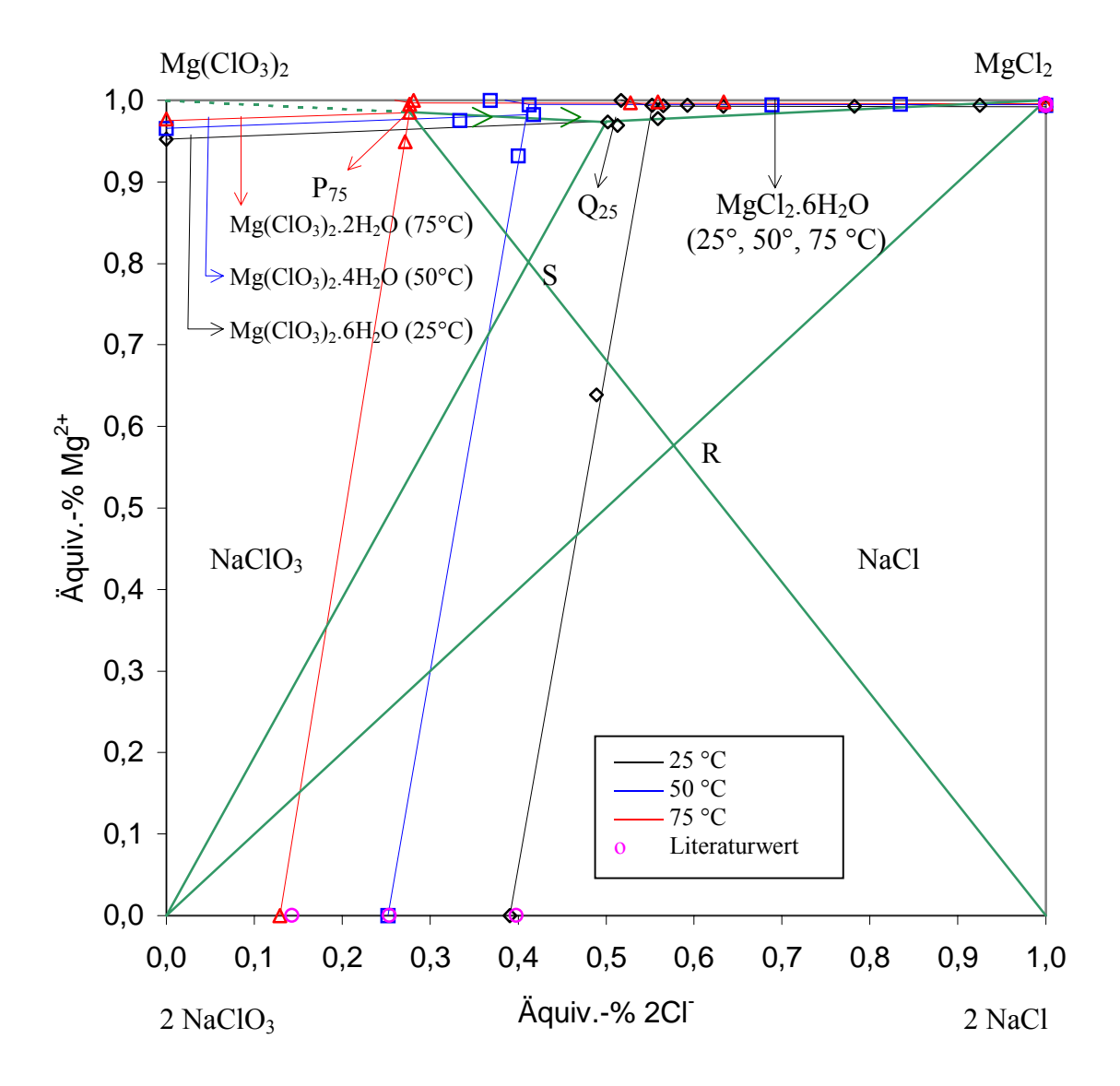


Bild 6.1: Gleichgewichte im System MgC1<sub>2</sub> + 2NaC1O<sub>3</sub> = Mg(ClO<sub>3</sub>)<sub>2</sub> + 2NaCl/H<sub>2</sub>O bei 25°C, 50°C und 75°C mit Hilfslinien zur Ableitung eines Verfahrens zur Herstellung von Magnesiumchlorat aus Natriumchlorat und Magnesiumchlorid

Danach ist die Umsetzung von NaClO<sub>3</sub> mit MgCl<sub>2</sub>.6H<sub>2</sub>O zu Mg(ClO<sub>3</sub>)<sub>2</sub>.6H<sub>2</sub>O und NaCl auf dem nachfolgend beschriebenen Weg möglich. NaClO3 und MgCl2.6H2O werden in der rückgeführten Lösung Q<sub>25</sub> bei 75°C verrührt. Die entsprechenden Komplexe aus Feststoff und Lösung liegen im Dreieck NaClO<sub>3</sub> - MgCl<sub>2</sub> - Q<sub>25</sub>. Große Teile dieses Dreiecks befinden sich bei 75°C im NaCl-Feld. Innerhalb des NaCl-Feldes hat der Punkt P<sub>75</sub> (Dreisalzpunkt NaCl-NaClO<sub>3</sub> - Mg(ClO<sub>3</sub>)<sub>2</sub>.2H<sub>2</sub>O) eine relativ niedrige NaCl-Konzentration und liegt außerdem so, dass es bei der Abkühlung der Lösung auf 25°C bis zum Punkt Q25 zur alleinigen Ausscheidung von Mg(ClO<sub>3</sub>)<sub>2</sub>.6H<sub>2</sub>O kommt. Um im Resultat des Verrührprozesses die Lösung P<sub>75</sub> und NaCl zu erhalten, müssen die Ausgangskomplexe auf dem Abschnitt R-S der Linie P<sub>75</sub>-NaCl liegen. Das so auskristallisierende NaCl wird abfiltriert. Wird die Lösung P<sub>75</sub> nun auf 25°C abgekühlt, so liegt sie bei 25°C im Existenzgebiet des Mg(ClO<sub>3</sub>)<sub>2</sub>.6H<sub>2</sub>O. Es muss also Mg(ClO<sub>3</sub>)<sub>2</sub>.6H<sub>2</sub>O auskristallisieren und die Zusammensetzung der Lösung muss sich in Richtung der Verlängerung der Linie Mg(ClO<sub>3</sub>) - P<sub>75</sub> bis zum Erreichen der nächsten Zweisalzlinie bewegen. Dies ist die Zweisalzlinie Mg(ClO<sub>3</sub>)<sub>2</sub>.6H<sub>2</sub>O - NaClO<sub>3</sub>. Entsprechend der Strecke P<sub>75</sub> - Q<sub>25</sub> kristallisiert Mg(ClO<sub>3</sub>)<sub>2</sub>.6H<sub>2</sub>O aus. Mg(ClO<sub>3</sub>)<sub>2</sub>.6H<sub>2</sub>O wird abfiltriert, die Lösung Q<sub>25</sub> aufgeheizt und für die erneute Synthese des Ausgangskomplexes im Dreieck NaClO<sub>3</sub> - MgCl<sub>2</sub> - Q<sub>25</sub> verwendet. Der Gesamtprozess läßt sich mit der Gleichung 6.1 beschreiben.

$$MgCl2.6H2O + 2NaClO3 + Lsg.Q25------ 2NaCl + Lsg.P75------ Lsg.Q25 + Mg(ClO3)2.6H2O$$

$$(5°C)$$

$$(6.1)$$

Es ist leicht zu sehen, dass dieser Prozess mit 100%iger Ausbeute ablaufen muss. Die Bilanzierung des Prozesses ist aber zur Ermittlung der Menge der Kreislauflösung erforderlich. Die Menge der Kreislauflösung ist ein Maß für die technische Eignung des Prozesses. Wenn das Verhältnis Kreislauflösung zur hergestellten Chloratmenge klein ist, sollte auch der ökonomische Aufwand für den Herstellungsprozess klein sein und umgekehrt. Für die Bilanzierung des Prozesses sind die Zusammensetzungen der Lösungen P<sub>75</sub> und Q<sub>25</sub> erforderlich. Die Zusammensetzung der Lösung P<sub>75</sub> ist aus den Gleichgewichtsuntersuchungen bekannt. Die Zusammensetzung der Lösung Q<sub>25</sub> wurde durch Abkühlung der Lösung P<sub>75</sub> auf 25°C gesondert für diese Bilanzierung bestimmt. Zur Vereinfachung der Rechnungen werden die Lösungszusammensetzungen in die Konzentrationsangabe mol/1000

mol H<sub>2</sub>O umgerechnet. Die Tabelle 6.1 enthält diese Werte.

Tabelle 6.1: Zusammensetzung der Lösungen  $P_{75}$  und  $Q_{25}$  im System  $MgCl_2 + 2NaClO_3 = Mg(ClO_3)_2 + 2NaCl/H_2O$ 

Lösung	Zusa	ımmensetz	rung in Masse	-%	Zusammensetzung in mol/1000 mol H <sub>2</sub> O				
Losung	NaCl	MgCl <sub>2</sub>	Mg(ClO <sub>3</sub> ) <sub>2</sub>	H <sub>2</sub> O	2NaCl	MgCl <sub>2</sub>	$Mg(ClO_3)_2$	H <sub>2</sub> O	
P <sub>75</sub>	0,54	7,82	43,31	48,33	1,7221	30,6135	84,4293	1000	
Q <sub>25</sub>	0,93	13,49	28,39	57,19	2,5064	44,6287	46,7700	1000	

Bei der Bilanzierung des Prozesses wird von einem Molteil der Lösung  $Q_{25}$  aus dem vorgelagerten Zyklus ausgegangen. Dieses Molteil wird neben  $MgCl_2.6H_2O$  und  $NaClO_3$  im Verrührprozess eingesetzt. (Gleichung 6.2). Im Resultat des Verrührungsprozesses werden n Molteile der Lösung  $P_{75}$  und z Mole (2NaCl) erhalten.

$$[2,5064(2NaCl) + 44,6287(MgCl2) + 46,7700(Mg(ClO3)2) + 1000(H2O)] + x (MgCl2.6H2O) + y (2NaClO3) = n [1,7221(2NaCl) + 30,6135(MgCl2) + 84,4293(Mg(ClO3)2) + 1000(H2O)] + z (2NaCl)$$
(6.2)

Ein Koeffizientenvergleich führt zur Bestimmung der Unbekannten.

$$2Na^{+}: 2,5064 + y = n \cdot 1,7221 + z$$
 (a)

$$Mg^{2+}: 44,6287 + 46,7700 + x = n \cdot 30,6135 + n \cdot 84,4293$$
 (b)

$$2Cl^{-}: 2,5064 + 44,6287 + x = n \cdot 1,7221 + n \cdot 30,6135 + z$$
 (c)

$$H_2O: 1000 + 6x = n.1000$$
 (d)

Aus b und d folgt:

$$n = 1.4580$$

Durch weiteres Einsetzen erhält man:

$$x = 76,3344$$
 $z = 76,3240$ 
 $y = 76,3285$ 

Im Verrührschritt werden damit 76,3 Mole (MgCl<sub>2</sub>.6H<sub>2</sub>O) und 76,3 Mole (2NaClO<sub>3</sub>) in ein

Molteil der Lösung Q<sub>25</sub> eingetragen. Im Resultat des Verrührprozesses werden 1,4580 Molteile der Lösung P<sub>75</sub> und 76,3 Mole (2NaCl) erhalten.

Für den Schritt der Abkühlung der Lösung P<sub>75</sub> und der Auskristallisation des Mg(ClO<sub>3</sub>)<sub>2</sub>.6H<sub>2</sub>O gilt die Bilanzgleichung 6.3:

$$1,4580 [1,7221 (2NaCl) + 30,6135 (MgCl2) + 84,4293 (Mg(ClO3)2) + 1000 (H2O)] = u (Mg(ClO3)2.6H2O) + m [2,5064 (2NaCl) + 44,6287 (MgCl2) + 46,7700 (Mg(ClO3)2) + 1000 (H2O)]$$

$$(6.3)$$

Es ist leicht zu sehen, dass m = 1 und u = 76,3344 sein muss. Dies ist lediglich durch den Koeffizientenvergleich zu bestätigen.

$$H_2O: 1,4580.1000 = 6u + 1000 m$$
 (e)

$$Mg^{2+}$$
: 1,4580 . 30,6135 + 1,4580 . 84,4293 = u + m . 44,6287 + m . 46,7700 (f)

$$u = 76,3344$$
  
 $m = 1$ 

Bild 6.2 enthält ein Verfahrensschema für einen Prozess zur Herstellung von Mg(ClO<sub>3</sub>)<sub>2</sub>.6H<sub>2</sub>O aus NaClO<sub>3</sub> und MgCl<sub>2</sub>.6H<sub>2</sub>O. Dieses Schema erhebt keinen Anspruch auf unmittelbare technische Übertragbarkeit. Insbesondere muss noch die Waschung des Produktes vor der Trocknung bei Ausgleich der Wasserbilanz untersucht werden. Bei den experimentellen Arbeiten wurde außerdem gefunden, dass man durch Extraktion mit Aceton bei 30°C und Tiefkühlung der Extraktionslösung ein hochreines Mg(ClO<sub>3</sub>)<sub>2</sub>.6H<sub>2</sub>O herstellen kann.

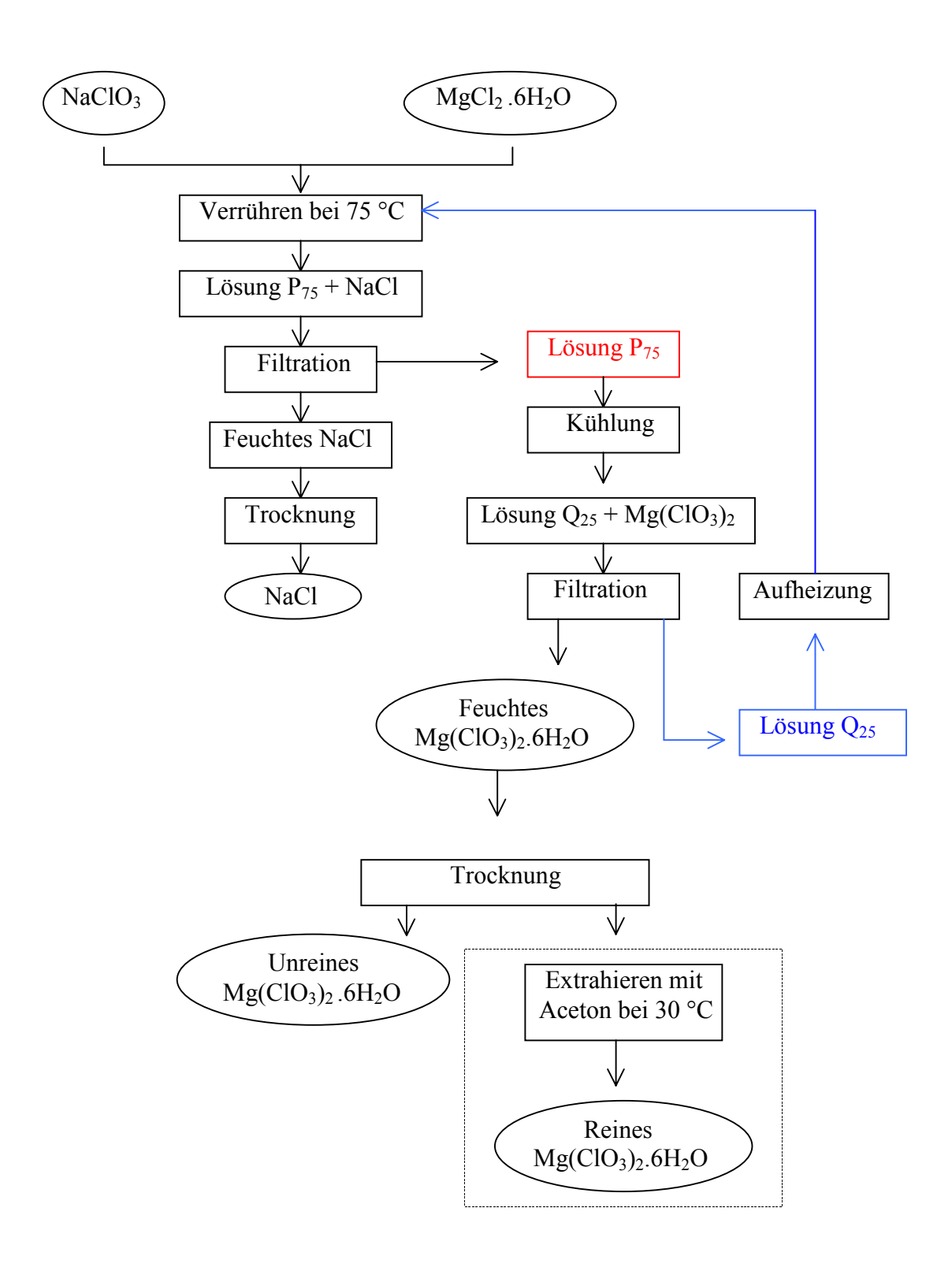


Bild 6.2: Verfahrensschema zur Herstellung von Magnesiumchlorat aus Natriumchlorat und Magnesiumchlorid

## 6.2 Herstellung von Calciumchlorat

Die zunächst notwendige Übersicht zu dem System  $CaCl_2 + 2NaClO_3 = Ca(ClO_3)_2 + 2NaCl/H_2O$  bei 25°C, 50° und 75°C mit den entsprechenden Hilfslinien zur Ableitung eines Verfahrens zur Herstellung von Calciumchlorat aus Natriumchlorat und Calciumchlorid enthält Bild 6.3.

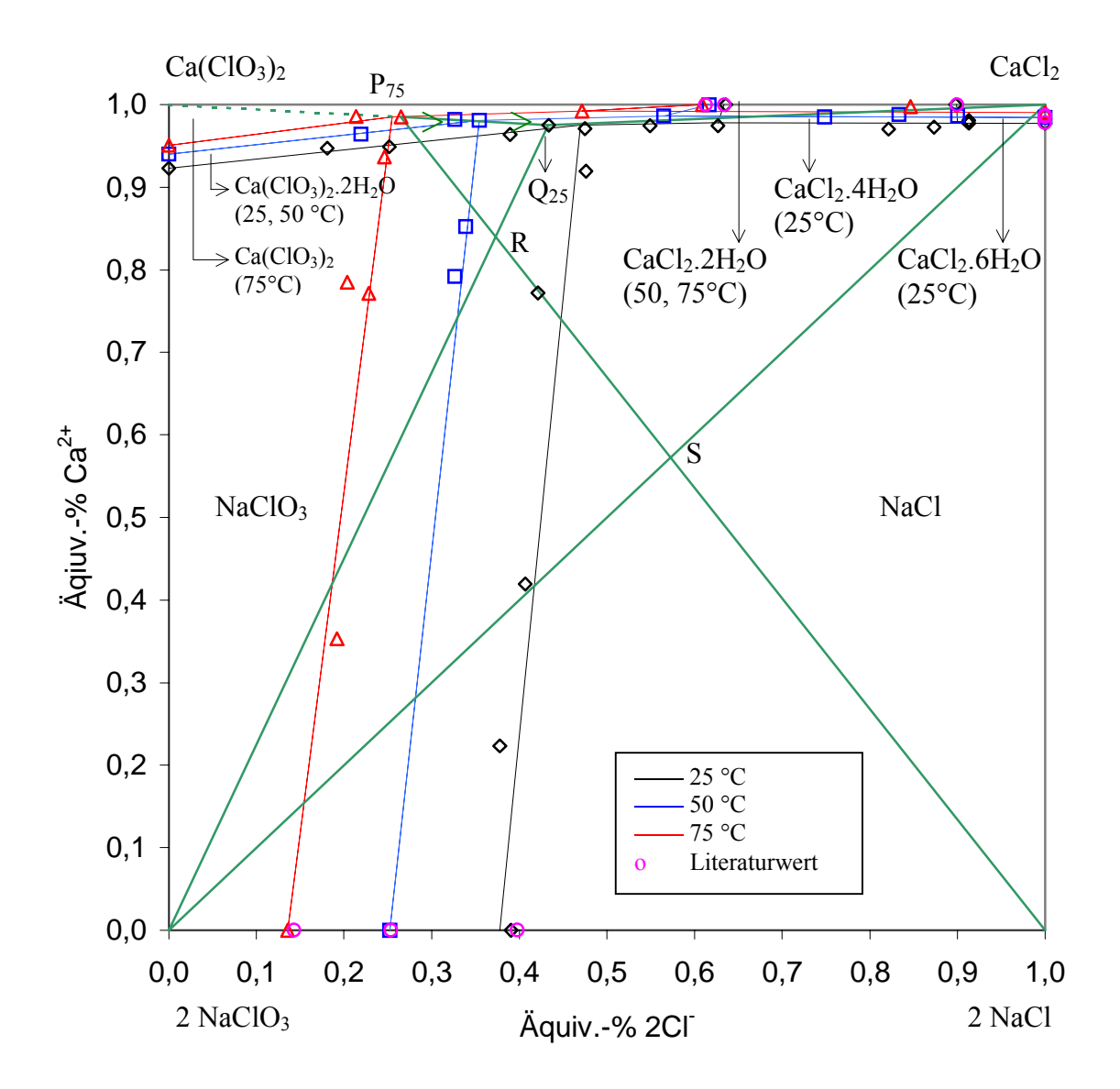


Bild 6.3: Gleichgewichte im System CaCl<sub>2</sub> + 2NaClO<sub>3</sub> = Ca(ClO<sub>3</sub>)<sub>2</sub> + 2NaCl/H<sub>2</sub>O bei 25°C, 50°C und 75°C mit Hilfslinien zur Ableitung eines Verfahrens zur Herstellung von Calciumchlorat aus Natriumchlorat und Calciumchlorid

Grundsätzlich liegen die Verhältnisse hier ähnlich wie beim System MgCl<sub>2</sub> + 2NaClO<sub>3</sub> = Mg(ClO<sub>3</sub>)<sub>2</sub> + 2NaCl/H<sub>2</sub>O. In diesem Fall werden NaClO<sub>3</sub> und CaCl<sub>2</sub>.2H<sub>2</sub>O in der rückgeführten Lösung Q<sub>25</sub> verrührt. Die entsprechenden Komplexe aus Feststoff und Lösung liegen jetzt im Dreieck NaClO<sub>3</sub> - CaCl<sub>2</sub> - Q<sub>25</sub>. Große Teile dieses Dreiecks befinden sich bei 75°C im NaCl-Feld. Die Komplexe können also zu NaCl und einer Lösung zerfallen. Innerhalb des NaCl-Feldes hat die Lösung P<sub>75</sub> die niedrigste NaCl-Konzentration. Darum ist es vorteilhaft, wenn sie im Resultat des Zerfalls der Komplexe aus dem Verrührprozess entsteht. Um dies zu erreichen, müssen die Ausgangskomplexe auf dem Abschnitt R-S der Linie P<sub>75</sub> - NaCl liegen. Das so auskristallisierte NaCl wird abgefiltert. Bei Abkühlung der Lösung P<sub>75</sub> kristallisiert jetzt entsprechend der Strecke P<sub>75</sub> - Q<sub>25</sub> Ca(ClO<sub>3</sub>)<sub>2</sub>.2H<sub>2</sub>O aus. Dieses Ca(ClO<sub>3</sub>)<sub>2</sub>.2H<sub>2</sub>O wird abfiltriert und die Lösung Q<sub>25</sub> für die erneute Synthese des Ausgangskomplexes aufgeheizt. Der Gesamtprozess läßt sich mit der Gleichung 6.4 beschreiben.

Rühren Kühlung
$$CaCl_{2}.2H_{2}O + 2NaClO_{3} + Lsg.Q_{25} ------ 2NaCl + Lsg.P_{75} ------ Lsg.Q_{25} + Ca(ClO_{3})_{2}.2H_{2}O$$

$$(75^{\circ}C) \qquad (25^{\circ}C)$$

$$Filtration \qquad (6.4)$$

Für die Bilanzierung muss wieder die Zusammensetzung der Lösungen  $P_{75}$  und  $Q_{25}$  bekannt sein. Die Tabelle 6.2 enthält die notwendigen Werte in den Konzentrationsangaben Masse-% und mol/1000 mol  $H_2O$ .

Tabelle 6.2: Zusammensetzung der Lösungen  $P_{75}$  und  $Q_{25}$  im System  $CaCl_2 + 2NaClO_3 = Ca(ClO_3)_2 + 2NaCl/H_2O$ 

Lösung	Zusa	mmensetz	ung in Masse	e-%	Zusammensetzung in mol/1000 mol H <sub>2</sub> O				
Losung	NaCl	CaCl <sub>2</sub>	Ca(ClO <sub>3</sub> ) <sub>2</sub>	H <sub>2</sub> O	2NaCl CaCl <sub>2</sub>		Ca(ClO <sub>3</sub> ) <sub>2</sub>	H <sub>2</sub> O	
P <sub>75</sub>	0,64	10,20	55,94	33,22	2,9693	49,8377	146,5655	1000	
Q <sub>25</sub>	0,99	15,63	40,37	43,01	3,5477	58,9858	81,6955	1000	

$$2NaCl = 116,886$$
;  $CaCl_2 = 110,99$ ;  $Ca(ClO_3)_2 = 206,982$ ;  $H_2O = 18,0153$ 

Bei der Bilanzierung wird wie unter 6.1 beim System  $MgCl_2 + 2NaClO_3 = Mg(ClO_3)_2 + 2NaCl/H_2O$  vorgegangen.

[3,5477 (2NaCl) + 58,9858 (CaCl<sub>2</sub>) + 81,6955 (Ca(ClO<sub>3</sub>)<sub>2</sub>) + 1000 (H<sub>2</sub>O)] + x (CaCl<sub>2</sub>.2H<sub>2</sub>O) + y (2NaClO<sub>3</sub>) = n [2,9693 (2NaCl) + 49,8377 (CaCl<sub>2</sub>) + 146,5655 (Ca(ClO<sub>3</sub>)<sub>2</sub>) + 1000 (H<sub>2</sub>O)] + z (2NaCl)

$$(6.5)$$

$$2Na^{+}: 3,5477 + y = n \cdot 2,9693 + z$$
 (a)

$$Ca^{2+}$$
: 58,9858 + 81,6955 + x = n . 49,8377 + n . 146,5655 (b)

$$2Cl^{-}: 3,5477 + 58,9858 + x = n \cdot 2,9693 + n \cdot 49,8377 + z$$
 (c)

$$H_2O: 1000 + 2x = n.1000$$
 (d)

Aus b und d folgt

$$n = 1,1835$$

Durch weiteres Einsetzen erhält man:

$$x = 91,7697$$

$$z = 91,8039$$

$$y = 91,7705$$

Im Verrührschritt werden damit 91,8 Mole CaCl<sub>2</sub>.2H<sub>2</sub>O und 91,8 Mole 2NaClO<sub>3</sub> in ein Molteil der Lösung Q<sub>25</sub> eingetragen. Im Resultat des Verrührprozesses werden 1,1835 Molteile der Lösung P<sub>75</sub> und 91,8 Mole (2NaCl) erhalten.

Für den Schritt der Abkühlung der Lösung P<sub>75</sub> gilt die Bilanzgleichung 6.6

1,1835 [2,9693 (2NaCl) + 49,8377 (CaCl<sub>2</sub>) + 146,5655 (Ca(ClO<sub>3</sub>)<sub>2</sub>) + 1000 (H<sub>2</sub>O)] = u Ca(ClO<sub>3</sub>)<sub>2</sub> .2H<sub>2</sub>O + m [3,5477 (2NaCl) + 58,9858 (CaCl<sub>2</sub>) + 81,6955 (Ca(ClO<sub>3</sub>)<sub>2</sub>) + 1000 (H<sub>2</sub>O)]

(6.6)

$$Ca^{2+}$$
: 1,1835 . 49,8377 + 1,1835 . 146,5655 = u + m . 58,9858 + m . 81,6955 (e)

$$H_2O: 1,1835.1000 = 2.u + m.1000$$
 (f)

$$m = 1$$
  
 $u = 91,7697$ 

Bild 6.4 enthält ein Verfahrensschema zur Herstellung von Ca(ClO<sub>3</sub>)<sub>2</sub>.2H<sub>2</sub>O aus NaClO<sub>3</sub> und CaCl<sub>2</sub>.2H<sub>2</sub>O. Bezüglich der Übertragbarkeit in technischen Größenordnungen gelten die gleichen Aussagen wie beim Mg(ClO<sub>3</sub>)<sub>2</sub>.6H<sub>2</sub>O-Herstellungsprozess. Auch hier wurde gefunden, dass man durch Extraktion mit Aceton ein hochreines Ca(ClO<sub>3</sub>)<sub>2</sub> herstellen kann.

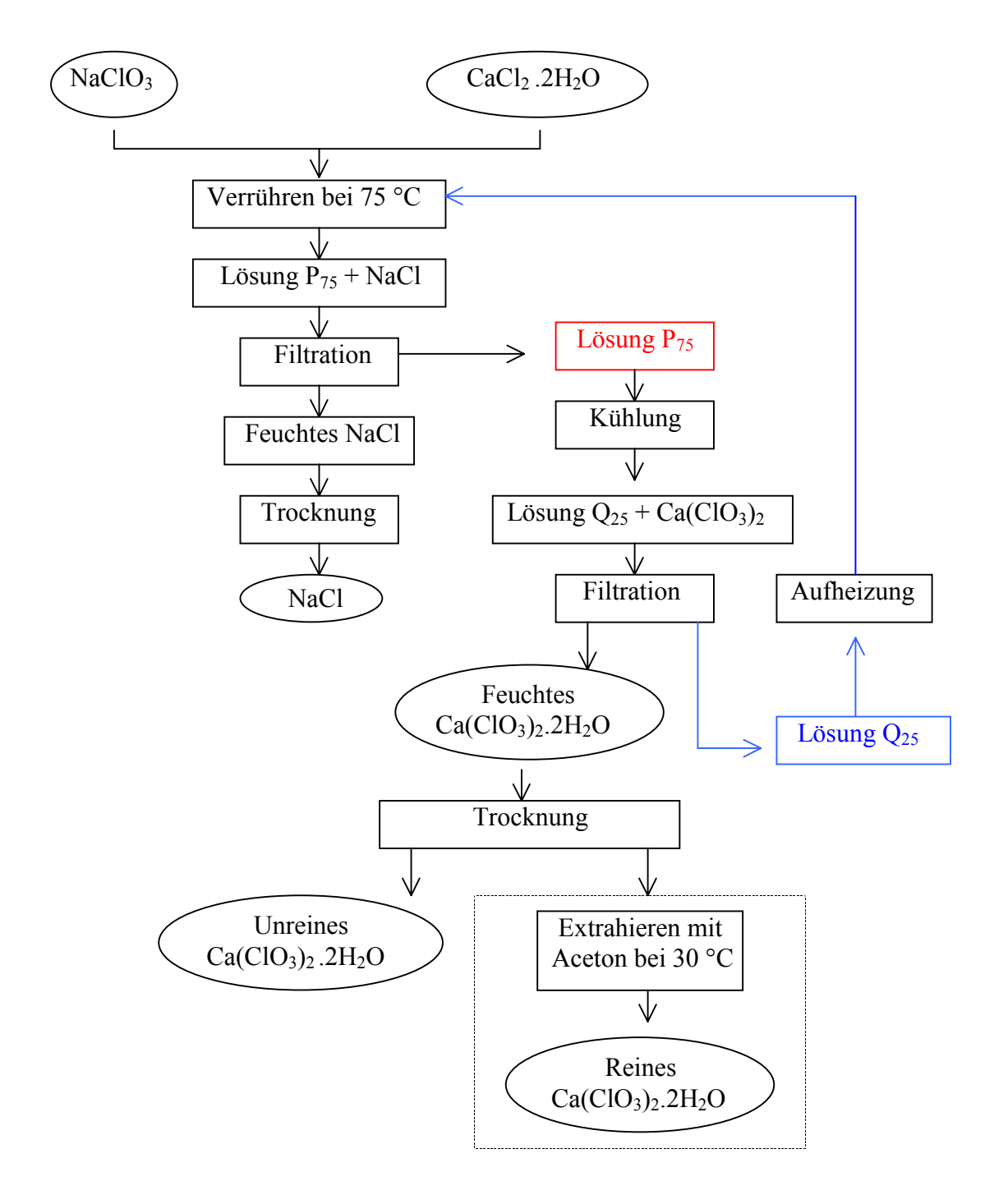


Bild 6.4: Verfahrensschema zur Herstellung von Calciumchlorat aus Natriumchlorat und Calciumchlorid

## 6.3 Herstellung von Strontiumchlorat

Das Bild 6.5 enthält zunächst wieder die notwendige Übersicht zu dem System  $SrCl_2 + 2NaClO_3 = Sr(ClO_3)_2 + 2NaCl/H_2O$  bei 25°C, 50°C und 75°C mit den entsprechenden Hilfslinien zur Ableitung eines Verfahrens zur Herstellung von Strontiumchlorat aus Natriumchlorat und Strontiumchlorid.

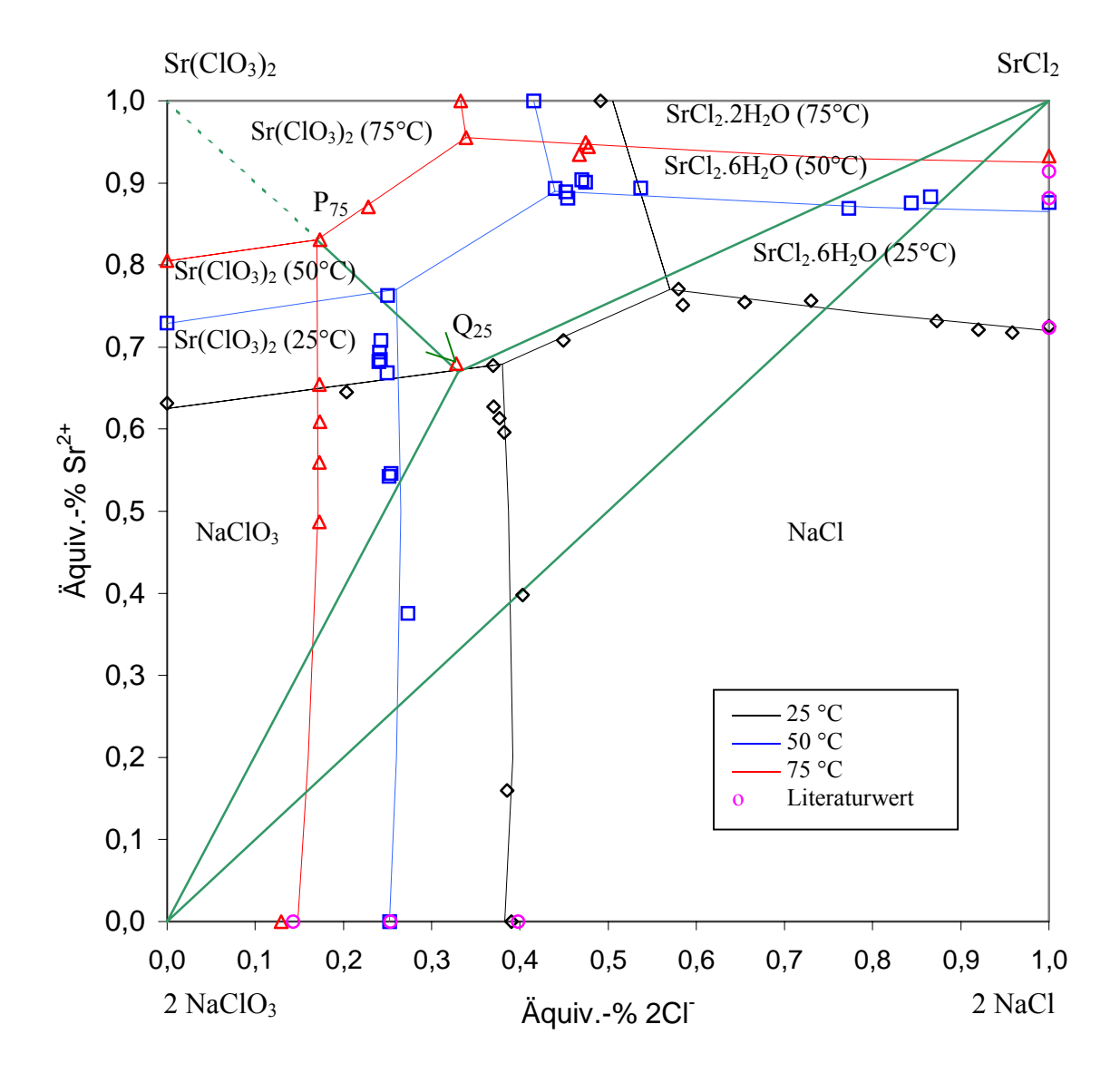


Bild 6.5: Gleichgewichte im System SrCl<sub>2</sub> + 2NaClO<sub>3</sub> = Sr(ClO<sub>3</sub>)<sub>2</sub> + 2NaCl/H<sub>2</sub>O bei 25°C, 50°C und 75°C mit Hilfslinien zur Ableitung eines Verfahrens zur Herstellung von Strontiumchlorat aus Natriumchlorat und Strontiumchlorid

In diesem Fall hat das System fast ein Aussehen, wie man es für den einfachsten Fall einer polythermen reziproken Umsetzung annimmt. Die Abweichung vom Idealfall besteht lediglich darin, dass die Dreisalzpunkte NaCl-NaClO<sub>3</sub>-Sr(ClO<sub>3</sub>)<sub>2</sub> bei 25°C und 50°C inkongruent gesättigt sind. Trotzdem braucht man praktisch nur auf der Diagonalen SrClO<sub>3</sub>-NaCl zwischen den Punkten P<sub>75</sub> und Q<sub>25</sub> zu pendeln. Strontiumchlorid und Natriumchlorat werden in der rückgeführten Lösung Q<sub>25</sub> bei 75°C verrührt. Im Resultat des Verrührprozesses fallen die Lösung P<sub>75</sub> und Natriumchlorid an. Natriumchlorid wird abfiltriert und die Lösung P<sub>75</sub> auf 25°C abgekühlt. Wegen der inkongruenten Sättigung des Dreisalzpunktes NaCl-NaClO<sub>3</sub>-Sr(ClO<sub>3</sub>)<sub>2</sub> wird bei der Abkühlung nicht die Zweisalzlinie Sr(ClO<sub>3</sub>)<sub>2</sub>-NaCl, sondern die Zweisalzlinie NaClO<sub>3</sub>-Sr(ClO<sub>3</sub>)<sub>2</sub> erreicht. Bei der Abkühlung wird offenbar das Existenzgebiet des Natriumchlorates durchschritten. Dies erscheint jedoch unerheblich. Es sollte danach schnell wieder zur Gleichgewichtseinstellung und Aufzehrung des zwischenzeitlich ausgeschiedenen Natriumchlorates kommen. Nach der Abkühlung wird das Strontiumchlorat abfiltriert und die Lösung Q<sub>25</sub> für den nächsten Zyklus verwendet. Der Gesamtprozess läßt sich mit der Gleichung 6.7 beschreiben.

Rühren Kühlung 
$$SrCl_2 + 2NaClO_3 + Lsg.Q_{25} ----- 2NaCl + Lsg.Q_{75} ----- Lsg.Q_{25} + Sr(ClO_3)_2$$

$$(75^{\circ}C) \qquad (25^{\circ}C) \qquad (6.7)$$

$$Filtration$$

Für die Bilanzierung dieses Prozesses wird die Zusammensetzung der Lösungen P<sub>75</sub> und Q<sub>25</sub> benötigt (Tabelle 6.3).

Tabelle 6.3: Zusammensetzung der Lösungen  $P_{75}$  und  $Q_{25}$  im System  $SrCl_2 + 2NaClO_3 = Sr(ClO_3)_2 + 2NaCl/H_2O$ 

Lösung	Zusa	mmensetz	ung in Masse	e-%	Zusammensetzung in mol/1000 mol H <sub>2</sub> O			
Losung	NaCl SrCl <sub>2</sub>		Sr(ClO <sub>3</sub> ) <sub>2</sub> H <sub>2</sub> O		2NaCl SrCl <sub>2</sub>		Sr(ClO <sub>3</sub> ) <sub>2</sub>	H <sub>2</sub> O
P <sub>75</sub>	5,26	0,17	55,92	38,65	20,9756	0,4998	102,4080	1000
Q <sub>25</sub>	7,70	0,25	35,21	56,84	20,8793	0,4998	43,8458	1000

$$2NaCl = 116,886$$
;  $SrCl_2 = 158,53$ ;  $Sr(ClO_3)_2 = 254,522$ ;  $H_2O = 18,0153$ 

Bei der Bilanzierung wird wieder wie unter 6.1 bzw. 6.2 vorgegangen.

$$[20,8793 (2NaCl) + 0,4998 (SrCl2) + 43,8458 (Sr(ClO3)2) + 1000 (H2O)] + x SrCl2 + y (2NaClO3) = [20,9756 (2NaCl) + 0,4998 (SrCl2) + 102,4080 (Sr(ClO3)2) + 1000 (H2O)] + z (2NaCl)$$
(6.8)

$$2Na^{+}$$
:  $20,8793 + y = 20,9756 + z$  (a)

$$Sr^{2+}: 0,4998 + 43,8458 + x = 0,4998 + 102,4080$$
 (b)

$$2C1^{-}: 20,8793 + 0,4998 + x = 20,9756 + 0,4998 + z$$
 (c)

Aus b folgt:

$$x = 58,5622$$

Durch weiteres Einsetzen erhält man:

$$z = 58,4658$$

$$y = 58,5622$$

Im Verrührschritt werden damit 58,6 Mole (SrCl<sub>2</sub>) und 58,6 Mole (2NaClO<sub>3</sub>) in ein Molteil der Lösung Q<sub>25</sub> eingetragen. Im Resultat des Verrührprozesses werden 1 Molteil der Lösung P<sub>75</sub> und 58,5 Mole (2NaCl) erhalten.

Für den Schritt der Abkühlung der Lösung P<sub>75</sub> und der Auskristallisation des Sr(ClO<sub>3</sub>)<sub>2</sub> gilt die Bilanzgleichung 6.9:

$$[20,9756 (2NaCl) + 0,4998 (SrCl2) + 102,4080 (Sr(ClO3)2) + 1000 (H2O)] = u (Sr(ClO3)2) + [20,8793 (2NaCl) + 0,4998 (SrCl2) + 43,8458 (Sr(ClO3)2) + 1000 (H2O)]$$
(6.9)

$$Sr^{2+}$$
: 0,4998 + 102,4080 = u + 0,4998 + 43,8458 (d)  
 $u = 58,5608$ 

Bild 6.6 enthält ein Verfahrensschema für einen Prozess zur Herstellung von Strontiumchlorat aus NaClO<sub>3</sub> und SrCl<sub>2</sub>. Bezüglich der Übertragbarkeit in technische Größenordnungen und der Herstellung eines hochreinen Produktes wird auf die Kapitel 6.1 bzw. 6.2 verwiesen. Die Aussagen sind analog.

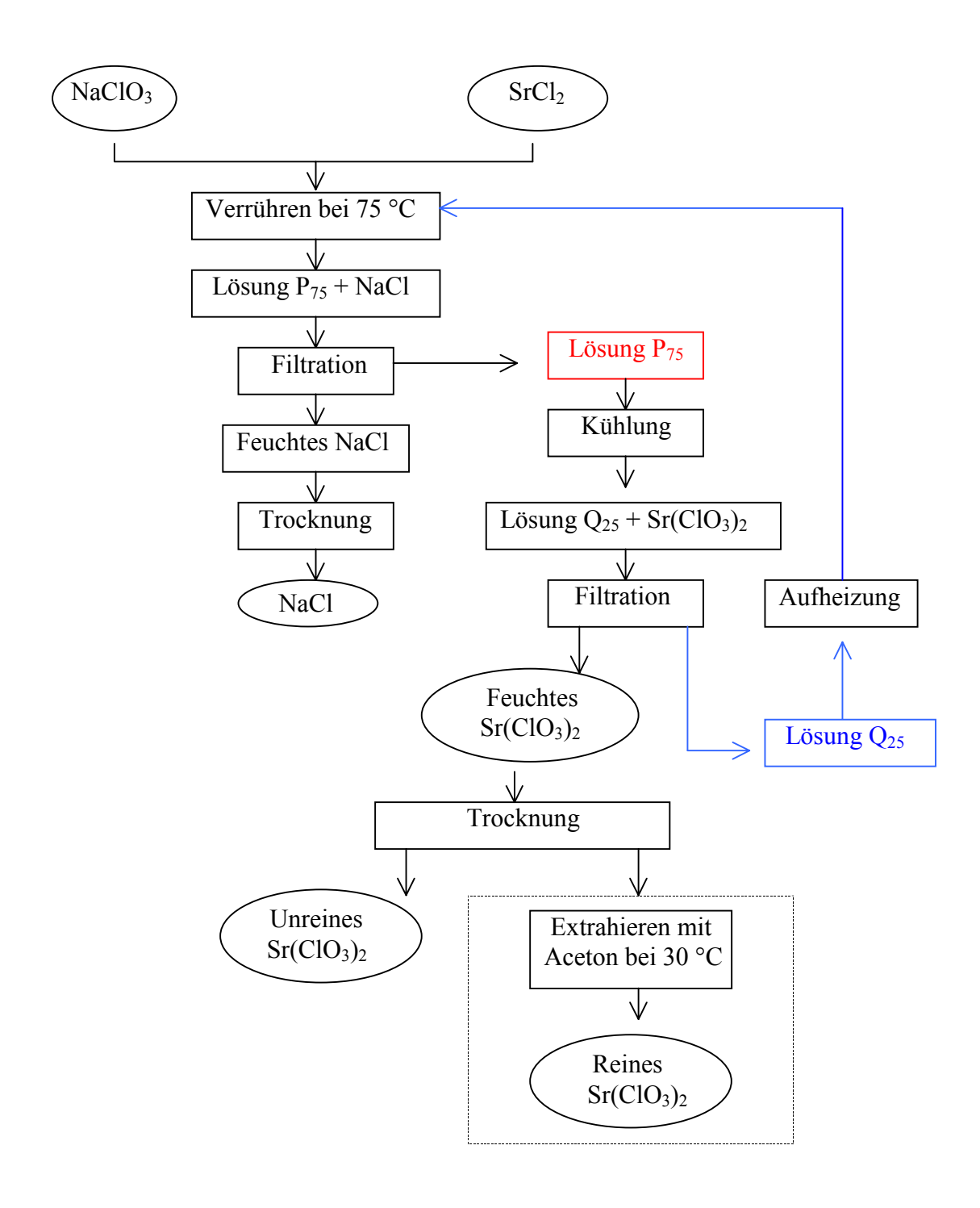


Bild 6.6: Verfahrensschema zur Herstellung von Strontiumchlorat aus Natriumchlorat und Strontiumchlorid

## 6.4 Herstellung von Bariumchlorat

Das Bild 6.7 informiert zunächst über die Gleichgewichte im System  $BaCl_2 + 2NaClO_3 = Ba(ClO_3)_2 + 2NaCl/H_2O$  bei 25°C, 50°C und 75°C. Die notwendigen Hilfslinien zur Ableitung eines Prozesses zur Herstellung von Bariumchlorat aus Natriumchlorat und Bariumchlorid sind eingezeichnet.

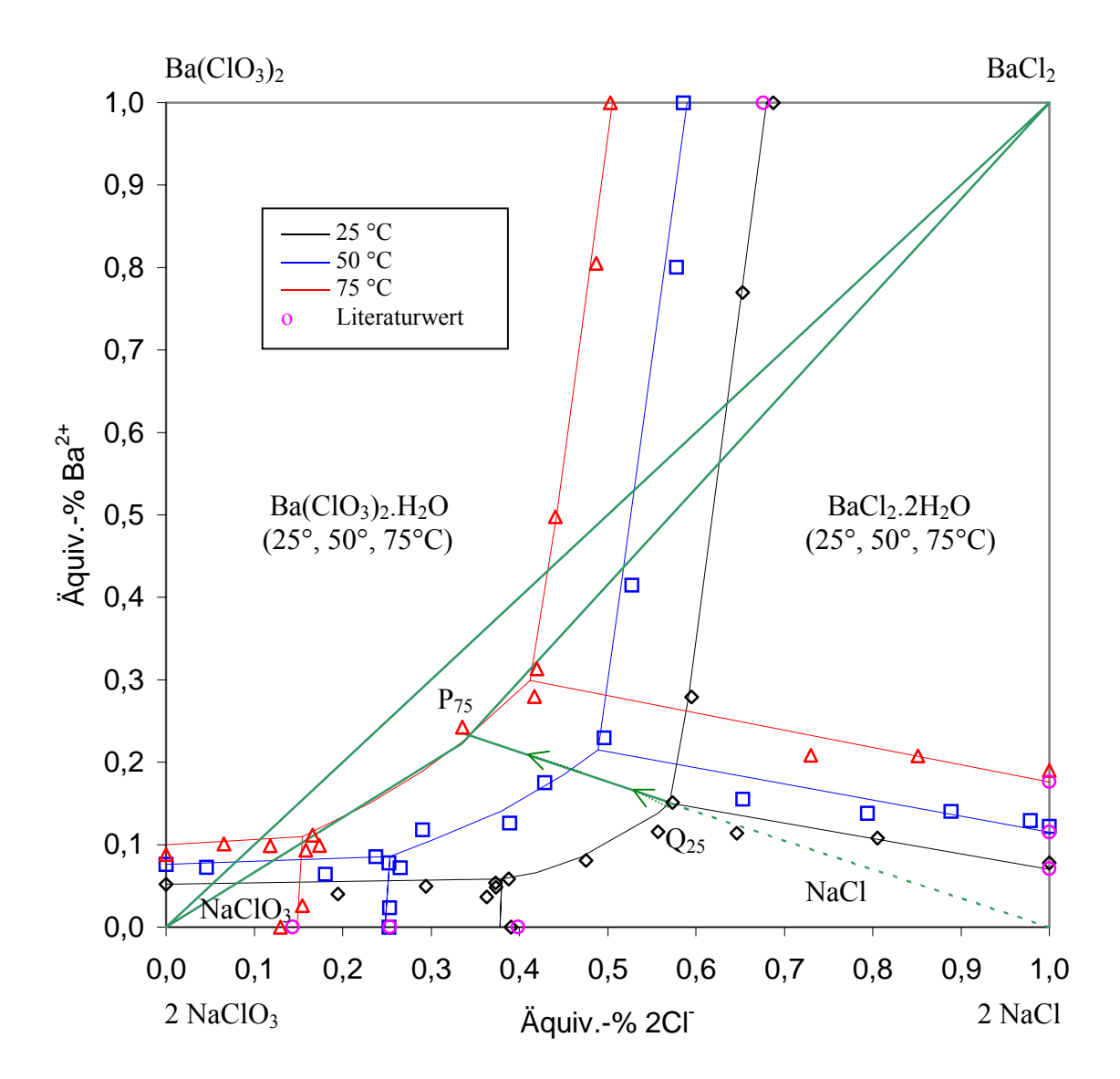


Bild 6.7: Gleichgewichte im System BaCl<sub>2</sub> + 2NaClO<sub>3</sub> = Ba(ClO<sub>3</sub>)<sub>2</sub> + 2NaCl/H<sub>2</sub>O bei 25°C, 50°C und 75°C mit Hilfslinien zur Ableitung eines Verfahrens zur Herstellung von Bariumchlorat aus Natriumchlorat und Bariumchlorid

Das stabile Salzpaar ist auch hier wieder das NaCl-haltige System. Es befindet sich aber bei allen drei Temperaturen im Übergangsbereich, da die Dreisalzpunkte NaCl-BaCl<sub>2</sub>.2H<sub>2</sub>O-Ba(ClO<sub>3</sub>)<sub>2</sub>.H<sub>2</sub>O durchweg inkongruent gesättigt sind.

Im Gegensatz zu den  $Mg^{2+}$ ,  $Ca^{2+}$  und  $Sr^{2+}$ -haltigen Systemen wird hier bei dem Verrühren von  $NaClO_3$  und  $BaCl_2$  in einer rückgeführten Lösung  $Ba(ClO_3)_2.H_2O$  als Festkörper erhalten, da die entstehenden Lösungen im  $Ba(ClO_3)_2.H_2O$ -Feld liegen. In einem technischen Prozess werden darum  $BaCl_2.H_2O$  und  $NaClO_3$  in der rückgeführten Lösung  $P_{75}$  bei 25°C verrührt. Im Resultat des Verrührprozesses werden  $Ba(ClO_3)_2.H_2O$  und die Lösung  $Q_{25}$  erhalten. Die Lösung  $Q_{25}$  wird anschließend auf 75°C erhitzt. Dabei fallen die Lösungen  $P_{75}$  und NaCl an. Die Lösung  $P_{75}$  wird wieder im Verrührprozess eingesetzt. Der Gesamtprozess lässt sich mit der Gleichung 6.10 beschreiben.

BaCl<sub>2</sub>.H<sub>2</sub>O + 2NaClO<sub>3</sub> + Lsg.P<sub>75</sub> ----- Ba(ClO<sub>3</sub>)<sub>2</sub>.H<sub>2</sub>O + Lsg.Q<sub>25</sub> ----- Lsg.P<sub>75</sub> + 2NaCl 
$$(75^{\circ}\text{C})$$
 Filtration  $(6.10)$ 

Für die Bilanzierung des Prozesses muss wieder die Zusammensetzung der Lösungen  $P_{75}$  und  $Q_{25}$  bekannt sein. Die Tabelle 6.4 enthält die notwendigen Werte.

Tabelle 6.4: Zusammensetzung der Lösungen  $P_{75}$  und  $Q_{25}$  im System  $BaCl_2 + 2NaClO_3 = Ba(ClO_3)_2 + 2NaCl/H_2O$ 

Lösung	Zusa	nmensetz	ung in Masse	:-%	Zusammensetzung in mol/1000 mol H <sub>2</sub> O			
Losung	NaCl	NaClO <sub>3</sub> Ba(ClO <sub>3</sub>		H <sub>2</sub> O	2NaCl	2NaClO <sub>3</sub>	Ba(ClO <sub>3</sub> ) <sub>2</sub>	H <sub>2</sub> O
P <sub>75</sub>	6,04	13,82	11,35	68,79	13,5329	17,0016	9,7694	1000
Q <sub>25</sub>	14,46	12,66	9,90	62,98	35,3871	17,0113	9,3074	1000

$$2NaCl = 116,886$$
;  $2NaClO_3 = 212,88$ ;  $Ba(ClO_3)_2 = 304,26$ ;  $H_2O = 18,0153$ 

Bei der Bilanzierung wird in diesem Fall von einem Molteil der Lösung  $P_{75}$  aus dem vorgelagerten Prozess ausgegangen. Dieses Molteil wird neben  $BaCl_2.H_2O$  und  $NaClO_3$  im Verrührprozess eingesetzt (Gleichung 6.11). Im Resultat des Verrührprozesses werden n Molteil der Lösung  $Q_{25}$  und z Mole ( $Ba(ClO_3)_2.H_2O$ ) erhalten.

$$[13,5329 (2NaCl) + 17,0016 (2NaClO3) + 9,7694 (Ba(ClO3)2) + 1000 (H2O)] + x (BaCl2.H2O) + y (2NaClO3) = z (Ba(ClO3)2.H2O) + n [35,3871 (2NaCl) + 17,0113 (2NaClO3) + 9,3074 (Ba(ClO3)2) + 1000 (H2O)]$$

(6.11)

$$2Na^{+}$$
:  $13,5329 + 17,0016 + y = n \cdot 35,3871 + n \cdot 17,0113$  (a)

$$Ba^{2+}: 9,7694 + x = z + n.9,3074$$
 (b)

$$2Cl^{-}: 13,5329 + x = n.35,3871$$
 (c)

$$H_2O: 1000 + x = z + n \cdot 1000$$
 (d)

b und d folgt:

$$n = 0.9995$$

Durch weiteres Einsetzen erhält man:

$$y = 21,8395$$
  
 $x = 21,8377$   
 $z = 22,3040$ 

Im Verrührschritt werden damit 21,8 Mole (BaCl<sub>2</sub>.H<sub>2</sub>O) und 21,8 Mole (2NaClO<sub>3</sub>) in ein Molteil der Lösung P<sub>75</sub> eingetragen. Im Resultat des Verrührprozesses werden 0,9995 Molteil der Lösung Q<sub>25</sub> und 22,3 Mole (Ba(ClO<sub>3</sub>)<sub>2</sub>.H<sub>2</sub>O) erhalten.

Wenn man die Zusammensetzung der Lösung P<sub>75</sub> und Q<sub>25</sub> vergleicht, so ist zunächst ersichtlich, dass die Aufheizung der Lösung Q<sub>25</sub> zu einer Auskristallisation von NaCl führen muss. Es ist aber auch zu erkennen, dass dann bei 75°C keine Ba(ClO<sub>3</sub>)-Sättigung mehr vorliegt. Man muss also bei der Bilanzierung eine geringe Menge Ba(ClO<sub>3</sub>)<sub>2</sub>.H<sub>2</sub>O als Ausgleich vorsehen. Dies führt zu der Bilanzgleichung 6.12.

$$0,9995 [35,3871 (2NaCl) + 17,0113 (2NaClO3) + 9,3074 (Ba(ClO3)2) + 1000 (H2O)] + u (Ba(ClO3)2.H2O) = [13,5329 (2NaCl) + 17,0016 (2NaClO3) + 9,7694 (Ba(ClO3)2) + 1000 (H2O)] + v (2NaCl)$$

$$(6.12)$$

$$2Na^+$$
: 0.9995 . 35,3871 + 0.9995 . 17,0113 = 13,5329 + 17,0016 + v (d)

$$Ba^{2+}: 0.9995.9,3074 + u = 9,7694$$
 (e)

$$u = 0,4667$$
  
 $v = 21,8377$ 

Im Resultat des Aufheizprozesses werden 21,8 Mole (2NaCl) erhalten. Zur Korrektur müssen in den Aufheizschritt 0,5 Mole (Ba(ClO<sub>3</sub>)<sub>2</sub>).H<sub>2</sub>O eingetragen werden.

Bild 6.8 enthält ein Verfahrensschema für einen Prozess zur Herstellung von Bariumchlorat aus NaClO<sub>3</sub> und BaCl<sub>2</sub>.H<sub>2</sub>O. Bezüglich der Übertragbarkeit in technischen Größenordnungen wird auf die Aussagen unter 6.1 bis 6.3 verwiesen.

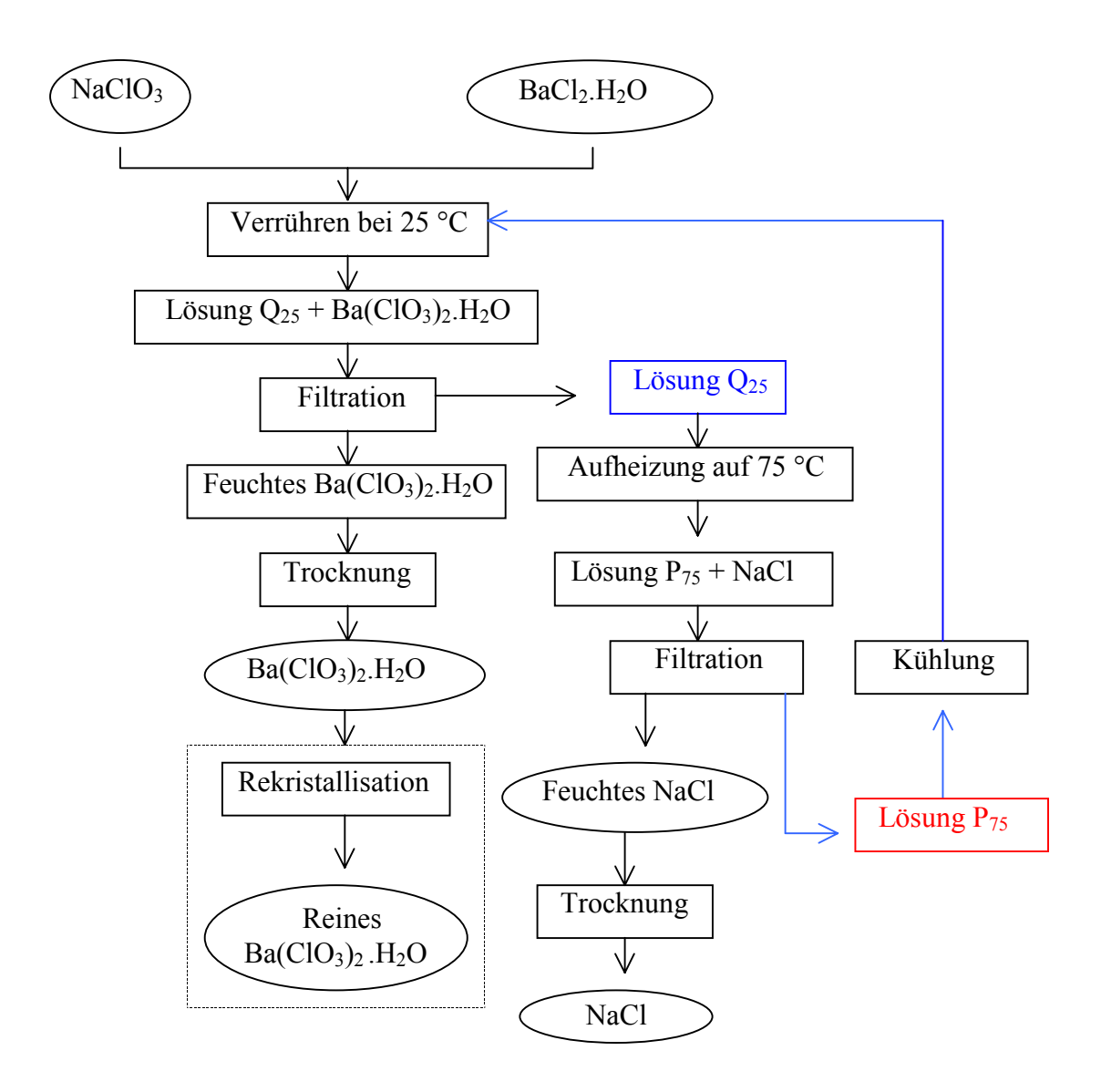


Bild 6.8: Verfahrensschema zur Herstellung von Bariumchlorat aus Natriumchlorat und Bariumchlorid

# 6.5 Vergleich der Verfahren zur Herstellung von Erdalkalimetallchloraten durch reziproke Umsetzung der entsprechenden Chloride mit Natriumchlorat

Unter 6.1 bis 6.4 wurde gezeigt, dass die Herstellung aller vier Erdalkalimetallchlorate durch polytherme reziproke Umsetzung der entsprechenden Erdalkalimetallchloride mit Natrium-chlorat mit theoretisch 100%iger Ausbeute möglich ist.

Bei der Bilanzierung wurde von der vereinfachten Annahme ausgegangen, dass sich die Hydratwassergehalte im Erdalkalimetallchlorid und im Erdalkalimetallchlorat ausgleichen, wobei der Hydratwassergehalt im Erdalkalimetallchlorat als durch die Gleichgewichtsverhältnisse fest vorgegebene Größe angesehen wurde. Wenn diese Annahme wegen des konkreten Rohstoffangebotes an dem jeweiligen Erdalkalimetallchlorid technisch nicht realisierbar sein sollte, muss das zugehörige Verfahrensschema entsprechend modifiziert werden. Für den Fall des geringeren Wassergehaltes im Erdalkalimetallchlorid ist der Ausgleich leicht durch eine Wasserzugabe möglich. Auch der Fall des höheren Wassergehaltes im Erdalkalimetallchlorid ist nicht problematisch. In den abgeleiteten Herstellungsverfahren ist in jedem Fall ein Prozessschritt bei 75 °C vorgesehen. Von 75°C muss wieder auf 25°C abgekühlt werden. Diesen Schritt kann man leicht mit einer partiellen Vakuumeindampfung verbinden, da der Kühlprozess nach dem Stand der Technik ohnehin als Vakuumkühlung ausgeführt werden würde. Auf die Ergänzung der durch die Vakuumkühlung ausgeführten Wassermengen wird nicht gesondert eingegangen. In ähnlichen Prozessen wird diese willkommene Freiheit bezüglich des Wasserhaushaltes für Waschprozesse genutzt.

Die Tabelle 6.5 enthält ausgewählte Daten zu den 4 abgeleiteten Verfahren. Eine wichtige Größe ist die herstellbare Chloratmenge bezogen auf eine bestimmte Menge Umlauflösung. Aus dieser Sicht sind die Herstellungsverfahren für Mg(ClO<sub>3</sub>)<sub>2</sub>.6H<sub>2</sub>O, Ca(ClO<sub>3</sub>)<sub>2</sub>.2H<sub>2</sub>O und Sr(ClO<sub>3</sub>)<sub>2</sub> durchaus gleichwertig. Der Herstellungsprozess für Ba(ClO<sub>3</sub>)<sub>2</sub>.H<sub>2</sub>O unterscheidet sich nicht nur in der umgekehrten Ausschleusungsfolge (Ba(ClO<sub>3</sub>)<sub>2</sub>.H<sub>2</sub>O bei 25°C, NaCl bei 75°C) von den Herstellungsprozessen für die anderen Chlorate, somit auch in der etwa doppelten Menge an Umlösung pro kg wasserfreies Chlorat.

Zusammenfassend kann aber eingeschätzt werden, dass mit etwa 0,2 bis 0,5 kg wasserfreies Chlorat pro kg Umlösung durchaus effektive Prozesse vorliegen. Die Temperaturspanne von 25°C bis 75°C ist auch aus energetischer Sicht kein Problem und mit Niederdruckdampf leicht zu realisieren.

Tabelle 6.5: Vergleich der Verfahren zur Herstellung von Erdalkalimetallchloraten durch reziproke Umsetzung von Natriumchlorat mit den jeweiligen Erdalkalimetall-chloriden

Herstellungs-	Chlorat		Chlorat wasserfrei		Umlauflösung P <sub>75</sub>		Umlauflösung Q <sub>25</sub>		kg wasserfreies Chlorat pro kg Umlauflösung Q25
Prozess für	Mole	kg	Mole	kg	Molteil	kg	Molteil	Kg	Kg wass Chlorat Umlauf Q2
Mg(ClO <sub>3</sub> ) <sub>2</sub> .6H <sub>2</sub> O	76,33	22,85	76,33	14,60	1,4580	54,35	1,0000	31,50	0,46
Ca(ClO <sub>3</sub> ) <sub>2</sub> .2H <sub>2</sub> O	91,77	22,30	91,77	19,00	1,1835	64,18	1,0000	41,89	0,45
Sr(ClO <sub>3</sub> ) <sub>2</sub>	58,56	14,91	58,57	14,91	1,0000	46,61	1,0000	31,69	0,47
Ba(ClO <sub>3</sub> ) <sub>2</sub> .H <sub>2</sub> O	22,30	7,19	22,30	6,79	1,0000	26,19	0,9995	28,59	0,24

#### 7. Zusammenfassung

- 1. Eine Reihe von Salzen kann vorteilhaft nach dem Prinzip der reziproken Umsetzung AX + BY = AY + BX hergestellt werden, wobei in der Formel A und B zwei verschiedene Kationen und X und Y zwei verschiedene Anionen sind. Technisch wichtige Beispiele für reziproke Umsetzungen sind die Umsetzung von Kaliumchlorid mit Magnesiumsulfat zu Kaliumsulfat und MgCl<sub>2</sub>-reichen Lösungen, die Umsetzung von Natriumchlorid zu Kaliumchlorid zu Kaliumchlorid und die Umsetzung von Natriumnitrat mit Kaliumchlorid zu Kaliumnitrat und Natriumchlorid.
- 2. Grundlage für die Konzipierung und Auslegung von Prozessen zur reziproken Umsetzung sind die Lösungsgleichgewichte in den Vierstoffsystemen des Typs AX + BY = AY + BX/Lösungsmittel, wobei das Lösungsmittel in den bekannten technischen Prozessen praktisch immer Wasser ist. Phasentheoretisch ist immer das stabile Salzpaar das Ziel der reziproken Umsetzung. Besonders vorteilhaft ist die polytherme Verfahrensweise der reziproken Umsetzung. Bei dieser Verfahrensweise wird bei einer Temperatur das eine Salz und bei einer höheren oder tieferen Temperatur das andere Salz bei dem Prozess ausgeschleust. Polytherme reziproke Umsetzungen laufen mit 100 %iger Ausbeute ab.
- 3. Abgesehen vom Calciumchlorat ist der Bedarf an den anderen Erdalkalimetallchloraten recht klein. Für die Herstellung dieser Salze gibt es in der Literatur eine Reihe von Vorschlägen, jedoch keine Vorschläge, die auf der Basis der Kenntnis entsprechender Phasengleichgewichte eine optimale polytherme reziproke Umsetzung beinhalten. Eine polytherm reziproke Umsetzung wäre in diesem Fall darum besonders vorteilhaft, weil man dann nur einen elektrolytischen Prozess zur Herstellung eines Chlorat-"Leitsalzes" hätte, aus dem die Erdalkalimetallchlorate, wie jetzt bereits das Kaliumchlorat, hergestellt werden könnten.
- 4. Aus der Fragestellung, ob das vorteilhafte Prinzip der polythermen reziproken Umsetzung auch für die Herstellung der Erdalkalimetallchlorate eingesetzt werden kann, ergab sich die Aufgabenstellung für die vorliegende Arbeit:
  - Untersuchung der Phasengleichgewichte in den reziproken Salzpaaren  $MCl_2$  +  $2 \text{ NaClO}_3 = M(\text{ClO}_3)_2 + 2 \text{ NaCl/H}_2O (M = Mg^{2+}, Ca^{2+}, Sr^{2+}, Ba^{2+})$  bei 25°C, 50°C und 75°C,

- Versuch der Ableitung von Herstellungsprozessen für die Erdalkalimetallchlorate nach dem Prinzip der polythermen reziproken Umsetzung aus den bestimmten Phasendiagrammen,
- Charakterisierung der Erdalkalimetallchlorat(hydrat)e insbesondere mit thermoanalytischen Methoden, um Aussagen über die Möglichkeiten zur Herstellung der wasserfreien Salze zu erhalten.
- 5. Zu den Lösungsgleichgewichten in den reziproken Salzpaaren MCl<sub>2</sub> + 2NaClO<sub>3</sub> = M(ClO<sub>3</sub>)<sub>2</sub> + 2 NaCl/H<sub>2</sub>O liegen in der Literatur bis auf eine Angabe zum System BaCl<sub>2</sub> + 2 NaClO<sub>3</sub> = Ba(ClO<sub>3</sub>)<sub>2</sub> + 2NaCl/H<sub>2</sub>O bei 20°C keine Daten vor. Bei den ternären Randsystemen ist der Untersuchungstand in der Literatur differenziert. Rein chloridische Randsysteme, sowohl binäre als auch ternäre, sind gut untersucht. Über die erdalkalimetallchlorathaltigen ternären Randsysteme liegt dagegen kaum Material vor.
- 6. Mit der isothermen Rührmethode wurden die Zwei- und Dreisalzparagenesen der reziproken Salzpaare MCl<sub>2</sub>+ 2 NaClO<sub>3</sub> = M(ClO<sub>3</sub>)<sub>2</sub> + 2 NaCl/H<sub>2</sub>O (M = Mg<sup>2+</sup>, Ca<sup>2+</sup>, Sr<sup>2+</sup>, Ba<sup>2+</sup>) bei 25°C, 50°C und 75°C bestimmt. Von den gehaltenen Gleichgewichtslösungen erfolgte die Bestimmung der Löslichkeiten (chemische Analyse), der Dichten und der Viskositäten. Die festen Phasen wurden vorzugsweise mit der Röntgendiffraktometrie auf ihre mineralogische Zusammensetzung untersucht. Die chemische Analyse umfaßte die Bestimmung der Chlorid-, der Chlorat- und der Erdalkalimetall-Gehalte. Die Natriumgehalte wurden aus der Differenz der Kation- und Anionenäquivalenz berechnet.
- 7. Bei den vier reziproken Salzpaaren handelt es sich um sehr einfache Systeme. In den drei Isothermen der vier Systeme treten jeweils nur vier Salze auf: Natriumchlorid, Natriumchlorat, ein Erdalkalimetallchloridhydrat und ein Erdalkalimetallchlorat(hydrat). Eine Ausnahme davon gibt es nur in der 25°C Isotherme des Systems CaCl<sub>2</sub> + 2 NaClO<sub>3</sub> = Ca(ClO<sub>3</sub>)<sub>2</sub> + 2 NaCl/H<sub>2</sub>O. Hier treten im Bereich der Erdalkalimetallchloridsättigung im chloridreichen Gebiet CaCl<sub>2</sub>.6H<sub>2</sub>O und im chloridärmeren Gebiet CaCl<sub>2</sub>.4H<sub>2</sub>O auf. In allen vier untersuchten Systemen sind die Salzpaare Erdalkalimetallchlorat(hydrat)-Natriumchlorid die stabilen Salzpaare. Die stabilen Salzpaare befinden sich bei den vier Systemen und den jeweils drei untersuchten Temperaturen jedoch fast ausschließlich im Übergangsintervall. Lediglich im System SrCl<sub>2</sub> + 2 NaClO<sub>3</sub> = Sr(ClO<sub>3</sub>)<sub>2</sub> + 2 NaCl/H<sub>2</sub>O schneidet die Diagonale Sr(ClO<sub>3</sub>)<sub>2</sub>-Ecke 2NaCl-Ecke bei 75°C den Dreisalzpunkt

SrClO<sub>3</sub>-NaClO<sub>3</sub>-NaCl. Wenn sich die reziproken Salzpaare im Übergangsintervall befinden, muss jeweils ein isotherm invarianter Dreisalzpunkt inkongruent gesättigt sein. In den Systemen  $MCl_2 + 2 NaClO_3 = M(ClO_3)_2 + 2 NaCl/H_2O$  ( $M = Mg^{2+}$ ,  $Ca^{2+}$ ,  $Sr^{2+}$ ) sind dies die Dreisalzpunkte NaCl-NaClO<sub>3</sub>-Erdalkalimetallchlorat(hydrat), im System  $BaCl_2 + 2 NaClO_3 = Ba(ClO_3)_2 + 2 NaCl/H_2O$  dagegen die Dreisalzpunkte NaCl-BaCl<sub>2</sub>.2H<sub>2</sub>O-BaClO<sub>3</sub>.H<sub>2</sub>O.

- 8. Im System MgCl<sub>2</sub> + 2 NaClO<sub>3</sub> = Mg(ClO<sub>3</sub>)<sub>2</sub> + 2 NaCl/H<sub>2</sub>O dominieren die Erdalkalimetallsalze. Das führt im Phasendiagramm zu großen Feldern der Natriumsalze und zu kleinen Feldern der Erdalkalimetallsalze. Mit steigender Temperatur nehmen die MgClO<sub>3</sub>-Löslichkeiten zu. In diesem System treten im untersuchten Temperaturbereich folgende Bodenkörper auf: NaCl, NaClO<sub>3</sub>, MgCl<sub>2</sub>.6H<sub>2</sub>O, Mg(ClO<sub>3</sub>)<sub>2</sub>.6H<sub>2</sub>O (25°C), Mg(ClO<sub>3</sub>)<sub>2</sub>.4H<sub>2</sub>O (50°C) und Mg(ClO<sub>3</sub>)<sub>2</sub>.2H<sub>2</sub>O (75°C).
- 9. Das System CaCl<sub>2</sub> + 2 NaClO<sub>3</sub> = Ca(ClO<sub>3</sub>)<sub>2</sub> + 2 NaCl/H<sub>2</sub>O ist dem magnesiumhaltigen System sehr ähnlich. Es treten die Bodenkörper NaCl, NaClO<sub>3</sub>, CaCl<sub>2</sub>.6H<sub>2</sub>O (25°C), CaCl<sub>2</sub>.4H<sub>2</sub>O (25°C), CaCl<sub>2</sub> 2H<sub>2</sub>O (50°C, 75°C), Ca(ClO<sub>3</sub>)<sub>2</sub>.2H<sub>2</sub>O (25°C, 50°C) und Ca(ClO<sub>3</sub>)<sub>2</sub> (75°C) auf.
- 10. Im System SrCl<sub>2</sub> + 2 NaClO<sub>3</sub> = Sr(ClO<sub>3</sub>)<sub>2</sub> + 2 NaCl/H<sub>2</sub>O dominieren die Erdalkalimetallsalze weniger stark als im magnesiumhaltigen und calciumhaltigen System. Neben NaCl und NaClO<sub>3</sub> treten SrCl<sub>2</sub>.6H<sub>2</sub>O (25°C, 50°C), SrCl<sub>2</sub>.2H<sub>2</sub>O (75°C) und Sr(ClO<sub>3</sub>)<sub>2</sub> als Bodenkörper auf.
- 11. Das reziproke Salzpaar BaCl<sub>2</sub> + 2 NaClO<sub>3</sub> = Ba(ClO<sub>3</sub>)<sub>2</sub> + 2 NaCl/H<sub>2</sub>O unterscheidet sich deutlich von den drei anderen Systemen. Wegen der geringen Löslichkeit der Bariumsalze dominieren hier die Natriumsalze. Das führt zu großen Feldern für die Bariumsalze und zu kleinen Feldern für die Natriumsalze im Phasendiagramm. NaCl, NaClO<sub>3</sub>, BaCl<sub>2</sub>.2H<sub>2</sub>O und Ba(ClO<sub>3</sub>)<sub>2</sub>.H<sub>2</sub>O treten bei allen drei Untersuchungstemperaturen als Bodenkörper auf.
- 12. Aus den IR- und Ramanuntersuchungen ergibt sich, dass das Chloration ClO<sub>3</sub>- C<sub>3v</sub>- Symmetrie hat und insgesamt vier Grundschwingungen: Zwei symmetrische Grundschwingungen zur Hauptsymmetrieachse des Moleküls (A<sub>1</sub>) und zwei zweifach entartete

- (E). Die Erdalkalimetallchloratkationen haben keinen großen Einfluss auf die IR- und Ramanschwingungsfrequenzen des Chlorations.
- 13. Aus den thermoanalytischen Untersuchungen ergeben sich folgende Abbaufolgen:

## $Mg(ClO_3)_2.6H_2O$

$$Mg(ClO_3)_2.6H_2O \xrightarrow{43^{\circ}C-155^{\circ}C} Mg(ClO_3)_2.4H_2O + 2H_2O$$
 (endotherm)

$$Mg(ClO_3)_2.4H_2O \xrightarrow{155^{\circ}C-206^{\circ}C} Mg(ClO_3)_2.2H_2O + 2H_2O$$
 (endotherm)

$$Mg(ClO_3)_2.2H_2O \xrightarrow{206^{\circ}C-247^{\circ}C} Mg(ClO_3)_2 + 2H_2O$$
 (endotherm)

$$2 \operatorname{Mg(ClO_3)_2} \xrightarrow{247^{\circ}C - 424^{\circ}C} \qquad 2 \operatorname{MgO} + 2\operatorname{Cl}_2 + 5\operatorname{O}_2 \qquad \text{(exotherm)}$$

#### $Ca(ClO_3)_2.2H_2O$

$$Ca(ClO3)2.2H2O \xrightarrow{69^{\circ}C-152^{\circ}C} Ca(ClO3)2.H2O + H2O$$
 (endotherm)

$$Ca(ClO_3)_2.H_2O \xrightarrow{152^{\circ}C-202^{\circ}C} Ca(ClO_3)_2 + H_2O$$
 (endotherm)

$$Ca(ClO_3)_2 \xrightarrow{300^{\circ}C-417^{\circ}C} CaCl_2 + 3O_2$$
 (exotherm)

#### $Sr(ClO_3)_2$

11 Sr(ClO<sub>3</sub>)<sub>2</sub> 
$$\xrightarrow{253^{\circ}C-450^{\circ}C}$$
 Sr(ClO<sub>4</sub>)<sub>2</sub> + 10 SrCl<sub>2</sub> + 29O<sub>2</sub> (exotherm)

$$Sr(ClO_4)_2 \xrightarrow{450^{\circ}C-491^{\circ}C} SrCl_2 + 4O_2$$
 (exotherm)

#### $Ba(ClO_3)_2.H_2O$

$$Ba(ClO3)2.H2O \xrightarrow{96°C-163°C} Ba(ClO3)2 + H2O$$
 (endotherm)

9 Ba(ClO<sub>3</sub>)<sub>2</sub> 
$$\xrightarrow{398^{\circ}C-484^{\circ}C}$$
 4 Ba(ClO<sub>4</sub>)<sub>2</sub> + 5 BaCl<sub>2</sub> + 11 O<sub>2</sub> (exotherm)

$$4 \operatorname{Ba(ClO_4)_2} \xrightarrow{484^{\circ}C - 555^{\circ}C} 4 \operatorname{BaCl_2} + 16 \operatorname{O_2}$$
 (exotherm)

Die technische Entwässerung von  $Mg(ClO_3)_2.6H_2O$ ,  $Ca(ClO_3)_2.2H_2O$  und  $Ba(ClO_3)_2.H_2O$  sollte danach möglich sein.

14. Da die Salzpaare Erdalkalimetallchlorat(hydrat)-NaCl in allen vier Systemen die stabilen Salzpaare sind, sind reziproke Umsetzungen zur Herstellung von Erdalkalimetallchloraten und Natriumchlorid aus Natriumchlorat und Erdalkalimetallchlorid in allen vier Fällen möglich. Auf der Basis der Gleichgewichtsuntersuchungen kann eine Ableitung von Prozessen zur Herstellung der Erdalkalimetallchlorate erfolgen.

Die Prozesse zur Herstellung von Magnesiumchlorat (Mg(ClO<sub>3</sub>)<sub>2</sub>.6H<sub>2</sub>O), Calciumchlorat

(Ca(ClO<sub>3</sub>)<sub>2</sub>.2H<sub>2</sub>O) und Strontiumchlorat (Sr(ClO)<sub>3</sub>)<sub>2</sub>) sind durch das Verrühren von Natriumchlorat mit dem jeweiligen Erdalkalimetallchlorid in einer rückgeführten Lösung bei 75°C mit dem Anfall von Natriumchlorid und einer erdalkalimetallchloratreichen Lösung gekennzeichnet. Die erdalkalimetallchloratreiche Lösung wird anschließend abgekühlt. Dabei werden das Erdalkalimetallchlorat und die rückzuführende Lösung erhalten.

Bariumchlorat (Ba(ClO<sub>3</sub>)<sub>2</sub>.H<sub>2</sub>O) wird durch Verrühren von Natriumchlorat und Bariumchlorid in einer rückgeführten Lösung bei 25°C erhalten. Das erhaltene Bariumchlorat (Ba(ClO<sub>3</sub>)<sub>2</sub>.H<sub>2</sub>O) wird abfiltriert und die Mutterlösung auf 75°C aufgeheizt. Dabei kristallisiert Natriumchlorid aus. Die Mutterlösung der NaCl-Kristallisation wird abgekühlt und zurückgeführt.

Alle vier Prozesse laufen theoretisch mit 100%iger Ausbeute ab. Als Maß für die Tragfähigkeit der vorgeschlagenen Prozesse wird die Größe kg hergestelltes wasserfreies Chlorat pro kg Umlauflösung eingeführt. Mit 0,46 kg Mg(ClO<sub>3</sub>)<sub>2</sub>, 0,45 kg Ca(ClO<sub>3</sub>)<sub>2</sub>, 0,47 kg Sr(ClO<sub>3</sub>)<sub>2</sub> und 0,24 kg Ba(ClO<sub>3</sub>)<sub>2</sub> pro kg Umlauflösung werden die Prozesse als günstig eingeschätzt.

#### 8. Literaturverzeichnis

- [1] Vogel, R.: Die heterogenen Gleichgewichte, 2. Auflage, Akademische Verlagsgesellschaft Geest & Portig K.G., Leipzig 1959
- [2] Findlay, A.: Die Phasenregel und ihre Anwendungen, 9. Auflage, Verlag Chemie GmbH, Weinheim 1958
- [3] Matthes, F.; Wehner, G.: Anorganisch-technische Verfahren, VEB Deutscher Verlag für Grundstoffindustrie, Leipzig 1969
- [4] Autorenkollektiv: Anorganisch-technische Chemie, 4. Auflage, Verlag für Grundstoffindustrie GmbH, Leipzig 1990
- [5] Vasu, K.I.; Narasimham, K.C.; Pushpavanam, S.; Mohan, S.: INP 172329 (1993)
- [6] Pushpavanam, S.; Mohan, S.; Vasudevan, S.; Rivichandran, S.; Narasimham, K.C.: Bull. Electrochem. 6, <u>4</u> (1990) 422-3
- [7] Bairamov, F.G.; Aliev, A.B.; Mustafaev, L.S; Gasanov, Y.G.: Uch. Zap. Azerb. Un-t, Ser. Khim. N. 1 (1978) 10-13
- [8] Ullmanns Encyclopedia of Industrial Chemistry, Vol.A6, VCH Verlagsgesellschaft, Weinheim 1986
- [9] Higgins, C.L.: J. Soc. Chem. Ind. 6 (1887) 249
- [10] Lunge, G.; Landolt, L.: ch. Ind. 8 (1885) 341
- [11] Cunningham, G.L.: AP 2047549 (1934); Mathieson Alkali Works. Inc.
- [12] Cunningham, G.L.: AP 2008388 (1934); Mathieson Alkali Works. Inc.
- [13] Wildermann, M.: DP 449583 (1921)
- [14] Wächter, A.: J. pr. Ch. 30 (1843) 325
- [15] Amiel, J.: C. r. 198 (1934) 1033
- [16] Carlson, B.: Festskriff Peter Klason, Stockholm (1910) 256
- [17] Billiter, J.: Technische Elektrochemie, 2. Auflage, 2. Band, Halle 1924
- [18] Bechtel, K.; Stroetzel, H.: DP 688368 (1934/40); Feldmühle Papier- und Zellstoffwerke A.G.
- [19] Shah, B.: J. sc. ind. Res. (India) 4 (1945) 241-3
- [20] DP: 446163 (1922/27); A. Borsig GmbH
- [21] Thumm, K.: Z. anorg. Chem. 35 (1922) 433-4
- [22] Heath, S.B.: USP: 1854405 (1930/32); Dow Chemical Co.
- [23] Bechtel, K.: DP: 596803 (1932/34); Feldmühle Papier- und Zellstoffwerk A.G.
- [24] Heath, S.B.: USP: 1949204 (1932/34); Dow Chemical Co.

- [25] BP: 615438 (1949); Solvay & Cie
- [26] BP: 601928 (1948); Solvay & Cie
- [27] Cunningham, G.: USP 2075179 (1934/37); Mathieson Akali Works
- [28] Ehret, W.F.: J. Am. Soc. 54 (1932) 3126-34
- [29] Ehrhardt, U.: DP 549645 (1930/32); I.G. Farbenindustrie A.G.
- [30] DP: 583106 (1931/33); I.G. Farbenindustrie A.G.
- [31] Couleru, M.: DP 195639 (1905)
- [32] Ratig, F.: DP 202500 (1906)
- [33] Vasudevan, S.; Mohan, S; Pushpavanam, S; Narasimham, K.C.: Bull. Electrochem. 9 (1993) 639-41
- [34] Pierron, P.: Bull. Soc. Chim. 5, 8 (1941) 664-70
- [35] ÖP: 151949 (1937); Sovay & Cie
- [36] Cunningham, G.L: USP 2075179 (1934)
- [37] Linke, W.J.: J. Am. Chem. Soc. 75 (1953) 5797
- [38] DP 89844 (1896); Elektrizitäts-A.G. Vormals Schuckert & Co.
- [39] Crace-Calvert, F.: Quart. J. Chem. Soc. 3 (1851) 107
- [40] Chenevix, C.; Vauquein, L.N.: Ann. Chim. 93 (1815) 318
- [41] Wächter, A.: J. pr. Ch. 30 (1843) 323
- [42] Munroe, T.B.: Chem. met. Eng. 23 (1920) 188
- [43] Duflos, A.: Arch. Pharm. 73 (1840) 306
- [44] Thompson, L.: J pr. Ch. 43 (1848) 73
- [45] Böttger, W.: Lieb. Ann. 57 (1846) 138
- [46] Brandau, M.: Lieb. Ann. 151 (1869) 361
- [47] Lunge, G.: Handbuch der Soda-Industrie und ihrer Nebenzweige, 3. Auflage, 3. Band, Braunschweig 1909
- [48] Grossmann, J.: J. Soc. Chem. Ind.15 (1896) 158
- [49] Zimin, V.M.; Adaev, E.I.; Mazanko, A.F.; Grabenik, V.Z.; Dubrov, Y.V.; Babenko, V.E.; Spiridanov, S.G.; Solovleva, T.A.; Bobrin, V.S.: Otkrytiya, Izobret., Prom. Obraztsy, Tovarnye Znaki 39 (1983) 94
- [50] Arifov, Z.; Zhivolupov, A.A.; Filatov, L.N.; Shavochkin, B.I.; Shur, V.A.; Pekler, A.M.; Zitler, A.G.: Otkrytiya, Izobret., Prom. Obraztsy, Tovarnye Znaki 9 (1983) 68
- [51] Antonov, I.V.: Vestn. S-kh. Nauki Kaz. 2 (1982) 34-6

- [52] Imamaliev, A.I; Bar'etas, P.K.; Tashkulov, S.T.; Arslanov, N.A.; Turakhodzhaev, T.I; Filushkina, L.V.; Akbarov, K.A.: Khlopkovodstvo 7 (1973) 31-2
- [53] Prokof'ev, A.A.; Bukina, N.V.: Prikl. Biokhim. Mikrobiol 8, <u>4</u> (1972) 402-6
- [54] Ullmanns Encyklopädie der technische Chemie, 3. Auflage, 5. Band, Urban & Schwarzenberg, München Berlin 1954
- [55] Fabry, J.: Ungar.P 128800 (1941)
- [56] Virtanen, A.I.: Finn.P 16651 (1933/1935); Andels-Smörexportaffären Valio MBT
- [57] FP 994191 (1949/51); Armour & Co.
- [58] Levy, R.M.; Brennan, J.E.: USP 2477631 (1949): Escusta Paper Corp.
- [59] Taylor, M.C.: USP 1930781 (1932/33); Mathieson Alkali Works
- [60] Taylor, M.C.: USP 2071091 (1936/37); Mathieson Alkali Works
- [61] Remy, H.: Lehrbuch der Anorganischen Chemie, 2. Auflage, 1. Band, Akademie Verlagsgeselschaft Geest & Portig kG, Leipzig 1960
- [62] Meyerhoffer, W.; Saunders, A.P.: Z. phys. Chem. 31 (1899) 381
- [63] Gerlach, G.T.: Chem. Ind. 9 (1886) 241
- [64] Cornec, E.; Krombach, H.: Ann. Chimie., 10, <u>18</u> (1932) 5
- [65] Cohen-Adad, R.; Valee, P.: in Solubility Data Series, Vol. 47, Pergamon Press,
  Oxford 1991
- [66] De Coppet, L.C.: Ann. Chim. Phys. 4, 25 (1872) 511
- [67] Matignon, C.: Bull. Soc. Chim. 4, <u>5</u> (1909) 477
- [68] Rodebush, W.H.: J. Am. Soc. 40 (1918) 1208
- [69] Linke, W.F.: Solubilities Inorganic and Metal-Organic Compounds, Vol. II,
  American Chemical Societies, Washington 1965, 1014-1015
- [70] Le Blanc, M.L.; Schmandt, W.: Z. phys. Chem. 77 (1911) 614-638
- [71] Bell, H.C.: J. Chem. Soc. 123 (1923) 2712-3
- [72] Il'inskij, V.P.: J. russ. Phys.-chem. Ges.: 54 (1922) 29
- [73] Cunningham, G.L.; Oey, T.S.: J. Am. Chem. Soc. 77 (1955a) 4498-9
- [74] Billiter, J.: Monatsch. Chem. 41 (1920) 287-95
- [75] Nallet, A.; Paris, R.A.: Bull. Soc. Chim. France (1956) 488-94, 494-97
- [76] Di Capua, C.; Scaetti, U.: Gazz. Chim. Ital. 57 (1927) 391-9
- [77] Oey, T.S.; Koopman, D.E.: J. Phys. Chem. 62 (1958) 755-6
- [78] D'Ans, J.: Die Lösungsgleichgewichte der Systeme der Salze ozeanischer Salzablagerungen, Verlagsgesellschaft für Ackerbau, Berlin 1933
- [79] Van't Hoff, J.H.; Meyerhoffer, W.: Z. phys. Ch. 27 (1897) 84, 87

- [80] Sieverts, A.; Müller, E.L.: Z. anorg. Ch. 200 (1931) 312-315
- [81] Roozeboom, H.W.B.: Z. phys. Ch. 4 (1889) 31-65
- [82] Pelling, A.J.; Robertson, J.B.: South. African. J. Sci. 21 (1924) 196
- [83] Basset, H.; Barton, G.W.; Foster, A.R.; Pezternan, R.J.: J. Chem. Soc. (1933) 151-165
- [84] Druzhinin, I.G.; Shepelev, A.I.: Doklady Akad. Nauk. SSSR 72 (1950) 703-6
- [85] Prutton, C.F.; Tower, O.F.: J. Am. Soc. 54 (1932) 3040/7
- [86] Klein, O.; Svanberg, O.: Medd. Vatenskapsakad. Nobel. Inst. 1 (1920) 4
- [87] Lannung, A.: Z. anorg. Chem. 228 (136) 1-18
- [88] Kessis, J.J.: C.r. 264 (1967) 2141
- [89] Benrath, A.: Z. anorg. allg. Chem. 247 (1941) 149
- [90] Benrath, A.: Z. anorg. allg. Chem. 163 (1927) 396
- [91] Richards, T.W.; Ingve, V.: J. Amer. Soc. 40 (1918) 89-95
- [92] Collins, E.M.; Menzies A.W.: J. Phys. Chem. 40 (1936) 379-397
- [93] Titov, A.V.: Žurnal obščej. Chim. 4 (1934) 567
- [94] Tilden, W.A.: J. Chem. Soc. 45 (1884) 269
- [95] Pelling, A.J.; Robertson, J.B. Calice 8 (1927) 532
- [96] Harkins, W.D.; Paine, H.M.: J. Am. Soc. 38 (1916) 2709
- [97] Kirginzew, A.M; Truschnikowa, L.M.; Lavrent'eva, W.G.: Rastvorimost neorganiceskich vescstv v vode (Spravočnik) Izdatelstvo "Chimija", Leningradskoje otdelenie (1972) 21, 22, 25, 27
- [98] Menzies, A.W.C.: J. Am. Chem. Soc. 58 (1936) 934-7
- [99] De Coppet, L.C.: Z phys. Chem. 22 (1892) 239
- [100] Etard, A.L.: Ann. Chim. Phys. <u>7</u>, 2 (1894) 503
- [101] Benrath, A.; Lechner, K.: Z. anorg. Chem. 244 (1940) 359-76
- [102] Eddy, R.D.; Manzies, A.W.C.: J. Phys. Chem. 44 (1940) 207-35.
- [103] Engel, R.: Ann. chim. Phsy. <u>6</u>, 13 (1888) 348-5
- [104] Meusser, A.: Ber. dtsch. chem. Ges. 35 (1902) 1414
- [105] Mylius, F.; Funk, R.: Ber. dtsch. chem. Ges. 30 (1897) 1716
- [106] Wächter, A.: J. pr. Ch. 30 (1843) 325
- [107] Naumann, A. Ber. 37 (1905) 4328
- [108] Egorov, V.S.: J. Gen. Chem. USSR 1 (1931) 1266
- [109] Miyamoto, H.: in Solubility Data Series, Vol. 14, Pergamon Press, Oxford 1983
- [110] Mazzetti, C.: Ann. Chim. Appl. 19 (1929) 273-82

- [111] Chenevix, R.: Gilb. Ann. 12 (1803) 416-49
- [112] Anschütz, A.: Dissertation, Freiburg (1906)
- [113] Trautz, M.; Anschütz, A.: Z. phys. Ch. 56 (1906) 238
- [114] Clausen, H.: Ann. Phys. 4, <u>37</u> (1912) 61
- [115] Egorov, V.S.: Trudy G.I.P.X. 23 (1935) 85
- [116] Easlavskii, I.I.: Trudy G.I.P.X. 23 (1935) 65
- [117] Osaka, Y.; Nishio, T.H.: Bull. Chem. Soc. (Japan) 5 (1930) 181-3
- [118] Yusupov., A. K.; Kucherov, K.; Amonov, Z.A.; Tukhtaev, S.; Davirov, A., Z.: Neorg. Khim. 4, 39 (1994) 701-2.
- [119] Yusupov, A. K.; Kucharov, K.H.; Tukhtaev, S.; Aminov, Z.: Uzb. Khim. Zh. 2 (1990) 86-7.
- [120] Makarov, S.Z.; Vol'nov, I.I.: Izvest. Akad. Nauk. SSSR (1951)
- [121] Di Capua, C.; Bertoni, A.: Gazz. Chim. Ital. 58 (1928) 250
- [122] Ricci, J.E.; Freedman, A.J.: J. Am. Chem. Soc. 74 (1951) 1769-73
- [123] D'Ans, J.; Sypiena, G.: Kali 36, 95 (1942)
- [124] D'Ans, J.: Kali 10, 152 (1915)
- [125] Kurnakov, N.S.; Zemcuznyj, S.F.: Z. anorg. Chem. 140 (1924) 153
- [126] Takegami, S.: Mem. Coll. Sci., Kyoto Imp. Univ. 4 (1921) 317-342
- [127] Keitel, H.; Gerlach, H.: Kali 7 (1923) 262
- [128] Lelmbach, G.; Pfeiffenberg, A.: Caliche 11 (1929) 64, 73, 351, 389, 439
- [129] Kurnakov, N.S.; Osokoreva, N.A.: Trudy GIPCh 16 (1932) 39
- [130] Bergman, A.G.; Koloskova, Z.A.: Dombrovskaja Za nedra Volgo-Prikaspija 2 (1937) 312
- [131] Nikolaev, V.I.; Burovaja, E.E.: Izv. AFChA AN SSSR 10 (1938) 248
- [132] Rode, T.: Izv. SFChA AN SSSR 14 (1941) 397
- [133] Van't Hoff, J.H.; Z. anorg. Chem. 47 (1905) 247
- [134] Debler, E.: Dissertation, Erlangen, CTP 45 (1913)
- [135] Künneth, F.: Dissertation, Erlangen, CTP 29 (1913)
- [136] Sieverth, A.; Müller, H.: Z. anorg. Chem. 189 (1930) 254-256
- [137] Pel'š, A.D.: Handbuch der Versuchsdaten zur Löslichkeit von Wasser-Salz-Mehrstoffsystemen, 1. Band, Izdatel'stvo ``Chimija``, Leningrad 1973
- [138] Majima, K.; Tajima, M.; Oka, S.: Bull. Soc. Sea Water Sci., Japan 3 (1969) 23, 116
- [139] Frowein, F.: Z. anorg. Chem. 39 (1926) 1491-93
- [140] Janat'eva, O.K.: ŽPCh. <u>7</u>, 19 (1946) 719-721

- [141] Igelsrud, J.; Thompson, T.: J. Am. Chem. Soc. 58 (1936) 321
- [142] Il'inskij, V.P.; Varypaev, N.A.; Gitterman, K.E.; Schmidt, N.E.: Tudy Solyan. Labor. AN SSSR 7, 8, 10 (1936)
- [143] Lukjanova, E.I.; Šojchet, D.N.: Trudy GIPCh. <u>34</u>, 14 (1940)
- [144] Cameron, F.K.; Bell, J.M.; Robinson, W.O.: J. Phys. Chem. 11 (1907) 399
- [145] Družinin, I.G.; Šepelev, A.I.: Trudy Instituta chimii AN KirgSSR 7, 6 (1956)
- [146] Van't Hoff, J.H.: Z. anorg. Chem. 47 (1905) 252
- [147] Van't Hoff, J.H.; D'Ans, J.; Sitzungsber. preuss. Akad. (1905) 91
- [148] Pelling A.J.; Robertson, J.B.: The South African J. of Sci. 20 (1923) 236-240
- [149] Assarsson, G.O.: J. Am. Chem. Soc. 72 (1950) 1437
- [150] Mills, R.V.; Wells, R.C.: Bull. U.S. Geol. Survey 693 (1918) 73
- [151] Korolev, V.F.: Trudy Solyan. Labor. AN SSSR <u>15</u>, 28, 38 (1937)
- [152] Zdanovskij, A.B.: ZPCh. 12, 20 (1947) 1252
- [153] Assarsson, G.O.: Sveriges Geologiska Undersöknig, Stockholm, ser. C, No. 501, 5, 1949
- [154] Kirgincev, A.N.; Luk'janov, A.V.: Izv. AN SSSR, ser. Chim. 9 (1966) 1530
- [155] Družinin, I.G.; Kydynov, M.; Zipov'ev, A.A.; Lopina, M.D.: Fiziko-chimičeskaja charakteristika prirodnych solej mestoroždenij Tjan'-Šanja, izd. "Nauka", str. 21, 1970
- [156] Meyer, T.; Prutton, C.; Lightfoot, W.: J. Am. Chem. Soc. 71 (1949) 1237
- [157] Assarsson, G.O.: J. phys. Chem. 57 (1953) 209
- [158] Kydynov, M.; Lomteva, S.A.; Družinin, I.G.: ZPCh 4, 42 (1969) 773.
- [159] Averina, R.A.: Učenye zapiski Jaroslavskogo gos. Pedagogič. Isntituta 79 (1970)
- [160] Precht, H.; Wittjen, B.: Ber. 14 (1881) 1674
- [161] Findlay, A.; Cruickshank, J.: J. Chem. Soc. (1926) 316
- [162] Schreinemakers, F.; de Bat, W: Z. phys. Chem. 65 (1909) 588
- [163] Karsten, B.: Philosophie der Chemie, C.T.P. (1843) 88-171
- [164] Rüdorff, F.: Ber. 18 (1885) 1161
- [165] Doerffel, K.: Statistik in der analytischen Chemie, VEB Deutscher Verlag für Grundstoffindustrie, Leipzig 1981
- [166] Otto, M.: Chemometrie Statistik und Computereinsatz, VCH Weinheim 1997
- [167] Stabinger, H.; Leopold, H.; Kratky, O.: DMA-10 Information, Anton Paar K.G., Austria

- [168] Göttner, G.H.; Weber, W.: Zur Viskosimetrie, 7. Auflage, S. Hirzel Verlag, Stuttgart 1965
- [169] Nyquist, R.A.; Putzig, C.L.; Leugers, M.A.: Infrared und Raman Spektral Atlas of Inorganic Compounds and Organic Salts, Volume 1-4, Academic Press, San Diego 1997
- [170] Barth, J.A.: Z. anorg. allg. Chem. 529 (1985) 46-56
- [171] Weidlein, J.; Müller, U.; Dehnicke, K.: Schwingungsspektroskopie, 2. Auflage, Georg Thieme Verlag, Stuttgart 1981
- [172] Lutz, H.D.; Klüppel, H.J.; Kesterke, H.J.: Z. anorg. allg. Chem. 423 (1976) 83-93

#### **Danksagung**

Die Anregung zu diesem Thema erhielt ich von Herrn Prof. Dr. H. Holldorf, dem ich für die wertvollen Hinweise und sein ständiges Interesse am Fortgang der Arbeit sowie die gewährte Unterstützung beim Erarbeiten des Manuskriptes herzlich danke.

Mein besonderer Dank gilt Herrn Priv.-Doz. Dr.G. Ziegenbalg, der viele Gedanken aufwarf, die für diese Arbeit wichtig waren. An diese Stelle danke ich Herrn Dr. Köhnke und Frau Seifert für die Anfertigung von Röntgenbeugungsspektren der erhaltenen Bodenkörper, Herrn Dr. Seidel und Herrn M.Si. Sumarna für TG-DSC Messungen und Frau Chem. Ing. Moßig für Raman-Spektren Messungen.

Weiterhin danke ich Frau Brüchert, Frau Kunze, Frau Tippner und allen Mitarbeiterinnen und Mitarbeitern des Institut für Technische Chemie, für die jederzeit gewährte Unterstützung.

Nicht zuletzt möchte ich der Indonesischen Regierung und dem DAAD für die Finanzielle Förderung durch das Projekt-PGSM danken.